

Molekulargenetische Charakterisierung von Genen und Chromosomenabschnitten im Zusammenhang mit Verhalten bei Kälbern der Rassen Dt. Angus und Dt. Fleckvieh

## Kristina Glenske

## **Inaugural-Dissertation**

zur Erlangung des Grades eines Dr. med. vet. beim Fachbereich Veterinärmedizin der Justus-Liebig-Universität Gießen



#### Bibliografische Informationen der Deutschen Bibliothek

Die Deutsche Bibliothek verzeichnet diese Publikation in der Deutschen Nationalbibliografie; Detaillierte bibliografische Daten sind im Internet über http://dnb.ddb.de abrufbar.

### 1. Auflage 2010

© 2010 by Verlag: **D**eutsche **V**eterinärmedizinische **G**esellschaft Service GmbH, Gießen
Printed in Germany

ISBN 978-3-941703-72-8

Verlag: DVG Service GmbH Friedrichstraße 17 35392 Gießen 0641/24466 geschaeftsstelle@dvg.net www.dvg.net

## Aus dem Institut für Tierzucht und Haustiergenetik der Justus-Liebig-Universität Gießen

Betreuer: Prof. Dr. G. Erhardt

Molekulargenetische Charakterisierung von Genen und Chromosomenabschnitten im Zusammenhang mit Verhalten bei Kälbern der Rassen Dt. Angus und Dt. Fleckvieh

#### INAUGURAL-DISSERTATION

zur Erlangung des Grades eines Dr. med. vet. beim Fachbereich Veterinärmedizin der Justus-Liebig-Universität Gießen

Eingereicht von Kristina Glenske

Tierärztin aus Weilburg

Gießen, 2010

# Mit Genehmigung des Fachbereichs Veterinärmedizin der Justus-Liebig-Universität Gießen

Dekan: Prof. Dr. Dr. habil. G. Baljer

Gutachter:

Prof. Dr. G. Erhardt

PD Dr. H. Willems

Tag der Disputation: 30. März 2010



Diese Arbeit wurde zum Teil im Rahmen des Sonderforschungsbereiches 299 "Landnutzungskonzepte für periphere Regionen", Teilprojekt C1.2, der Deutschen Forschungsgemeinschaft angefertigt.

Inhaltsv	erzeichnis	I
	hnis der Abbildungen	
	hnis der Tabellen	
Verzeicl	hnis der Abkürzungen	XI
1 EII	NLEITUNG	1
2 LI	TERATURÜBERSICHT	3
2.1 T	Femperament und Umgänglichkeit bei Rindern	3
2.2 N 2.2.1	Molekulargenetische Charakterisierung von Phänotypen Analyse von Mikrosatelliten	4
2.2.1	Genetische Kartierung mittels Mikrosatelliten	4
2.2.2	QTL-Studien	
2.2.3	Analyse von Kandidatengenen	
2.2.4	Praktischer Nutzen der molekularen Gendiagnostik	
2.2.3	Traktischer Nutzen der molekularen Gendragnostik	/
2.3	QTL-Studien für Verhaltensmerkmale bei Bos taurus und anderen Tie	rarten 8
2.4 I	Kandidatengene für Verhalten bei Rindern	9
2.4.1	6	
2.4	.1.1 Physiologische und pharmakologische Bedeutung des	
	Cholecystokininrezeptors B	10
2.4	.1.2 Genstruktur des Cholecystokininrezeptors B: CCKBR	11
2.4	.1.3 Polymorphismen im humanen CCKBR-Gen und Assoziationen	11
2.4	.1.4 Cholecystokininrezeptor B bei Tieren	
	.1.5 CCKBR-knockout-Tiere	
2.4.2	Dopaminrezeptor D4	
	.2.1 Medizinische Nutzung des DRD4	
	.2.2 Genstruktur des Dopaminrezeptors D4: DRD4	
	.2.3 DRD4 und Schizophrenie	
	.2.4 Polymorphismen im humanen <i>DRD4</i> -Gen und Assoziationen	16
	.2.5 DRD4 bei Tieren	
	.2.6 DRD4-knockout-Tiere	
	Monoaminoxidase A	
	.3.1 Physiologische Funktion der Monoaminoxidasen	20
	3.2 Medizinische Nutzung der Monoaminoxidasen	20
	3.3 Genstruktur der Monoaminoxidase A: MAOA	21
	3.4 Polymorphismen im humanen <i>MAOA</i> -Gen und Assoziationen	
	.3.5 MAOA bei Tieren	
	3.6 MAOA-knockout-Tiere	
	Serotonintransporter	25
	4.1 Physiologische Funktion des Serotonintransporters	25
	4.2 Medizinische Beeinflussung des SERT	
	4.3 Das Gen des Serotonintransporter: SERT.	
	4.4 Polymorphismen im humanen <i>SERT</i> -Gen und Assoziationen	
	4.5 SERT bei Tieren	

3	MAT	ERIAL UND METHODEN	30
3.	1 Ma	nterial	30
	3.1.1	Гiere	30
	3.1.2 I	Probenmaterial	30
	3.1.3	Verhaltensdaten	32
	3.1.3.	1 Anbindetest	32
	3.1.3.	2 Wiegetest	32
	3.1.3.	3 Separier- und Rückhaltetest	33
	3.1.4	Geräte	34
	3.1.5	Verbrauchsmaterialien	36
	3.1.6	Chemikalien und Reaktionskits	37
	3.1.7	Größenstandards	40
	3.1.7.	1 Größenstandards für die Polyacrylamidgelelektrophorese mit dem	
		halbautomatischen Sequenziersystem ALFexpress	40
	3.1.7.	2 Größenstandards für die Polyacrylamidgelelektrophorese mit dem ABI PRISM® 377 DNA Sequencer	
	3.1.7.		
		Bakterienstamm und Vektor	
		Enzyme	
	3.1.10	Oligonukleotide	
	3.1.10	Computerprogramme	
	3.1.11	Gentechnische Arbeiten	
	3.1.12	Geneeninsene Arbeiten	72
3.	2 Me	ethoden	42
	3.2.1	Blutentnahme und Aufbereitung der Blutproben	42
		DNA-Extraktion	
	3.2.3	Etablierung der Polymerasekettenreaktion zur Amplifizierung von Genabschni	tten
	3.2.3.		
	3.2.3.	Etablierung der PCR mit Taq-Polymerase	43
	3.2.3.		44
	3.2.4	Amplifikation bestimmter Abschnitte der Kandidatengene	44
	3.2.4.		
	3.2.4.	2 DRD4	45
	3.2.4.		
	3.2.4.	4 SERT	46
	3.2.5	Amplifikation der Mikrosatelliten auf BTA1 und BTA29	49
		Aufreinigung der PCR-Produkte	
	3.2.7	Agarosegelelektrophorese	52
		Klonierung	
	3.2.8.	1 Ligation	52
	3.2.8.	<u> </u>	
	3.2.8.		53
	3.2.8.		53
	3.2.8.	5 Kolonie-PCR	54
	3.2.8.		
	3.2.8.	7 Glycerolstocks zur Aufbewahrung	54
	3.2.9	Sequenzierung mit dem halbautomatischen Sequenziersystem ABI PRISM® 37	7
	J	DNA Sequencer	55
	3.2.9.		
	320	2 Sequenzierreaktion der Plasmid DNA	55

3.2.9		56
3.2.10	Nachweismethoden der Polymorphismen	
3.2.1	0.1 PCR-RFLP	56
3.2.1	0.2 Tetra-Primer ARMS-PCR	57
3.2.11	Denaturierende Polyacrylamidgelelektrophorese	
3.2.1	1.1 Denaturierende Polyacrylamidgelelektrophorese mit dem halbautomatischen	
	Sequenziersystem ALFexpress	59
3.2.1	1.2 Denaturierende Polyacrylamidgelelektrophorese mit dem ABI PRISM® 377	
	DNA Sequencer	
	1.3 Fragmentanalyse	59
3.2.12	Genetisch-statistische Methoden	
	2.1 Hardy-Weinberg-Gleichgewicht	
	2.2 Chi <sup>2</sup> -Test	
	2.3 Varianzanalyse	
	2.12.3.1 Varianzanalysen der Kandidatengene CCKBR, DRD4 und SERT	
	2.12.3.2 Varianzanalyse des Kandidatengens MAOA	
3.2	2.12.3.3 Varianzanalysen der Mikrosatelliten auf BTA1	62
3.2.1	2.4 Kartierung des <i>DRD4</i> -Gens auf BTA29	62
3.2.1	2.5 QTL-Analysen für Temperament auf BTA1 und BTA29	63
4 ERG	EBNISSE	64
	olekulargenetische Ergebnisse	
4.1.1	Sequenzen und DNA-Varianten der Kandidatengene	
4.1.1		
4.1.1		
4.1.1		65
4.1.1		66
	Darstellung von DNA-Varianten der Kandidatengene mittels der verschiedenen	
	Nachweismethoden	
4.1.2		
	.2.1.1 CCKBR (Intron 3)	
	.2.1.2 DRD4 (Intron 1)	
	1.2.1.3 MAOA (Exon XV)	70
4.1.2		
	1.2.2.1 <i>CCKBR</i> (3'UTR)	
4.1	1.2.2.2 SERT (Intron 13)	72
4.1.3	Mikrosatellitenanalyse mit dem ALF <i>express</i>	74
4.1.4	Mikrosatellitenanalyse mit dem ABI PRISM® 377 DNA Sequencer	74
4.2 Ge	enetisch-statistische Ergebnisse	75
4.2.1	Signifikanzniveaus der untersuchten Einflussfaktoren des Grundmodells der	
	Varianzanalysen und der QTL-Analysen	
4.2.2	Allel- und Genotypfrequenzen des Nukleotidaustausches im CCKBR (Intron 3)	76
4.2.3	Einfluss des Nukleotidaustausches im <i>CCKBR</i> (Intron 3) auf Verhaltensscores	
	mittels Chi <sup>2</sup> -Test	77
	Einfluss des Nukleotidaustausches im CCKBR (Intron 3) auf Verhaltensscores	
	mittels Varianzanalyse	
4.2.5	Allel- und Genotypfrequenzen des Nukleotidaustausches im CCKBR (3'UTR)	79
4.2.6	Einfluss des Nukleotidaustausches im CCKBR (3'UTR) auf Verhaltensscores	
	mittels Chi <sup>2</sup> Test	QΛ

	4.2.7	Einfluss des Nukleotidaustausches im CCKBR (3'UTR) auf Verhaltensscores mittels Varianzanalyse	80
	4.2.8	Allel- und Genotypfrequenzen des Nukleotidaustausches im <i>DRD4</i> (Intron 1)	
	4.2.9	Einfluss des Nukleotidaustausches im <i>DRD4</i> auf Verhaltensscores mittels Chi <sup>2</sup> -T	est
	4.2.10		. 02
		Varianzanalyse	
	4.2.11	Allel- und Genotypfrequenzen des Nukleotidaustausches im MAOA (Exon XV	. 83
	4.2.12	Einfluss des Nukleotidaustausches im MAOA auf Verhaltensscores mittels Chi Test	2_
	4.2.13	Einfluss des Nukleotidaustausches im MAOA auf Verhaltensscores mittels Varianzanalyse	. 85
	4.2.14	Allel- und Genotypfrequenzen des Nukleotidaustausches im SERT (Intron 13).	. 86
	4.2.15	Einfluss des Nukleotidaustausches im SERT auf Verhaltensscores mittels Chi <sup>2</sup> -	-
		Test	. 87
	4.2.16	Einfluss des Nukleotidaustausches im SERT auf Verhaltensscores mittels	
		Varianzanalyse	
	4.2.17	Analyse der Mikrosatelliten auf BTA1	
	4.2.	17.1 Varianzanalyse des Einflusses der Allele der Mikrosatelliten auf BTA1 auf c Verhaltensscores	
	4.2.18	Analyse der Mikrosatelliten auf BTA29	
	4.2.19	Kartierung des DRD4-Gens auf BTA29	. 93
	4.2.20	QTL-Analysen für Verhaltensscores auf BTA1 und BTA29	.96
5	DIS	KUSSION	.99
6	ZUS	SAMMENFASSUNG1	121
7	SUN	MMARY	122
8	LIT	ERATURVERZEICHNIS	123
9	ANI	HANG	143

## Verzeichnis der Abbildungen

Abbildung 1: Schematische Darstellung der Funktionsweise der Tetra-Primer ARMS-PCR
modifiziert nach Ye et al. (2001) am Beispiel eines G/A-Nukleotidaustausches58
Abbildung 2: Vergleich der eigenen Sequenz des amplifizierten DRD4-Fragmentes mit
Sequenzen aus der Genbank für Bos taurus (BT, AY263349), Homo sapiens (HS,
L12397) und Equus caballus (EC, EF561289) unter Angabe der Position der jeweiligen
Gesamtsequenz und Hervorhebung des identifizierten SNP (G/T) durch graue
Unterlegung. Identische Nukleotide zwischen den Sequenzen sind durch senkrechte
Striche, Unterschiede durch Punkte und fehlende Nukleotide durch waagrechte Striche
gekennzeichnet65
Abbildung 3: Ausschnitt aus der hier amplifizierten Nukleotidsequenz von MAOA, Intron 14
und Exon XV mit entsprechender Aminosäuresequenz; der Nukleotidaustausch (C/T) an
Position 26 des Exons XV und der daraus resultierende Aminosäureaustausch sind grau
unterlegt
<b>Abbildung 4:</b> Sequenz des 198bp-Fragmentes aus <i>CCKBR</i> (Intron 3) mit Primersequenzen in
Kleinbuchstaben, grau unterlegtem Nukleotidaustausch (Y=C/T) an Position 67.
Markierung der Schnittstellen von <i>BseN</i> I an den Positionen 67 und 144 durch ↓ und der
Erkennungssequenz durch Unterstrich sowie der Trankriptionsfaktorenbindestelle für
MZF1 in kursiver Schrift
<b>Abbildung 5:</b> Genotypisierung des C/T-Austausches im <i>CCKBR</i> (Intron 3) durch PCR-
RFLP-Analyse nach Inkubation mit <i>BseN</i> I und Auftrennung im Agarosegel
<b>Abbildung 6:</b> Sequenz des 113bp-Fragmentes aus <i>DRD4</i> (Intron 1) mit Primersequenzen in
Kleinbuchstaben, grau unterlegtem Nukleotidaustausch (K=G/T) an Position 21 und
Markierung der Schnittstelle von Alw26I durch ↓ sowie der Erkennungssequenz durch
Unterstrich
<b>Abbildung 7:</b> Genotypisierung des G/T-Austausches im <i>DRD4</i> (Intron 1) durch PCR-RFLP-
Analyse nach Inkubation mit <i>Alw26</i> I und Auftrennung im Agarosegel
<b>Abbildung 8:</b> Sequenz des 429bp-Fragmentes aus MAOA (Intron 14 und Exon XV) mit
Primersequenzen in Kleinbuchstaben, grau unterlegtem Nukleotidaustausch (Y=C/T) an
Position 224 und Markierung der Schnittstellen von <i>Mnl</i> I durch \ sowie der
Erkennungssequenz durch Unterstrich
<b>Abbildung 9:</b> Genotypisierung des Nukleotidaustausches im <i>MAOA</i> , Exon XV durch PCR-
RFLP-Analyse nach Inkubation mit <i>Mnl</i> I und Auftrennung im Agarosegel71
Abbildung 10: Sequenz des Kontrollfragmentes der äußeren Primer aus CCKBR (3'UTR) mit
grau unterlegtem Nukleotidaustausch (Y=C/T) an Position 147 und Darstellung der
Primerbindungsstellen in Kleinbuchstaben, wobei die der äußeren Primer kursiv und die
der inneren Primer in fett dargestellt sind. Der Primer CCKBR 3'UTR In F bindet von
Position 120 bis 147 und der Primer CCKBR 3'UTR In R von Position 147 bis 174. 72
Abbildung 11: Genotypisierung des C/T-Austausches im CCKBR (3'UTR) durch Tetra-
Primer ARMS-PCR mit Auftrennung der allelspezifischen PCR-Produkte und
Kontrollfragment der äußeren Primer (266 bp) im Agarosegel72
Abbildung 12: Sequenz des Kontrollfragmentes der äußeren Primer aus SERT (Intron 13) mit
grau unterlegtem Nukleotidaustausch (R=A/G) an Position 207 und Darstellung der
Primerbindungsstellen in Kleinbuchstaben, wobei die der äußeren Primer kursiv und die
der inneren Primer in fett dargestellt sind. Der Primer BT_SERTP IN F bindet von
Position 181 bis 207 und der Primer BT SERTP IN R von Position 207 bis 232 73
Abbildung 13: Genotypisierung des G/A-Austausches im SERT (Intron 13) durch Tetra-
Primer ARMS-PCR mit Auftrennung der allelspezifischen PCR-Produkte und
Kontrollfragment der äußeren Primer (375bp) im Agarosegel

Abbildung 14: Darstellung von Mikrosatellitenallelen am ALFexpress der Mikrosatelliten
BMS1928 und DIK634 bei sechs verschiedenen Tieren (Reihe 11 bis 16) mit externem
Größenmarker in Reihe 10, dessen Allele durch blaue Kreise gekennzeichnet sind. Die
Allele der Mikrosatelliten sind mit roten Quadraten gekennzeichnet und die
entsprechenden Größen der Peaks in Basenpaaren manuell eingefügt. Die mit grünen
Kreisen markierten Peaks in den Reihen 11 bis 16 stellen die internen Größenmarker
(124/202/266) dar
Abbildung 15: Darstellung von Mikrosatellitenallelen am ABI PRISM® 377 DNA Sequencer
von OarHH22 und BMS1857 bei vier Tieren (Tier 1-4). Unterhalb jedes Allelpeaks
befindet sich ein oberes Kästchen mit Angabe der definierten Allelgröße und ein unteres
mit der effektiv gemessenen Größe
<b>Abbildung 16:</b> Gegenüberstellung der Allelfrequenzen des Nukleotidaustausches im <i>CCKBR</i> im Intron 3 bezüglich der Extremwerte der vergebenen Verhaltensscores (1 = ruhig und
5 = extrem nervös/aufgeregt) für die Kälber der Rassen Dt. Angus und Dt. Fleckvieh
unter Angabe der Signifikanzen und der Anzahl (n) Kälber der jeweiligen Klassen 78
Abbildung 17: Gegenüberstellung der Allelfrequenzen des Nukleotidaustausches im CCKBR
in der 3'UTR bezüglich der Extremwerte der vergebenen Verhaltensscores (1 = ruhig
und 5 = extrem nervös/aufgeregt) für die Kälber der Rassen Dt. Angus und Dt. Fleckvieh
unter Angabe der Signifikanzen und der Anzahl (n) Kälber der jeweiligen Klassen 80
<b>Abbildung 18:</b> Gegenüberstellung der Allelfrequenzen des Nukleotidaustausches im <i>DRD4</i>
bezüglich der Extremwerte der vergebenen Verhaltensscores (1 = ruhig und 5 = extrem
nervös/aufgeregt) für die Kälber der Rassen Dt. Angus und Dt. Fleckvieh unter Angabe
der Signifikanzen und der Anzahl (n) Kälber der jeweiligen Klassen82
Abbildung 19: Gegenüberstellung der Allelfrequenzen des Nukleotidaustausches im MAOA
bezüglich der Extremwerte der vergebenen Verhaltensscores (1 = ruhig und 5 = extrem
nervös/aufgeregt) für die Kälber der Rassen Dt. Angus und Dt. Fleckvieh unter Angabe
der Signifikanzen und der Anzahl (n) Kälber der jeweiligen Klassen85
Abbildung 20: Gegenüberstellung der Allelfrequenzen des Nukleotidaustausches im SERT
bezüglich der Extremwerte der vergebenen Verhaltensscores (1 = ruhig und 5 = extrem
nervös/aufgeregt) für die Kälber der Rassen Dt. Angus und Dt. Fleckvieh unter Angabe
der Signifikanzen und der Anzahl (n) Kälber der jeweiligen Klassen87
<b>Abbildung 21:</b> Kartierung von <i>DRD4</i> mittels zehn Mikrosatellitenmarkern auf BTA29 (29-1
- 29-10) in beiden Rassen getrennt und über beide Rassen hinweg. Die
Lokalisationsangaben sind in centiMorgan (cM) auf der jeweils linken Seite angegeben, davon ausgehend, dass <i>BMS1857</i> der proximalste Marker bei 0 cM ist und die
Markernamen sind auf der jeweils rechten Seite angeschrieben94
Abbildung 22: Kartierung von <i>DRD4</i> mittels 14 Mikrosatellitenmarkern auf BTA29 (29-1 –
29-14) mit einer detailierteren Auftrennung des distalen Abschnittes in beiden Rassen
getrennt. Die Lokalisationsangaben sind in centiMorgan (cM) auf der jeweils linken
Seite angegeben, davon ausgehend, dass <i>BMS1857</i> der proximalste Marker bei 0 cM ist
und die Markernamen sind auf der jeweils rechten Seite angeschrieben
Abbildung 23: Graphische Darstellung der Ergebnisse der QTL-Analyse der Mikrosatelliten
auf BTA1 mit relativen Lokalisationsangaben auf der X-Achse und Angabe des
erreichten F-Wertes auf der Y-Achse für jeden Mikrosatelliten und die Verhaltensscores
MIN2AT, SCEINWT, SCWGWT und SCAST sowie Kennzeichnung des 5%-
Signifikanzniveaus für die Rasse Dt. Angus
Abbildung 24: Graphische Darstellung der Ergebnisse der QTL-Analyse der Mikrosatelliten
auf BTA1 mit relativen Lokalisationsangaben auf der X-Achse und Angabe des
erreichten F-Wertes auf der Y-Achse für jeden Mikrosatelliten und die Verhaltensscores
MIN2AT, SCEINWT, SCWGWT und SCAST sowie Kennzeichnung des 5%-
Signifikanzniyeaus für die Rasse Dt. Fleckvieh

Abbildung 25: Graphische Darstellung der Ergebnisse der QTL-Analyse der Mikrosatelliten
29-1 bis 29-10 auf BTA29 mit relativen Lokalisationsangaben der eigenen Karte
(Abbildung 21) auf der X-Achse und Angabe des erreichten F-Wertes auf der Y-Achse
für jeden Mikrosatelliten und die Verhaltensscores MIN2AT, SCEINWT, SCWGWT
und SCAST sowie Kennzeichnung des 5%-Signifikanzniveaus für die Rasse Dt. Angus.
98
Abbildung 26: Graphische Darstellung der Ergebnisse der QTL-Analyse der Mikrosatelliten
auf BTA29 mit relativen Lokalisationsangaben der eigenen Karte (Abbildung 21) auf der
X-Achse und Angabe des erreichten F-Wertes auf der Y-Achse für jeden Mikrosatelliten
und die Verhaltensscores MIN2AT, SCEINWT, SCWGWT und SCAST sowie
Kennzeichnung des 5%-Signifikanzniveaus für die Rasse Dt. Fleckvieh
Abbildung 27: Ausschnitt der vergleichenden Kartierung HSA11, Block I (in 10 <sup>6</sup> bp) mit der
Lokalisation des humanen DRD4 und distaler Abschnitt von BTA29 (in cR5000) nach
Larkin et al. (2003)
Abbildung 28: Ausschnitt des distalen Abschnittes der vergleichenden Karten von BTA29
aus Ajmone Marsan <i>et al.</i> (2008)
Abbildung 29: Schematische Darstellung des proximalen Abschnittes von BTA1 mit den
Positionen des QTL von Gutiérrez-Gil et al. (2008) und des Polled Locus nach Schmutz
et al. (1995) und Drögemüller et al. (2005) sowie Darstellung des proximalsten in dieser
Arbeit untersuchten Mikrosatelliten BMS1928 und des QTL von Schmutz et al. (1995),
aufgrunddessen diese Untersuchung durchgeführt wurde
Abbildung 30: Schematische Darstellung der telomerischen Abschnitte von BTA29 mit den
Positionen der QTL von Hiendleder et al. (2003) und Gutiérrez-Gil et al. (2008) sowie
der genetisch kartierten Lokalisation des DRD4 und den in dieser Arbeit detektierten
putativen QTL beider Rassen und Bereich des Anstiegs des F-Wertes bei FV120

VIII TABELLEN

### Verzeichnis der Tabellen

Tabelle 1: Aufstellung der Halbgeschwisterfamilien nach Rassen getrennt, mit
Nachkommenzahlen je Jahr und nach Geschlechtern getrennt31
Tabelle 2: Bewertung der Kälber der Jahrgänge 1998 – 2001 für den Score MIN2AT 32
Tabelle 3: Bewertung der Kälber der Jahrgänge 1998 – 2001 für den Score SCEINWT 33
Tabelle 4: Bewertung der Kälber der Jahrgänge 1998 – 2001 für den Score SCWGWT 33
Tabelle 5: Bewertung der Kälber der Jahrgänge 1998 – 2001 für den Score SCAST34
Tabelle 6: Größen der verwendeten externen und internen Marker zur Größenbestimmung am
ALFexpress in Basenpaaren40
Tabelle 7: Die zur Analyse der Kandidatengene verwendeten Primer mit Sequenzen, den
Größen und Genbereichen der amplifizierten Produkte sowie der Einsatz der Primer 47
Tabelle 8: PCR-Bedingungen mit Taq-Polymerase der Kandidatengene CCKBR, DRD4,
MAOA und SERT mit je 0,2 mM je Base Didesoxynucleotidtriphosphaten und Angabe
der vom Testprotokoll (siehe 3.2.3.2) abweichenden Zyklendauern, Annealingtemperatur
und Elongationszeit
Tabelle 9: Alle analysierten Mikrosatelliten mit Angabe ihrer Lokalisation auf dem
jeweiligen Chromosom sowie den Literaturangaben zu Allelgrößen und Anzahl der
Allele nach MARC USDA (http://www.marc.usda.gov/genome/htmls)49
Tabelle 10: Bedingungen für die PCR-Reaktionen mit Taq-Polymerase der Mikrosatelliten
BMS574, BMS1928, DIK634 und BMS1787 nach dem angepassten Testprotokoll (siehe
3.2.3.2) mit 30 Zyklen zu je 30 Sekunden und den geänderten Bedingungen50
Tabelle 11: Zusammenstellung der Mikrosatelliten der Multiplex (MP) PCR-Reaktionen für
BTA1 und BTA29 mit Angabe der Abweichungen des Standardprotokolls (siehe 3.2.3.3)
bei Primerkonzentrationen, Annealingtemperaturen und Dauer der einzelnen Abschnitte
der Zyklen sowie der abschließenden Elongation50
Tabelle 12: Primer mit Sequenzen und Farbstoff zur Analyse der Mikrosatelliten auf BTA1
und BTA2951
Tabelle 13: Ansätze zur restriktionsenzymatischen Spaltung der PCR-Produkte mit
Nukleotidaustauschen der Kandidatengene CCKBR, DRD4 und MAOA sowie die
Inkubationstemperaturen
Tabelle 14: Zur elektrophoretischen Auftrennung der Fragmente der PCR-RFLP-Analysen
verwendete Agarosegelkonzentrationen und Laufbedingungen
Tabelle 15: Genbereiche und identifizierte Nukleotidaustausche, Lokalisationsbezeichnungen
in Genbanksequenzen und Besonderheiten
Tabelle 16: Signifikanzniveaus der untersuchten Einflussfaktoren des für die Varianzanalysen
und QTL-Analysen verwendeten Grundmodells getrennt nach Rassen und den vier
verschiedenen Scores
Tabelle 17: Allel- und Genotypfrequenzen des Nukleotidaustausches in CCKBR (Intron 3)
der Kälber beider Rassen sowie das Testergebnis über das Vorliegen des Hardy-
Weinberg-Gleichgewichtes
Effekt des Genotyps im <i>CCKBR</i> (Intron 3) bei den Rassen Dt. Angus und Dt. Fleckvieh.
Effekt des Genotyps im CCKBK (inition 3) bei den Kassen Dt. Angus und Dt. Fieckvien.
Tabelle 19: Signifikanzniveau des Einflusses des Genotyps im CCKBR (Intron 3) auf die
Verhaltensscores unter Berücksichtigung der unter 4.2.1 Einflussfaktoren
<b>Tabelle 20:</b> Allel- und Genotypfrequenzen des Nukleotidaustausches in <i>CCKBR</i> (3'UTR) der
Kälber beider Rassen
Tabelle 21: LSQ-Mittelwerte und Standardfehler (in Klammern) der Verhaltensscores für den
Effekt des Genotyps im <i>CCKBR</i> (3'UTR) bei den Rassen Dt. Angus und Dt. Fleckvieh.
Effect des Genotyps in CCRDR (5 OTR) dei den Rassen Dt. Angus und Dt. Fieckvien.

Tabelle 22: Signifikanzniveau des Einflusses des Genotyps im CCKBR (3'UTR) auf die
Verhaltensscores unter Berücksichtigung der unter 4.2.1 genannten Einflussfaktoren81
<b>Tabelle 23:</b> Allel- und Genotypfrequenzen des Nukleotidaustausches in <i>DRD4</i> (Intron 1) der
Kälber beider Rassen sowie das Testergebnis über das Vorliegen des Hardy-Weinberg-
Gleichgewichtes.
Tabelle 24: LSQ-Mittelwerte und Standardfehler (in Klammern) der Verhaltensscores für der
Effekt des Genotyps im DRD4 (Intron 1) bei den Rassen Dt. Angus und Dt. Fleckvieh. 83
Tabelle 25: Signifikanzniveau des Einflusses des Genotyps im DRD4 (Intron 1) auf die
Verhaltensscores unter Berücksichtigung der unter 4.2.1 genannten Einflussfaktoren 83
Tabelle 26: Allel- und Genotypfrequenzen des Nukleotidaustausches in MAOA (Exon XV)
bei Dt. Angus und Dt. Fleckvieh nach Geschlechtern getrennt
Tabelle 27: Signifikanzniveau des Einflusses des Genotyps im MAOA (Exon XV) auf die
Verhaltensscores unter Berücksichtigung der in 4.2.1 gennanten Einflussfaktoren 86
Tabelle 28: LSQ-Mittelwerte und Standardfehler (in Klammern) der Verhaltensscores für der
Effekt des Genotyps im MAOA bei den bei den Rassen Dt. Angus und Dt. Fleckviel
nach Geschlechtern getrennt
Tabelle 29: Allel- und Genotypfrequenzen des Nukleotidaustausches im SERT (Intron 13)
beider Rassen87
Tabelle 30: LSQ-Mittelwerte und Standardfehler (in Klammern) der Verhaltensscores für der
Effekt des Genotyps im SERT (Intron 13) bei den Rassen Dt. Angus und Dt. Fleckvieh
88
Tabelle 31: Signifikanzniveau des Einflusses des Genotyps im SERT auf die Verhaltensscores
unter Berücksichtung der in 4.2.1 genannten Einflussfaktoren
Tabelle 32: Prozentuale Häufigkeiten der Mikrosatellitenallele von BMS1928, DIK634
BMS574, BMS4020 und DIK4957 auf BTA1 für die beiden Rassen und die jeweiliger
Standardallele89
Tabelle 33: Signifikanzniveau der in der Varianzanalyse gegen das Standardalle
untersuchten Substitutionseffekte der Allele mit >5% prozentualer Häufigkeit der
Mikrosatelliten auf BTA190
Tabelle 34: Allelsubstitutionseffekte mit Standardfehlern der Allele nahe der
Signifikanzgrenze mit dem entsprechenden Merkmal und der Rasse91
Tabelle 35: Prozentuale Häufigkeiten der Mikrosatellitenallele von BTA29 innerhalb der
beiden Rassen mit prozentualer Angabe der erfolgreichen Typisierungen für jeder
Mikrosatellit über beide Rassen hinweg
Tabelle 36: Anteil der informativen Meiosen der Mikrosatelliten auf BTA29 bei beider
Rassen und der Polymorphic Information Content (PIC) der einzelnen Marker93
Tabelle 37: In der Chi <sup>2</sup> -Analyse berücksichtigte Tierzahlen der jeweiligen Extremwerte der
Scores
Tabelle 38: Vergleich der p-Werte der in einer der beiden Analysen (Chi <sup>2</sup> -Test und
Varianzanalyse) signifikanten Assoziation für die Polymorphismen der Kandidatengene
CCKBR, DRD4 und SERT mit den entsprechenden Merkmalen in den jeweiligen Rassen
Tabelle 39: Allelfrequenzen des Nukleotidaustausches im CCKBR (Intron 3) der Kälber im
Vergleich mit den Allelfrequenzen innerhalb der Rasse
vergieren init den Anemequenzen innernatio der Rasse
Tabelle 40: Allelfrequenzen des Nukleotidaustausches im CCKBR (3'UTR) der Kälber im
Vergleich mit den Allelfrequenzen innerhalb der Rasse109
Tabelle 41: Allelfrequenzen des Nukleotidaustausches im DRD4 (Intron 1) der Kälber im
Vergleich mit den Allelfrequenzen innerhalb der Rasse
<b>Tabelle 42:</b> Alle analysierten Mikrosatelliten mit Literaturangaben zu Allelgröße (in bp) und
Allelanzahl (n) nach MARC USDA (http://www.marc.usda.gov/genome/htmls) in

X TABELLEN

Tabellen im Anhang
Tabelle 1A: Häufigkeit der Größen (1 bis 5) der Vollgeschwistergruppen für die Bullen mit
Gesamtzahl Nachkommen und Dauer des Einsatzes des Bullens
innerhalb der Rassen verwendeten Mütter
<b>Tabelle 3A:</b> Typisierungsergebnisse der eingesetzten Bullen für die Nukleotidaustausche der
Kandidatengene CCKBR, DRD4, MAOA und SERT
<b>Tabelle 4A:</b> Typisierungsergebnisse der eingesetzten Bullen für die Mikrosatelliten auf BTA1 (1-1 – 1-5) mit Anzahl der heterozygoten Marker je Bulle
Tabelle 5A: Typisierungsergebnisse der eingesetzten Bullen für die ersten zehn
Mikrosatelliten auf BTA29 (29-1 – 29-10) mit Anzahl der heterozygoten Marker je
Bulle 146
<b>Tabelle 6A:</b> Typisierungsergebnisse der eingesetzten Bullen für die weiteren vier Mikrosatelliten auf BTA29 (29-11 – 29-14) mit Anzahl der heterozygoten Marker je Bulle. <b>147</b>
Tabelle 7A: Typisierungsergebnisse der Mikrosatelliten der Referenzprobe "Giessen2000"
(= DAblau25) aus dem EU-Projekt RESGEN CT98-118147

#### Abkürzungsverzeichnis

% Prozent
°C Grad Celsius
μl Mikroliter
5HT Serotonin

5HTT Serotonintransporte

5HTTLPR Serotonintransportergene-linked-polymorphic-region

6-FAM Fluoreszenzfarbstoff für Oligonukleotide

A,a Adenin

ADH Aufmerksamkeits-Defizit-Syndrom mit Hyperaktivität

Alw26I Restriktionsenzym Alw26I BAC Bacterial Artificial Chromosome

bp Basenpaare

BseNI Restriktionsenzym BseNI

BT Bos taurus

BTA Bos taurus Autosom bzw. beziehungsweise

C,c Cytosin ca. circa

CCK Cholecystokinin

CCKAR Cholecystokininrezeptor A
CCKBR Cholecystokininrezeptor B
cDNA Complementary DNA

cM centiMorgan

Cy5 Fluoreszenzfarbstoff für Oligonukleotide

Cys Cystein

DA Deutsch Angus
DMSO Dimethylsulfoxid
DNA Desoxyribonucleinsäure
dNTP Desoxynucleotidtriphosphat

DRD4 Dopaminrezeptor D4
Dt. / dt. Deutsch / deutsch
EC Equus caballus

et al. et alia exkl. exklusive

FAD Flavin-Adenin-Dinucleotid

for. Forward Primer FV Dt. Fleckvieh G,g Guanin

HF Holstein Friesian
HS Homo sapiens

HWG Hardy-Weinberg-Gleichgewicht

K Nukleotidaustausch von Guanin und Thymin

kb Kilobasenpaare kDa kiloDalton Leu Leucin M Molar mA milliampere

MAOA Monoaminoxidase A MAOB Monoaminoxidase B mg Milligramm Mg<sup>2+</sup> Magnesium min Minute

MIN2AT Score des Anbindetestes

ml Milliliter mM millimolar

Mn/I Restriktionsenzym Mn/II mRNA Messenger RNA n Anzahl

n.s. Anzani n.s. nicht signifikant

NED Fluoreszenzfarbstoff für Oligonukleotide

NEO-PI-R Fragebogen zur Messung des Fünf-Faktoren-Modells der Persönlichkeit

PCR Polymerase Chain Reaction (Polymerasekettenreaktion)

PD Panic Disorders pH pH-Wert

PIC Polymorphic Information Content

pmol Picomol Pos. Position Pro Prolin

QTL Quantitative Trait Locus

R Nukleotidaustausch von Adenin und Guanin

rev. Reverse Primer

RFLP Restrikriktions-Fragment-Längen-Polymorphismus

RNA Ribonucleinsäure rpm rounds per minute RT-PCR Real Time-PCR

s Sekunde

SCAST Score des Separier- und Rückhaltetestes SCEINWT Score beim Betreten der Waage

SCWGWT Score während des Wiegens SERT Serotonintransporter SLC6A4 Serotonintransporte

SNP Single Nucleotid Polymorphism (Einzelnukleotidaustausch)

SSR Simple Sequence Repeat

SSRI Selective Serotonin Reuptake Inhibitor

T,t Thymin

TM Transmembranäre Domäne

TPQ Tridimensional Personality Questionnaire

U Unit

UTR Untranslated Region

V Volt

VNTR Variable Number of Tandem Repeats

w/v Gewichtsprozent

x -fach

Y Nukleotidaustausch von Cytosin und Thymin

## 1 Einleitung

Die Bedeutung der Molekulargenetik in der Tierzucht nimmt immer mehr zu. Für das Rind konnten Gentests zum Nachweis von Erbkrankheiten wie zum Beispiel Bovine Leukozytenadhäsionsdefizienz (BLAD, direkter Nachweis (Kehrli *et al.* 1992; Shuster *et al.* 1992)) oder Weaver (Bovine Progressive Degenerative Myeloencephalopathie, indirekter Nachweis (Georges *et al.* 1993a; Hoeschele und Meinert 1990)) entwickelt werden, mit deren Hilfe Tiere mit entsprechendem Defektallel identifiziert werden können. Auch im Rahmen der markergestützten Selektion greifen molekulargenetische Methoden in die Rinderzucht ein, um die Selektion der Tiere, besonders der Bulleneltern, nicht nur auf phänotypischer Ebene durchzuführen und dadurch den Zuchtfortschritt zu erhöhen.

Neben den zurzeit in Deutschland in der Tierzucht gängigen molekulargenetischen Anwendungen im Bereich der Gesundheit/Erbkrankheiten der Rinder können auch die potentiell möglichen Leistungen der Tiere auf molekulargenetischer Ebene dargestellt werden. Hier sei als Beispiel das für die Diacylglycerol-O-acyltransferase (DGAT1) kodierende Gen mit einer Lysin-Alanin-Substitution (K232A) genannt, wobei das Lysin-Allel mit höherem Milchfettgehalt assoziiert ist (Kaupe et al. 2004; Thaller et al. 2003; Winter et al. 2002). Auch die genetischen Varianten der Kaseine (Kappa-Kaseine) in der Milch, durch die sich verschiedene Proteinmengen (Ng-Kwai-Hang et al. 1984) und unterschiedliche Käsereitauglichkeit ergeben, werden untersucht (Landeskuratorium der Erzeugerringe für tierische Veredelung in Bayern e.V. 2006). Neben den molekulargenetischen Tests für Gesundheit und Leistung gibt es auch Gentests zum Beispiel für die Fellfarbe, wie den Rotfaktor bei schwarzbunten Dt. Holstein Bullen (Klungland et al. 1995, GeneControl GmbH, Grub, www.genecontrol.de). Ein aufgrund des Wandels in der Landwirtschaft neben der Gesundheit und Leistung der Tiere immer wichtiger werdender Aspekt ist das Verhalten der Tiere gegenüber dem Menschen. Dies ist besonders im Bereich der Rinder zu sehen, da es hier immer häufiger eine Umstrukturierung von Milchviehhaltung zu Mutterkuhhaltung gibt. Der Anteil der Ammenund Mutterkuhhaltung am Gesamtrinderbestand in Deutschland lag 1984 noch bei 0,5% und ist dann kontinuierlich bis 2007 auf 5,2% gestiegen (Statistisches Bundesamt 2007; seit 2008 keine separate Erfassung der Mutterkühe mehr). Durch den geringeren Mensch-Tier-Kontakt bei dieser im Vergleich zur Milchkuhhaltung oft extensiveren Haltungsform ist das instinktive Verhalten der Tiere dem Menschen gegenüber von entscheidender Bedeutung für die beiderseitige Sicherheit. Auch aus Sicht des Tierschutzes hat das Verhalten der Tiere einen hohen Stellenwert, da unruhiges Verhalten auch immer ein größeres Verletzungsrisiko birgt.

Für Verhalten gibt es verschiedene Definitionen (Mathiak 2002; Urban 2007) und die Einschätzung tierischen Verhaltens ist oft von subjektiven Eindrücken geprägt, was die objektive Erfassung dieses komplexen und multifaktoriellen Merkmals erschwert (Andersson und Georges 2004).

Die hier vorliegende Arbeit befasst sich mit den verschiedenen molekulargenetischen Ansätzen zur Erfassung von Genvarianten mit Einfluss auf das Verhalten von Mutterkuhrassen; im speziellen das Verhalten der Kälber der Rassen Dt. Angus und Dt. Fleckvieh in standardisierten Testsituationen.

Ziel ist die Identifizierung von genetischen Polymorphismen in Kandidatengenen sowie Mutationen in Chromosomenabschnitten, die funktionell oder positionell mit Verhaltensausprägungen in Verbindung stehen könnten. Diese Varianten werden auf ihre Assoziation zu erhobenen Verhaltensmerkmalen in Standardtestsituationen analysiert. Mit positiv getesteten Varianten wird die Entwicklung von Gentests und Nutzung in der Markergestützten Selektion bei der Zucht von extensiv genutzten Mutterkuhrassen angestrebt.

#### 2 Literaturübersicht

## 2.1 Temperament und Umgänglichkeit bei Rindern

Temperament eines Tieres ist definiert als die Reaktion eines Tieres auf Handling durch den Menschen (Burrow 1997) und wird auch als Umgänglichkeit des Tieres bezeichnet (Grignard et al. 2000). Diese Umgänglichkeit ist in der täglichen Arbeit mit Tieren, besonders mit Rindern, von Bedeutung, sowohl für die Arbeitssicherheit als auch hinsichtlich des Tierschutzes und auch aus ökonomischen Gesichtspunkten. Zum Einen ist die Arbeit mit umgänglichen Rindern sicherer (Grandin 1993) und gleichzeitig zeitsparender, was wiederum Arbeitszeitkosten einspart (Becker und Lobato 1997). Zum Anderen haben ruhigere Tiere bessere Zunahmen (Tulloh 1961b; Voisinet et al. 1997) und höhere Fleischqualität (Fordyce et al. 1988b) als ihre unruhigeren Artgenossen.

Mit den im Vergleich zu *Bos taurus* Rindern im Verhalten schwierigeren *Bos indicus* Rindern konnte festgestellt werden, dass ein Umgang mit Kälbern im frühen Alter (1-2 Monate) schon positive Auswirkungen auf das spätere Verhalten der Tiere haben kann (Becker und Lobato 1997). Ebenso entscheidend für das spätere Verhalten von Tieren in Handlingsituationen ist aber der Umgang mit ihnen kurz nach dem Absetzen (Boivin *et al.* 1992). In der praktischen Mutterkuhhaltung sind solche Trainingseinheiten aber nicht oder nur sehr schwer umsetzbar. Somit kommt dem tiereigenen Grundverhalten eine besondere Bedeutung zu, da der Mensch-Tier-Kontakt in dieser Haltungsform in der Regel eher eingeschränkt ist (Gauly *et al.* 2001). Im Bereich der Fleischrinder und Mutterkühe gibt es schon seit längerem Studien, das Verhalten der Tiere zu evaluieren und dann diese Erkenntnisse züchterisch zu nutzen (Fordyce *et al.* 1988a; Tulloh 1961a).

In diesem Zusammenhang wurden verschiedene Testverfahren entwickelt, die in den täglichen Arbeitsablauf integrierbar sind und auch verschiedene Aspekte des Verhaltens berücksichtigen. Bei diesen Tests werden zuvor definierte Scores für bestimmte Verhaltensweisen vergeben, wobei niedrige Scores für ruhige und hohe Scores für nervöse und/oder aggressive Tiere stehen. Die Tests werden in Tests mit Einschränkung der Beweglichkeit des Tieres und Tests ohne Bewegungseinschränkung eingeteilt (Mathiak 2002; Urban 2007). Erstere dienen der Erfassung des Temperamentes in fixierten Momenten, wie sie bei verschiedenen Handlingsituationen mit Rindern, zum Beispiel tierärztlicher Behandlung, vorkommen. Die zweite Variante kann die Angst vor Menschen in Kombination mit der natürlichen Neugierde der Tiere sowie das Erkundungsverhalten erfassen. Zu den Tests mit

Bewegungseinschränkung zählen zum Beispiel der Anbindetest und der Wiegetest. Bei dem Anbindetest werden die Kälber mittels Kopfstrick für eine festgelegte Zeitdauer fixiert und die Bewegungsaktivität oder auch Lautäußerungen, Harn- und Kotabsatz als Parameter zur Beurteilung des Verhaltens herangezogen (Boissy und Bouissou 1988; Mathiak 2002). Im Rahmen des Wiegetestes (Fordyce et al. 1988a; Grandin 1993; Tulloh 1961a; Tulloh 1961b) wird das Verhalten der Tiere in verschiedenen Phasen des Wiegevorganges bewertet. Dieser Test kann auch noch um den Aspekt der Fluchtgeschwindigkeit bei Verlassen der Waage ergänzt werden. Vorteil dieses Testes ist die Praxisnähe, da die Tiere im Zuge des regulären Produktionsablaufes generell gewogen werden müssen. Als Test ohne Bewegungseinschränkung für das Tier gilt der kombinierte Separier- und Rückhaltetest, bei dem das Verhalten eines Tieres mit und ohne Anwesenheit einer Person geprüft werden kann (Le Neindre et al. 1995). Allerdings ist der Test mit Anwesenheit einer Person aussagekräftiger bezüglich des Temperamentes (Burrow 1997). Im Rahmen dieses Testverfahrens werden Scores von verschiedenen Personen (der Handler selbst und unbeteiligte Beobachter) vergeben und ein Mittelwert gebildet (Gauly et al. 2001).

Mithilfe der verschiedenen Testverfahren wurden in einigen Studien Heritabilitäten für Temperament bei unterschiedlichen Fleischrinderrassen geschätzt. Für Kälber der Rassen Hereford, Simmental und HF konnten Heritabilitäten von  $0.03 \pm 0.28$  geschätzt werden (Hearnshaw und Morris 1984). Bei Deutsch Angus liegen die Werte zwischen  $0.02 \pm 0.05$  und  $0.33 \pm 0.24$  und bei Deutsch Fleckvieh zwischen 0.0 und  $0.29 \pm 0.12$  (Gauly *et al.* 2002).

# 2.2 Molekulargenetische Charakterisierung von Phänotypen

Die molekulargenetische Charakterisierung von Phänotypen stellt die Grundlage für die Etablierung molekularer Gendiagnostik dar. Hierfür stehen verschiedene DNA-Marker wie Mikrosatelliten und Polymorphismen in Genen, meist Single Nucleotid Polymorphismen (SNPs), zur Verfügung. Durch Typisierung solcher Marker in geeignetem und phänotypisch erfasstem Tiermaterial kann der genetische Einfluss auf den Phänotyp analysiert und dieses Ergebnis weiter genutzt werden.

## 2.2.1 Analyse von Mikrosatelliten

Mikrosatelliten, auch als "Simple Sequence Repeat" (SSR) bezeichnet (Moore *et al.* 1994), sind Abschnitte der DNA, die aus sich wiederholenden Sequenzmotiven mit bis zu sechs Basen bestehen. Sie sind bei allen Eukaryoten zu finden, wobei besonders häufig die Varianten "TG" und "CA" auftreten (Hamada *et al.* 1982; Hamada *et al.* 1984; Tautz und

Renz 1984). Die Einteilung der Mikrosatelliten erfolgt nach dem Aufbau ihrer Basenabfolgen und sie werden entsprechend als perfekte, imperfekte oder zusammengesetzte Mikrosatelliten bezeichnet (Weber 1990).

Mikrosatelliten sind auf allen Chromosomen zu finden und machen fast 50% des humanen Genoms aus (Makalowski 2001). Sie treten primär in nicht-kodierenden Bereichen des Genoms auf, wurden aber auch schon sehr früh in codierenden Abschnitten nachgewiesen (Hamada *et al.* 1984). Für *Bos taurus* befinden sich zurzeit über 18.200 Einträge für Mikrosatelliten in der Datenbank (http://www.ncbi.nlm.nih.gov/sites/entrez?db=unists, letzter Zugriff 20.04.2009). Naylor und Clark (1990) konnten am Beispiel des Prolaktin-Gens bei Ratten darstellen, dass Mikrosatelliten in der Nähe von Genen einen Einfluss auf deren Transkription haben können.

Die Mutationsrate bei Mikrosatelliten ist mit 10<sup>-2</sup> Ereignissen je Generation je Genort bei E.coli, 10<sup>-4</sup> bei Hefen und 10<sup>-3</sup> beim Menschen sehr hoch (Hancock 1999). Diese hohe Mutationsrate kann durch das Slippage-Model in eventueller Kombination mit ungleichen Crossing Over-Ereignissen erklärt werden (Holtkemper *et al.* 2001; Levinson und Gutman 1987). DNA-Slippage bedeutet, dass sich bei der Replikation die beiden DNA-Stränge voneinander trennen und sich ungleich, also außerhalb des existierenden Rasters, wieder anlagern. Dies ist nur bei repetitiven Sequenzen möglich und ändert bei weiterer Replikation die Länge des neuen DNA-Stranges durch Hinzufügen oder Fehlen von Repetitionen des Mikrosatellitenmotives, was wiederum zu verschiedenen Allelen führt.

Die Nutzung von Mikrosatelliten ist aufgrund ihrer kodominanten Vererbung, dem häufigen Vorkommen und dem hohen Polymorphiegrad sehr vielfältig. Schon früh wurden die Vorteile der Mikrosatellitennutzung, geringer Verbrauch an DNA und die Möglichkeit zur Automatisierung, erkannt (Tautz 1989). Sie sind durch den hohen Polymorphiegrad gut für Kopplungsanalysen (Litt und Luty 1989) geeignet, werden aber zum Beispiel auch in der Populationsgenetik, phylogenetischen Fragestellungen und bei der Erstellung von Genomkarten eingesetzt (Schlötterer et al. 1997).

## 2.2.2 Genetische Kartierung mittels Mikrosatelliten

Die genetische Kartierung oder auch Kopplungsanalyse bestimmt den relativen Abstand der verwendeten Marker auf dem Chromosom anhand der Rekombinationsfrequenz der verschiedenen Allele. Als Marker kommen alle DNA-Varianten in Frage, wobei die Mikrosatelliten aufgrund ihres hohen Polymorphiegrades, der in einem hohen Polymorphie Information Content (PIC) (Botstein *et al.* 1980) resultiert, am zweckmäßigsten sind. Die

Einheit einer solchen Karte ist centiMorgan (cM), wobei ein cM einer Rekombinationsfrequenz von einem Prozent entspricht. Mehrere Karten für das Rindergenom oder auch einzelner Chromosomen wurden mit dieser Methode erstellt (Barendse *et al.* 1994; Barendse *et al.* 1993; Barendse *et al.* 1997; Ihara *et al.* 2004; Itoh *et al.* 2005).

#### 2.2.3 QTL-Studien

Quantitative Merkmale, zu denen auch das Verhalten zählt, sind aufgrund ihrer komplexen physiologischen Aspekte durch verschiedene Gene und Chromosomenabschnitte kontrolliert (Geldermann 1975) und durch Umweltfaktoren beeinflusst (Andersson 2001; Dekkers und Hospital 2002). Ein Abschnitt des Genoms, der ein quantitatives Merkmal beeinflusst, wird als "Quantitative Trait Locus" (QTL) bezeichnet (Andersson 2001; Geldermann 1975), Die Identifizierung eines QTL kann über Assoziationsstudien mit Kandidatengenen, Genomscans mit Mikrosatelliten oder auch kombinierte Verfahren durchgeführt werden (Andersson 2001). Die Lokalisation des QTL wird durch statistische Berechnungen unter Berücksichtigung von Genotyp und Phänotyp in geeignetem (Familien-)material dargestellt. Ein QTL selbst hat keinen funktionalen Zusammenhang, kann aber mit dem eigentlichen genetischen Marker, der den Phänotyp bedingt, gekoppelt sein und dadurch als indirekter Marker fungieren (Cheverud 1993; Dekkers und Hospital 2002). Für die Identifikation zugrundeliegenden ursächlichen Mutation ist eine Eingrenzung und somit Verkleinerung des QTL-Bereiches mittels Feinkartierung nötig. Viele QTL haben einen geringen phänotypischen Effekt und die Unterscheidung der zugrundeliegenden Mutation(en) von neutralen Polymorphismen fällt oft schwer (Andersson und Georges 2004). Daher bieten QTL-Analysen nur Anhaltspunkte zur weiteren Analyse zum Auffinden eines ursächlichen Polymorphismus.

## 2.2.4 Analyse von Kandidatengenen

Als Kandidatengen wird ein Gen bezeichnet, das einen möglichen Einfluss auf das zu untersuchende Merkmal hat (Baumung 2001; Cheverud und Routman 1993; Lymbery 1996). Dieser kann auf physiologischem Weg gegeben sein, dass das Genprodukt (zum Beispiel ein Protein oder Enzym) auf biochemischer Ebene einen Zusammenhang zu dem Merkmal hat. In diesem Fall spricht man von funktionellem Kandidatengen. Andererseits kann rein von der Lokalisation des Genes auf dem Chromosom von einem Einfluss ausgegangen werden, wenn sich dieses Gen in einem QTL befindet und somit eine mögliche Kopplung zwischen

Genvarianten und Mikrosatellitenallelen vorliegt. Ein solches Kandidatengen wird als positionelles Kandidatengen bezeichnet.

Die Gene werden hinsichtlich vorhandener Mutationen analysiert, wobei dies Nukleotidaustausche, Insertionen und Deletionen oder auch zum Beispiel das Fehlen von Exons sein können. Diese Mutationen können eine Änderung der Aminosäuresequenz (nichtsynonym) oder auch von Bindungsstellen für Transkriptionsfaktoren bewirken, aber auch als stille Mutation (synonym) ohne offensichtliche Veränderung der Aminosäuresequenz auftreten. Steht diese Mutation in einer Verbindung zu dem untersuchten Merkmal, spricht man von einem direkten Marker (Lymbery 1996; Schwarzenbacher und Dolezal 2003).

Zum Auffinden der Mutationen müssen zunächst in dem ausgewählten Kandidatengen mit Hilfe der in der Genbank (http://www.ncbi.nlm.nih.gov/Genbank/) veröffentlichten Sequenzen und Literaturangaben die zu analysierenden Genbereiche identifiziert werden. Anhand der Genbanksequenz werden Primer kreiert und mit diesen Sequenzen des eigenen Tiermaterials ermittelt. Diese wiederum können mit Hilfe von Computerprogrammen (BLAST = Basic Local Alignment Search Tool, Altschul *et al.* 1990 oder ClustalW aus ChromasPro) verglichen und somit Polymorphismen erkannt werden. Die exakte Lokalisation innerhalb des Gens wird durch Sequenzvergleiche bestimmt, wobei Nukleotidaustausche in nicht-kodierenden Regionen häufiger als in kodierenden Abschnitten vorkommen (Kim und Misra 2007). Bei Identifikation dieser im Exon werden sie auf ihren Einfluss auf die Aminosäuresequenz analysiert und bei Vorliegen im Intron auf Veränderungen möglicher Transkriptionsfaktorbindungsstellen (TFSEARCH). Weiterhin sollten Segregationsanalysen in Familienmaterial durchgeführt werden und anschließend werden routinemässige Typisierungsmethoden etabliert.

## 2.2.5 Praktischer Nutzen der molekularen Gendiagnostik

Die molekulare Gendiagnostik kann in verschiedenen Bereichen der Tierzucht eingesetzt werden. Ein klassisches Beispiel ist die international vereinheitlichte Abstammungskontrolle mittels Mikrosatelliten, über die eine über 99%ige Zuordnung der Elterntiere möglich ist (ISAG 2003). Das Erkennen von rezessiv vererbten Erkrankungen ist auf genetischer Ebene durch direkte oder indirekte Marker möglich und wird beim Rind zum Beispiel bei Boviner Leukozytenadhäsionsdefizienz (BLAD, direkt (Kehrli et al. 1992; Shuster et al. 1992)), Weaver (Bovine Progressive Degenerative Myeloencephalopathie, indirekt (Georges et al. 1993a; Hoeschele und Meinert 1990)) und für die spezifisch bei der Rasse Braunvieh vorkommende Spinale Demyelinisierung und Spinale Muskelatrophie (Casanova et al. 2003)

eingesetzt. Weiterhin kann bei getrennt geschlechtlichen Zwillingsgeburten der XX/XY-Chimärismus auf molekulargenetischem Weg sicher diagnostiziert werden (GeneControl GmbH, Grub, www.genecontrol.de). Auch für Exterieurmerkmale konnten auf genetischer Ebene Tests etabliert werden, wie zum Beispiel das Doppellendersyndrom besonders beim Weiß-Blauen Belgier (Fahrenkrug *et al.* 1999; Grobet *et al.* 1998; McPherron und Lee 1997) oder auch der Rotfaktor bei schwarzbunten Dt. Holstein Bullen (Joerg *et al.* 1996; Klungland *et al.* 1995).

# 2.3 QTL-Studien für Verhaltensmerkmale bei *Bos taurus* und anderen Tierarten

Bei Rindern liegt der Schwerpunkt der OTL-Studien bei Parametern der Milchproduktion und den dafür entscheidenden Parametern wie Milchmenge, Protein- und Fettgehalt. Aber auch Exterieurmerkmale wie Beinstellung (Buitenhuis et al. 2007), Euteraufhängung und Zitzenlänge sind im Interesse der OTL-Studien ebenso wie Krankheitsanfälligkeit zum Beispiel für Mastitiden und Mycobakterien (Gonda et al. 2007; Klungland et al. 2001; Lund et al. 2007) sowie Fruchtbarkeitsparameter (Kuhn et al. 2003; Thomasen et al. 2008). Für Milchmenge und Inhaltsstoffe konnten in den Anfängen QTL auf fünf verschiedenen Chromosomen dargestellt werden (Georges et al. 1995). Inzwischen befinden sich in den Datenbanken Einträge auf fast allen Chromosomen zu diesen Merkmalen (http://www.animalgenome.org/cattle/). In Holstein Friesian wurden mittels Whole Genome Scan insgesamt 61 chromosomenweite OTL für Exterieurmerkmale und Fruchtbarkeitsparameter detektiert (Schrooten et al. 2000). Bei Brown Swiss konnten genomweit 43 OTL-Regionen für Milchmenge und Proteinprozente detektiert werden, die teilweise mit den in Dt. Holstein dargestellten übereinstimmen (Bagnato et al. 2008). In drei französischen Rassen wurden sowohl genom- als auch chromosomenweite QTL für Produktions- und Exterieurmerkmale analysiert (Boichard et al. 2003). Eine solche QTL-Analyse wurde auch in einer Dt. Holstein Population mit Exterieurmerkmalen und Melkgeschwindigkeit durchgeführt und auf 20 Chromosomen konnten QTL für diese Merkmale detektiert werden (Hiendleder et al. 2003). In dieser Studie wurde auch ein OTL für Verhalten/Temperament während des Melkens auf BTA29 bei 20cM lokalisiert. Mit einer anderen Definition für Temperament (Reaktion auf Isolation) wurden bei kanadischen Fleischrindern fünf OTL für dieses Merkmal auf verschiedenen Chromosomen (BTA1, 5, 9, 14 und 15) detektiert (Schmutz et al. 2001). Bei kanadischen Holstein Bullen wurden QTL-Studien mit SNPs als

Marker unter anderem für Melktemperament als funktionales Merkmal durchgeführt und auf BTA29 zwischen 23.068.761 bp und 38.944.167 bp Signifikanzen detektiert (Kolbehdari *et al.* 2008). Für Verhalten beim Rind sind keine weiteren Untersuchungen auffindbar und in den bovinen QTL-Datenbanken (Hu *et al.* 2007; Hu und Reecy 2007; Polineni *et al.* 2006) findet sich nur der von Hiendleder *et al.* (2003) detektierte QTL auf BTA29 für Verhalten wieder und keine weiteren Einträge zu Temperament (http://genomes.sapac.edu.au/bovineqtl/ und http://www.animalgenome.org/QTLdb/cattle.html).

Die ersten und umfassendsten QTL-Studien zum Verhalten von Tieren wurden mit Mäusen und Ratten durchgeführt. Diese wurden verschiedenen Tests wie dem Open Field Test oder auch Elevated Plus Maze Test unterzogen und ihr Verhalten währenddessen zum Beispiel mit Lernverhalten, Angst oder Aggression in Verbindung gebracht. In den anschließenden genetischen Untersuchungen wurden bei Mäusen QTL für verschiedene Verhaltensmuster besonders auf Chromosom 1, 15 und 18 dargestellt (zusammengefasst bei Flint 2003).

Bei Schweinen (6 Wochen alte Ferkel) wurden Verhaltensuntersuchungen zur Reaktion auf neue Umgebung durchgeführt und für die erfassten Reaktionsparameter verschiedene QTL detektiert (Désautés *et al.* 2002).

## 2.4 Kandidatengene für Verhalten bei Rindern

Psychoanalytische Verhaltensmodelle wie beim Menschen, die eine Verbindung von Verhaltensweisen zu biochemisch-physiologischen Vorgängen herstellen, gibt es für das Rind nicht. So legen verschiedene Verhaltensforscher auch unterschiedliche Basisemotionen denselben Verhaltensweisen zugrunde. Demgegenüber stehen die fixen Verhaltensmuster, die, sobald einmal durch einen Schlüsselreiz ausgelöst, bei allen Tieren gleich ablaufen (Grandin 2005).

Eine Annäherung an die biochemisch-physiologischen Vorgänge bei Tieren und hier im speziellen Fall bei *Bos taurus* ist über humane Modelle möglich. Im humanen Verhaltensmodell existieren vier verschiedene Temperamentdimensionen: das Novelty Seeking (aktives Vorgehen gegen Monotonie), Harm Avoidance (Vermeidung negativer Erfahrungen), Reward Dependence (Abhängigkeit von äußerer Anerkennung) und Persistence (Beharrlichkeit, auf Erschöpfung und Frustration zu reagieren) (Cloninger 1987; Cloninger *et al.* 1993). Diesen verschiedenen Aspekten, die die Ausprägung des Temperamentes und Verhaltens bedingen, können unterschiedliche physiologische Aspekte zugeordnet werden. Novelty Seeking ist mit Schwankungen des Dopaminspiegels, Harm Avoidance mit Variationen im Serotoninlevel

und Reward Dependence mit Norepinephrin, einem Substrat für Monoaminoxidase A, assoziiert (Keltikangas-Jarvinen *et al.* 2003). Diese verschiedenen biochemischen Produkte und Vorgänge sind alle miteinander verkettet. So wird sowohl der Dopamin- als auch der Serotoninspiegel durch das Enzym Monoaminoxidase A mitreguliert (Cases *et al.* 1995; Löffler und Petrides 1998). Serotonin- und Cholecystokininrezeptoren sind durch enge anatomische Lokalisationen miteinander verbunden und es gibt Vermutung zur Nutzung gemeinsamer neuronaler Wege (van Megen *et al.* 1994).

### 2.4.1 Cholecystokininrezeptor B

Der Neurotransmitter Cholecystokinin kommt in verschiedenen Isoformen im gesamten Organismus vor und kann über zwei unterschiedliche Rezeptoren agieren, die als Form A (CCKAR bzw. CCK<sub>1</sub>-Rezeptor) und B (CCKBR bzw. CCK<sub>2</sub>-Rezeptor) bezeichnet werden. Die biochemisch längeren und sulfatierten Cholecystokininvarianten (CCK-33, CCK-59 und sulfatiertes CCK-8) agieren bevorzugt mit CCKAR und die kürzeren wie zum Beispiel CCK-4, CCK-5 sowie unsulfatiertes CCK-8 mit CCKBR (Cohen *et al.* 2004; Hernandez-Gómez *et al.* 2002). Die Rezeptoren gehören zur Familie der G-Protein-gekoppelten Rezeptoren mit sieben transmembranären Domänen und unterscheiden sich durch ihre Lokalisationen, wobei CCKBR besonders im Gehirn anzutreffen ist (Noble und Roques 1999; Wang *et al.* 2005). Dort ist der CCKBR besonders in den anatomischen Bereichen vorkommend, die physiologisch mit Angst und Emotionen in Verbindung stehen, wie dem Hypothalamus, dem limbischen System und dem frontalen Kortex (Hattori *et al.* 2001). Der am Magen vorkommende Gastrinrezeptor ist mit dem CCKBR identisch (Crawley und Corwin 1994).

## 2.4.1.1 Physiologische und pharmakologische Bedeutung des Cholecystokininrezeptors B

Über den CCKBR werden die neuronalen Funktionen von Cholecystokinin vermittelt. Dieses greift in verschiedene Funktionskreisläufe wie zum Beispiel Regulation der Futteraufnahme, Kontrolle von Lernen und Erinnerung, ängstliche Verhaltensäußerungen, Schmerzvermittlung und auch Funktionen, die über das dopaminerge, serotonerge oder opiode System beeinflusst werden, ein (Crawley und Corwin 1994; Wang et al. 2005). Zwischen Cholecystokinin und Dopamin bestehen enge Wechselwirkungen, wobei eine Stimulation des CCKBR im Nucleus Accumbens die weitere Freisetzung von Dopamin inhibiert und somit in die dopamingesteuerten Vorgänge über negatives Feedback eingreift (Crawley und Corwin 1994). Auch im Zusammenhang mit Stress und daraus resultierenden Verhaltensweisen ist das Cholecystokininsystem somit eine wichtige Komponente (Daugé und Léna 1998).

Bei Patienten mit Panic Disorders und Gesunden können durch die Gabe von CCK<sub>4</sub>, einem Agonisten von CCKBR, Panikattacken ausgelöst werden, die durch CCKBR-Antagonisten wieder behoben werden können (Bradwejn *et al.* 1994). Man vermutet, dass bei Patienten mit Panic Disorders der CCKBR empfindlicher reagiert (Daugé und Léna 1998). Allerdings ist es bisher nicht gelungen, Antagonisten der Cholecystokininrezeptoren therapeutisch einzusetzen (Harro 2006). Bei Patienten mit Schizophrenie wurde eine signifikante Reduktion der Cholecystokininrezeptoren im limbischen und corticalen System nachgewiesen (Bourin *et al.* 1996). Auch im Rahmen selbstzerstörerischen Verhaltens spielt CCKBR eine Rolle, da sich deren Regulation ändert und bei Suizidopfern eine reduzierte Anzahl Cholecystokininrezeptoren im frontalen Kortex nachgewiesen werden konnte (Harro *et al.* 1992).

#### 2.4.1.2 Genstruktur des Cholecystokininrezeptors B: CCKBR

Die Struktur des *CCKBR* ist zwischen den Spezies stark konserviert (Noble und Roques 1999). Das Gen besteht aus fünf Exons und vier Introns (Wang *et al.* 2005). Exon I codiert für das extrazelluläre Aminoende, Exon II für die transmembranären Domänen (TM) I – III, Exon III für TM III – V, Exon IV für TM V und einen Teil des dritten intrazellulären Loop und Exon V vervollständigt den dritten intrazellulären Loop und codiert für TM VI und TM VII sowie das intrazelluläre Carboxylende des Proteins (Noble und Roques 1999).

Beim Rind wurde das Gen des CCKBR 1996 kloniert und analysiert (Dufresne *et al.* 1996). Die mRNA hat eine Länge von 2344 Basenpaaren. Die Exons haben eine Länge von 176 Basenpaaren (Exon IV) bis 1428 Basenpaaren (Exon V). 1364 Basenpaaren der mRNA (GenbankNr. NM\_174262) sind codierend, dies entspricht einer Aminosäuresequenz mit 454 Aminosäuren (Dufresne *et al.* 1996). Das *CCKBR*-Gen ist beim Rind auf Chromosom 15 zentral stromaufwärts lokalisiert (GeneID 281665).

#### 2.4.1.3 Polymorphismen im humanen *CCKBR*-Gen und Assoziationen

Im humanen *CCKBR*-Gen sind mehrere SNPs in unterschiedlichen Genabschnitten beschrieben, so zum Beispiel C109T in Exon I (Tachikawa *et al.* 1999), G1753A, T1962C und G1985A in Exon III (Harada *et al.* 1996), aber auch in Intron 4 (C2491A) oder auch in der 3'UTR: G3263C und A3264G (Yamada *et al.* 2001). Diese Polymorphismen wurden primär auf ihre Assoziation zu Schizophrenie und Panic Disorders untersucht (Hamilton *et al.* 2001; Hösing *et al.* 2004; Kennedy *et al.* 1999; Tachikawa *et al.* 1999); es gibt aber auch Untersuchungen zum Beispiel zum Alkoholismus und *CCKBR*, die allerdings keinen Zusammenhang darstellen konnten (Harada *et al.* 1996). Zwar konnten signifikante Unterschiede der Genotypfrequenzen von SNPs im humanen *CCKBR* zwischen

Schizophreniepatienten und Kontrollgruppe nachgewiesen werden, allerdings waren diese nach Bonferroni-Korrektur nicht mehr haltbar. Es konnte kein Zusammenhang zwischen den Polymorphismen und der klinischen Ausprägung der Schizophrenie festgestellt werden (Tachikawa *et al.* 1999).

Kennedy *et al.* untersuchten 1999 einen (CT)<sub>n</sub> Mikrosatelliten in der 5'-UTR-Region des *CCKBR* bei Patienten mit Panic Disorders (PD) und einer Kontrollgruppe. Sie konnten in verschiedenen Modellen (Analyse aller 16 detektierten Allele und Aufteilung in vier Gruppen) einen signifikanten Zusammenhang zwischen dem Auftreten von Allel 6 und 7 und dem Vorhandensein von PD nachweisen. Einen positiven Zusammenhang zwischen bestimmten Allelen und PD bestätigen Hösing *et al.* (2004). Hier wurde der CT-Repeat im *CCKBR* bei deutschen Panic Disorder Patienten untersucht und ein statistisch signifikanter Zusammenhang zwischen den langen Allelen (164 – 180 bp) des Mikrosatelliten und dem Vorliegen der Erkrankung festgestellt. Keine Assoziation zwischen dem CT-Repeat und Panic Disorders konnten Hamilton *et al.* (2001) nachweisen.

#### 2.4.1.4 Cholecystokininrezeptor B bei Tieren

Die systemische oder intracerebrale Gabe von CCKBR-Agonisten induziert ängstliches Verhalten bei Mäusen, Ratten, Meerschweinchen, Katzen und Affen (Wang et al. 2005). Die Gabe von spezifischen CCKBR-Antagonisten führt in verschiedenen Tests bei Mäusen und Ratten zu reduziertem Angstverhalten (Daugé und Léna 1998). Die Einflüsse auf das Angstverhalten in den Tests lassen sich nur mit spezifischen CCKBR-Agonisten, nicht jedoch mit unspezifischen Agonisten oder CCKAR-Agonisten nachweisen (Fink et al. 1998).

Bei Ratten kann mit der Gabe von Caerulein, einem unselektiven CCK-Agonisten, das explorative Verhalten im Elevated Plus Maze Test reduziert werden. Diese Wirkung kann aber mit der Applikation eines CCKBR-Antagonisten aufgehoben werden, die Gabe eines CCKAR-Antagonisten hat jedoch keinen Einfluss auf das Explorationsverhalten (Männistö *et al.* 1994).

Hernandez-Gómez et al. (2002) führten mit männlichen Ratten drei verschiedene Verhaltenstests (Elevated Plus Maze Test, Open Field Test und Four Hole Box Test) durch. Den Tieren wurden verschiedene CCK-Isoformen, die für einen der beiden Rezeptoren spezifisch sind, in den Nucleus Accumbens injiziert. Die Ergebnisse bezüglich CCKBR stimmten mit oben Beschriebenen überein und es zeigte sich, dass der CCKAR nicht in das Angstverhalten involviert ist. Dies bestätigt auch eine Studie mit männlichen Ratten zweier unterschiedlicher Stämme (PVG hooded und Sprague-Dawley), die dem Elevated Plus Maze Test unterzogen wurden, wobei entweder CCKBR-Agonisten oder CCKBR-Antagonisten appliziert wurden

(Farook et al. 2001). Bei diesen beiden Rattenstämmen ist ein unterschiedliches Angstverhalten bekannt. Dies wurde im Cat Exposure Test durch das "freezing behaviour" dargestellt (Farook et al. 2001). Der Rattenstamm PVG hooded zeigt ein im Vergleich zu dem Rattenstamm Sprague-Dawley (SD) verstärktes "freezing behaviour" und geringere Bewegungsaktivität. Bei ihnen werden die Cholecystokininrezeptoren B in größerem Maße exprimiert. Diese Unterschiede wurden auch von Wang et al. (2003) durch cDNA Microarray-Studien mit beiden Rattenstämmen bestätigt. In einer weiteren Studie wurde Ratten nach ihrem Verhalten im Elevated Plus Maze Test ein bestimmtes Level an Ängstlichkeit zugeschrieben und in den verschiedenen Gehirnregionen die Expression des CCKBR bestimmt. Eine Hochregulierung des CCKBR wurde nur im Kortex der als sehr ängstlich eingestuften Ratten nachgewiesen (Wang et al. 2005).

Den Anstieg der Cholecystokininrezeptoren B im frontalen Kortex in Verbindung mit Angst wurde auch schon viele Jahre zuvor nachgewiesen (Vasar *et al.* 1993). Die Arbeitsgruppe isolierte Ratten und testete diese im Vergleich zu in Gruppen gehaltenen Ratten im Elevated Plus Maze Test. Die isoliert gehaltenen Ratten zeigten eine reduzierte Bewegungs- und Erkundungsaktivität, was als Angstverhalten gedeutet wurde. Mittels Rezeptorbindungstechniken stellte sich heraus, dass bei den ängstlicheren Ratten die Anzahl der CCKBR im frontalen Kortex im Vergleich zur Kontrollgruppe erhöht war. Durch die Gabe des CCKBR-Agonisten Caerulein konnte das Aktivitätsverhalten der in Gruppen gehaltenen Ratten reduziert werden

Bei Ratten wurde auch der Einfluss von "antisense oligonucleotides (ASODN)", die die Synthese des ihrer Sequenz entsprechenden Proteins inhibieren, auf das Angstverhalten untersucht (Cohen *et al.* 2004). In dieser Studie wurde festgestellt, dass die Kombination von CCK-ASODN mit einem CCKBR-Antagonisten eine signifikante Reduzierung des Angstverhaltens der Ratten im Vergleich zur Einzelmedikation der beiden Substanzen hervorruft.

Bezüglich des bovinen CCKBR existieren sehr wenige Studien. In der postnatalen Entwicklung des Kalbes sind unterschiedliche Expressionsprofile mit RT-PCR von CCKBR in den verschiedenen Geweben darstellbar, wobei die Expression im frontalen Kortex am höchsten ist, gefolgt von Pankreas und Magen (Desbois *et al.* 1998). Im Pankreas hat der Cholecystokininrezeptor B eine Bedeutung bei der Regulation der exokrinen Sekretion (Le Dréan *et al.* 1999). Die mRNA-Expression von CCKBR im Labmagen ist sowohl vom Alter als auch von der Fütterung der Kälber abhängig. Die Expression reduziert sich signifikant bei Vergleich drei Wochen und 13 Wochen alter Tiere. Im Alter von 13 Wochen zeigt sich ein

signifikanter Einfluss der Fütterung; die CCKBR-mRNA-Expression ist bei Tieren mit Milchfütterung deutlich erhöht (Yonekura *et al.* 2002).

#### 2.4.1.5 CCKBR-knockout-Tiere

Die CCKBR-knockout-Mäuse zeigen dem Wildtyp entsprechendes Verhalten und sind fertil (Noble und Roques 2002). Im Elevated Plus Maze Test konnten Daugé et al. (2001) keinen Unterschied zwischen Knockout- und Wildtyp-Mäusen im Verhalten während des Testes darstellen. In einer Studie, die sich nur mit weiblichen Mäusen befasste, wurde nachgewiesen, dass CCKBR-knockout-Mäuse ein im Vergleich zu den Wildtypen verstärktes Erkundungsverhalten zeigten (Raud et al. 2003). Auch Horinouchi et al. (2004) konnten mithilfe des Black and White Box Tests und des Elevated Plus Maze Tests feststellen, dass CCKBR-knockout-Mäuse ein weniger ängstliches Verhalten als die Wildtypen zeigen. Zu diesem Ergebnis kamen auch Miyasaka et al. (2002).

Bei *CCKBR*-knockout-Mäusen ist das Opioidsystem hochreguliert. Dies zeigte sich in einer Studie, bei der Knockout-Mäuse in verschiedenen Tests unter der Gabe unterschiedlicher Agonisten und Antagonisten untersucht wurden (Pommier *et al.* 2002). Die Bewegungsaktivität der Knockout-Mäuse ist im Vergleich zu den Wildtyp-Mäusen gesteigert (Actimeter-Test). Dieser Effekt kann durch die Gabe eines Opiodantagonisten aufgehoben werden.

## 2.4.2 Dopaminrezeptor D4

Der Neurotransmitter Dopamin spielt eine wichtige Rolle im ZNS im Rahmen der Lokomotion, Wahrnehmung und Emotionen sowie der Regulation der endokrinen Organe (Oak *et al.* 2000; Rubinstein *et al.* 1997). Bei ängstlichen Hunden konnte ein Anstieg des Dopaminspiegels im Plasma nachgewiesen werden (Riva *et al.* 2008). Die Rezeptoren für Dopamin, die in fünf verschiedenen Subtypen (D1 – D5) vorkommen, gehören zur Familie der G-Protein-gekoppelten Rezeptoren und werden von verschiedenen Genen codiert (Civelli *et al.* 1993). Sie werden zwei verschiedenen Klassen (D<sub>1</sub> und D<sub>2</sub>) zugeordnet, wobei die Isoformen D1 und D5 zur D<sub>1</sub>-Klasse und D2, D3 sowie D4 zur D<sub>2</sub>-Klasse gehören (Seeman und Van Tol 1994). Die Rezeptoren der D<sub>2</sub>-Klasse bewirken über die Aktivierung des G-Proteins eine Reduzierung des cAMP-Spiegels in der Zelle. Der D1- und der D5-Rezeptor haben gegenteilige Wirkung (Sibley und Monsma 1992).

### 2.4.2.1 Medizinische Nutzung des DRD4

Der Dopaminrezeptor D4 (DRD4) zeichnet sich durch die höchste Affinität der Dopaminrezeptoren zu Clozapin aus (Rubinstein *et al.* 1997; Seeman und Van Tol 1994; Van Tol *et al.* 

1991). Dieses, inzwischen auch als Generika erhältliche, Neuroleptikum wird bei therapieresistenten Psychosen als letzte Möglichkeit eingesetzt, allerdings mit Risiko schwerer Nebenwirkungen wie Gewichtszunahme, Diabetes, Leukopenie und Agranulozytose (Agelink *et al.* 2006).

#### 2.4.2.2 Genstruktur des Dopaminrezeptors D4: DRD4

Eine erste Klonierung des humanen *DRD4* wurde 1991 durchgeführt (Van Tol *et al.* 1991). Das Gen des humanen DRD4 besteht aus vier Exons und ist auf Chromosom 11 an Position 11p15.5 lokalisiert (Oak *et al.* 2000). Bei *Bos taurus* ist *DRD4* durch Radiation Hybrid Mapping auf BTA29 kartiert (Haegeman *et al.* 2003b), was sich auch in der vergleichenden Genkartierung Mensch – Rind andeutet (Larkin *et al.* 2003). Eine genetische Kartierung sowie eine vollständige Sequenzierung der DNA bzw. mRNA ist bisher bei *Bos taurus*, auch im Rahmen der Whole Genome Sequence (Btau\_3.1), noch nicht erfolgt. Für andere Tierarten und den Menschen sind Daten in der Genbank vorhanden (zum Beispiel: *Homo sapiens*: L12397; *Equus caballus*: EF561289; *Mus musculus*: NM\_007878; *Canis familiaris*: AB044885).

Zwischen Mensch und Ratte gibt es bei *DRD4* nur eine zu 75 % übereinstimmende codierende Sequenz, was sehr auffällig ist, da die Übereinstimmung bei anderen Dopaminrezeptoren zwischen diesen Spezies > 90 % ist (Asghari *et al.* 1994). Eine Erklärung hierfür liegt in der repetitiven Sequenz in Exon III (VNTR), deren Vorkommen und Allele sich zwischen den Spezies stark unterscheiden (Niimi *et al.* 1999).

## 2.4.2.3 DRD4 und Schizophrenie

Studien des DRD4 wurden im Zusammenhang mit Schizophrenie durchgeführt, da bei dieser Erkrankung eine Dysfunktion des dopaminergen Systems zugrunde liegt.

Mittels immunohistochemischen Methoden lässt sich ein sechsfacher Anstieg des Dopaminrezeptors D4 im Gehirn von Schizophreniepatienten im Vergleich zu einer Kontrollgruppe
darstellen (Seeman et al. 1993). Im Rahmen von DRD4-mRNA-Studien konnten Mulcrone
und Kerwin (1996) im postmortalen Frontallappen von Schizophreniepatienten und Kontrollgruppe keinen signifikanten Unterschied der mRNA Expression feststellen. Dieses Ergebnis
wurde auch von Roberts et al. (1996) bestätigt. In einer späteren mRNA-Studie, in der der
Frontallappen und der Nucleus Caudatus einbezogen waren, konnte im Frontallappen ein
dreifacher Anstieg der DRD4-mRNA nachgewiesen werden (Stefanis et al. 1998).

Bei Untersuchung peripherer mononuklearer Zellen, in denen auch der DRD4 exprimiert wird, konnte ein signifikanter Unterschied der DRD4-Expression in Granulozyten zwischen

Schizophreniepatienten und Kontrollgruppe festgestellt werden (Rodrigues *et al.* 2005). Dies wird mit den wahnhaften Vorstellungen der Schizophrenie in Verbindung gebracht.

#### 2.4.2.4 Polymorphismen im humanen *DRD4*-Gen und Assoziationen

Im Exon III des *DRD4*, welches für den dritten zytoplasmatischen Loop codiert, existiert ein VNTR-Polymorphismus (Variable Number of Tandem Repeats), bei dem sich eine 48bp-Sequenz zwei- bis zehnmal (DRD4.2 - DRD4.10, entsprechend) wiederholt. Von verschiedenen Arbeitsgruppen konnten insgesamt 27 verschiedene Haplotypen dargestellt werden, aus denen 20 verschiedene Proteinvarianten hervorgehen (Oak *et al.* 2000; Van Tol *et al.* 1992). In pharmakologischen Studien zeigten sich Unterschiede zwischen den Varianten bezüglich ihrer Affinitäten zu verschiedenen Agonisten bzw. Antagonisten des DRD4. So hat zum Beispiel die Variante DRD4.9 im Vergleich zu DRD4.2 und DRD4.4 zweifach höheren Affinität zu Dopamin. Der Antagonist Clozapin wird von DRD4.5 mit einer 1,6fach höheren Affinität als von DRD4.4 gebunden (Asghari *et al.* 1994).

Bei Kindern wurde die Verbindung dieses *DRD4*-VNTR zu deren Temperament mit dem Alter entsprechenden Tests untersucht. Im Alter von zwei Monaten haben Kinder mit langen *DRD4*-Allelvarianten (> 7 Repeats) im Vergleich zu ihren Altersgenossen mit kurzen *DRD4*-Allelvarianten signifikant niedrigere Scores der Eigenschaften "Negative Emotion" und "Distress to Limitation" (Auerbach *et al.* 1999). Mit einem Jahr zeigten die Kinder mit den langen Allelvarianten geringeres Interesse an strukturierten Spielsituationen und sind in freien Spielsituationen aktiver (Auerbach *et al.* 2001).

In einer Untersuchung Jugendlicher konnten Becker *et al.* (2005) eine Verbindung zwischen dem *DRD4*-VNTR und Novelty Seeking darstellen. Männliche Jugendliche mit mindestens einem 7-Repeat-Allel haben im Vergleich zu männlichen Jugendlichen ohne ein 7-Repeat-Allel signifikant höhere Novelty Seeking Scores. Zu einem ähnlichen Ergebnis kamen auch Ebstein *et al.* (1996), die mit 124 Erwachsenen den Tridimensional Personality Questionnaire (TPQ) durchführten und den Genotyp des *DRD4*, Exon III bestimmten. Personen mit dem 7-Repeat-Allel haben signifikant höhere Novelty Seeking Scores, unabhängig ihres Alters, Geschlechts und ethnischer Zugehörigkeit als Personen ohne das 7-Repeat-Allel. 1997 wiederholten Ebstein *et al.* die Untersuchung mit einer vergrößerten Versuchsgruppe und konnten ihre Ergebnisse bestätigen. Diesen positiven Ergebnissen stehen auch negative gegenüber. Kühn *et al.* (1999) konnten in der von ihnen untersuchten Population keinen signifikanten Zusammenhang zwischen den langen *DRD4*-Allelen und Novelty Seeking feststellen. Auch Kim *et al.* (2006) konnten in einer koreanischen Population keinen Zu-

sammenhang zwischen *DRD4*-Genotyp und den Temperamentdimensionen des TPQ darstellen.

Ein SNP im 5'-UTR Bereich des *DRD4* wurde in Verbindung mit dem Auftreten von Schizophrenie beschrieben. Die Allele dieses Polymorphismus, -521 C/T, unterscheiden sich signifikant zwischen Kontrollgruppe und Schizophreniepatienten, bei denen das Allel *C* häufiger vorkommt (Okuyama *et al.* 1999). Des weiteren ist in Zellkulturen die Transkriptionsrate des Allels *C* höher als die des Allels *T* (Okuyama *et al.* 1999).

Eine andere Studie konnte den Zusammenhang zwischen -521 C/T und Schizophrenie nicht bestätigen (Xing *et al.* 2003). Hier wurden neben diesem SNP drei weitere SNPs und zwei Deletionen der 5'UTR sowie ein 120bp-VNTR dieses Bereiches untersucht. Eine Assoziation zu Schizophrenie konnte nur für das lange Allel des 120bp-VNTR nachgewiesen werden, was durch Bindungsstellen für Transkriptionsfaktoren in diesem Bereich erklärt wird.

Zwischen dem -521 C/T Polymorphismus und dem 48bp-VNTR in Exon III gibt es ein Kopplungsgleichgewicht (Ekelund *et al.* 2001). Allerdings konnte keine Assoziation des SNP zu Novelty Seeking nachgewiesen werden. Dies bestätigen auch Strobel *et al.* (2003), die sowohl den SNP als auch den VNTR Polymorphismus analysierten.

Im Rahmen einer Metaanalyse werden insgesamt 17 verschiedenen *DRD4*-Polymorphismen beschrieben, deren Zusammenhang zu Schizophrenie mit teils sehr differierenden Ergebnissen untersucht wurde (Jönsson *et al.* 2003). Hierzu zählen neben den oben beschriebenen (exkl. dem 120bp-VNTR) zwei Deletionen, ein 12bp-Repeat und ein SNP im Exon I, ein Mikrosatellit im Intron 1 sowie ein Aminosäureaustausch im Exon III. Eine weitere Analyse wurde mit dem 48bp-VNTR Exon III, 12bp-VNTR Exon I und dem -521 C/T Polymorphimsus durchgeführt und eine Assoziation mit Schizophrenie konnte nur für das Allel C des -521 C/T bestätigt werden. Neben diesem -521 C/T Polymorphismus und dem 48bp-VNTR im Exon III wurden weitere SNPs in der 5'untranslated Region sowie Deletionen im Exon I im Zusammenhang mit Schizophrenie untersucht (Jönsson *et al.* 2003).

### 2.4.2.5 DRD4 bei Tieren

Das Exon III des *DRD4* wurde hinsichtlich seines VNTR bei verschiedenen Säugetierspezies analysiert. Dieser Polymorphismus konnte regelmäßig dargestellt werden, unterliegt aber hinsichtlich der Größe der replizierten Sequenz Schwankungen (Larsen *et al.* 2005).

Bei Primaten verschiedener Spezies (Gorilla, Schimpanse, Orangutan, Pavian, Totenkopfäffchen und Rhesusaffe) wurde das Exon III des *DRD4* untersucht und mit dem humanen
verglichen (Livak *et al.* 1995). Auch bei den nichthumanen Primaten gibt es einen VNTRPolymorphismus, der in seiner Grundstruktur, 48bp repetitive Sequenz, dem humanen

identisch ist. Allerdings zeigen sich Unterschiede zwischen den Spezies, die durch die Evolution erklärbar sind. Bei einer Gruppe von 452 Grünen Meerkatzen, die zur Ordnung der Primaten gehören, wurden zwei Varianten der repetitiven Sequenz im Exon III des *DRD4* identifiziert. Durch das Aufstellen eines für die Tiere unbekannten Planschbeckens in den Käfig wurde bei diesen Tieren die Temperamentdimension Novelty Seeking anhand der Reaktion auf das Becken erfasst und es konnte ein signifikanter Einfluss des *DRD4*-Allels auf das gezeigte Verhalten Neuem gegenüber dargestellt werden (Bailey *et al.* 2007).

Weitere Varianten, eine 6bp-Insertion und 8bp-Deletion, sind im Intron 2 lokalisiert und konnte bei Affen und dem Mensch nachgewiesen werden (Shimada *et al.* 2004).

Niimi et al. (1999) untersuchten in ihrer Studie eine repetitive Region im DRD4, Exon III, die sich in der Nähe des beim Menschen identifizierten VNTR befindet, bei Golden Retrievern und Shibas. Es zeigte sich, dass von den vier detektierten Allelen bei den Golden Retrievern nur die Varianten A und B vorkommen, bei den Shibas die Varianten B, C und D. Dies wird mit den unterschiedlichen Entstehungsgeschichten der Rassen sowie deren differierenden Einsatzgebieten (Golden Retriever: Familienhund; Shiba: Wachhund) begründet. Eine Ergänzung des Tiermaterials um zwei weitere Rassen, Beagle und Shetland Sheepdog, führte zur Darstellung drei weiterer Allele (Niimi et al. 2001). In einer Folgestudie wurden 23 verschiedene Hunderassen auf diesen Polymorphismus untersucht und das Verhalten der Tiere mittels Besitzerbefragung erfasst. Die Rassen wurden anhand der dargestellten Allellängen in zwei Gruppen eingeteilt. In der Gruppe mit langen Allelvarianten (8 der 23 Rassen) weisen die zugehörigen Tiere höhere Aggressionsscores als die Tiere der anderen Rassen auf (Ito et al. 2004). Bei Deutschen Schäferhunden zeigten sich signifikante Unterschiede der VNTR-Allele bei als Polizeihunden und als Familienhunden gehaltenen Tieren (Hejjas et al. 2007). Innerhalb der Ordnung der Carnivoren zeigten sich Unterschiede im Auftreten dieser repetitiven Sequenzen. So konnten bei Wolf und Marderhund verschiedene Allele dargestellt werden; bei Katzen, Waschbär und Asiatischem Schwarzbär hingegen nicht (Inoue-Murayama et al. 2002).

Bei Equiden zeigten sich Sequenzunterschiede im Exon III, die auf einer 18bp-Sequenz beruhen, die sich bis zu neunmal wiederholt (Hasegawa *et al.* 2002). Zwei innerhalb dieses VNTR lokalisierte SNP wurden bei Rennpferden untersucht. Für diese Tiere wurde von Betreuungspersonen ein Fragebogen zum Temperament bearbeitet, der sich mit insgesamt 20 Charaktereigenschaften, unter anderem Nervosität, Konzentration, Gedächtnis, Neugierde und Wachsamkeit, befasst. Zwischen einem der beiden SNP (A→G), der einen Aminosäuren-

austausch von Asparagin zu Aspartat induziert, und den Merkmalen Neugierde und Wachsamkeit gibt es einen signifikanten Zusammenhang (Momozawa et al. 2005).

Im Exon III des *DRD4* bei Pottwal, Schweinswal, Weißschnauzendelphin und nördlichem Zwergwal wurde ein Tandem Repeat mit einer 18bp-Sequenz dargestellt. Es zeigte sich, dass es sich um einen imperfekten Repeat handelt, dessen Ausprägung zwischen den Arten variiert (Mogensen *et al.* 2006).

Mit EEB (Early Exploratory Behavior) ist es möglich, Vögel hinsichtlich ihres Novelty Seeking Verhaltens zu selektieren. Zu diesem Zweck wurde den Vögeln in ihre gewohnte Umgebung ein neues Objekt (z.B. ein neuer Baum) gestellt und ihre Reaktion darauf anhand einer Skala bewertet. In einer Studie mit Kohlmeisen wurden selektierte Tiere und Wildtypen miteinander verglichen und der *DRD4*-Genotyp eines SNP (SNP830 C→T) bestimmt (Fidler et al. 2007). Statistisch haben die drei Genotypen einen signifikanten Einfluss auf den EEB; homozygot T Meisen haben höhere EEB-Scores als homozygot C Meisen. Auch bei Hühnern, Japanischer Wachtel und Fasanen wurde das *DRD4*-Gen analysiert, allerdings ohne phänotypische Untersuchungen der Tiere durchzuführen. Bei den untersuchten Arten konnte in der Aminosäuresequenz eine Prolinwiederholung unterschiedlicher Länge identifiziert werden (Sugiyama et al. 2004).

## 2.4.2.6 DRD4-knockout-Tiere

Durch Zucht mit männlichen Mäusen, denen mittels Vektor ein *DRD4*-Transkript ohne Exon II zugeführt wurde, gehen in der F2-Generation *DRD4*-knockout-Mäuse hervor, die physiologisches Wachstum sowie Fertilität zeigen (Rubinstein *et al.* 1997). In einer Vergleichsstudie von Knockout-Mäusen und Wildtypmäusen zeigten die Knockout-Tiere eine reduzierte Aktivität, was sich durch kürzere Wegstrecken und langsamere Fortbewegung äußerte (Rubinstein *et al.* 1997). Bei dem in derselben Studie durchgeführten Rotarodtest, einem Test zur Untersuchung der Fähigkeit auf komplexe Bewegungen zu reagieren, zeigten sich die Knockout-Mäuse den Wildtyptieren durch signifikant weniger Stürze und einen signifikant höheren Zeitraum zwischen den Stürzen überlegen. In einem Open Field Test betreten *DRD4*-knockout-Mäuse im Vergleich zu Wildtypmäusen das Zentrum des Feldes signifikant weniger und zeigen dadurch geringere Bewegungsaktivität sowie reduzierte Verhaltensantworten auf Neues (Dulawa *et al.* 1999). Dies bestätigte sich auch in einem Emergence Test, bei dem die Mäuse in einem offenen Zylinder in das Open Field gesetzt werden. In derselben Studie wurde als dritter Test ein Novel Object Test durchgeführt. Auch hier ließen sich die reduzierten Verhaltensantworten der Knockout-Mäuse replizieren.

Eine durch Apomorphin ausgelöste Bewegungsblockade kann bei Mäusen durch die Gabe von Clozapin antagonisiert werden. *DRD4*-knockout-Mäuse sind resistenter gegen die Clozapinwirkung, bei ihnen ist die zehnfache Dosis zur Erzielung eines vergleichbaren Ergebnisses nötig (Rubinstein *et al.* 1997).

## 2.4.3 Monoaminoxidase A

Monoaminoxidase (MAO; EC 1.4.3.4) spielt eine wichtige Rolle bei der Metabolisierung von Neurotransmittern und Aminen im Organismus. Es handelt sich bei diesem Enzym um ein Flavoprotein, das an der äußeren Mitochondrienmembran lokalisiert ist. Es existiert in zwei Isoformen, MAOA und MAOB, mit bis zu 70 % übereinstimmenden Aminosäuresequenzen. MAOA hat ein Molekulargewicht von 59,7 kDa und MAOB 58,8 kDa. Beide nutzen FAD als Redox-Kofaktor und haben entsprechende Bindungsstellen (bei MAOA Cys-406) (Geha *et al.* 2002). In den meisten Geweben liegen beide Isoformen vor, aber zum Beispiel in der Plazenta und Fibroblasten existiert nur MAOA (Bach *et al.* 1988; Edmondson *et al.* 2004).

## 2.4.3.1 Physiologische Funktion der Monoaminoxidasen

Beide Enzyme bauen die Neurotransmitter Serotonin, Norepinephrin, Dopamin und Phenylethylamin ab, jedoch mit unterschiedlichen Affinitäten. Weiterhin unterscheiden sie sich durch ihre Inhibitoren: MAOA wird durch Clorgylin irreversibel gehemmt und MAOB durch Pargylin und Deprenyl. Über die Metabolisierung von Katecholaminen und Serotonin beeinflusst MAOA Verhaltensformen, die durch diese Mediatoren kontrolliert werden (Popova *et al.* 2001).

Bei MAOA-knockout-Mäusen stellten Cases *et al.* (1995) fest, dass diese erhöhte Spiegel an Serotonin, Dopamin und Norepinephrin haben, wohingegen 5-Hydroxyindol-Essigsäure, ein Metabolit des Serotoninabbaus, in geringeren Mengen vorhanden ist. Dies spiegelt die Rolle des MAOA im Serotoninstoffwechsel gut wider.

# 2.4.3.2 Medizinische Nutzung der Monoaminoxidasen

MAOA-Inhibitoren werden zur Therapie bei Depressionen (Geha *et al.* 2002; Livingston und Livingston 1996) und bei Angsterkrankungen (Davidson 1998) eingesetzt. Die anfängliche Problematik der Lebertoxizität und "cheese reaction" (Wechselwirkung mit biogenen Aminen, die zu Kreislaufstörungen führen kann) ist durch die Weiterentwicklung zu inzwischen selektiven und reversiblen Inhibitoren behoben (Tipton *et al.* 2004; Youdim und Bakhle 2006).

### 2.4.3.3 Genstruktur der Monoaminoxidase A: MAOA

Das für MAOA kodierende Gen (GenID 281293) ist auf dem X-Chromosom lokalisiert (Barendse *et al.* 1997; Sabol *et al.* 1998). Für das Rind wurde die Primärstruktur des *MAOA* erstmals 1989 durch Powell *et al.* mittels cDNA-Klonierung aufgeklärt. Das bovine *MAOA* besteht wie das humane aus 527 Aminosäuren und zeigt identische Exon-Intron-Organisation mit 15 Exons und 14 Introns. Die codierende Sequenz der bovinen mRNA besteht aus 1583 Basenpaaren (GenbankNr. NM\_181014). Die Übereinstimmung der gesamten Aminosäuresequenz zwischen *Homo sapiens* und *Bos taurus* beträgt 87,9%, wobei hier besonders das Exon XII (98bp) mit einer Übereinstimmung von 97% zu bemerken ist (Grimsby *et al.* 1991). Dieses codiert für die FAD-Bindungsstelle und ist zwischen den Spezies am stärksten konserviert (Grimsby *et al.* 1991). Zwischen diesen Spezies und der Ratte wurde eine hohe Übereinstimmung von 87% der Gesamtsequenz gefunden (Abell und Kwan 2001).

## 2.4.3.4 Polymorphismen im humanen MAOA-Gen und Assoziationen

Von Brunner *et al.* (1993a) wurde eine niederländische Familie beschrieben, in der einige Männer aggressives und teils gewalttätiges Verhalten sowie mentale Retardierung zeigten. Mittels Assoziationsanalyse mit Markern wurde ein Bereich auf dem X-Chromosom in der Umgebung der *MAO*-Gene mit den Auffälligkeiten in Verbindung gebracht (Brunner *et al.* 1993b). Bei den Betroffenen wurde ein gestörter MAOA-Stoffwechsel diagnostiziert und daraufhin das *MAOA*-Gen untersucht. Hierbei wurde eine Punktmutation im Exon VIII des Gens (C936T) identifiziert, die dazu führt, dass ein Glutamincodon in ein Stoppcodon umgewandelt wird (Aminosäureposition 296). Diese Mutation wurde nur bei betroffenen Männern gefunden und einige Frauen der Familie fielen als Trägerinnen ohne Symptome auf. Allerdings handelt es sich um eine sehr seltene Mutation, die bisher in keiner weiteren Studie bestätigt werden konnte (Mejia *et al.* 2001; Schuback *et al.* 1999).

In einer brasilianischen Studie wurde ein "upstream Variable Number of Tandem Repeats" (uVNTR) im Promotor des *MAOA*-Gens in Bezug auf Alkoholabhängigkeit und impulsives Verhalten untersucht (Contini *et al.* 2006). Dieser uVNTR, der 1 – 1,2 kb oberhalb des ATG-Codons liegt, und sein Einfluss auf die Transkription wurde durch Sabol *et al.* (1998) zum ersten Mal veröffentlicht. Es werden Allele mit 3, 3½, 4 und 5 Wiederholungen einer 30bp-Sequenz beschrieben, wobei die Allele mit 3½ und 4 Wiederholungen in einer Transkriptionsstudie mit verschiedenen Zelllinien eine signifikant höhere Expression zeigten als die Allele mit 3 und 5 Wiederholungen (Sabol *et al.* 1998). Contini *et al.* (2006) fanden in ihrer Studie heraus, dass bei Alkoholerkrankten mit den "high activity alleles" (3½ und 4

Wiederholungen) im Gegensatz zu Personen mit dem "low activity allel" mit 3 Wiederholungen das Alter bei Beginn der Alkoholerkrankung signifikant höher ist. Allerdings zeigten sich zwischen den untersuchten Temperamentmerkmalen und den Allelen des uVNTR keine Zusammenhänge, außer, dass Personen mit drei Wiederholungen der Sequenz in einem Alter von mehr als 15 Jahren mehr Symptome von asozialem Verhalten zeigen. Die Zusammenhänge zwischen dem "low activity allel" und Alkoholismus wurde schon zuvor von anderen Autoren in verschiedenen Populationen beschrieben. (Saito *et al.* 2002; Samochowiec *et al.* 1999). Weiterhin wurde dieser uVNTR im Zusammenhang mit Panic Disorders untersucht. Deckert *et al.* fanden 1999 bei Studien mit zwei unabhängigen Versuchsgruppen (eine italienische und eine deutsche) heraus, dass bei den weiblichen Panic Disorders-Patienten im Vergleich zur gesunden Kontrollgruppe signifikant mehr lange Allele (3½, 4 und 5 Wiederholungen) vorkommen.

Auch in Verbindung mit Depressionen und Schlafstörungen wurde das MAOA-Gen untersucht. Du et al. (2004) fanden keinen Zusammenhang zwischen diesen Erkrankungen und dem uVNTR-Polymorphismus. Neben diesem wurde auch der EcoRV-Polymorphismus, eine stille Mutation von Cytosin zu Thymin an Position 1460 (Hotamisligil und Breakefield 1991) des MAOA-Gens, analysiert. Hier zeigte sich ein statistisch signifikanter Unterschied in der Allelverteilung zwischen den männlichen Patienten mit Depressionen und der Kontrollgruppe. Bei den weiblichen Patienten wurden keine Zusammenhänge beobachtet.

Ein weiterer Polymorphismus im MAOA-Gen wurde von Black et al. (1991) beschrieben. Hierbei handelt es sich um eine Dinucleotid-Wiederholung von Adenin und Cytosin mit sieben verschiedenen Allelvarianten. Lim et al. (1994) untersuchten diesen Mikrosatelliten in einer Fall-Kontroll-Studie mit manisch-depressiven Patienten (bipolar affektive Störung) in Großbritannien. In dieser Studie wurden neun Allele gefunden. Allerdings erbrachte die Assoziationsstudie keinen signifikanten Zusammenhang, ließ aber dennoch vermuten, dass ein solcher besteht. 1995 untersuchten Kawada et al. denselben Polymorphismus in einer japanischen Population. Sie konnten wie Black et al. (1991) auch nur sieben Allele nachweisen und es zeigte sich ein geringer, aber signifikanter Unterschied in der Allelverteilung bei Patienten und der Kontrollgruppe.

Eine weitere Verhaltensauffälligkeit beim Menschen, die mit MAOA in Verbindung gebracht wird, ist das Aufmerksamkeits-Defizit-Syndrom mit Hyperaktivität (ADH). Die Ursache der Erkrankung ist bisher unbekannt, wird aber in den dopaminergen, serotonergen und/oder noradrenergen Stoffwechseln vermutet. Da MAOA in den Abbau dieser Neurotransmitter involviert ist, wird es auch als Kandidatengen für ADH gesehen (Lawson *et al.* 2003). In einer

Studie wurden sowohl der schon beschriebene uVNTR als auch ein Single-Nucleotid-Polymorphism in Exon VIII (T941G), der auch als *Fnu*4HI-Polymorphismus (Hotamisligil und Breakefield 1991) bezeichnet wird, in ADH-Patienten untersucht. Allerdings wurde zwischen keinem der beiden Polymorphismen und ADH ein Zusammenhang gefunden (Lawson *et al.* 2003). Auch Lung *et al.* untersuchten 2006 den uVNTR-Polymorphismus in einer Fall-Kontroll-Studie mit ADH-Patienten und konnten keinen Zusammenhang zwischen Genotyp und Erkrankung darstellen.

Im Rahmen von Untersuchungen zur Gewaltspirale (Cycle of Violence), dass also misshandelte Kinder im Erwachsenenalter selbst auch zu Gewalttätern werden können, wurde MAOA einbezogen (Craig 2007). In einer Langzeitstudie über 26 Jahren wurden Daten aus dem familiären und sozialen Umfeld von 442 Probanden gesammelt und ihr Verhalten als Erwachsene dokumentiert. Für das soziale Verhalten wurde ein kombinierter Index vergeben, der zum Beispiel die Selbsteinschätzung zur Gewaltneigung und Verhaltensstörungen beinhaltet. Von allen Probanden wurde der Promotor-Polymorphismus des MAOA typisiert und die Gen-Umwelt-Interaktionen in Bezug zu Verhaltensauffälligkeiten untersucht. Der eigene MAOA-Genotyp hat keinen Einfluß darauf, ob die Kinder misshandelt werden und in welchem Maße. Aber es stellte sich heraus, dass antisoziales Verhalten in statistisch signifikant höherem Masse bei den Männern mit geringer MAOA-Aktivität auftrat, die als Kinder irgendeine Art Misshandlung erfahren mussten (Caspi et al. 2002). Diese Untersuchung zeigt deutlich, dass die Erfahrungen, die in jungen Jahren gemacht werden, auch Auswirkungen auf das spätere Verhalten haben und somit kann auch das Management mit jungen Tieren (Becker und Lobato 1997) im Zusammenhang mit Polymorphismen ihr späteres Verhalten beeinflussen.

### 2.4.3.5 MAOA bei Tieren

Newman *et al.* (2005) untersuchten 45 männliche Rhesusaffen mit Verhaltenstests und analysierten einen funktionalen Längenpolymorphismus im Promotorbereich des *MAOA*-Gens der Affen mit drei Allelen (5, 6 oder 7 Wiederholungen). Die Arbeitsgruppe stellte signifikante Effekte der Interaktion Genotyp x Aufzuchttyp (mit Mutter oder Amme) fest. Affen mit dem "low acitivity Allel" zeigten bei Mutteraufzucht vermehrt aggressives Verhalten sowohl im Futterneidtest als auch Revierverhaltenstest im Vergleich mit "low activity Allel" Affen mit Ammenaufzucht. Dieser Polymorphismus sowie weitere in anderen Genen (*DRD4* und *SERT*) wurden bei verschiedenen Affenarten untersucht (Wendland *et al.* 2006). Es stellte sich heraus, dass Affenarten, die tolerantes Verhalten zeigen, keine

Variationen im *MAOA*-Genotyp haben. Im Gegensatz dazu sind intolerante und stark hierarchisch strukturierte Affenarten im *MAOA*-Gen polymorph.

## 2.4.3.6 MAOA-knockout-Tiere

In einer Studie mit transgenen Mäusen, deren MAOA-Genexpression gehemmt ist, zeigten sich altersabhängige Verhaltensänderungen (Cases et al. 1995). So fielen Neugeborene durch intensives Kopfnicken auf. Im Alter von 5 bis 10 Tagen zeigten die jungen Mäuse verlängerte und stärkere Reaktionen auf Kneifen, Rückwärtsdrang statt Erkundungsverhalten und Zittern nach Bewegung. In etwas höherem Alter (11-16 Tage) versuchten die Mäuse, ihren Handler zu beißen, hatten ein gestörtes Schlafverhalten, zeigten gebückte Körperhaltung, rannten und sprangen wild umher und versteckten sich als Reaktion auf gemäßigte Geräusche und Bewegungen. Diese atypischen Verhaltensweisen der Jungtiere ließen sich auch in nicht ganz so ausgeprägter Form bei Wildtyp-Mäusen mit einem MAOA-Inhibitor (Clorgyline) erzeugen. Bei den ausgewachsenen MAOA-defizienten Mäusen war auffällig, dass die männlichen Tiere offensives aggressives Verhalten zeigen. Zu diesem Ergebnis kamen auch Popova et al. (2001), die in ihrer Studie MAOA-knockout-Mäuse verschiedenen Verhaltenstests zur Untersuchung von Angst, Schreckreaktion, Bewegungs- und Erkundungsaktivität, Aggression der Männchen und sexueller Motivation unterzogen. Für die Untersuchung der Aggression wurde die Testmaus mit einer anderen für zehn Minuten zusammengesetzt und die Dauer, bis es zum Kampf kommt, die Dauer des Kampfes und Anzahl der Kämpfe aufgezeichnet. Die männlichen Knockout-Mäuse kämpften zwar weniger, aber dafür waren die einzelnen Kämpfe heftiger, was sich in höheren Todesfallzahlen widerspiegelte.

Chen *et al.* beschrieben 2004 in einer *MAOB*-knockout-Mäusepopulation eine spontan auftretende Punktmutation im *MAOA*-Gen, die dazu führt, dass auch MAOA nicht produziert wird. Diese Mutation im Exon VIII des *MAOA* induziert ein Stoppcodon und ist somit der humanen C936T Mutation (Brunner *et al.* 1993a; Brunner *et al.* 1993b) sehr ähnlich. Bei den Doppel-knockout-Mäusen zeigte sich ein spezifischer biochemischer Phänotyp (Messung in Gehirnhomogenisaten), der sich von singulär *MAOA*- bzw. *MAOB*-knockout-Mäusen unterscheidet. Dies bezieht sich besonders auf das Serotonin- und Phenylethylaminlevel. Bezüglich der Verhaltensphänotypen, die in verschiedenen Tests ermittelt wurden, weisen die *MAOA*-knockout-Mäuse im Vergleich zu den Doppel-knockout-Mäusen ein weniger ängstliches und aggressiveres Verhalten auf. Dies begründeten Chen *et al.* (2004) mit den unterschiedlichen biochemischen Profilen der Tiere.

## 2.4.4 Serotonintransporter

Der Neurotransmitter Serotonin (5HT), ein biogenes Amin, kann mit verschiedenen prä- und postsynaptischen Rezeptoren sowohl peripher als auch zentral agieren. Die Wirkung des Serotonin wird durch den Rücktransport in das präsynaptische Neuron terminiert. Für diesen Vorgang ist der Serotonintransporter (5HTT, SLC6A4) zuständig (Lesch und Gutknecht 2005; Mortensen *et al.* 1999).

Das Serotoninsystem ist während der Ontogenese und weiteren neuronalen Entwicklung für die Spezifikation und Differenzierung von Bedeutung (Lesch und Gutknecht 2005; Semenova 1997). Im adulten Gehirn ist Serotonin an verschiedenen biologischen Funktionen, wie dem circadianen Rhythmus, endokrinen Aktivitäten, Erinnerung, Schlaf, Appetit, Schmerzempfindung und Emotionen, beteiligt (Bellivier *et al.* 2002; Lesch und Mössner 1998). Störungen des Serotoninsystems können unter anderem zu Depressionen, Angstverhalten, Panikattacken und Zwangsstörungen führen (Deakin 1991; Ressler und Nemeroff 2000). Bei ängstlichen Hunden wurden im Vergleich zur Kontrollgruppe erhöhte Serotoninspiegel im Plasma nachgewiesen (Riva *et al.* 2008).

## 2.4.4.1 Physiologische Funktion des Serotonintransporters

Der Serotonintransporter (SERT) ist das Schlüsselenzym für die Regulation der Konzentration von Serotonin im synaptischen Spalt (Bellivier *et al.* 2002). Der Rücktransport des Serotonins in das präsynaptische Neuron kann nur über den Serotonintransporter vermittelt werden und stellt somit eine Art "biologischen Flaschenhals" im Serotoninsytem dar (Lesch und Mössner 1998).

# 2.4.4.2 Medizinische Beeinflussung des SERT

Selective Serotonin Reuptake Inhibitors (SSRIs), die mit dem Serotonintransporter agieren, werden zur Therapie verschiedener Erkrankungen eingesetzt. Dazu zählen Depressionen, Ängste und Erkrankungen, die mit dem Verlust der Kontrolle einhergehen bzw. repetitive Verhaltensweisen zeigen (Lesch und Gutknecht 2005; Lesch und Mössner 1998; Sutcliffe *et al.* 2005). Die Interaktion mit dem SERT kann über eine Inhibition der Serotoninaufnahme oder auch einer Umkehrung des Transportes erfolgen (Mathews *et al.* 2004).

Die Wirkung verschiedener Drogen, zum Beispiel Kokain und Amphetamine, beruht auf einer Wechselwirkung mit dem Serotonintransporter (Mortensen *et al.* 1999).

## 2.4.4.3 Das Gen des Serotonintransporter: SERT

Das Gen des Serotonintransporters, *SERT*, ist beim Menschen auf Chromosom 17q12.2 lokalisiert. Es umschließt einen Bereich von 31-35 kb und besteht aus 14 Exons (Lesch *et al.* 1994; Lesch und Merschdorf 2000).

Die Klonierung des bovinen *SERT* und Aufklärung der Struktur erfolgte 1999 (Mortensen *et al.*). Die codierende Sequenz umfasst bei *Bos taurus* 1892 Basenpaare (GenbankNr. NM\_174609). *SERT* ist beim Rind auf BTA19 stromaufwärts lokalisiert und besteht aus 14 Exons (GenID 282365). Die Aminosäurestruktur zwischen *Bos taurus* und *Homo sapiens* sind zu 93 % identisch, zwischen *Bos taurus* und *Ovis aries* zu 98 %, das entspricht Unterschieden bei 11 der 630 Aminosäuren (Mortensen *et al.* 1999).

## 2.4.4.4 Polymorphismen im humanen SERT-Gen und Assoziationen

Der am häufigsten untersuchte Polymorphismus des *SERT*-Gen ist eine 44 Basenpaar Insertion/Deletion im Promotor (5HTTLPR, Serotonintransportergene-linked-polymorphic-region), die 1995 das erste Mal beschrieben wurde (Heils *et al.*). Bei Vorliegen einer homozygoten Deletion wird der Genotyp als "SS" ("Short-Short") bezeichnet, bei homozygoter Insertion entsprechend "LL" ("Long-Long"). Das Vorliegen der "Long"-Variante beeinflusst die Expression des Serotonintransporters *in vitro* positiv und es kommt in der Folge zu einer im Vergleich zur "Short"-Variante 1,9 - 2,2fach höheren Wiederaufnahme von Serotonin in die Zelle (Hallikainen *et al.* 1999; Lesch *et al.* 1996). In einer *in vivo* Studie wurde mittels Positronenemmisionstopographie nachgewiesen, dass dieser Promotorpolymorphismus keinen Einfluss auf die Effektivität der Serotoninbindung habe (Shioe *et al.* 2003).

Für diesen Polymorphismus sind Assoziationen zu verschiedenen Erkrankungen und Verhaltensphänotypen, wie ängstliches Verhalten (Lesch et al. 1996), Alkoholismus mit antisozialem-aggressivem Verhalten und Medikamentenmissbrauch (Hallikainen et al. 1999), beschrieben. Der Zusammenhang des SERT-Genotyps zu Angstverhalten, dargestellt durch den Aspekt Harm Avoidance des TPQ, konnte in einer israelischen Studie von 1997 nicht bestätigt werden (Ebstein et al.). In einer japanischen Population wurden andere Genotypfrequenzen als bei Ebstein gefunden und es konnte eine Assoziation zu ängstlichem Verhalten bestätigt werden, sowie eine Verbindung zu den Scores für Harm Avoidance dargestellt (Katsuragi al. 1999). Ein Zusammenhang zwischen werden Promotorpolymorphismus des SERT und phobischen Erkrankungen als eine Steigerung von Angstverhalten konnte nicht dargestellt werden (Samochowiec et al. 2004). Gerra et al. (2004) analysierten 101 Heroinabhängige und eine entsprechende Kontrollgruppe bezüglich

dieses Polymorphismus und führten psychiatrische Untersuchungen durch. Sie stellten fest, dass der 5-HTT-SS-Genotyp in der Gruppe der Heroinabhängigen signifikant häufiger als in der Kontrollgruppe vorkommt und signifikant mit dem Vorliegen gewalttätigen und kriminellen Verhaltens in Verbindung steht. Diese Ergebnisse konnten in einer weiteren Studie mit Persönlichkeitsmerkmalen bestätigt werden (Gerra et al. 2005).

Ein weiterer Polymorphismus ist ein VNTR im Intron 2 (Battersby et al. 1996; Ogilvie et al. 1996). Dieser besteht aus einem 16/17bp-Repeat, der in neun, zehn oder zwölf Kopien vorliegt (Lesch und Gutknecht 2005). Mit Mäuseembryonen konnte dargestellt werden, dass das Allel mit zwölf Kopien (STIn2.12) in der Medulla oblongata eine höhere Expression als STIn2.10 aufweist. Es wird vermutet, dass die Region dieses Polymorphismus als Transkriptionsregulator agiert (MacKenzie und Quinn 1999). Diese Ergebnisse sind identisch mit denen einer Expressionsstudie des Intron 2-Polymorphismus mit embryonalen Stammzellen (Fiskerstrand et al. 1999). In Assoziationsstudien konnte ein Zusammenhang zwischen dem Auftreten des Allels mit neun Kopien des VNTR in Intron 2 und uni- sowie bipolaren Erkrankungen nachgewiesen werden (Battersby et al. 1996; Ogilvie et al. 1996). In einer japanischen Studie wurden diese Ergebnisse nicht belegt (Kunugi et al. 1996). Es besteht jedoch ein hochsignifikanter Unterschied in den Allel- und Genotypfrequenzen zwischen japanischen (2 Allele) und europäischen (3 Allele) Populationen (Kunugi et al. 1996). In anderen Studien wurden signifikante Assoziationen zwischen dem Vorliegen des Allels mit 12 Kopien und bipolarer Erkrankung, nicht jedoch unipolaren Erkrankungen, nachgewiesen (Collier et al. 1996; Kunugi et al. 1997).

Die gemeinsame Auswirkung sowohl des Promotor- als auch des Intron-Polymorphismus wurde 2002 von Kaiser *et al.* am Modell der Blutplättchen, deren Serotoninstoffwechsel dem in neuronalen Gewebe entspricht, untersucht. In dieser Studie konnte kein statistisch signifikanter Zusammenhang zwischen den genetischen Varianten und dem Serotoninstoffwechsel dargestellt werden. Eine Haplotypenanalyse beider Polymorphismen wurde 2006 in Verbindung mit verschiedenen Persönlichkeitsmerkmalen nach TPQ und NEO-PI-R durchgeführt (Vormfelde *et al.*). Assoziationen zwischen dem Haplotyp L 12 ("long"-Allel im Promotor und 12bp Allel im Intron 2) mit Angstverhalten und Novelty Seeking zeigten sich nur bei den männlichen Probanden, nicht jedoch bei den weiblichen.

In einer Kopplungsanalyse in Autismusfamilien wurde der Abschnitt q11.2 auf Chromosom 17, in dessen Nähe das Gen des Serotonintransporters lokalisiert ist, als signifikant identifiziert (McCauley *et al.* 2004). Verschiedene Polymorphismen in unterschiedlichen Abschnitten des *SERT*-Gens treten bei Autisten häufiger auf und es bestehen signifikante

Assoziationen zwischen Autismus und einem SNP im Intron 5 sowie dem Promotorpolymorphismus (McCauley *et al.* 2004; Sutcliffe *et al.* 2005). Die bei vielen Autisten nachgewiesene Hyperserotoninämie kann physiologisch auf das signifikant häufigere Vorkommen des "LL"-Genotyps des 5HTTLPR zurückgeführt werden (Yirmiya *et al.* 2001).

### 2.4.4.5 SERT bei Tieren

Bei verschiedenen Primaten und anderen Säugetieren wurde der Promotor des SERT untersucht. Bei den Primaten und dem Mensch konnte der 5HTTLPR mit verschiedenen Allelen dargestellt werden, die sich mit den Erkenntnissen der Evolution in Einklang bringen lassen. Bei Maus und Spitzhörnchen konnte kein Polymorphismus im untersuchten Genabschnitt nachgewiesen werden (Lesch et al. 1997). Bei sieben verschiedenen Spezies des Genus Macacen konnten fünf verschiedene Allele des 5HTTLPR dargestellt werden, deren Allelfrequenzen zwischen den Spezies variieren. Tolerante und wenig hierarchisch organisierte Spezies wie zum Beispiel Tonkean-Makak und Berberaffen sind monomorph für ein Allel. Rhesusaffen, die das höchste Aggressionspotential unter Affen haben und am meisten Intoleranz zeigen, sind an diesem Genort polymorph (Wendland et al. 2006).

### 2.4.4.6 SERT-knockout-Tiere

Serotonintransporter-knockout-Mäuse (SERT-/-) sind lebensfähig und zeigen sich in ihrer Entwicklung und Vermehrung unauffällig (Holmes et al. 2002b). Dennoch lassen sich signifikant höhere Serotininspiegel im Corpus Striatum nachweisen (Mathews et al. 2004). In einem Alter von sechs Monaten haben SERT-knockout-Mäuse ein signifikant höheres Körpergewicht als der Wildtyp, wenn der Mäusestamm C57BL/6J der Mutation zugrunde liegt. Mit dem Mäusestamm 129S6 lassen sich diese Ergebnisse nicht replizieren (Holmes et al. 2002b). Im Cat Room Exposure Test und Elevated Plus Maze Test haben die Knockout-Mäuse eine im Vergleich zu Wildtyp- und SERT+/--Mäusen erhöhte Anfälligkeit für andauerndes Angstverhalten (Adamec et al. 2006). In Tests zu eigenständigem Grab- und Käfiggestaltungsverhalten zeigen die Knockout-Tiere im Vergleich zu den Wildtypen Hypoaktivität. Heterozygote Knockout-Mäuse unterscheiden sich diesbezüglich nicht von den Wildtypmäusen (Kalueff et al. 2006). In einer früheren Studie wurde primär im Resident-Intruder-Test das Aggressionsverhalten der Tiere untersucht. Die Knockout-Mäuse brauchten signifikant länger Zeit bis zum ersten Angriff auf den "Eindringling" und sie bissen signifikant weniger zu als Wildtyp-Mäuse. SERT+/--Mäuse zeigten ein intermediäres Verhalten mit einer ähnlich kurzen Dauer bis zum ersten Angriff wie der Wildtyp, aber die Anzahl der Bisse entspricht der der Knockout-Mäuse. Da die SERT-/--Mäuse aber beim

ebenfalls untersuchten Sozialverhalten keine Unterschiede zum Wildtyp aufwiesen, wird keine generelle Hypoaktivität, sondern ein reduziertes Aggressionsverhalten postuliert (Holmes *et al.* 2002a).

Ratten, die keinen Serotonintransporter exprimieren, zeigen identisches Verhalten wie Wildtypratten. Nur die weiblichen Ratten im Alter von drei Wochen unterscheiden sich durch ein zehn Prozent geringeres Gewicht. Die Serotoninwiederaufnahme der SERT-knockout-Ratten im Hippocampus in das präsynaptische Neuron ist jedoch im Vergleich mit den Wildtyp-Ratten nur um 72,2% reduziert. Dies wird mit einer partiellen Übernahme des Transportes durch noradrenerge Neurone begründet (Homberg *et al.* 2007).

## 3 Material und Methoden

## 3.1 Material

#### 3.1.1 Tiere

Für die Untersuchung standen die Kälber der Jahrgänge 1998 bis 2001 der Rassen Dt. Angus (DA) und Dt. Fleckvieh (FV) zur Verfügung. Die Tiere wurden auf dem Lehr- und Versuchsbetrieb Rudlos der Justus-Liebig-Universität Gießen geboren und aufgezogen und in zwei Studien bezüglich ihres Verhaltens getestet (Mathiak 2002; Urban 2007).

Es handelt sich insgesamt um 962 Kälber, die sich auf 545 Dt. Angus Kälber von sechs Vätern und 417 Dt. Fleckvieh Kälber von acht Vätern aufteilen. Die Halbgeschwisterfamiliengrößen variieren zwischen 29 und 111 Kälbern bei den Dt. Angus und bei den Dt. Fleckvieh zwischen 16 und 84 Kälbern (siehe Tabelle 1). Eine Aufstellung der Vollgeschwistergruppen je Bulle findet sich in Anhangstabelle 1A. 50,46% der DA-Kälber und 49,40% der FV-Kälber sind männlich.

#### 3.1.2 Probenmaterial

Als Probenmaterial standen von allen Kälbern der vier Jahrgänge sowie den eingesetzten 14 Bullen Blut- und DNA-Proben zur Verfügung.

Als Test-DNA zur PCR-Austestung stand DNA einer Fleckviehkuh der Lehr- und Forschungsstation Oberer Hardthof zur Verfügung und die Sequenzierungen zur Mutationssuche erfolgten an fünf Müttern je Rasse.

Die Überprüfung der Segregation der Nukleotidaustausche erfolgte in Familienmaterial (Bulle mit Kühen und Kälbern) und zur Bestimmung der Allelfrequenzen der Polymorphismen in den beiden Rassen wurden je Rasse 48 unverwandte Mütter typisiert (siehe Anhangstabelle 2A).

Für die Kartierung des *DRD4*-Gens wurden die DNA-Proben aller Mütter (Dt. Angus: n = 164; Dt. Fleckvieh: n = 157) mit in die Analyse einbezogen.

Tabelle 1: Aufstellung der Halbgeschwisterfamilien nach Rassen getrennt, mit Nachkommenzahlen je Jahr und nach Geschlechtern getrennt.

																		1	
Gesamt je Rasse								545										417	
0+		99	32	15	61	99	20	270		111	31	46	10	38	40	18	17	211	
€0		48	50	14	48	54	61	275		5	32	38	6	43	37	20	22	206	
Gesamt- nach- kommen		104	82	29	109	110	1111			16	63	84	19	81	77	38	39		
2001	•	29	0	29	29	31	30			16	0	20	19	21	6	16	0		
2000	ı	24	29	0	23	27	27			0	18	17	0	23	21	22	0		
1999		27	28	0	31	28	28			0	23	22	0	13	25	0	18		
1998		24	25	0	56	24	26			0	22	25	0	24	22	0	21		
Name Bulle	•	Claudius	Heino	Hiro	Pamtera	Pauker	Vollkorn			Habsburg	Herkan	Honannes	Mambo	Matze	Paros	Poker	Theo		
DE-Nr. Bulle	Dt. Angus	DE0665118487	DE0340386055	DE0665123113	DE0340118479	DE0665094128	DE0665118486	Gesamt DA	Dt. Fleckvieh	DE0665124735	DE1500244225	DE0980232295	DE0932318461	DE1500258855	DE0576839147	DE0930336668	7760280	Gesamt FV	

### 3.1.3 Verhaltensdaten

Die Verhaltensparameter für die Kälber wurden in zwei Studien erhoben (Mathiak 2002; Urban 2007), in denen die Verhaltenstests ausführlich beschrieben sind. Hier folgt nur ein kurzer Abriss und die im Rahmen dieser Arbeit durchgeführte Zusammenstellung der Daten beider Studien

### 3.1.3.1 Anbindetest

Mit den Kälbern aller vier Jahrgänge wurde im Alter von ca. drei Wochen (im Mittel 21 Tage) ein Anbindetest (modifiziert nach Boissy und Bouissou, 1988) durchgeführt. Für diesen wurde das Kalb von der Herde separiert und mittels Kopfstrick im Kälberschlupf angebunden. Währenddessen bestand Sichtkontakt zur Herde.

Der Handler, in den Jahren 1998 und 1999 sowie in den Jahren 2000 und 2001 je eine Person, vergab nach zweiminütiger Anbindezeit einen Score für das Verhalten des Kalbes. Der Score reichte von 1 = "ruhig stehend mit locker durchhängendem Strick" bis 5 = "wild und kräftig gegen die Fixierung kämpfend, versucht sich zu befreien" und wurde als MIN2AT bezeichnet (Mathiak 2002; Urban 2007). Die Heritabilität dieses Scores lag bei  $0.070 \pm 0.030$ . Eine Darstellung der vergebenen Scores über die vier Jahrgänge ist in Tabelle 2 zu finden.

Dieser Score lag insgesamt für 93,5 % der Kälber vor.

**Tabelle 2:** Bewertung der Kälber der Jahrgänge 1998 – 2001 für den Score MIN2AT.

MIN2AT	1	2	3	4	5	Gesamt
Beschreibung	Ruhig, Strick hängend	Ruhig, Strick gespannt	Unruhig, nervös	Nervös, kräftiges Ziehen	Befreiungs- versuche	
n	339	339	111	104	7	900
%	37,67	37,67	12,33	11,55	0,78	100

### 3.1.3.2 Wiegetest

Im Alter von ca. fünf Monaten (im Mittel 152 Tage) wurde mit den Tieren ein Wiegetest (modifiziert nach Tulloh, 1961a) durchgeführt. Die Tiere wurden einzeln durch einen Treibgang zur Waage geschickt. Für das Verhalten beim Eintreten in die Waage und sowie während des Wiegevorgangs wurden Scores vergeben.

Der Score während des Eintretens (SCEINWT) wurden in den Jahrgängen 1998 und 1999 mit einer Skala von eins bis vier bewertet (Mathiak 2002) und in den darauf folgenden beiden Jahrgängen mit einer Skala von eins bis drei (Urban 2007). Aufgrund der Beschreibungen

wurden die Scores aneinander angepasst. Nach Analysen jeweils innerhalb der entsprechenden Jahrgänge und über alle vier Jahre wurden aufgrund vergleichbarer Ergebnisse die statistischen Auswertungen auch für dieses Merkmal über alle vier Jahrgänge mit den so entstandenen fünf Bewertungsstufen durchgeführt. Somit bestehen folgende Definitionen:

Score 1,0 = "Eintreten ohne Hilfe" (1998, 1999, 2000 und 2001),

Score 2,0 = "Eintreten nach verbaler Aufforderung" (nur 1998 und 1999),

Score 2,5 = "Eintreten mit verbaler oder taktiler Aufforderung" (nur 2000 und 2001),

Score 3,0 = "Eintreten nach Aufforderung mit Tierkontakt" (nur 1998 und 1999),

Score 4,0 = "Eintreten mit massiven Schwierigkeiten" (1998, 1999, 2000 und 2001).

Der Score während des Wiegevorgangs (SCWGWT) wurde über alle vier Jahrgänge mit einer Skala von eins bis fünf bewertet, wobei Score 1= "ruhiges Stehen ohne Bewegung" und Score 5= "massiver Widerstand gegen die Fixierung, versucht sich zu befreien" mit entsprechenden Abstufungen der Scores 2, 3 und 4 bedeuten. Der Score SCEINWT ist für 95,3 % der Kälber und der Score SCWGWT für 95,0 % der Kälber erfasst worden. Die Heritabilitäten sind für SCEINWT  $0.152\pm0.037$  und für SCWGWT  $0.279\pm0.051$ . Die Verteilung der Scores über die vier Jahrgänge ist in Tabelle 3 für SCEINWT und in Tabelle 4 für SCWGWT aufgeführt.

Tabelle 3: Bewertung der Kälber der Jahrgänge 1998 – 2001 für den Score SCEINWT.

SCEINWT	1,0	2,0	2,5	3,0	4,0	Gesamt
Beschreibung	Ohne Hilfe	Verbale Auf- forderung	Verbale/ taktile Auf- forderung	Tier- kontakt	Massive Schwierig- keiten	
n	499	146	107	144	21	917
%	54,42	15,92	11,67	15,70	2,29	100

Tabelle 4: Bewertung der Kälber der Jahrgänge 1998 – 2001 für den Score SCWGWT

SCWGWT	1	2	3	4	5	Gesamt
Beschreibung	Ruhig	Gelegentlich	Unruhig	Rütteln	Befreiungs-	
Describering	Stehen	Bewegen	nervös		versuche	
n	128	346	321	102	17	914
%	14,00	37,86	35,12	11,16	1,86	100

## 3.1.3.3 Separier- und Rückhaltetest

Als dritter Test wurde ein Separier- und Rückhaltetest (modifiziert nach Le Neindre *et al.*, 1995) im Alter von sieben bis acht Monaten (im Mittel 228 Tage) durchgeführt.

Bei diesem zusammengesetzten Test wurde zuerst der Separiertest und in direktem Anschluss der Rückhaltetest durchgeführt. Aus einem abgegrenzten Separierpaddock versuchte der Handler, das Kalb ohne Berührung aus einer Gruppe von zehn Tieren in den angrenzenden Rückhaltepaddock zu separieren. Für diesen Separiertest standen maximal 180 Sekunden zur Verfügung. Anschließend wurde das Kalb zur Gewöhnung im Rückhaltepaddock alleine gelassen und nach 30 Sekunden stellte sich der Handler für 30 Sekunden mit hinein. Dann begann die eigentliche Handlingperiode des Rückhaltetestes und der Handler versuchte, das Kalb innerhalb von 120 Sekunden in eine definierte Ecke des Paddocks zu treiben, in der es zurückgehalten werden sollte. Gelang das Zurückhalten für 30 Sekunden, wurde versucht, sich dem Kalb zu nähern und es zu streicheln. Nach weiteren maximal 30 Sekunden wurde der Test beendet.

Hierbei vergab der Handler einen Score für das Kalb während des Handlings (SCAST). Dieser hat fünf Bewertungsstufen hat mit Score 1 = "Ruhiges Tier" und Score 5 = "Extrem aufgeregtes Tier" und entsprechenden Abstufungen (Mathiak 2002; Urban 2007). Die Heritabilität für diesen Score lag bei  $0.310 \pm 0.055$ .

Eine Aufschlüsselung der Bewertung der Kälber für den Score SCAST ist Tabelle 5 zu entnehmen. Für 94,9% der Kälber war dieser Score vorliegend.

Tabelle 5: Bewertung der Kälber der Jahrgänge 1998 – 2001 für den Score SCAST.

SCAST	1	2	3	4	5	Gesamt
Beschreibung	Ruhig	Unruhig	Nervös	Aufgeregt	Extrem aufgeregt	
n	157	414	255	76	11	913
%	17,20	45,35	27,93	8,32	1,20	100

### 3.1.4 Geräte

Abdeckmatte für Thermoblock	Perkin Elmer Applied Biosystems GmbH,
	Weiterstadt
Analysewaage AC211S	Satorius AG, Göttingen
Autoklav Webeco Modell C	Webeco, Bad Schwartau
Bidestanlage Bi-Dest 2302	Gesellschaft für Labortechnik mbH,
	Burgwedel
Brutschrank	Heraeus Instruments GmbH, Hanau
Centrifuge 5804 mit Rotor A-2-DWP	Eppendorf AG, Hamburg
Centrifuge 5810R mit Rotor A-4-62	Eppendorf AG, Hamburg

Centrifuge/Vortex Combi-spin FVL 2400	Peqlab, Erlangen
Digital Graphic Printer UP-D895	Sony, Tokyo, Japan, Vertrieb in Deutsch-
	land über Biometra, Göttingen
Distriman	Gilson International B.V., Bad Camberg
DNA-Sequenzierautomat ALFexpress mit Gel-	Amersham Pharmacia Biotech Europe
kassette bestehend aus Standard Thermo	GmbH, Freiburg (jetzt GE Healthcare
Platte, Standard Glasplatte, Kamm und Spacer	Europe GmbH, Freiburg)
je 0,5 mm stark	
DNA-Sequenzierautomat ABI PRISM® 377	Applied Biosystems, Darmstadt
DNA Sequencer mit Borosilikat-Glasplatten	
(36 cm und 12 cm Länge), mylaren Spacern	
(0,2 mm stark), 36-well und 48-well Haifisch	
zahnkamm (mylar, 0,2 mm stark)	
Eisflockenbereiter SPR80AS	NordCap GmbH, Bremen
Eismaschine Scotsman AF10	Kälte Mack, Maintal
Elektrophoresekammer Modell HRH	International Biotechnologies Inc., New
	Haven, Conneticut, USA
Gelkämme und Gelschlitten diverser Größen	Von Keutz Labortechnik GmbH,
	Reiskirchen
HLC Blockthermostat BT 1301	MAGV Massanalytische Glas- und
	Laborgerätevertriebsgesellschaft mbH,
	Rabenau-Londorf
Horizontalelektrophoresekammern mini und	Von Keutz Labortechnik GmbH,
midi, ungekühlt	Reiskirchen
iCycler 96well Thermocycler	Bio-Rad, München
Inkubator Certomat® H	B. Braun Melsungen AG
Magnetrührer MR2002	Heidolph, Kelkheim
Microprocessor pH-Meter pH 537	Wissenschaftlich technische Werkstätten,
	Weilheim
Mikrowelle	Siemens-Electrogeräte GmbH, München
Minichiller	$Peter\ Huber\ K\"{a}ltemaschinenbau\ GmbH,$
	Offenburg

Eppendorf AG, Hamburg

Multipette

Netzgerät ConsortE425 für die Elektrophorese MAGV Massanalytische Glas- und

Laborgerätevertriebsgesellschaft mbH,

Rabenau-Londorf

Netzgeräte Power Pac 1000 und 3000 für die

Elektrophorese

Pipetten Pipetman P10, P20, P100, P200,

P1000

Pipetten Research pro 0,5-10 µl, 50-1200 µl

Pipettier-Roboter CAS-1200<sup>™</sup>

Repro Set (UV-Licht)

Schüttelplatte KS10

submarine/horizontal Gel Unit

Thermocycler PE 9600

Transferpette®-8 von 2,5 bis 25 ml

Transilluminator Biometra Ti5 Vortex Reax 2000

Waage E1B120

Waage KERN EW2200

Wasserbad

Wasserbad Julabo 22A

Bio-Rad, München

Gilson International B.V., Bad Camberg

Eppendorf AG, Hamburg

Corbett Life Science, Sydney, Australia: Amersham Pharmacia Biotech Europe

*GmbH*, Freiburg (jetzt *GE Healthcare* 

Europe GmbH, Freiburg)

Edmund Bühler, Tübingen

CBS Sientific CO, Del Mar, California Perkin Elmer Applied Biosystems GmbH,

Weiterstadt

 $Brand\ GmbH + Co\ KG$ , Wertheim

Biometra, Göttingen Heidolph, Kelkheim

OHAUS, Schweiz

Kern & Sohn, Balingen

Köttermann Labortechnik, Uetze-

Hänigsen

Wasserbad GFL MAGV Massanalytische Glas- und

Laborgerätevertriebsgesellschaft mbH,

Rabenau-Londorf

Julabo Labortechnik, Saalbach Zentrifuge Biofuge 13R Heraeus Instruments GmbH, Hanau

## 3.1.5 Verbrauchsmaterialien

Biosphere® Filter Tips 100 µl

Combitips 0,05 ml

Sarstedt AG&Co., Nümbrecht

Eppendorf AG, Hamburg

Distritips Micro, Mini, Maxi	Gilson International B.V., Bad Camberg
Filter Tips 10 $\mu$ l, 1000 $\mu$ l	nerbe plus GmbH, Winsen/Luhe
Filter Tips 20 µl, 200 µl	Peqlab, Erlangen
K-EDTA Monovetten 9 ml	Sarstedt AG&Co., Nümbrecht
Kimwipes®	Kimberly-Clark, Roswell, USA
Latexhandschuhe	G. Kisker GbR, Steinfurt
Membranfilter ME25 (Porengröße 0,45 μm)	Whatman GmbH, Dassel
Multiply®-μ Strips 0,2 ml 8er Kette mit	Sarstedt AG&Co., Nümbrecht
Multiply® Deckelkette 8er Kette	
Nitrilhandschuhe latexfrei	MAGV Massanalytische Glas- und
	Laborgerätevertriebsgesellschaft mbH,
	Rabenau-Londorf
PCR-Cups Soft Tubes® mit Deckel Soft	Biozym Scientific GmbH, Hess. Olden-
Strips <sup>®</sup>	dorf
PCR-Gefäße in Streifen mit 0,2 ml Kappen streifen	VWR International GmbH, Darmstadt
PCR-Platte PP 96well mit Kappenstreifen	nerbe plus GmbH, Winsen/Luhe
Petrischalen	Sarstedt AG&Co., Nümbrecht
Photopapier Type V UPP-110HG	Sony, Tokyo, Japan, Vertrieb in Deutsch-
	land über MS Laborgeräte Schröder,
	Wiesloch
Reagiergefäße 1,5 ml (Cups)	Sarstedt AG&Co., Nümbrecht
Röhrchen 13 ml	Sarstedt AG&Co., Nümbrecht
Quali PCR-Platten 96well mit Quali PCR-	G. Kisker GbR, Steinfurt
Tube-Cups	
96well Thermowellplatten	Corning Inc., Corning, New York, USA

## 3.1.6 Chemikalien und Reaktionskits

Alle verwendeten Chemikalien wiesen den Reinheitsgrad p.a. (zur Analyse) auf.

ABI PRISM® BigDye® Terminator v1.1 Cycle

Applied Biosystems, Darmstadt

Whatman GmbH, Dassel

Sequencing Kit

595 1/2 Faltenfilter Ø 240 mm

ABsolute<sup>TM</sup> QPCR Mix ABgene House, Surrey, UK

Acrylamid/Bisacrylamid 29:1 (30 %ig w/v) Bio-Rad, München

Agar-Agar *Carl Roth GmbH*, Karlsruhe
Agarose NEEO Ultra Qualität, Rotiphorese® *Carl Roth GmbH*, Karlsruhe

alpha-D-Glucose Serva Feinbiochemica GmbH & Co.,

Heidelberg

Ammoniumchlorid Merck KGaA, Darmstadt
Ammoniumpersulfat (APS) Amresco, Ohio, USA
Ampicillin-Natriumsalz AppliChem, Darmstadt

Bind-Silane Amersham Pharmacia Biotech Europe

GmbH, Freiburg (jetzt GE Healthcare

Europe GmbH, Freiburg)

BlueDextran 2000 GE Healthcare Europe GmbH, Freiburg

Borsäure AppliChem, Darmstadt

Bromphenolblau United States Biomedical Corp., Ohio,

**USA** 

Dimethylsulfoxid (DMSO) Carl Roth GmbH, Karlsruhe

Dodecylsulfat-Na-Salz (SDS)

Serva Feinbiochemica GmbH & Co.,

Heidelberg

EDTA-Dinatriumsalz-Dihydrat AppliChem, Darmstadt
Essigsäure Carl Roth GmbH, Karlsruhe
Ethanol Carl Roth GmbH, Karlsruhe

Ethidiumbromid Serva Feinbiochemica GmbH & Co.,

Heidelberg

Formamid Carl Roth GmbH, Karlsruhe

GFX Micro Plasmid Prep Kit GE Healthcare Europe GmbH, Freiburg

Glycerol Rotipuran® Carl Roth GmbH, Karlsruhe
Hefeextrakt BioChemica AppliChem, Darmstadt

Isopropyl-Thio-β-D-Galactopyranosid (IPTG) Biomol Feinchemikalien GmbH,

Hamburg

Kaliumchlorid AppliChem, Darmstadt

Long Ranger® Gel Solution Biozym Scientific GmbH, Hess. Olden-

dorf

Magnesium Solution (25 mM Mg(OAc) <sub>2</sub> )	Eppendorf AG, Hamburg
Magnesiumchlorid-Hexahydrat reinst	Merck KGaA, Darmstadt
Magnesiumsulfat-Heptahydrat	Merck KGaA, Darmstadt
Natriumazetat	Merck KGaA, Darmstadt
Natriumchlorid	AppliChem, Darmstadt
Natriumhydroxid	Merck KGaA, Darmstadt
NuSieve® GTG® Agarose	Cambrex Bio Science Rockland, Inc.,
	Rockland, Maine, USA (Vertrieb über
	Biozym Scientific GmbH, Hess. Olden-
	dorf)
pGEM®-T Easy Vector Systems	Promega GmbH, Mannheim
TEMED (N,N,N',N'-Tetramethylendiamin)	Amresco, Ohio, USA und AppliChem,
	Darmstadt
Tris(hydroxymethyl)aminomethan (Tris)	MP Biomedicals, LLC, Eschwege
Trypton/Pepton aus Casein	Carl Roth GmbH, Karlsruhe
Urea	AppliChem, Darmstadt
Wasser für die Molekularbiologie	Carl Roth GmbH, Karlsruhe
Wasser für HPLC	KMF Laborchemie Handels GmbH,
	Sankt Augustin
Wizard® SV Gel and PCR Clean-Up System	Promega GmbH, Mannheim
Xylencyanol FF	United States Biomedical Corp., Ohio,
	USA
10x Buffer Tango™ (33 mM Tris-Azetat (pH	Fermentas, St. Leon-Rot
7,9), 10 mM Magnesiumazetat, 66 mM	
Kaliumazetat, 0,1 mg/ml BSA)	
10x Puffer B (10 mM Tris-HCl (pH 7,5), 10	Fermentas, St. Leon-Rot
mM Magnesiumchlorid, 0,1 mg/ml BSA)	
10x Puffer G3 (10 mM Tris-HCl (pH 7,5), 10	Fermentas, St. Leon-Rot
mM Magnesiumchlorid, 50 mM Natrium	
chlorid, 0,1 mg/ml BSA)	
10x Taq Buffer advanced (selbstregulierend,	Eppendorf AG, Hamburg
maximale Magnesium-Konzentration: 2 mM	
$Mg^{2+}$ )	

10xTBE Puffer (1 M TRIS-Borat (pH 8,3), 20 Carl Roth GmbH, Karlsruhe mM EDTA, destilliertes deionisiertes Wasser)
5-bromo-4-chloro-3-indolyl-β-D-Galactopyranosid (X-Gal) Biomol Feinchemikalien GmbH,
Hamburg

### 3.1.7 Größenstandards

# 3.1.7.1 Größenstandards für die Polyacrylamidgelelektrophorese mit dem halbautomatischen Sequenziersystem ALFexpress

Als externe Marker in Geltasche 10, 20, 30 und 40 und interne Marker bei jeder Probe zur Größenbestimmung der Fragmente bei der Mikrosatellitentypisierung am ALF*express* dienten PCR-Produkte bekannter Größe (siehe Tabelle 6), die aus dem Cytochrom b-Gen der ovinen mitochondrialen DNA (Hiendleder *et al.* 1998) amplifiziert wurden. Je 50 µl des PCR-Produktes wurden mit 150 µl sterilfiltriertem 1xTE und 150 µl Loading Dye versetzt.

Zum Vergleich der Gele untereinander sowie mit anderen Arbeitsgruppen wurden die Standardproben "DAgelb803" sowie "Giessen2000" (= DAblau25) mit analysiert.

**Tabelle 6:** Größen der verwendeten externen und internen Marker zur Größenbestimmung am ALF*express* in Basenpaaren.

Externe Marker	Interne Marker
74	74/170
124	74/202
170	74/266
202	124/202
266	124/202/266

# 3.1.7.2 Größenstandards für die Polyacrylamidgelelektrophorese mit dem ABI PRISM® 377 DNA Sequencer

Zur Größenbestimmung der Mikrosatelliten bei Typisierung am ABI PRISM<sup>®</sup> 377 DNA Sequencer wurde ein Pool von PCR-Fragmenten verwendet, der sich aus neun Fragmenten mit 74bp, 105bp, 124bp, 156bp, 170bp, 202bp, 233bp, 266bp und 315bp zusammensetzte. Diese wurden durch PCR aus dem Cytochrom b-Gen der ovinen mitochondrialen DNA amplifiziert (Hiendleder *et al.* 1998). Auch hier wurden die Standardproben "DAgelb803" und "Giessen2000" eingesetzt.

41

## 3.1.7.3 Größenstandards zur Agarosegelelektrophorese

GeneRuler<sup>TM</sup> 100bp DNA Ladder Plus Fermentas, St. Leon-Rot pUC19 DNA/MspI (HpaII) Marker, 23 Fermentas, St. Leon-Rot

### 3.1.8 Bakterienstamm und Vektor

JM109 Competent Cells (high efficiency) Promega, Mannheim pGEM®-T Easy Vector Promega, Mannheim

## **3.1.9** Enzyme

Proteinase K Invitek, Berlin

Restriktionsenzym Alw26I Fermentas, St. Leon-Rot
Restriktionsenzym BseNI Fermentas, St. Leon-Rot
Restriktionsenzym MnlI Fermentas, St. Leon-Rot
Taq DNA-Polymerase Eppendorf AG, Hamburg
Taq DNA-Polymerase 5Prime GmbH, Hamburg

## 3.1.10 Oligonukleotide

Oligonukleotide, Cy5-markiert Sigma-Aldrich Chemie GmbH, München

Oligonukleotide, NED-markiert Applied Biosystems, Darmstadt

Oligonukleotide, unmarkiert biomers.net GmbH, Ulm

Oligonukleotide, 6FAM-markiert Sigma-Aldrich Chemie GmbH, München

Vektorprimer M13 forward und reverse *Invitrogen GmbH*, Karlsruhe

# 3.1.11 Computerprogramme

AlleleLocator Version 1.03 Amersham Pharmacia Biotech Europe

GmbH, Freiburg

BLAST National Center for Biotechnology

(http://www.ncbi.nlm.nih.gov/BLAST/) Information

CERVUS Version 3.0.3 Field Genetics Ltd., T. Marshall

ChromasPro Version 1.32 Technelysium Pty Ltd

Cri-Map Version 5 Washington University School of

Medicine, St. Louis, P. Green

Genotyper V3.7 Applied Biosystems, Darmstadt
NEBCutter V2.0 New England Biolabs, Ipswich,

Massachusetts, U.S.A

POPGENE V 1.32 Yeh et al. 1997

Primer3 (http://primer3.sourceforge.net/) Whitehead Institute for Biomedical

Research, Cambridge, S. Rozen & H.

Skaletsky

QTLexpress (http://qtl.cap.ed.ac.uk/)

Roslin Institute und University of

Edinburgh, Edinburgh, UK

SAS® 8.01 SAS Institute Inc., Cary, NC, USA

Tetra-Primer (http://cedar.genetics.soton.ac.uk/ Ye et al. 2001

public html/primer1.html)

Transcription Factor Search (http://www.cbrc. TRC Laboratory, RWCP, Japan

jp/research/db/TFSEARCH.html)

### 3.1.12 Gentechnische Arbeiten

Die gentechnischen Arbeiten wurden nach dem Gesetz zur Regelung der Gentechnik (Gentechnikgesetz, GenTG) vom 16.12.93, zuletzt geändert 17. März 2006, §7, in Labors der Sicherheitsstufe 1 des Institutes für Tierzucht und Haustiergenetik der Justus-Liebig-Universität Gießen (Ludwigstr. 21 b, 35390 Gießen) durchgeführt (Reg. Bescheid Nr. AI3/19/1/1374/90 sowie Reg. Bescheid Nr. AI3-25/1/1492/90).

## 3.2 Methoden

# 3.2.1 Blutentnahme und Aufbereitung der Blutproben

Die Blutproben der Kälber wurden der Vena jugularis mit Injektionskanülen und 9 ml EDTA Monovetten entnommen. Der Transport und die kurzzeitige Lagerung der Proben erfolgte gekühlt. Die Monovetten wurden anschließend bei 4°C und 3000 rpm für 15 min zentrifugiert. Über dem roten Sediment der Erythrocyten mit dem höchsten spezifischen Gewicht aller Blutbestandteile befinden sich in einer hellen Schicht die sedimentierten weißen

Blutkörperchen mit geringerem spezifischen Gewicht (Löhner 1939); dieser so genannte Buffy Coat wurde abgenommen und bis zur weiteren Verarbeitung bei -20°C gelagert.

### 3.2.2 DNA-Extraktion

Die genomische DNA wurde mit einer modifizierten Methode nach Montgomery und Sise (1990), die auf Aussalzung beruht, aus Buffy Coat isoliert. Die Methode wurde wie bei Weimann (2000) beschrieben verwendet, allerdings wurden 80  $\mu$ l Proteinase K (10 mg/ml) statt der dort angegeben 50  $\mu$ l eingesetzt.

# 3.2.3 Etablierung der Polymerasekettenreaktion zur Amplifizierung von Genabschnitten

#### 3.2.3.1 Auswahl der Primer

Die Primer zur Untersuchung der Kandidatengene wurden anhand bekannter Regeln (Mülhardt 2006) aus den in der Genbank veröffentlichten Sequenzen oder den eigenen Sequenzierergebnissen abgeleitet. Dies wurde mithilfe des Programmes Primer3 durchgeführt (Rozen und Skaletsky 2000).

Zur Darstellung der Mikrosatelliten wurde auf bekannte Primersequenzen (http://www.marc. usda.gov/genome/cattle/cattle.html) zurückgegriffen. Die Rückwärtsprimer zur Analyse am ALF*express* wurden "Cy5-markiert", d.h. am 5'-Ende mit dem Fluoreszenzfarbstoff Indodicarbocyanin markiert. Für die Darstellung der Mikrosatelliten am ABI PRISM® 377 DNA Sequencer wurden die Farbstoffe 6-FAM (6-Carboxylfluorescein) und NED verwendet. Stellten sich die Mikrosatelliten mit vielen Vorpeaks (Stotterbanden) dar, wurde der Vorwärtsprimer am 5'-Ende mit einer PIGtail-Markierung (5'- gtt tct t -3') versehen (Brownstein *et al.* 1996).

# 3.2.3.2 Etablierung der PCR mit Taq-Polymerase

Zur Etablierung einer PCR (Mullis *et al.* 1992) mit *Taq*-Polymerase diente zunächst das folgende Testprotokoll:

In 15 µl Gesamtvolumen wurden zu 1-2 µl DNA

0,6 µM je Primer

0,2 mM je Base Didesoxynucleotidtriphosphate

und 0,5 U *Taq*-Polymerase mit 1x konzentriertem Buffer advanced (entspricht 2 mM Mg<sup>2+</sup>) eingesetzt.

Während der Etablierungsphase der PCR wurde ein Temperaturgradient der Annealingtemperatur angelegt, da die Affinitäten der Primer zur Hybridisierung mit der DNA stark temperaturabhängig sind und bei höherer Annealingtemperatur ein spezifischeres Hybridisieren stattfindet (Mülhardt 2006). Parallel dazu wurden Konzentrationsgradienten mit Magnesium, DMSO und/oder Formamid angewendet, um ein optimales PCR-Produkt zu erhalten.

Folgendes Cyclerprogramm wurde standardmäßig getestet und entsprechend modifiziert:

Denaturierung

• 94°C, 90 s

• 94°C, 30 s

• 72°C für eine von der Größe des PCR-Produktes abhängige Zeitdauer (~ 60 s je 1000bp)

• 72°C, 300 s

# 3.2.3.3 Etablierung der Mulitplex-PCR zur Amplifizierung von Mikrosatelliten

Für die Multiplex-PCR (Ziegle *et al.* 1992) zur Amplifizierung von Mikrosatelliten wurde in einem Gesamtvolumen von 12 μl 0,06 μM je Primer und 1x konzentrierter ABsolute<sup>TM</sup> QPCR Mix eingesetzt. Zunächst erfolgte im Cycler eine Enzymaktivierung bei 95°C für 15 min, anschließend 30 Zyklen zu je 30 s mit 95°C, Gradient von 50°C-65°C und 72°C mit abschließender Elongation bei 72°C für 20 min. Der Gradient der Annealingtemperatur wurde anhand der Ergebnisse entsprechend eingeengt und nach Kontrolle der Fragmente am ALF*express* bzw. ABI PRISM<sup>®</sup> 377 DNA Sequencer die Temperatur, bei der sich die Allele aller im Ansatz befindlicher Mikrosatelliten am Besten darstellten, ausgewählt.

# 3.2.4 Amplifikation bestimmter Abschnitte der Kandidatengene

Die zur PCR-Amplifizierung der Kandidatengenabschnitte eingesetzten Primer sind in Tabelle 7 mit Sequenzen, Produktgrößen, Größe und Position des amplifiziertem Genbereiches und Einsatzzweck aufgeführt. In Tabelle 8 sind die PCR-Bedingungen für die Amplifikation der Kandidatengenabschnitte mit *Taq*-Polymerase aufgelistet.

### 3.2.4.1 CCKBR

Die transmembranären Domänen III bis V sowie ein Teil des dritten intrazellulären Loop des Cholecystokininrezeptors B werden durch die Exone III und IV des *CCKBR*-Gens codiert (Noble und Roques 1999). Zur Identifizierung von Polymorphismen wurde zunächst ein Fragment von Exon III bis Exon IV reichend mit den Primern CCKBR\_BT\_Ex3\_F und CCKBR\_BT\_Ex4\_R amplifiziert. Diese Primer fanden auch in der Kolonie-PCR Verwendung.

Für die Typisierung des im Rahmen dieser Arbeit identifizierten Nukleotidaustausches an Position 131 in Intron 3 wurde ein kleineres Fragment mit 198bp gewählt. Zur Amplifizierung dessen wurde das Primerpaar CCKBR\_BT\_In3\_F und CCKBR\_BT\_In3\_R eingesetzt (siehe Tabelle 7).

Ein Teil der 3'UTR des *CCKBR* (Yamada *et al.* 2001) mit 840bp wurde mit den Primern BT CCKBR Ex5f und BT CCKBR Ex5r analysiert.

### 3.2.4.2 DRD4

Im humanen *DRD4* sind verschiedene Polymorphismen mit unterschiedlicher Bedeutung beschrieben, die über das gesamte Gen verteilt vorkommen (Jönsson *et al.* 2003).

Zunächst wurde eine PCR für die Primer rDRD4\_f1 und rDRD4\_r1 etabliert (E.-M. Prinzenberg, persönliche Mitteilung). Durch Sequenzierung dieses PCR-Produktes wurde ein Nukleotidaustausch in Intron 1, 32 Basenpaare vor Exon II, identifiziert, der mit dem Primerpaar DRD4\_bovin\_f3 und DRD4\_bovin\_r2 näher eingegrenzt wurde. In einem Gesamtvolumen von 25 μl wurden je Primer 0,4 pmol mit 1fach konzentriertem ABsolute<sup>TM</sup> QPCR Mix und 2 μl DNA eingesetzt. Zur Aktivierung der DNA-Polymerase wurde zunächst 15 min bei 95°C denaturiert, dann folgten 35 Zyklen mit je 30 s Denaturierung bei 95°C, Annealing bei 56°C und Elongation bei 72°C und eine abschließende Elongation bei ebenfalls 72°C für 5 min.

#### 3.2.4.3 *MAOA*

Zur Identifizierung von Polymorphismen wurde ein PCR-Produkt von 563bp mit den Primern BT\_MAOA\_Ex14(f) und BT\_MAOA\_Ex15(r) amplifiziert und sequenziert (G. Lühken, persönliche Mitteilung). Darauf erfolgte die Etablierung einer PCR eines kleineren Fragmentes mit 429 Basenpaaren aus Intron 14 und Exon XV des bovinen MAOA-Gens, welches einen Nukleotidaustausch in Exon XV an Position 26 beinhaltete, mit dem

Vorwärtsprimer BT\_MAOA\_In14\_f und dem Rückwärtsprimer BT\_MAOA\_Ex15\_r2 unter den in Tabelle 8 genannten Bedingungen.

### 3.2.4.4 *SERT*

Im SERT-Gen ist bei verschiedenen Spezies (Mensch, Orang-Utan, Gorilla, Schimpanse) ein VNTR im Promotorbereich identifiziert worden (Heils et al. 1995; Lesch et al. 1997). Durch Sequenzvergleiche konnten Übereinstimmungen zwischen der Basensequenz des humanen Promotor (Genbank-Nr. EF179203 und DQ885907) und des bovinen Intron 13 festgestellt werden und diese Sequenz wurde mit dem Primerpaar BT\_SERT\_F und BT\_SERT\_R näher analysiert. Der in diesem Fragment identifiziert SNP an Position 1113 in Intron 13 wurde mittels Tetra-Primer ARMS-PCR nachgewiesen.

Weiterhin wurde die bovine 5'UTR des *SERT* mit den Primern BT\_SERT\_UTR1 und BT\_SERT\_UTR2 untersucht.

Tabelle 7: Die zur Analyse der Kandidatengene verwendeten Primer mit Sequenzen, den Größen und Genbereichen der amplifizierten Produkte sowie der Einsatz der Primer.

**Tabelle 8:** PCR-Bedingungen mit *Taq*-Polymerase der Kandidatengene *CCKBR*, *DRD4*, *MAOA* und *SERT* mit je 0,2 mM je Base Didesoxynucleotidtriphosphaten und Angabe der vom Testprotokoll (siehe 3.2.3.2) abweichenden Zyklendauern, Annealingtemperatur und Elongationszeit.

	Weitere Modifikation				2,5 mM Mg <sup>2+</sup>			2,5 mM Mg <sup>2+</sup>	4%DMSO
_	DNA (μl)	3	2	3	3 2,	3	1	3 2,	3
_	Taq- Dolymerase (	1,5 U	10	1,5 U	1,5 U		1 U	1,5 U	1,5 U
_	Primer- konzentration	0,4 µM	Mμ 8,0	0,4 µM	0,4µМ	0,4 μΜ	Mμ 8,0	0,4 µM	0,4 µM
_	Elongations- zeit	s 09	30 s	50 s	30 s	45 s	30 s	s 09	20 s
	Annealing- temperatur	64°C	2∘09	64°C	55°C	28°C	28°C	64°C	29°C
	Dauer der Zyklenab- schnitte (s)	15 - 20 - 60	15 - 20 - 30	30 - 30 - 50	30 - 30 - 30	15 - 30 - 45	15 - 20 - 30	20 - 30 - 60	20 - 20 - 20
	Gesamt- volumen Ansatz	50 µl	25 µl	50 µl	50 µl	50 µl	25 µl	50 µl	50 µl
	Primerpaar	CCKBR_BT_Ex3_F CCKBR_BT_Ex4_R	CCKBR_BT_m3_F CCKBR_BT_m3_R	BT_CCKBR_Ex5f BT_CCKBR_Ex5r	rDRD4_f1 rDRD4_r1	BT_MAOA_Ex14(f) BT_MAOA_Ex15(r)	BT_MAOA_In14_f BT_MAOA_Ex15_r2	BT SERT_F BT SERT_R	BT_SERT_UTR1 BT_SERT_UTR2
,		A	CKBI	)	₽KD¢	VΟ	VW	RT	ES

## 3.2.5 Amplifikation der Mikrosatelliten auf BTA1 und BTA29

Für den Nachweis und die Feinkartierung eines QTL für Temperament (Schmutz *et al.* 2001) im eigenen Tiermaterial wurden je zwei Mikrosatelliten proximal und distal von *BMS574* auf BTA1 ausgewählt. Die genauen Lokalisationen der Mikrosatelliten mit den in dieser Arbeit verwendeten laufenden Nummern sind in Tabelle 9 dargestellt. Zur Darstellung aller fünf Mikrosatelliten wurden drei Einzel-PCR mit *Taq*-Polymerase (siehe Tabelle 10) sowie eine Duplex-PCR (siehe Tabelle 11) durchgeführt.

Für die Durchführung einer QTL-Studie auf BTA29 und die Kartierung des *DRD4*-Gens auf BTA29 wurden zunächst zehn (29-1 – 29-10) und zur anschließenden Feinkartierung des *DRD4*-Gens vier (29-11 – 29-14) zusätzliche Mikrosatelliten distal auf BTA29 ausgewählt. Die exakten Lokalisationsangaben dieser Mikrosatelliten mit Allelgrößen und Allelanzahlen laut Literatur (http://www.marc.usda.gov/genome/htmls) sind in Tabelle 9 wiedergegeben. Diese wurden mit einer Einzel-PCR und fünf Multiplex-PCR amplifiziert (siehe Tabelle 10 und Tabelle 11).

**Tabelle 9:** Alle analysierten Mikrosatelliten mit Angabe ihrer Lokalisation auf dem jeweiligen Chromosom sowie den Literaturangaben zu Allelgrößen und Anzahl der Allele nach MARC USDA (http://www.marc.usda.gov/genome/htmls).

Lfd. Nr.	Mikrosatellit	Chromosom	Lokalisation	Allelgrößen	Allelanzahl
1-1	BMS1928	BTA1	8,47 cM	138 – 178 bp	19
1-2	DIK634	BTA1	10,01 cM	224 - 236  bp	5
1-3	BMS574	BTA1	15,42 cM	129 – 151 bp	12
1-4	BMS4020	BTA1	18,37 cM	114 – 116 bp	2
1-5	DIK4957	BTA1	20,70 cM	180 - 190  bp	3
29-1	BMS1857	BTA29	1,81 cM	149 – 175 bp	15
29-2	BMS764	BTA29	11,29 cM	92 - 108  bp	8
29-3	BMS1787	BTA29	19,58 cM	140 - 172  bp	15
29-4	ILSTS089	BTA29	24,15 cM	127 – 151 bp	7
29-5	MNB-127	BTA29	32,84 cM	219 - 238  bp	9
29-6	MNB-145	BTA29	34,17 cM	164 – 178 bp	5
29-7	MNB-109	BTA29	37,15 cM	180 - 206  bp	9
29-8	OarHH22	BTA29	41,57 cM	103 - 126  bp	10
29-9	BMC1206	BTA29	62,53 cM	130 - 140  bp	5
29-10	ILSTS081	BTA29	69,00 cM	88 - 122  bp	15
29-11	BMS1948	BTA29	65,64 cM	97 – 125 bp	12
29-12	DIK4499	BTA29	67,54 cM	199 – 211 bp	6
29-13	DIK5057	BTA29	69,70 cM	220 - 230  bp	5
29-14	MNB-101	BTA29	69,70 cM	148 – 164 bp	7

**Tabelle 10:** Bedingungen für die PCR-Reaktionen mit *Taq*-Polymerase der Mikrosatelliten *BMS574*, *BMS1928*, *DIK634* und *BMS1787* nach dem angepassten Testprotokoll (siehe 3.2.3.2) mit 30 Zyklen zu je 30 Sekunden und den geänderten Bedingungen.

	BMS1928	DIK 634	BMS574	BMS1787
Chromosom	BTA1	BTA1	BTA1	BTA29
Gesamtvolumen	15	15	12	15
Primerkonz. (µM)	0,04 je Primer	0,04 je Primer	0,06 for., 0,03 rev.	0,04 je Primer
dNTP (mM je Base)	0,2 mM	0,2 mM	0,25 mM	0,2 mM
$Mg^{2+}$	2 mM	2 mM	2 mM	3 mM
Taq-Polymerase	0,5 U	0,5 U	0,5 U	0,3 U
Erste Denaturierung	3 min	1,5 min	1,5 min	2 min
Annealingtemperatur	51°C	58°C	61,5°C	58°C
Elongation	5 min	5 min	3 min	5 min

**Tabelle 11:** Zusammenstellung der Mikrosatelliten der Multiplex (MP) PCR-Reaktionen für BTA1 und BTA29 mit Angabe der Abweichungen des Standardprotokolls (siehe 3.2.3.3) bei Primerkonzentrationen, Annealingtemperaturen und Dauer der einzelnen Abschnitte der Zyklen sowie der abschließenden Elongation.

	Mikro- satelliten	Chromosom	Primer- konzentration (µM)	Annealing temperatur	Dauer der Zyklenab- schnitte (s)	Elongation
BTA1 Duplex	BMS4020 DIK4957	BTA1	BMS4020: 0,04 je Primer DIK4957: 0,05 je Primer	64°C	30-30-30	20 min 72°C
BTA29 MP1	ILSTS089 MNB-109	BTA29	0,06 je Primer	62°C	30-30-30	20 min 72°C
BTA29 MP2	MNB-145 MNB-127	BTA29	0,06 je Primer	53°C	30-30-30	20 min 72°C
BTA29 Duplex	OarHH22 BMS1857	BTA29	0,1 je Primer	56°C	30-90-60	60 min 60°C
Triplex- PCR	ILSTS081 BMC1206 BMS764	BTA29	ILSTS081: 0,1 je Primer BMC1206: 0,1 je Primer BMS764: 0,05 for. 0,025 rev.	61°C	30-90-60	30 min 60°C
BTA29 4-Plex	BMS1948 DIK4499 MNB101 DIK5057	BTA29	0,025 je Primer	62°C	30-30-30	20 min 72°C

Die Primer, die zur Analyse dieser Mikrosatelliten auf BTA1 und BTA29 Verwendung gefunden haben, sind in Tabelle 12 mit den jeweiligen Sequenzen und Bezeichnung des Farbstofflabels angegeben.

**Tabelle 12:** Primer mit Sequenzen und Farbstoff zur Analyse der Mikrosatelliten auf BTA1 und BTA29.

Lfd. Nr.	Primername	Primersequenz (5' $\rightarrow$ 3')	Farb- stoff	Literatur
1-1	BTA1_BMS1928_PIGtail_F	gtt tet t ttt gee aat ete eaa aat tae g		
	BTA1_BMS1928_Cy5_R	cag aca tga ctt ggc acc tg	Cy5	
1-2	BTA1_DIK634_F	agg gta cat tcc aag gca ca		
	BTA1_DIK634_Cy5_R	ttt gga aag gga gag cat tg	Cy5	
1-3	BTA1_BMS574#1	atg ttc ttt gac cac atg gat t		
1-3	BTA1_BMS574#2	gaa caa gca ttc tga cca tag c	Cy5	
1-4	BTA1_BMS4020_F	gag cag tct gat ggg cta ca		
	BTA1_BMS4020_Cy5_R	tgc ctt ctt ttc tgt ctg ca	Cy5	
1-5	BTA1_DIK4957_F	aat tgc caa ggt gtg aaa gc		
1-3	BTA1_DIK4957_Cy5_R	gga tac gac tga gcg aat ga	Cy5	
29-1	BTA29_BMS1857#1	taa ttg atc aca aag agg agc c		
29-1	BTA29_BMS1857#2	gat ecc aga gaa tea etc acc	6-FAM	
29-2	BTA29_BMS764#1	ttt tcc cag att ggc ttg tc		
29-2	BTA29_BMS764#2	agc cgg aca caa ctg agt g	6-FAM	
29-3	BTA29_BMS1787#1	ace aca ggg gtc tct ttg c		
29-3	BTA29_BMS1787#2	aag gag agc agg tac aga ggc	Cy5	1. ttm. //www.
29-4	BTA29_ILSTS089#1	aat tee gtg gae tga gga ge		http://www .marc.usda.
29-4	BTA29_ILSTS089#2	aag gaa ett tea ace tga gg	Cy5	.marc.usua. gov/genom
20.5	BTA29_MNB127_F	gag aat gtg gct gga ggt tta c		e/htmls/Ma
29-5	BTA29_MNB127_R	ggg gat gta aat gga ctg g	Cy5	rkerSearch.
29-6	BTA29_MNB145#1	cta gct gac gtg cag aat cac		jsp?Species
29-0	BTA29_MNB145#2	gaa gtc ctc ctc aga gtc cag	Cy5	=bos
29-7	BTA29_MNB109_F	gta acg tga ttt agg gaa ctg g		005
29-1	BTA29_MNB109_R	tgg aat tta age tet gae agt tg	Cy5	
29-8	BTA29_OarHH22#1	caa cag gac ctt gaa aac cac acc		
29-8	BTA29_OarHH22#2	ctc agt tta att cca tag acc aac agg	6-FAM	
29-9	BTA29_BMC1206#1	ggg tgg cta tga ctc cag tg		
	BTA29_BMC1206#2	ggt cca gcc ttc cac cac	6-FAM	
29-10	BTA29_ILSTS081#1	agt cag aca acg act gtg cg		
29-10	BTA29_ILSTS081#2	ttt cga aca ggc ttt tgg gg	NED	
29-11	BTA29_BMS1948_F	aac aca ggg aag tgt gtt ttt aa		
	BTA29_BMS1948_VIC_R	gac agt ttg tgg tgt gga gac	VIC	
29-12	BTA29_DIK4499_F	agg acc agc cgg gtt agt at		
	BTA29_DIK4499_VIC_R	ctg aag aac ccc atg gac a	VIC	
29-13	BTA29_DIK5057_F	agg tcc aca cag gac tct gc		
	BTA29_DIK5057_6FAM_R	cat ggg gtc aca aga aca ga	6-FAM	
29-14	BTA29_MNB101_F	ttt aag aag tat cct gcg ttt gg		
	BTA29_MNB101_NED_R	aag aat gaa tgg tgc cag aaa g	NED	

# 3.2.6 Aufreinigung der PCR-Produkte

Die zur Sequenzierung und zum Klonieren verwendeten PCR-Produkte wurden mit dem Promega Wizard<sup>®</sup> SV Gel and PCR Clean-Up System nach modifizierten Herstellerangaben aufgereinigt.

Die Modifikationen betrafen die Zentrifugationszeiten, die statt 1 Minute 2 Minuten bei der ersten und letzten Zentrifugation sowei beim Entfernen der Ethanolrückstände betrug und je 5 Minuten bei beiden Waschschritten.

## 3.2.7 Agarosegelelektrophorese

Die Auftrennung von DNA-Fragmenten zur quantitativen und qualitativen Analyse erfolgte mittels Agarosegelelektrophorese (Sambrook *et al.* 1989).

Die Gele hatten je nach Größe der zu trennenden Fragmente unterschiedliche Agarosekonzentrationen, die zwischen 1% und 3,5% Agarose variierten. Zur eigentlichen Auftrennung standen verschiedene Horizontalelektrophoresekammern zur Verfügung, in denen sich 1xTBE als Laufpuffer befand. Als Längenstandards wurden die kommerziell erhältlichen Größenmarker GeneRuler<sup>TM</sup> 100bp DNA Ladder Plus und pUC19 DNA/*MspI* (*HpaII*) Marker, 23 eingesetzt. Je 5 μl der Probe wurden mit 2 μl Ladepuffer (0,25% Bromphenolblau, 0,25% Xylencyanol FF, 30% Glycerol, 69,5% Wasser) versetzt zur optischen Kontrolle des Fortschreitens der Elektrophorese. Zur Visualisierung der aufgetrennten DNA-Fragmente wurden diese in Ethidiumbromid gefärbt (Kemp *et al.* 1989; Nicholl 1995). Die Dokumentation wurde mithilfe des Transilluminators und Repro Sets durch Fotografieren unter UV-Belichtung durchgeführt.

# 3.2.8 Klonierung

Die Klonierung wurde mithilfe des pGEM®-T Easy Vector Systems (Promega, Mannheim) durchgeführt.

# **3.2.8.1** Ligation

Zunächst wurde das aufgreinigte PCR-Produkt (siehe 3.2.6) mit dem pGEM®-T Easy Vector ligiert, um ein rekombinantes Plasmid zu erhalten. Der Vector besitzt polyT-Überhänge. Diese dienen zur Verbindung des Vectors mit den bei Verwendung der *Taq*-Polymerase an den PCR-Produkten entstehenden polyA-Überhänge.

Die Menge des einzusetzenden PCR-Produktes wird nach Herstellerangaben mit folgender Formel bestimmt:

Das PCR-Produkt wird mit 1 µl der vom Hersteller mitgelieferten T4-Ligase und 1 µl des pGEM®-T Easy Vector sowie 5 µl 2xRapid Ligation Buffer versetzt und ad 10 µl mit Wasser für die Molekularbiologie aufgefüllt. Dieser Ansatz wird nach Durchmischen für eine Stunde bei Raumtemperatur inkubiert.

#### 3.2.8.2 Transformation

Anschließend erfolgte die Transformation des rekombinanten Plasmids in chemokompetente JM 109 Zellen, wobei 2 μl Ligationsansatz mit 50 μl JM 109 Zellen vorsichtig gemischt wurden. Die thermochemische Aktivierung der Zellen erfolgte durch 20minütiges Temperieren auf Eis, dann für 45-50 Sekunden in ein 42°C-Waserbad und abschließend wieder 2 Minuten auf Eis. Dann wurden 950 μl SOC-Medium (2% (w/v) Trypton, 0,5% (w/v) Hefeextrakt, 10 mM NaCl, 10 mM KCl, 20 mM Magnesium (MgCl<sub>2</sub>•6H<sub>2</sub>O und MgSO<sub>4</sub>•7H<sub>2</sub>O), 20 mM alpha-D-Glucose) zugegeben und der Ansatz bei 37°C und 150 rpm auf der Schüttelplatte für 1,5 Stunden inkubiert.

#### 3.2.8.3 Anzüchtung von Einzelkolonien

Zur Herstellung der Agarplatten wurde Luria-Bertani-Medium (LB-Medium, low salt, pH = 7) mit 11 g/l Agar-Agar versetzt und autoklaviert (124°C, 1,2 bar für 30 min). Nach Abkühlen auf 50°C wurden Ampicillin (0,1%; 100 mg Ampicillin-Natriumsalz in 1 ml autoklaviertem Wasser für die Molekularbiologie gelöst), Isopropyl-Thio- $\beta$ -D-Galactopyranosid (IPTG; 0,5%; 23,8 mg IPTG in 1 ml autoklaviertem Wasser für die Molekularbiologie gelöst) und 5-bromo-4-chloro-3-indolyl- $\beta$ -D-Galactopyranosid (X-Gal, Substrat für  $\beta$ -Galactosidase; 0,2%; 40 mg in 1 ml Dimethylformamid gelöst) zugegeben und das Selektionsmedium unter sterilen Arbeitsbedingungen in Petrischalen gegossen. Sobald der Agar verfestigt war, wurden je Probe drei Platten mit dem inkubierten Transfomationsansatz ausgestrichen. Nach Oberflächentrocknung erfolgte die Inkubation der Platten bei 37°C im Brutschrank über Nacht.

## 3.2.8.4 Auswahl geeigneter Kolonien

Die Auswahl geeigneter Kolonien erfolgte unter zu Hilfenahme der Blau-Weiß-Selektion an der Sterilwerkbank.

Die ausgewählten weißen Kolonien wurden mit einer Pipettenspitze berührt, diese in ein 1,5 ml Reagiergefäß mit 50 μl Wasser für die Molekularbiologie getaucht und anschließend in ein 13 ml Röhrchen mit 3 ml LB-Medium (mit 0,1% Ampicillin; 100 mg Ampicillin-Natriumsalz

in 1 ml autoklaviertem Wasser für die Molekularbiologie gelöst) überführt. Die so hergestellten Flüssigkulturen wurden bei 37°C für eine Stunde auf der Schüttelplatte inkubiert und bis zur weiteren Verwendung bei 4°C gelagert.

Die Cups mit Wasser und der Kolonie wurden für 5-10 Minuten auf  $95^{\circ}$ C zur Abtötung der Bakterien erhitzt und dann  $20~\mu$ l als Template für die Kolonie-PCR eingesetzt.

#### 3.2.8.5 Kolonie-PCR

Das Vorliegen des Inserts wurde mittels Kolonie-PCR überprüft (Ohno et al. 1991).

Diese PCR wurde mit denselben Primern, mit denen das Insert amplifiziert wurde, durchgeführt. In einem Gesamtvolumen von 50 μl befanden sich 20 μl Template (siehe 3.2.8.4), 0,4 μM je Primer (CCKBR\_BT\_Ex3\_F und CCKBR\_BT\_Ex4\_R), 0,2 mM je Base Didesoxynucleotidtriphosphate sowie 1,5 U *Taq*-Polymerase mit 1x konzentriertem Buffer advanced und ad 50 μl Wasser für die Molekularbiologie. Die PCR wurde mit dem Standardcyclerprogramm (siehe 3.2.3.2) durchgeführt, wobei eine Annealingtemperatur von 64°C über 20 Sekunden eingehalten wurde und die Elongationszeit betrug 60 Sekunden.

#### 3.2.8.6 Isolation von Plasmid-DNA

Bei erfolgreicher Kolonie-PCR mit Nachweis des Inserts wurde aus den entsprechenden Flüssigkulturen nach Inkubation bei 37°C über Nacht eine Säulenpräparation zur Gewinnung und Aufreinigung rekombinanter Plasmid-DNA durchgeführt. Hierzu wurde das GFX Micro Plasmid Prep Kit verwendet und nach Herstellerangaben verfahren.

Die hierdurch gewonnen Plasmide wurden mit den Vektorprimern "M13f" und "M13r" sequenziert, um die Sequenz der Klone überprüfen zu können.

## 3.2.8.7 Glycerolstocks zur Aufbewahrung

Die zur Lagerung vorgesehenen rekombinanten Bakterienklone (siehe 3.2.8.5) wurden über Nacht auf der Schüttelplatte bei 250 rpm und 37°C als Flüssigkultur inkubiert. Zur Herstellung von 1,5 ml Glycerolstocks wurden Flüssigkultur und Glycerol im Verhältnis 3:1 auf Eiswasser gut durchmischt und dann bei -70°C gelagert.

## 3.2.9 Sequenzierung mit dem halbautomatischen Sequenziersystem ABI PRISM® 377 DNA Sequencer

### 3.2.9.1 Durchführung der Sequenzierreaktion

Um die Sequenzen der PCR-Produkte zu ermitteln und nach Polymorphismen zu screenen sowie die Sequenzen der klonierten PCR-Produkte zu ermitteln, wurden Sequenzierreaktionen mit dem ABI PRISM<sup>®</sup> BigDye<sup>®</sup> Terminator v1.1 Cycle Sequencing Kit durchgeführt.

Die Primer für die Reaktionen waren bei allen in dieser Arbeit durchgeführten Reaktionen die ursprünglichen Amplifikationsprimer. Zur Sequenzierung von Plasmid-DNA wurde der Vektorprimer M13 verwendet.

Die einzusetzende Menge des aufgereinigten PCR-Produktes wurde mittels eines Mengenschätzgels (1%iges Agarosegel) mit Hilfe des Größenstandards GeneRuler<sup>TM</sup> 100bp DNA Ladder Plus Markers durch visuellen Vergleich mit dessen 500bp-Bande bekannter Konzentration ermittelt.

Der Reaktionsansatz betrug 20 µl und setzte sich folgendermaßen zusammen:

4  $\mu$ l Premix Sequencing RR-100 2  $\mu$ l 5xSequencing Buffer 0,5  $\mu$ l Primer 10 pmol/ $\mu$ l X  $\mu$ l Aufgereinigtes PCR-Produkt 13.5  $\mu$ l – X  $\mu$ l HPLC-Wasser

Das PCR-Programm beinhaltete eine einminütige Denaturierung bei 96°C, dann 25 Zyklen mit 10 Sekunden 96°C, eine von der Primerlänge abhängige Annealingtemperatur für fünf Sekunden und vier Minuten bei 60°C. Die Annealingtemperatur beträgt für Primer mit weniger als 20 Basenpaaren 50°C, mit mehr als 23 Basenpaaren 60°C und bei 20-23 Basenpaaren 55°C.

Nach Durchführung der Reaktion erfolgte eine Fällung mit 2  $\mu$ l 3M Natriumacetat und 50  $\mu$ l absolutem unvergälltem Ethanol. Die pelletierten DNA-Fragmente wurden zweimal in 70% Ethanol bei 11900 rpm für fünf Minuten zentrifugiert. Nach den Waschschritten erfolgte die Trocknung bei 50°C und die anschließende Lagerung bei -20°C.

### 3.2.9.2 Sequenzierreaktion der Plasmid-DNA

Für die Sequenzierreaktion der Plasmid-DNA (siehe 3.2.8.6) wurde je 5 µl der Plasmidpräparation mit 5 pM Primer, 8 µl Premix Sequencing RR-100 und 6 µl Bidest angesetzt. Das Cyclerprogramm und die anschließende Fällung sind wie oben (siehe 3.2.9.1)

beschrieben. Die eingesetzten Primer M13f und M13r binden innerhalb der Vektorsequenz

und haben folgende Sequenzen: M13f: 5'- gta aaa cga cgg cca g -3'

M13r: 5'- cag gaa aca gct atg ac -3'

## 3.2.9.3 Sequenzanalyse mit dem ABI PRISM® 377 DNA Sequencer

Die Sequenzanalyse wurde mit einem 5%-Polyacrylamidgel mit 7 M Urea wie bei Lühken (2007) beschrieben durchgeführt.

Die Auswertung der Sequenzen erfolgte mithilfe des Programmes ChromasPro Version 1.32.

### 3.2.10 Nachweismethoden der Polymorphismen

Die durch Sequenzierung von fünf Müttern je Rasse als Test-DNAs identifizierten Polymorphismen wurden zunächst bei den 14 Vätern der Kälber auf ihr Vorkommen und die Häufigkeit überprüft. Bei erfolgreicher Kontrolle der Segregation des Polymorphismus in Familienmaterial wurden die Kälber mit PCR-RFLP oder Tetra-Primer ARMS-PCR typisiert.

### 3.2.10.1 PCR-RFLP

Zum Nachweis von Nukleotidaustauschen im Tiermaterial wurden PCR-Restriktions-Fragment-Längen-Polymorphismus (PCR-RFLP)-Analysen entwickelt (Saiki *et al.* 1985).

Der amplifizierte und sequenzierte Genabschnitt, der den Austausch beinhaltete, wurde mithilfe des Computerprogrammes NEBCutter auf das Vorhandensein von Erkennungssequenzen für Restriktionsenzyme, die durch diesen verändert werden, analysiert (Vincze et al. 2003). Nach Möglichkeit wurde das für die PCR-RFLP-Analyse auszuwählende Fragment so festgelegt, dass neben der Schnittstelle des SNP auch noch eine weitere bei allen Varianten vorkommende unvariable Schnittstelle für das Enzym, die dann als Kontrollschnitt genutzt werden kann, vorkam (Newton und Graham 1994).

Für die Durchführung der PCR-RFLP-Analysen wurde jeweils ein Ansatz aus PCR-Produkt, Enzym und entsprechendem Puffer über Nacht bei der enzymspezifischen Temperatur im Wasserbad inkubiert. Die eingesetzten Primer zur Amplifizierung des PCR-Produktes sowie die verwendeten Ansätze zur restriktionsenzymatischen Spaltung sind in Tabelle 13 aufgeführt.

**Tabelle 13:** Ansätze zur restriktionsenzymatischen Spaltung der PCR-Produkte mit Nukleotidaustauschen der Kandidatengene *CCKBR*, *DRD4* und *MAOA* sowie die Inkubationstemperaturen.

Gen	Primer	Eingesetzte Menge PCR- Produkt	Menge des eingesetzten Enzyms (MBI Fermentas)	Menge des eingesetzten Puffer (MBI Fermentas)	Gesamt- volumen	Inkubations temperatur
CCKBR	CCKBR_BT_In3_F	6µl	5 U BseNI	1μl Puffer	10µl	65°C
	CCKBR_BT_In3_R			B+		
DRD4	DRD4_bovin_f3	10µl	5 U <i>Alw26</i> I	1,5µl Puffer	15µl	37°C
	DRD4_bovin_r2			Tango		
MAOA	BT_MAOA_In14_f	6µl	3 U MnlI	1µl Puffer	10µl	37°C
	BT_MAOA_Ex15_r2			G3		

Die elektrophoretische Auftrennung erfolgte mittels unterschiedlich konzentrierter Agarosegele bei spezifischen Laufbedingungen (siehe Tabelle 14).

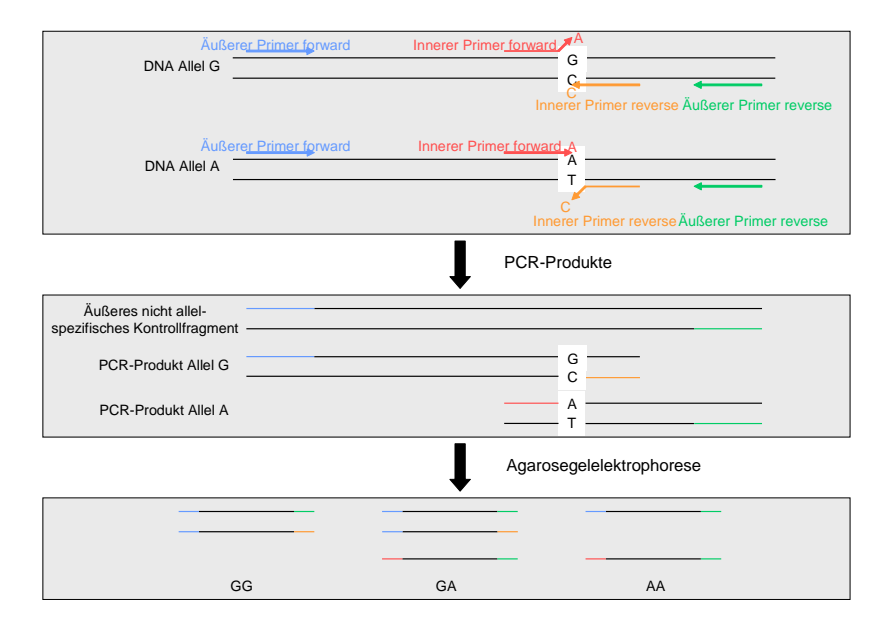
**Tabelle 14:** Zur elektrophoretischen Auftrennung der Fragmente der PCR-RFLP-Analysen verwendete Agarosegelkonzentrationen und Laufbedingungen.

Gen	Agarosegel-	Angelegte	Dauer der
	konzentration	Spannung	Elektrophorese
CCKBR	3,5% (Mix)	280 Volt	150 – 180 Minuten
DRD4	2,5% (Mix)	300 Volt	120 – 150 Minuten
MAOA	2% Standardagarose	350 Volt	90 – 120 Minuten

Mix: Standardagarose und NuSieveagarose im Verhältnis 5:1 gemischt

#### 3.2.10.2 Tetra-Primer ARMS-PCR

Zur Typisierung des SNP im *SERT*-Gen (Position 1113 in Intron 13) und eines SNP im *CCKBR*-Gen (Position 457 der 3'UTR) wurde je eine "Tetra-Primer Amplification Refractory Mutation System-PCR" (Tetra-Primer ARMS-PCR) nach den Vorgaben von Sharma *et al.* (2006) und Ye *et al.* (2001) entwickelt. Hierbei erfolgte eine PCR mit je zwei inneren und äußeren Primern (siehe Tabelle 7). Die beiden äußeren Primer amplifizieren ein unabhängig vom vorliegenden Allel immer vorhandenes Kontrollfragment. Je einer der äußeren amplifiziert mit einem der inneren Primer ein allelspezifisches Produkt, so dass bei einem heterozygoten Tier drei Produkte mit diesen vier Primern entstehen (siehe Abbildung 1).



**Abbildung 1:** Schematische Darstellung der Funktionsweise der Tetra-Primer ARMS-PCR modifiziert nach Ye *et al.* (2001) am Beispiel eines G/A-Nukleotidaustausches.

Die Amplifizierung der drei Fragmente aus Intron 13 des *SERT* erfolgte parallel in einem 15 μl Ansatz, der 1 μl DNA beinhaltete, mit je 0,16 μM der äußeren Primer (BT\_SERT\_OUT\_F und BT\_ SERT\_OUT\_R) und je 1 μM der inneren Primer (BT\_SERT\_IN\_F und BT\_SERT\_IN\_R) sowie 0,5 U *Taq*-Polymerase mit 1fach konzentriertem Taq Buffer advanced und 0,2 mM je Base Didesoxynucleotidtriphosphate. Der Ansatz wurde zunächst für 1,5 min bei 94°C denaturiert, dann folgten 35 Zyklen mit 20 s 94°C, 30 s 53°C und 1 min 72°C und eine abschließende Elongation bei 72°C für 5 min.

Der Nachweis des SNP an Position 457 der 3'UTR im CCKBR wurde in einem 15  $\mu$ l Ansatz mit 1  $\mu$ l DNA mit 0,5  $\mu$ M des äußeren forward-Primers (CCKBR\_3'UTR\_Out\_F), je 0,8  $\mu$ M des äußeren (CCKBR\_3'UTR\_Out\_R) und inneren reverse-Primers (CCKBR\_3'UTR\_In\_R) sowie 1,6  $\mu$ M des inneren forward-Primers (CCKBR\_3'UTR\_In\_F) unter Verwendung einfach konzentrierten ABsolute<sup>TM</sup> QPCR Mixes durchgeführt. Die Enzymaktivierung und Denaturierung erfolgte für 15 min bei 95°C, dann folgten 40 Zyklen mit 20 s 95°C, 30 s 67,5°C und 45 s 72°C sowie eine abschließende Elongation bei 72°C für fünf Minuten.

Die Reaktionsansätze wurden nach Durchlaufen des Cyclerprogrammes mit 3 μl Loading Dye versetzt und die Hälfte dieses Gesamtansatzes in die Taschen eines 2%igen (*SERT*) bzw.

2,5%igen (*CCKBR*) Agarosegels pipettiert. Die Auftrennung der Fragmente erfolgte bei 250-300 Volt in 120-150 Minuten in Abhängigkeit der optisch erkennbaren Verlaufsfront des Ladepuffers.

### 3.2.11 Denaturierende Polyacrylamidgelelektrophorese

Die Ermittlung der Fragmentlängen der Mikrosatelliten erfolgte lasergestützt im denaturierenden Polyacrylamidgel mittels vertikaler Gelelektrophorese am halbautomatischen Sequenziersystem ALF*express* und am ABI PRISM<sup>®</sup> 377 DNA Sequencer.

## 3.2.11.1 Denaturierende Polyacrylamidgelelektrophorese mit dem halbautomatischen Sequenziersystem ALFexpress

Die Vorgehensweise zur Herstellung eines denaturierenden Polyacrylamidgeles erfolgte in Anlehnung an die Beschreibung von Weimann (2000). Die Gelkonzentration betrug statt der dort beschriebenen 6 % nur 5,5 % und Urea ist 6 M statt 7 M konzentriert. Entsprechend wurden abweichend von der dortigen Beschreibung 21,7 g Urea, 6,6 ml Acrylamid (50 % Long Ranger Stocklösung) und 9 ml 10xTBE gelöst und mit bidestilliertem Wasser auf 60 ml aufgefüllt. Alle anderen Arbeitsschritte sind identisch ausgeführt worden.

Je 1  $\mu$ l der PCR-Reaktion wurde mit 5  $\mu$ l des internen Größenmarkers, der auf die erwarteten Fragmentlängen der Mikrosatelliten abgestimmt wurde, angesetzt. Von den externen Größenmarkern wurden je 6  $\mu$ l eingesetzt. Die angesetzten Proben und Größenmarker wurden für 2,5 min bei 90°C denaturiert und dann in die Geltaschen pipettiert. Als Laufpuffer diente 0,5xTBE. Die Auftrennung der Fragmente erfolgte bei 49°C, einer Spannung von 800 V und einer Stromstärke von 60 mA. Die Laufzeiten richteten sich nach der Größe der Fragmente und variierten zwischen 170 und 390 Minuten.

## 3.2.11.2 Denaturierende Polyacrylamidgelelektrophorese mit dem ABI PRISM® 377 DNA Sequencer

Die Fragmentlängenanalyse am ABI PRISM® 377 DNA Sequencer erfolgte wie von Peter (2005) dargestellt, allerdings wurde die Gelkonzentration von dem dort beschriebenen 4,5 % auf ein 6,85 %-Polyacrylamidgel mit 8,5 M Urea erhöht.

Die Elektrophorese erfolgte bei 48°C, 60 mA und 650 V und dauerte 180 Minuten.

### 3.2.11.3 Fragmentanalyse

Die Auswertung der Gele nach der Elektrophorese erfolgte bei Verwendung des ABI PRISM<sup>®</sup> 377 DNA Sequencers mit dem Programm Genotyper V3.7 (Applied Biosystems, Darmstadt)

und bei Verwendung des ALFexpress mit dem Programm AlleleLocator Version 1.03 (Amersham Pharmacia Biotech, Freiburg). Bei diesen Computerprogrammen wird die Größe der Fragmente als Peaks sichtbar gemacht und eine Unterscheidung der Fragmentgrößen bis auf 1 bp genau ist möglich. Zur Standardisierung der Gele untereinander dienten die Größenmarker sowie die bei allen Elektrophoresen mitgeladene Standardprobe "DAgelb803". Für die europaweite Standardisierung zu anderen Projekten wurde die Probe "Giessen2000" aus dem EU-Projekt RESGEN CT98-118 als Standard analysiert.

#### 3.2.12 Genetisch-statistische Methoden

### 3.2.12.1 Hardy-Weinberg-Gleichgewicht

Abweichungen vom Hardy-Weinberg-Gleichgewicht für die Nukleotidaustausche der Kandidatengene wurden mit folgender Formel geschätzt:

$$\chi^2 = \sum \frac{-(beobachtete\ Frequenz - erwartete\ Frequenz)^2}{erwartete\ Frequenz}$$

Als Nullhypothese wurde angenommen, dass sich die Population im Hardy-Weinberg-Gleichgewicht befindet. Die Irrtumswahrscheinlichkeit von 5% war bei einem Freiheitsgrad (Genorte mit 2 Allelen) bei einem  $\chi^2$  - Wert von 3,84 gegeben. War der errechnete  $\chi^2$  - Wert kleiner als 3,84,wurde die Nullhypothese angenommen.

Für die Mikrosatelliten erfolgte die Berechnung mit dem Programm POPGENE V 1.32 (Yeh *et al.* 1997).

#### 3.2.12.2 Chi<sup>2</sup>-Test

Um Hinweise auf eine mögliche Assoziation zwischen den Genotyp- bzw. Allelfrequenzen der untersuchten Nukleotidaustausche und dem Temperament der Tiere feststellen zu können, wurden die Frequenzen innerhalb der Extremwerte (Darvasi und Soller 1994) der vergebenen Scores mittels Chi²-Test verglichen. Als Extremwerte dienten der Score 1 für die ruhigen Tiere und die zusammengefassten Scores 4 und 5 (bezeichnet als 5) für die nervösesten/aufgeregtesten Kälber. Diese Auswertung wurde innerhalb der Rassen durchgeführt.

Für das Kandidatengen *MAOA* erfolgte die Auswertung aufgrund der X-chromosomalen Lokalisation zudem auch innerhalb der Geschlechter.

### 3.2.12.3 Varianzanalyse

Zur Berechnung der Assoziation zwischen den Genotypen der einzelnen Kandidatengene und den Verhaltensscores "MIN2AT", "SCEINWT", "SCWGWT" und "SCAST" unter

Berücksichtigung aller beeinflussenden Effekte wurden Varianzanalysen mit einem gemischten linearen Modell durchgeführt.

#### 3.2.12.3.1 Varianzanalysen der Kandidatengene CCKBR, DRD4 und SERT

Für die Nukleotidaustausche der drei Kandidatengene *CCKBR*, *DRD4* und *SERT* wurden die Untersuchungen mit Varianzanalyse auf ihre Assoziation mit den erfassten Verhaltensdaten jeweils innerhalb der Rassen mit folgendem Modell durchgeführt:

 $Y_{ijklm} = \mu + Jahr_i + Geschlecht_j + Genotyp_k + Vater_l + Alter_{ijklm} + e_{ijklm}$ 

Y<sub>ijklm</sub> = Beobachtungswert des Einzeltieres

μ = Mittelwert im jeweiligen Merkmal

Mit den fixen Effekten:

 $Jahr_i \qquad mit \ i = 1\text{-}4 \ (1998, 1999, 2000, 2001)$ 

Geschlecht<sub>j</sub> mit j = 1-2 (männlich, weiblich)

Genotyp<sub>k</sub> CCKBR, Intron3:

mit k = 1-3 (CC, CT, TT) bei DA bzw. k = 1-2 (CC, CT) bei FV

CCKBR, 3'UTR:

mit k = 1-3 (CC, CT, TT)

DRD4:

mit k = 1-3 (GG, GT, TT)

SERT:

mit k = 1-3 (GG, GA, AA)

Mit den zufälligen Effekten:

Vater<sub>1</sub> mit l = 1-6 bei DA bzw. l = 1-8 bei FV

e<sub>iiklm</sub> = zufälliger Resteffekt

Mit der Kovariablen

Alter<sub>ijklm</sub> MIN2AT: Alter zum Zeitpunkt des Anbindetests: 8-56 Tage

SCEINWT + SCWGWT: Alter zum Zeitpunkt des Wiegetests: 53-277 Tage

SCAST: Alter zum Zeitpunkt des Separier- und Rückhaltetests: 145-283 Tage

### 3.2.12.3.2 Varianzanalyse des Kandidatengens MAOA

Die Analyse der Assoziation des Nukleotidaustausches im *MAOA* erfolgte innerhalb der Rassen und aufgrund der X-chromosomalen Lage nach Geschlechtern getrennt:

$$Y_{ijkl} = \mu + Jahr_i + Genotyp_j + Vater_k + Alter_{ijkl} + e_{ijkl}$$

Y<sub>ijkl</sub> = Beobachtungswert des Einzeltieres

μ = Mittelwert im jeweiligen Merkmal

Mit den fixen Effekten:

Jahr<sub>i</sub> mit i = 1-4 (1998, 1999, 2000, 2001)

Genotyp<sub>j</sub> mit j = 1-3 (CC, CT, TT) bei weiblichen Kälbern bzw. j = 1-2 (C,T) bei

männlichen Kälbern

Mit den zufälligen Effekten:

Vater<sub>k</sub> mit k = 1-6 bei DA bzw. k = 1-8 bei FV

e<sub>ijkl</sub> = zufälliger Resteffekt

Mit der Kovariablen

Alter<sub>iikl</sub> MIN2AT: Alter zum Zeitpunkt des Anbindetests: 8-56 Tage

SCEINWT + SCWGWT: Alter zum Zeitpunkt des Wiegetests: 53-277 Tage SCAST: Alter zum Zeitpunkt des Separier- und Rückhaltetests: 145-283 Tage

### 3.2.12.3.3 Varianzanalysen der Mikrosatelliten auf BTA1

Für die Assoziationsanalyse wurde von allen fünf Mikrosatelliten (*BMS1928*, *DIK634*, *BMS574*, *BMS4020*, *DIK4957*) das häufigste Allel jeder Rasse für diese als Populationsstandard postuliert. Alle anderen Allele mit >5 % prozentualer Häufigkeit wurden in der Varianzanalyse als Kovariable (Häufigkeit des jeweiligen Allels; 0,1,2) berücksichtigt um deren Einfluss zu berechnen (Hoh und Ott 2001).

Die nach Rassen getrennte Varianzanalyse wurde mittels eines linearen Modells mit den fixen Effekten Jahr und Geschlecht des Kalbes sowie dem Vater als zufälligen Effekt durchgeführt. Das Alter des Kalbes beim Test sowie die oben erwähnten Allele wurden als Kovariablen berücksichtigt.

Die Signifikanzgrenze von 5 % wurde mit der Bonferroni-Korrektur, entsprechend der Anzahl getesteter Allele je Mikrosatellit (n), auf 0,05/n korrigiert.

## 3.2.12.4 Kartierung des DRD4-Gens auf BTA29

Die Kartierung des Kandidatengens *DRD4* (siehe 2.4.2.2) mit den Mikrosatelliten auf BTA29 über Kopplungsanalyse im vollständigen Familienmaterial erfolgte mit dem Programm Cri-

Map Version 5 (Goldgar *et al.* 1989; Green 1992) und den Funktion *build* und im Rahmen der Feinkartierung im zweiten Arbeitsschritt zusätzlich mit der Funktion *all*.

Im Rahmen dieser Kartierung wurde der Polymorphic Information Content (PIC) der einzelnen Mikrosatelliten bestimmt und anhand dessen über eine weitere Verwendung in der Analyse entschieden. Dies erfolgte mit dem Programm CERVUS Version 3.0.3 (Kalinowski et al. 2007; Marshall et al. 1998) nach der bei Botstein et al. (1980) entwickelten Formel.

### 3.2.12.5 QTL-Analysen für Temperament auf BTA1 und BTA29

Zur Überprüfung des Vorhandenseins eines Quantitative Trait Locus (QTL) auf BTA1 bzw. BTA29 im Bereich der untersuchten Mikrosatelliten (1-1 – 1-5 und 29-1 – 29-10) wurde das Programm QTLexpress (http://qtl.cap.ed.ac.uk/) (Seaton *et al.* 2002) verwendet. Es wurden folgende Grundeinstellung in einem 1QTL-Modell angewandt: der QTL sollte mit 1 cM Steps und 1000 Iterationen im Permutate Chromosom-wide Modell berechnet werden. Das Jahr und das Geschlecht flossen als fixe Faktoren und das Alter des Tieres bei Testdurchführung als Kovariable ein. Das Konfidenzintervall (C195%) der QTL-Lokalisation wurde ebenfalls mit 1000 Iterationen und durch bootstrapping berechnet (Visscher *et al.* 1996). Die Analyse erfolgte für BTA1 mit der bekannten Reihenfolge und Abständen der Mikrosatelliten (http://www.marc.usda.gov/genome/cattle/cattle.html). Für BTA29 wurden die im Rahmen dieser Arbeit ermittelten rassespezifischen Karten mit den zehn Mikrosatelliten 29-1 bis 29-10 als Grundlage für die QTL-Studie genutzt. Zunächst erfolgte die QTL-Analyse jeweils innerhalb der Rassen Dt. Angus und Dt. Fleckvieh, anschließend innerhalb der einzelnen 14 Halbgeschwisterfamilien.

## 4 Ergebnisse

## 4.1 Molekulargenetische Ergebnisse

### 4.1.1 Sequenzen und DNA-Varianten der Kandidatengene

Eine Zusammenstellung der untersuchten Genbereiche und identifizierten DNA-Varianten der Kandidatengene ist in Tabelle 15 zu finden.

### 4.1.1.1 Cholecystokininrezeptor B - Gen

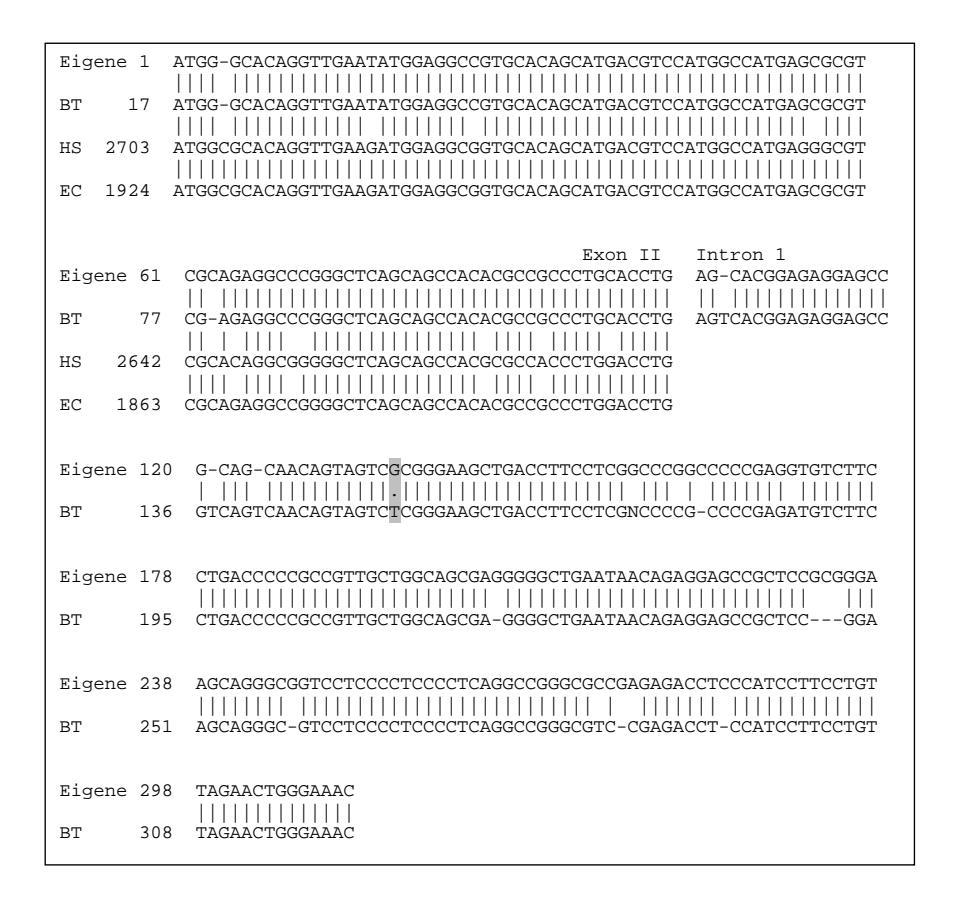
Durch Vergleich der Sequenz des 688bp-Fragmentes, welches mit dem Primerpaar CCKBR\_BT\_Ex3\_F und CCKBR\_BT\_Ex4\_R amplifiziert wurde, mit der *CCKBR*-mRNA-Sequenz des Rindes (Genbank-Nr. BC112800) konnte die Amplifizierung der korrekten Sequenz bestätigt werden. Das Fragment beinhaltete das gesamte Intron 3 (279 bp) und 252 bp des Exon III sowie 157 bp des Exon IV. Im Intron 3 (Position 131) konnte anhand der Sequenz zweier Tiere ein heterozygoter Nukleotidaustausch (Cytosin/Thymin) vermutet werden, der aufgrund der geringen Sequenzqualität durch Klonierung bestätigt werden musste und konnte. Dieser Austausch befindet sich anhand des Programmes TFSEARCH innerhalb einer potentiellen Bindestelle für den Transkriptionsfaktor MZF1 (Myeloid Zinc Finger 1). Der berechnete Wahrscheinlichkeitsscore für die Bindung ist für Allel *C* 92,2 und für Allel *A* nur 77.4.

Das Exon V des *CCKBR* umfasst 1426 Basenpaare, davon sind 538 bp codierend und 888 bp zur 3'UTR gehörend. Mit dem Primerpaar BT\_CCKBR\_Ex5f und BT\_CCKBR\_Ex5r wurde ein 840 bp-Fragment aus Exon V amplifiziert, welches 50 bp der codierenden Region und die ersten 790 bp der nicht codierenden Region beinhaltete. Durch Sequenzieren dieses Fragmentes konnte ein Cytosin-Thymin-Austausch an Position 457 der 3'UTR identifiziert werden.

## 4.1.1.2 Dopaminrezeptor D4 - Gen

Das mit dem Primerpaar rDRD4\_f1 und rDRD4\_r1 amplifizierte 311bp-PCR-Produkt konnte mit einer der beiden in der Genbank vorhanden *Bos taurus DRD4*-Sequenzen aligned werden (Genbank-Nr. AY263349). Eine DNA-Variation mit einem Guanin-Thymin-Austausch konnte im Intron 1, 32 Basenpaare vor Beginn des Exon II, identifiziert werden. Durch weitere Vergleiche mit der humanen Sequenz und der anderer Tierarten stellte sich heraus, dass die Sequenz AY263349 revers-komplementär zu allen anderen Sequenzen ist und dieses

im Sequenzvergleich durch ein entsprechendes Plus/Minus-Alignment und Lokalisationsbeschreibung berücksichtigt werden muss (siehe Abbildung 2).



**Abbildung 2:** Vergleich der eigenen Sequenz des amplifizierten *DRD4*-Fragmentes mit Sequenzen aus der Genbank für *Bos taurus* (BT, AY263349), *Homo sapiens* (HS, L12397) und *Equus caballus* (EC, EF561289) unter Angabe der Position der jeweiligen Gesamtsequenz und Hervorhebung des identifizierten SNP (G/T) durch graue Unterlegung. Identische Nukleotide zwischen den Sequenzen sind durch senkrechte Striche, Unterschiede durch Punkte und fehlende Nukleotide durch waagrechte Striche gekennzeichnet.

#### 4.1.1.3 Monoaminoxidase A - Gen

Aus dem MAOA-Gen wurde ein Fragment von Exon XIV bis Exon XV amplifiziert, welches durch Vergleich mit der mRNA-Sequenz von Bos taurus (Genbank-Nr. X15609) und der

Whole Genome Sequence des X-Chromosoms von *Bos taurus* (Genbank-Nr. NW\_001508811) bestätigt wurde. Ein nicht-synonymer Cytosin-Thymin-Austausch, der einen Aminosäureaustausch von Prolin zu Leucin induziert, konnte in Exon XV an Position 26 identifiziert werden. Die entsprechenden Nukleotid- und Aminosäuresequenzen sind in Abbildung 3 dargestellt.

**Abbildung 3:** Ausschnitt aus der hier amplifizierten Nukleotidsequenz von *MAOA*, Intron 14 und Exon XV mit entsprechender Aminosäuresequenz; der Nukleotidaustausch (C/T) an Position 26 des Exons XV und der daraus resultierende Aminosäureaustausch sind grau unterlegt.

## 4.1.1.4 Serotonintransporter - Gen

Die Genbanksequenzen des humanen *SERT*-Promotor (Genbank-Nr. EF179203 und DQ885907) wurden mit der bovinen Whole Genome Shotgun Sequence von BTA19 (Genbank-Nr. NW\_001493660) verglichen. Der Bereich mit der größten Übereinstimmung ist im Intron 13 der bovinen *SERT*-Sequenz lokalisiert. Abschnitte dieses Introns wurden mit dem Primerpaar BT\_SERT\_F und BT\_SERT\_R amplifiziert und durch Sequenzvergleiche ein Guanin-Adenin-Austausch an Position 1113 des Introns identifiziert.

Weiterhin wurde ein Abschnitt der bovinen 5'UTR mit den Primern BT\_SERT\_UTR1 und BT\_SERT\_UTR2 untersucht. Die Sequenzen der 5'UTR, die einen Ausschnitt von 250 Basenpaaren umfassten, waren bei allen Testtieren und den als Väter der Kälber eingesetzten Bullen monomorph und waren mit der Genbanksequenz (Genbank-Nr. NW\_001493660) identisch

٦.
E
Œ.
년
зę
ğ
Se
ĕ
b
Ξ
ä
enzen
en
Ę,
ĕ
¥
ar
e P
Ę
9
.≘
gen
ğ
Ξ
Ξ
<u>ट</u>
zei
ez
ıs
o
äť
12.
g
ō
Н.
je.
迃
Ξ
ste
ä
ğ
oti.
ē
품
ź
9
E
Z
ij
Ħ
g
7
ĭ
П
4.0
ìhe
siche
ereiche
bereiche
renbereiche
Genbereiche
15: Genbereiche
e 15: Genbereiche
elle 15: Genbereiche
belle 15: Genbereiche
Tabelle 15: Genbereiche

Labelle	15: Genbereich	e und identifizierte Nukl	eotidaustausc	che, Lokalisatio	nsbezeichnungen 11	n Genbankse	Tabelle 15: Genbereiche und identifizierte Nukleotidaustausche, Lokalisationsbezeichnungen in Genbanksequenzen und Besonderheiten.
Gen	Chromosom	Sequenzierte Abschnitte	Nukleotid- austausch	Nukleotid- Lokalisation austausch im Gen	Genbank-Nr. (basierend auf Btau_3.1)	Position in Genbank- sequenz	Besonderheiten
CCKBR	CCKBR BTA15	Ex III - Ex IV	C/T	Intron 3, Position 131	NW_001493314   311275	311275	CCKBR in gegensträngiger Richtung auf BTA15 Austausch an Bindungsstelle für MZF1
		Ex V, nicht codierend C/T	C/T	Position 457 in 3 'UTR	Position 457 NW_001493314 309831 in 3°UTR	309831	CCKBR in gegensträngiger Richtung auf BTA15
DRD4	BTA29	Intron 1 und Ex II	G/T	Intron 1, 32 bp vor Ex II			Keine Genbanksequenz dieses Abschnittes für <i>Bos taurus</i> existent
MAOA BTAX	BTAX	Ex XIV - Ex XV	C/T	Exon XV Position 26	NW_001508811   404393	404393	MAOA in gegensträngiger Richtung auf BTAX Aminosäureaustausch von Prolin zu Leucin
SERT	BTA19	Intron 13	G/A	Intron 13, Position 1113	NW_001493660   1417588	1417588	SERT in gegensträngiger Richtung auf BTA19
		5'UTR	_				

## 4.1.2 Darstellung von DNA-Varianten der Kandidatengene mittels der verschiedenen Nachweismethoden

#### 4.1.2.1 PCR-RFLP-Analysen

Mittels PCR-RFLP-Analysen wurden die Nukleotidaustausche im *CCKBR* (Intron 3), im *DRD4* (Intron 1) und im *MAOA* (Exon XV) typisiert.

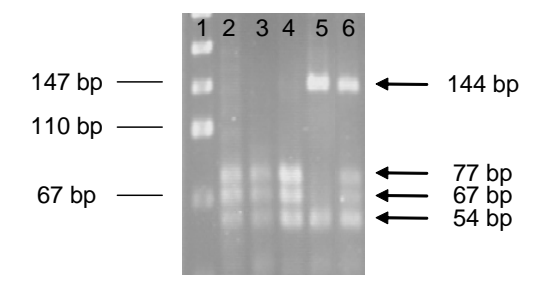
#### 4.1.2.1.1 CCKBR (Intron 3)

An Position 67 des PCR-Fragmentes der Primer CCKBR\_BT\_In3\_F und CCKBR\_BT\_In3\_R befindet sich ein C/T-Austausch, der die Erkennungssequenz des Enzyms *BseN*I (CCAGT) verändert. An Position 144 des Fragmentes befindet sich eine weitere Schnittstelle für *BseN*I, die als Kontrollschnitt zur Überprüfung der Enzymtätigkeit genutzt wurde. Die Sequenz ist in Abbildung 4 dargestellt.

1
acc cag aat ctt gct cca acA ATT ATC ACG ACC CAC CAC CCT GGG ATC CCC ATT
67
CGG GGC TCC TCC Y\_CA GT CTC TAG CCC TTA CCA GCT GTA CCC CGA
144
ATC CTA CCT CTA CCT CTA GGA CGT GGT CAC CAG CCC TAG ATA CAC JCAG
TTC AGT CTT CCT CCA TCA GTG ATT ATA GCT GGa cag gga tcc gca ctg
198
act

**Abbildung 4:** Sequenz des 198bp-Fragmentes aus *CCKBR* (Intron 3) mit Primersequenzen in Kleinbuchstaben, grau unterlegtem Nukleotidaustausch (Y=C/T) an Position 67, Markierung der Schnittstellen von *BseN*I an den Positionen 67 und 144 durch ↓ und der Erkennungssequenz durch Unterstrich sowie der Trankriptionsfaktorenbindestelle für MZF1 in kursiver Schrift.

Die Auftrennung der Fragmente nach Inkubation des PCR-Fragmentes mit *BseN*I erfolgte mittels Agarosegelelektrophorese und ist in Abbildung 5 exemplarisch aufgezeigt. Ein Kontrollfragment mit 54 bp wird immer amplifiziert. Bei Vorliegen von Allel *T* entsteht kein zweiter Schnitt und ein Fragment von 144 bp bleibt bestehen, wohingegen dieses Fragment bei Vorliegen von Allel *C* in 67 bp und 77 bp geschnitten wird.



**Abbildung 5:** Genotypisierung des C/T-Austausches im CCKBR (Intron 3) durch PCR-RFLP-Analyse nach Inkubation mit BseNI und Auftrennung im Agarosegel.

Geltasche 1: Größenmarker pUC19 DNA/MspI (HpaII) Marker 23

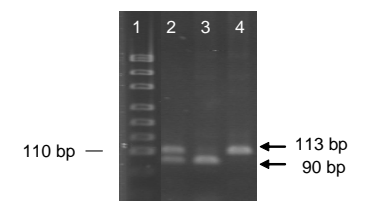
Geltasche 2-4: Genotyp *CC* Geltasche 5: Genotyp *TT* Geltasche 6: Genotyp *CT* 

#### 4.1.2.1.2 *DRD4* (Intron 1)

Eine PCR zur Amplifizierung eines 113bp-Fragmentes aus Intron 1 des *DRD4* wurde mit den Primern DRD4\_bovin\_f3 und DRD4\_bovin\_r2 etabliert. An Position 21 dieses Fragmentes befindet sich der G/T-Austausch (siehe Abbildung 6). Das Enzym *Alw*26I erkennt die Sequenz GTCTC und führt ein Basenpaar weiter eine restriktionsenzymatische Spaltung durch.

**Abbildung 6:** Sequenz des 113bp-Fragmentes aus *DRD4* (Intron 1) mit Primersequenzen in Kleinbuchstaben, grau unterlegtem Nukleotidaustausch (K=G/T) an Position 21 und Markierung der Schnittstelle von *Alw*26I durch ↓ sowie der Erkennungssequenz durch Unterstrich

Die Auftrennung der nach Inkubation mit *Alw26*I entstehenden Fragmente mit Agarosegelelektrophorese und daraus folgende Genotypisierung ist in Abbildung 7 dargestellt. Bei Allel *G* wird kein Schnitt durchgeführt und das Fragment von 113 bp bleibt erhalten. Der Schnitt bei Allel *T* resultiert in zwei Fragmenten mit 90 bp und 23 bp, wobei das kleinere Fragment bei der Agaraosegelelektrophorese nicht erkennbar ist.



**Abbildung 7:** Genotypisierung des G/T-Austausches im *DRD4* (Intron 1) durch PCR-RFLP-Analyse nach Inkubation mit *Alw26*I und Auftrennung im Agarosegel.

Geltasche 1: Größenmarker pUC19 DNA/MspI (HpaII) Marker 23

Geltasche 2: Genotyp *GT* Geltasche 3: Genotyp *TT* Geltasche 4: Genotyp *GG* 

#### 4.1.2.1.3 MAOA (Exon XV)

Die Genotypisierung des C/T-Austausches im Exon XV des MAOA erfolgte mithilfe eines 429bp-Fragmentes (siehe Abbildung 8), welches durch die Primer BT\_MAOA\_In14\_f und BT\_MAOA\_Ex15\_r2 amplifiziert wurde. An Position 224 des Fragmentes befindet sich der Austausch und von Position 74 bis 77 befindet sich eine weitere Erkennungssequenz für das verwendete Enzym MnlI, welche als Kontrollschnitt (Fragment mit 84 Basenpaaren) für die Enzymfunktion mit einbezogen wurde.

1 cct gaa gct gaa gta agt ttg gTA GCT CCA TCT CTA TAG ACC AGG AAT CGC ATA 74 77 84

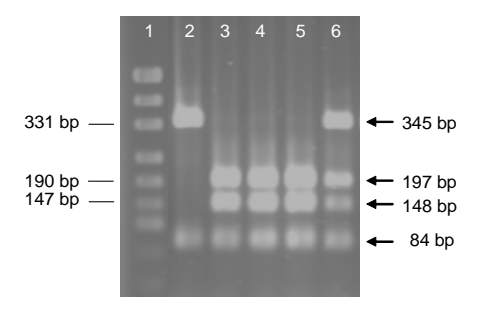
TAA AAA TCT CAA CTT CTA GCC TCT GAT GTC1 TTT GTA GAT GCC ACT CTC CAG GGA AGA TCC AGA TAC TGA TTT TAC AGA TAT ATT TTA CCA CTC CTT ATT CCT GCA AGA GTT TTT TTT GCT AAC GAT CTA TGT TCA TTC Intron 14 Exon XV 224

ATC CAG GAT GTT CCA GCT GTA GAG ATC ACC CYC AGC TTC T1GG GAG AGA AAC CTG CCT TCC GTA TCA GGC CTG CTG AAG ATT GTT GGG TTT TCC ACA TCA ATA ACT GCC CTG TGG TTT GTG ATG TAC AGA TTC AGG CTG CTA AGC CGA TCC TGA AGT TTT GGC TTC ATG CTT TTT GCT TAT CCT TCC CCG GTA TCA TCA AAA GCA AAT TGC TGA CCC Gta gaa cag ccg tgc 429

aat cag

**Abbildung 8:** Sequenz des 429bp-Fragmentes aus *MAOA* (Intron 14 und Exon XV) mit Primersequenzen in Kleinbuchstaben, grau unterlegtem Nukleotidaustausch (Y=C/T) an Position 224 und Markierung der Schnittstellen von *MnI*I durch ↓ sowie der Erkennungssequenz durch Unterstrich.

Die Genotypisierung erfolgte mit Agarosegelelektrophorese wie in Abbildung 9 dargestellt. Das Kontrollfragment mit 84 bp ist immer amplifiziert worden. Bei Allel C bleibt ein 345 bp Fragment bestehen. Dieses Fragment wird bei Allel T in 148 bp und 197 bp geschnitten.



**Abbildung 9:** Genotypisierung des Nukleotidaustausches im *MAOA*, Exon XV durch PCR-RFLP-Analyse nach Inkubation mit *Mnl*I und Auftrennung im Agarosegel.

Geltasche 1: Größenmarker pUC19 DNA/MspI (HpaII) Marker 23

Geltasche 2: Genotyp *CC* Geltasche 3-5: Genotyp *TT* Geltasche 6: Genotyp *CT* 

#### 4.1.2.2 Tetra-Primer ARMS-PCR

Die Tetra-Primer ARMS-PCR wurde zur Typisierung der Nukleotidaustausche in der 3'UTR des *CCKBR* und im Intron 13 des *SERT* etabliert.

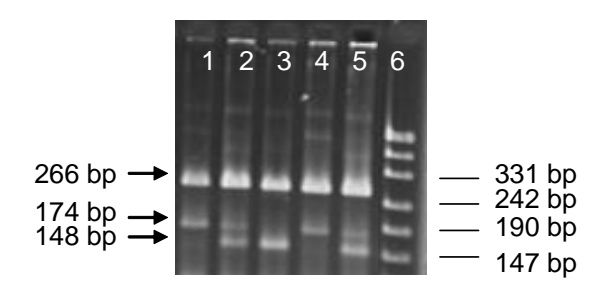
### 4.1.2.2.1 *CCKBR* (3'UTR)

Die Sequenz des in die Tetra-Primer ARMS-PCR einbezogenen Genabschnittes, von Position 312 – 578 der 3'UTR reichend, ist in Abbildung 10 dargestellt. Das Kontrollfragment mit 266 Basenpaaren wurde durch die beiden äußeren Primer CCKBR\_3'UTR\_Out\_F und CCKBR\_3'UTR\_Out\_R amplifiziert. Ein für das Allel *C* spezifisches Produkt mit 174bp wurde durch das Primerpaar CCKBR\_3'UTR\_Out\_F und CCKBR\_3'UTR\_In\_R dargestellt; das Allel *T* durch ein 148bp Produkt der Primer CCKBR\_3'UTR\_In\_F und CCKBR 3'UTR\_Out\_R.

Die Auftrennung der Fragmente mit Agarosegelelektrophorese ist in Abbildung 11 zu erkennen

1
gta tag cag ggg cat tga atc ttt cag gGC TCT GGA GCC TGG CAC AGG AAT GAC
TCC TGA GAT GCT CCG CTG TGC CCA TAG TTT GAC CTC ACA GTG CCC TTC
120
147
CCC ATC AGT GCT GCA AAc acc aac ctg cct aat ctc aca ctc ccy gga cca acg agc tgt
174
ttt gca cta aga AGT CCC TTC ATT CCT TTC CAG TTA AAT AAT CCC CTC ACC
266
GGA CTT TTT CAA GAA ATG ATA AAT Gac ttg gtt tcc ccc tca att tcc ttt tt

**Abbildung 10:** Sequenz des Kontrollfragmentes der äußeren Primer aus *CCKBR* (3'UTR) mit grau unterlegtem Nukleotidaustausch (Y=C/T) an Position 147 und Darstellung der Primerbindungsstellen in Kleinbuchstaben, wobei die der äußeren Primer kursiv und die der inneren Primer in fett dargestellt sind. Der Primer CCKBR\_3'UTR\_In\_F bindet von Position 120 bis 147 und der Primer CCKBR\_3'UTR\_In\_R von Position 147 bis 174.



**Abbildung 11:** Genotypisierung des C/T-Austausches im *CCKBR* (3'UTR) durch Tetra-Primer ARMS-PCR mit Auftrennung der allelspezifischen PCR-Produkte und Kontrollfragment der äußeren Primer (266 bp) im Agarosegel.

Geltasche 1+4: Genotyp *CC* Geltasche 2+5: Genotyp *CT* Geltasche 3: Genotyp *TT* 

Geltasche 6: Größenmarker pUC19 DNA/MspI (HpaII) Marker 23

### 4.1.2.2.2 SERT (Intron 13)

Durch die beiden äußeren Primer, BT\_SERT\_OUT\_F und BT\_SERT\_OUT\_R, wurde ein Kontrollfragment mit 375 Basenpaaren amplifiziert. Der Primer BT\_SERT\_IN\_F amplifizierte mit dem Primer BT\_SERT\_OUT\_R ein Produkt mit 196 bp, welches spezifisch für Allel *A* war. Das Allel *G* wurde durch das Produkt der Primer BT\_SERT\_IN\_R und BT\_SERT\_OUT\_F mit 232bp dargestellt. Die Sequenz mit entsprechenden Primeranlagerungen ist in Abbildung 12 gezeigt. Die Auftrennung der verschiedenen Fragmente und zugehörige Genotypen sind in Abbildung 13 dargestellt.

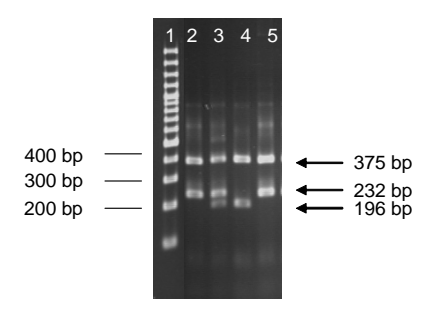
aac atc cca agt gtg ctc tga ggt agC CTG GGG TAA AGT GAC TCC GTG CAC ATC AGC AGG GAT TAC TCT CAC TTC TTT CAT TTA TCT GTA ACT AAT TTA GGG TGG AAG GAG CTT TTT GAT CTT CTA GAA CGA GAG ACA GTT CCT TCA

GTC CAG CTT ATT AGG CTA TCT GGG CCA TCC ATT tcc tca gag gac atg gat aca  $207 \hspace{1cm} 232 \hspace{1cm}$ 

get gtr cet tet tte aaa aca act ett teg eAT TCT TTT TTA CTT TCC CAG GGC AGC CCT TTA TTT TTT GTG CTT TGT GTA CCT GCA TGT CTC GAT ATT CAT CTG TAA GAT GGC CAG CGT GCT CAT TCT TGC TTC TGT TCT GCT TCA Tct etc tet 375

acc aca gaa gcc ctc ctt

**Abbildung 12:** Sequenz des Kontrollfragmentes der äußeren Primer aus *SERT* (Intron 13) mit grau unterlegtem Nukleotidaustausch (R=A/G) an Position 207 und Darstellung der Primerbindungsstellen in Kleinbuchstaben, wobei die der äußeren Primer kursiv und die der inneren Primer in fett dargestellt sind. Der Primer BT\_SERTP\_IN\_F bindet von Position 181 bis 207 und der Primer BT\_SERTP\_IN\_R von Position 207 bis 232.



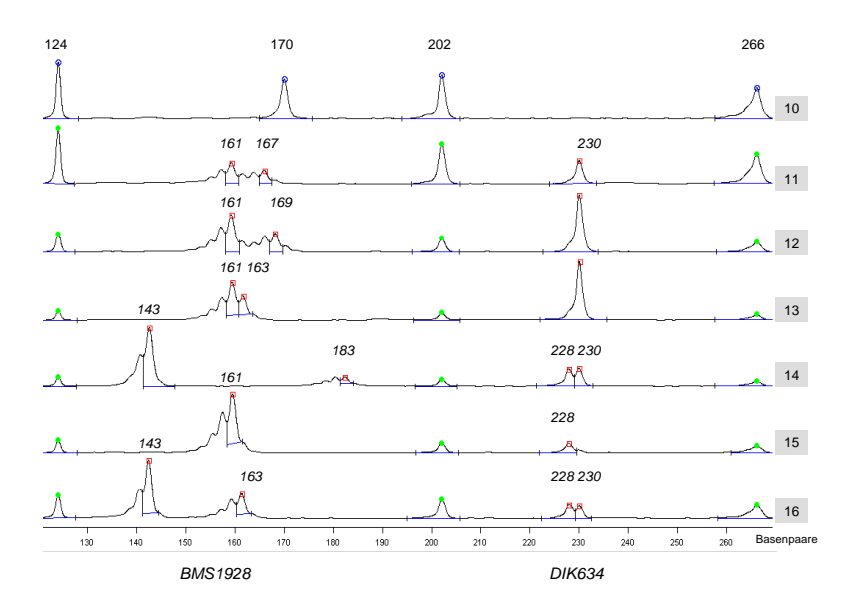
**Abbildung 13:** Genotypisierung des G/A-Austausches im *SERT* (Intron 13) durch Tetra-Primer ARMS-PCR mit Auftrennung der allelspezifischen PCR-Produkte und Kontrollfragment der äußeren Primer (375bp) im Agarosegel.

Geltasche 1: Größenmarker GeneRuler<sup>TM</sup> 100bp Ladder Plus

Geltasche 2+5: Genotyp *GG* Geltasche 3: Genotyp *GA* Geltasche 4: Genotyp *AA* 

### 4.1.3 Mikrosatellitenanalyse mit dem ALFexpress

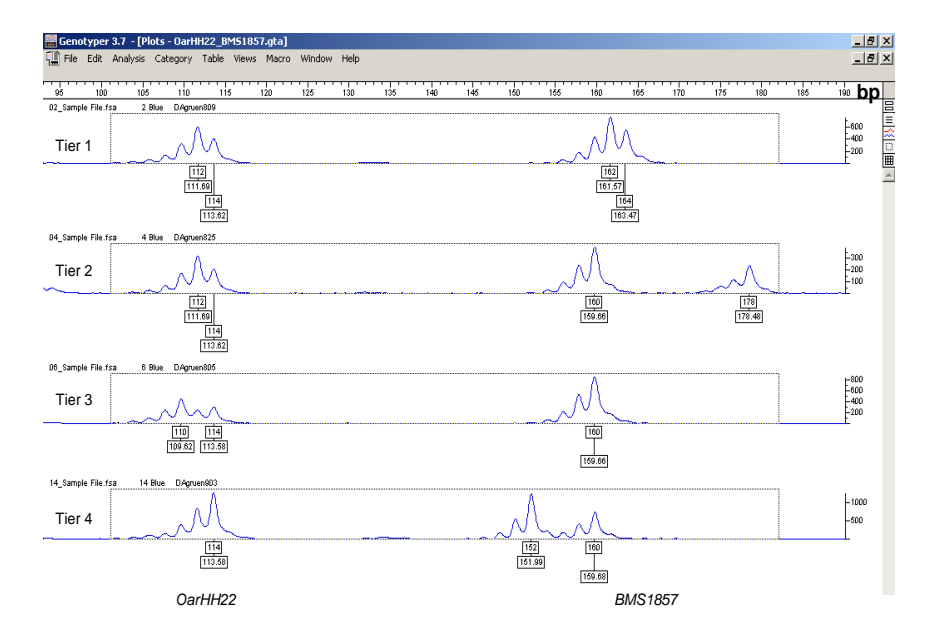
Die Mikrosatellitenanalyse mit dem Programm AlleleLocator am ALF*express* ist in Abbildung 14 exemplarisch für die parallel geladenen Marker *BMS1928* und *DIK634* dargestellt.



**Abbildung 14:** Darstellung von Mikrosatellitenallelen am ALF*express* der Mikrosatelliten *BMS1928* und *DIK634* bei sechs verschiedenen Tieren (Reihe 11 bis 16) mit externem Größenmarker in Reihe 10, dessen Allele durch blaue Kreise gekennzeichnet sind. Die Allele der Mikrosatelliten sind mit roten Quadraten gekennzeichnet und die entsprechenden Größen der Peaks in Basenpaaren manuell eingefügt. Die mit grünen Kreisen markierten Peaks in den Reihen 11 bis 16 stellen die internen Größenmarker (124/202/266) dar.

## 4.1.4 Mikrosatellitenanalyse mit dem ABI PRISM® 377 DNA Sequencer

Die Auswertung der Mikrosatelliten am ABI PRISM® 377 DNA Sequencer erfolgte mithilfe des Programms Genotyper V3.7, wobei jeder verwendete Farbstoff einzeln betrachtet werden kann. Die graphische Darstellung der Auswertung ist in Abbildung 15 exemplarisch für die beiden 6-FAM gelabelten Mikrosatelliten *OarHH22* und *BMS1857* (BTA29Duplex) aufgezeigt.



**Abbildung 15:** Darstellung von Mikrosatellitenallelen am ABI PRISM® 377 DNA Sequencer von *OarHH22* und *BMS1857* bei vier Tieren (Tier 1-4). Unterhalb jedes Allelpeaks befindet sich ein oberes Kästchen mit Angabe der definierten Allelgröße und ein unteres mit der effektiv gemessenen Größe.

## 4.2 Genetisch-statistische Ergebnisse

# 4.2.1 Signifikanzniveaus der untersuchten Einflussfaktoren des Grundmodells der Varianzanalysen und der QTL-Analysen

Die Signifikanzniveaus der in der Varianzanalyse und den QTL-Analysen einbezogenen Faktoren Jahr, Geschlecht und Alter der Tiere bei Testdurchführung auf die vier verschiedenen Scores sind in Tabelle 16 aufgeführt.

**Tabelle 16:** Signifikanzniveaus der untersuchten Einflussfaktoren des für die Varianzanalysen und QTL-Analysen verwendeten Grundmodells getrennt nach Rassen und den vier verschiedenen Scores.

	Rasse	Score des Anbindetestes (MIN2AT)	Score bei Eintritt in die Waage (SCEINWT)	Score während des Wiegens (SCWGWT)	Score des Separier- und Rückhaltetestes (SCAST)
Jahr	DA	***	***	***	***
Jaiii	FV	***	***	**	***
Geschlecht	DA	n.s.	n.s.	*	**
Geschiecht	FV	*	n.s.	n.s.	***
Alter beim Test	DA	n.s.	n.s.	*	n.s.
Alter bellir rest	FV	n.s.	n.s.	n.s.	**

n.s. = nicht signifikant

Das Jahr der Testdurchführung hatte einen höchst signifikanten Einfluss auf die vergebenen Scores bei beiden Rassen. Bei der Rasse Dt. Fleckvieh und dem Score SCWGWT war der Einfluss des Jahres mit p = 0,0029 im hoch signifikanten Bereich gelegen. Da die Effekte des Jahres nicht von denen des Handlers zu differenzieren sind, sind diese signifikanten Einflüsse auch auf den Handler zu beziehen.

Das Geschlecht der Kälber hatte auf den Score SCAST bei den Dt. Fleckvieh einen höchst signifikanten und bei den Dt. Angus einen hoch signifikanten Effekt. Außerdem hatte das Geschlecht einen signifikanten Einfluss auf den Score SCWGWT bei den Dt. Angus (p = 0.0326) und den Score MIN2AT bei den Dt. Fleckvieh (p = 0.0386).

Das Alter der Kälber bei Testdurchführung hatte einen signifikanten Effekt mit p = 0,0271 bei den Dt. Angus und dem Score SCWGWT. Der Score SCAST wurde bei den Dt. Fleckvieh hoch signifikant (p = 0,0042) durch das Alter beeinflusst.

# 4.2.2 Allel- und Genotypfrequenzen des Nukleotidaustausches im *CCKBR* (Intron 3)

Die Allelfrequenzen des Nukleotidaustausches im *CCKBR* (Intron 3) unterscheiden sich signifikant bei den unverwandten Tieren beider Rassen. Bei Dt. Angus liegt das Allel *C* mit einer Frequenz von 0,84 und Allel *T* mit 0,16 vor und bei Dt. Fleckvieh hat das Allel *C* eine Frequenz von 0,95 und Allel *T* von 0,05.

Von insgesamt 954 der 962 Kälber konnte der Genotyp dieses Nukleotidaustausches ermittelt werden. Diese teilten sich auf in 542 Kälber der Rasse Dt. Angus und 412 Kälber der Rasse

<sup>\* =</sup> signifikant bei einer Irrtumswahrscheinlichkeit von 5% = p<0,05

<sup>\*\* =</sup> signifikant bei einer Irrtumswahrscheinlichkeit von 1% = p<0,01

<sup>\*\*\* =</sup> signifikant bei einer Irrtumswahrscheinlichkeit von 0,1% = p<0,001

Dt. Fleckvieh. Bei den Kälbern der Rasse Dt. Fleckvieh kam das Allel T nur in einer Frequenz von 0,03 vor. Dies spiegelt sich auch in den Genotypfrequenzen wieder. Der Genotyp TT wird bei den hier untersuchten Dt. Fleckvieh Tieren nicht nachgewiesen und bei den Dt. Angus in einer Frequenz von 0,10 (siehe Tabelle 17). Die Allelfrequenzen der Kälber beider Rassen unterscheiden sich höchst signifikant. Bei den eingesetzten Dt. Fleckvieh-Bullen haben alle den Genotyp CC, bei den Dt. Angus hatten drei Bullen CC, zwei Bullen CT und einer TT. Innerhalb der Dt. Angus konnten Abweichungen vom Hardy-Weinberg-Gleichgewicht festgestellt werden (siehe Tabelle 17).

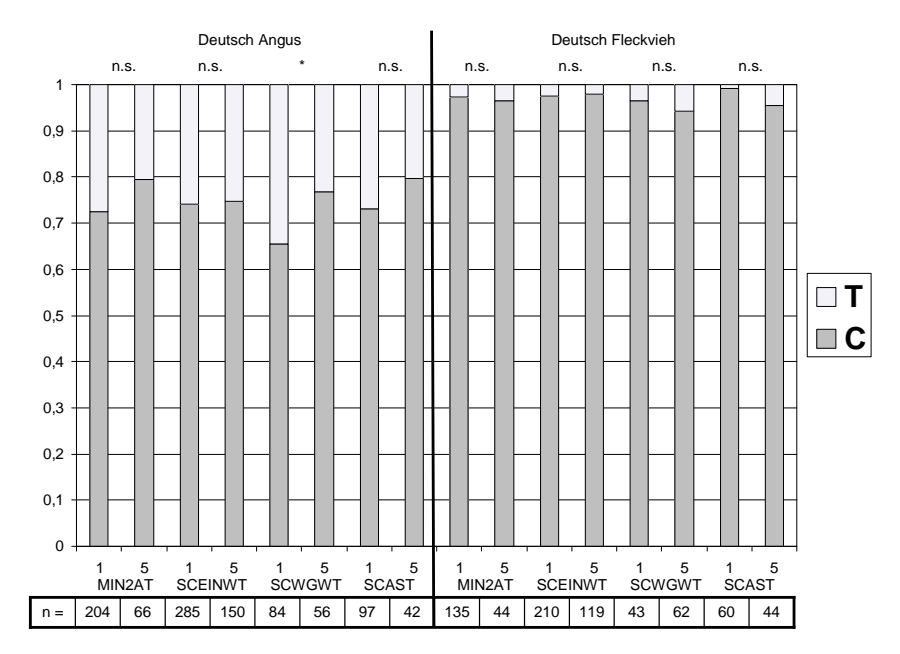
**Tabelle 17:** Allel- und Genotypfrequenzen des Nukleotidaustausches in *CCKBR* (Intron 3) der Kälber beider Rassen sowie das Testergebnis über das Vorliegen des Hardy-Weinberg-Gleichgewichtes.

		Allelfr	equenz	Ge	enotypfrequen	Z
Rasse	n	C	T	CC	CT	TT
DA **	542	0,73	0,27	0,55	0,35	0,10
FV	412	0,97	0,03	0,95	0,05	0,00

<sup>\*\* =</sup> Abweichung vom Hardy-Weinberg-Gleichgewicht signifikant mit einer Irrtumswahrscheinlichkeit von 1%

## 4.2.3 Einfluss des Nukleotidaustausches im *CCKBR* (Intron 3) auf Verhaltensscores mittels Chi<sup>2</sup>-Test

Die Gegenüberstellung der Extremwerte der vergebenen Scores (1 = ruhiges Tier und 5 = extrem nervöses/aufgeregtes Tier) mit den jeweiligen Allelfrequenzen des Nukleotidaustausches im CCKBR (Intron 3) zeigt bei Dt. Angus eine tendenziell höhere Frequenz des Allels C bei Score 5 im Vergleich zu Score 1 bei allen vier Merkmalen. Dieser Trend ist bei Dt. Fleckvieh nicht zu erkennen (siehe Abbildung 16). Ein signifikanter Unterschied der Allelfrequenzen ergab sich nur für die Rasse Dt. Angus bei dem Score während des Wiegens (SCWGWT) bei einer Irrtumswahrscheinlichkeit von 5% mit p = 0,0431. Bei allen anderen Scores bei Dt. Angus und bei Dt. Fleckvieh ließen sich mit p-Werten zwischen 0,0842 (SCAST bei FV) und 0,8395 (SCEINWT bei DA) keine weiteren signifikanten Unterschiede der Allelfrequenzen nachweisen.



**Abbildung 16:** Gegenüberstellung der Allelfrequenzen des Nukleotidaustausches im *CCKBR* im Intron 3 bezüglich der Extremwerte der vergebenen Verhaltensscores (1 = ruhig und 5 = extrem nervös/aufgeregt) für die Kälber der Rassen Dt. Angus und Dt. Fleckvieh unter Angabe der Signifikanzen und der Anzahl (n) Kälber der jeweiligen Klassen.

# 4.2.4 Einfluss des Nukleotidaustausches im *CCKBR* (Intron 3) auf Verhaltensscores mittels Varianzanalyse

Die berechneten LSQ-Mittelwerte und Standardfehler sind in Tabelle 18 angegeben. Hier ließen sich keine Tendenzen bezüglich der Mittelwerte der Scores in Verbindung mit den Genotypen erkennen. Bei Dt. Angus und dem Score SCEINWT sind die Mittelwerte bei allen Genotypen sogar annähernd identisch. Mittels der Varianzanalyse nach dem Grundmodell mit dem Genotyp im *CCKBR* im Intron 3 als fixem Effekt lies sich kein signifikanter Einfluss dessen auf die den Kälbern gegebenen Verhaltensscores darstellen (siehe Tabelle 19). Bei dem Score SCAST bei Dt. Angus ist eine Linearität der Mittelwerte im Zusammenhang mit den Genotypen erkennbar, allerdings in der Varianzanalyse nur mit p = 0,3070 versehen, was sich aus den hohen Standardfehlern begründet.

n.s. = nicht signifikant

<sup>\* =</sup> signifikant bei einer Irrtumswahrscheinlichkeit von 5% = p<0,05

	-					U		
	MIN	2AT	SCEI	NWT	SCW	GWT	SCA	AST
	DA	FV	DA	FV	DA	FV	DA	FV
СС	1,94	1,98	1,67	1,74	2,39	2,57	2,18	2,38
	(0,058)	(0,054)	(0,052)	(0,051)	(0,058)	(0,058)	(0,050)	(0,048)
CT	1,97	2,18	1,68	1,76	2,48	2,70	2,28	2,68
<i>C1</i>	(0,073)	(0,201)	(0,067)	(0,181)	(0,075)	(0,205)	(0,064)	(0,172)
TT	1,84		1,67		2,49		2,37	
11	(0,133)	_	(0,123)	_	(0,137)	_	(0,119)	-

**Tabelle 18:** LSQ-Mittelwerte und Standardfehler (in Klammern) der Verhaltensscores für den Effekt des Genotyps im *CCKBR* (Intron 3) bei den Rassen Dt. Angus und Dt. Fleckvieh.

**Tabelle 19:** Signifikanzniveau des Einflusses des Genotyps im *CCKBR* (Intron 3) auf die Verhaltensscores unter Berücksichtigung der unter 4.2.1 Einflussfaktoren.

	Rasse	MIN2AT	SCEINWT	SCWGWT	SCAST
Genotyp CCKBR (Intron 3)	DA	n.s.	n.s.	n.s.	n.s.
Genotyp CCKBK (Introli 3)	FV	n.s.	n.s.	n.s.	n.s.

n.s. = nicht signifikant

## 4.2.5 Allel- und Genotypfrequenzen des Nukleotidaustausches im *CCKBR* (3'UTR)

Bei den unverwandten Tieren beider Rassen liegt das Allel C dieses Nukleotidaustausches mit einer Frequenz von 0,88 bei Dt. Angus bzw. 0,81 bei Dt. Fleckvieh vor.

Eine Typisierung konnte für 960 Kälber (417 Dt. Angus und 543 Dt. Fleckvieh) durchgeführt werden. Bei den Dt. Angus war nur einer der Bullen heterozygot, die anderen hatten den Genotyp CC. Bei Dt. Fleckvieh lag bei sechs Bullen derselbe Genotyp vor, einer war heterozygot und einer hatte den Genotyp TT. Dies spiegelte sich in den Allelfrequenzen der Kälber wieder, wobei das Allel C eine Frequenz von 0,93 bzw. 0,78 bei DA bzw. FV entsprechend aufwies (siehe Tabelle 20) und eine höchst signifikanter Unterschied der Allelfrequenzen nachgewiesen werden konnte. Beide Populationen befanden sich im Hardy-Weinberg-Gleichgewicht.

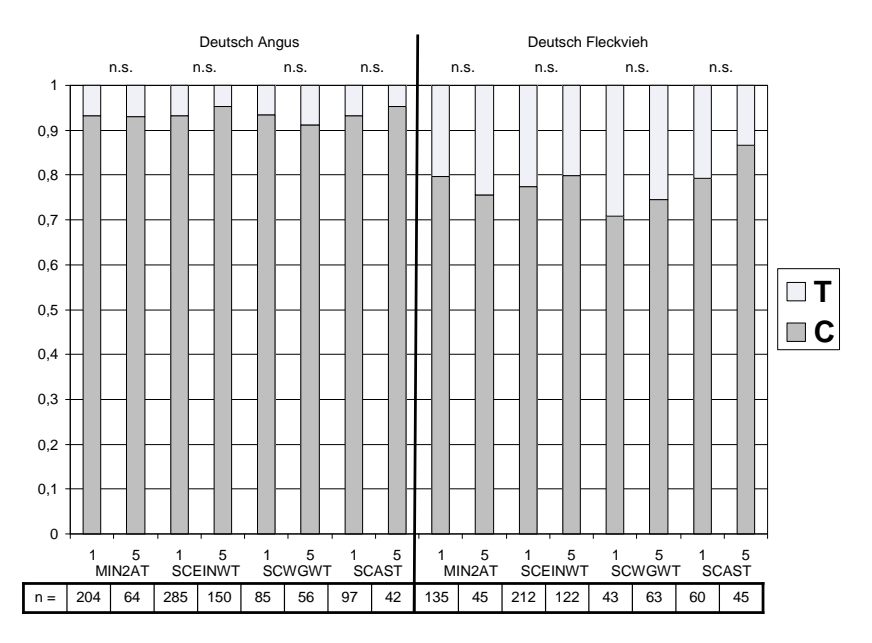
Tabelle 20: Allel- und Genotypfrequenzen des Nukleotidaustausches in CCKBR (3'UTR) der Kälber beider Rassen.

		Allelfr	equenz	Ge	enotypfreque	enz
Rasse	n	C	T	CC	CT	TT
DA	417	0,93	0,07	0,88	0,12	0,00
FV	543	0,78	0,22	0,60	0,35	0,05

<sup>-=</sup> Genotyp TT in der Rasse Dt. Fleckvieh nicht nachgewiesen

## 4.2.6 Einfluss des Nukleotidaustausches im *CCKBR* (3'UTR) auf Verhaltensscores mittels Chi<sup>2</sup>-Test

Für die Extremwerte der Verhaltenscores ist bei beiden Rassen keine einheitliche Tendenz in der Verteilung der Allelfrequenzen zu erkennen (siehe Abbildung 17). Dies spiegelt sich auch in den relativ hohen p-Werten der Chi<sup>2</sup>-Tests wider, die zwischen 0,1580 und 0,9477 liegen und somit auch kein statistisch signifikanter Einfluss vorhanden ist.



**Abbildung 17:** Gegenüberstellung der Allelfrequenzen des Nukleotidaustausches im *CCKBR* in der 3'UTR bezüglich der Extremwerte der vergebenen Verhaltensscores (1 = ruhig und 5 = extrem nervös/aufgeregt) für die Kälber der Rassen Dt. Angus und Dt. Fleckvieh unter Angabe der Signifikanzen und der Anzahl (n) Kälber der jeweiligen Klassen.

n.s. = nicht signifikant

## 4.2.7 Einfluss des Nukleotidaustausches im *CCKBR* (3'UTR) auf Verhaltensscores mittels Varianzanalyse

Die bearbeiteten Mittelwerte der Verhaltensscores unter dem Einfluss des Genotyps des *CCKBR* in der 3'UTR sind in Tabelle 21 aufgezeigt. Bei MIN2AT bei Dt. Fleckvieh und SCWGWT sowie SCAST bei Dt. Angus scheint das Allel *T* mit einer Erhöhung des Scores in Verbindung zu sein. Im Gegensatz dazu lässt sich eine Reduktion des Scores im Zusammen-

hang mit Allel *T* bei MIN2AT und SCEINWT bei Dt. Angus beobachten. Die anderen drei Scores bei Dt. Fleckvieh lassen keine Tendenz erkennen und eine statistisch signifikante Beeinflussung der Scores durch diesen Austausch konnte in keinem Fall nachgewiesen werden (siehe Tabelle 22).

**Tabelle 21:** LSQ-Mittelwerte und Standardfehler (in Klammern) der Verhaltensscores für den Effekt des Genotyps im *CCKBR* (3'UTR) bei den Rassen Dt. Angus und Dt. Fleckvieh.

	MIN	2AT	SCEI	NWT	SCW	GWT	SCA	AST
	DA	FV	DA	FV	DA	FV	DA	FV
СС	1,95	1,92	1,68	1,75	2,41	2,55	2,22	2,43
	(0,047)	(0,068)	(0,042)	(0,063)	(0,046)	(0,072)	(0,041)	(0,060)
CT	1,87	2,10	1,65	1,75	2,48	2,66	2,27	2,33
<i>C1</i>	(0,108)	(0,092)	(0,096)	(0,085)	(0,107)	(0,096)	(0,092)	(0,083)
TT	1,41	2,33	1,43	1,53	3,11	2,54	2,81	2,51
11	(0,871)	(0,244)	(0,779)	(0,224)	(0,871)	(0,253)	(0,758)	(0,210)

**Tabelle 22:** Signifikanzniveau des Einflusses des Genotyps im *CCKBR* (3'UTR) auf die Verhaltensscores unter Berücksichtigung der unter 4.2.1 genannten Einflussfaktoren.

				~ ~ ~	SCAST
Genotyp CCKBR (3'UTR)	4	n.s.	n.s.	n.s.	n.s.
FV	V	n.s.	n.s.	n.s.	n.s.

n.s. = nicht signifikant

## 4.2.8 Allel- und Genotypfrequenzen des Nukleotidaustausches im *DRD4* (Intron 1)

Mittels der etablierten PCR-RFLP-Analyse konnten 953 Kälber bezüglich des Genotyps im *DRD4* (Intron 1) typisiert werden. Diese setzten sich aus 537 Dt. Angus Kälbern und 416 Dt. Fleckvieh Kälbern zusammen.

In der Rasse Dt. Fleckvieh fiel bei den Kälbern ein geringes Vorliegen des Allels G (Frequenz = 0,17) auf, was sich auch in den entsprechenden Genotypfrequenzen widerspiegelte (siehe Tabelle 23). Die Allelfrequenzen der Kälber unterscheiden sich zwischen beiden Rassen höchst signifikant voneinander. Auch bei den unverwandten Tieren lag die Allelfrequenz bei FV mit 0,28 für Allel G deutlich unter der von DA mit 0,59 für Allel G und lies sich als statistisch höchst signifikanter Rasseunterschied belegen. Bei FV war nur einer der eingesetzten Kälberväter heterozygot, die anderen hatten den Genotyp TT. Bei den Dt. Angus-Bullen hatte die eine Hälfte den Genotyp GG, die andere Hälfte GT. Bei den FV-Kälbern zeigte sich eine Abweichung vom Hardy-Weinberg-Gleichgewicht.

82 ERGEBNISSE

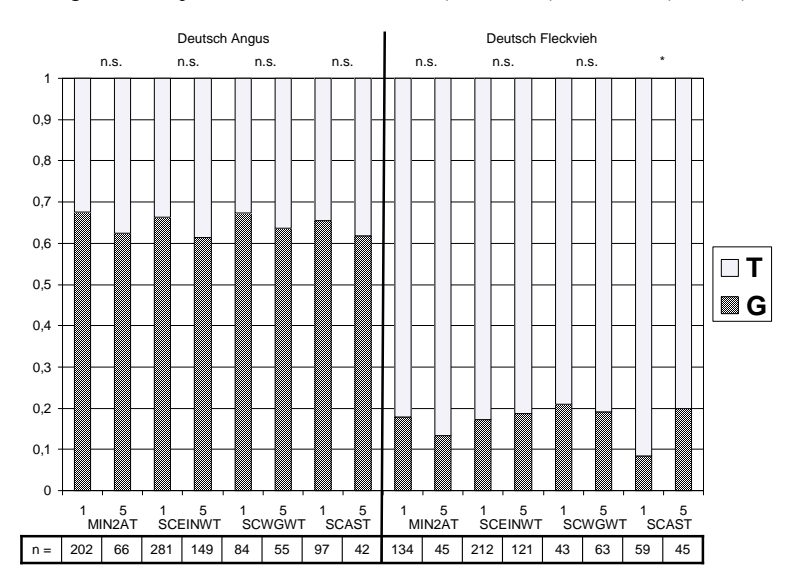
**Tabelle 23:** Allel- und Genotypfrequenzen des Nukleotidaustausches in *DRD4* (Intron 1) der Kälber beider Rassen sowie das Testergebnis über das Vorliegen des Hardy-Weinberg-Gleichgewichtes.

		Allelfr	equenz	Ge	enotypfrequen	Z
Rasse	n	G	T	GG	GT	TT
DA	537	0,65	0,35	0,41	0,48	0,11
FV **	416	0,17	0,83	0,01	0,33	0,66

<sup>\*\* =</sup> Abweichung vom Hardy-Weinberg-Gleichgewicht signifikant mit einer Irrtumswahrscheinlichkeit von 1%

## 4.2.9 Einfluss des Nukleotidaustausches im *DRD4* auf Verhaltensscores mittels Chi<sup>2</sup>-Test

Der Vergleich der Allelfrequenzen des Nukleotidaustausches im DRD4 zwischen den Extremwerten der Verhaltensscores innerhalb der beiden Rassen zeigte nur bei den Dt. Fleckvieh einen signifikanten Unterschied (p = 0,0158) bei dem Score SCAST des Separier- und Rückhaltetestes (siehe Abbildung 18). Hier liegt das Allel G bei Score 5 häufiger als bei Score 1 vor. Bei Dt. Angus deutet sich rein optisch die gegenteilige Tendenz an, allerdings mit nicht signifikanten p-Werten zwischen 0,14776 (SCEINWT) bis 0,5693 (SCAST).



**Abbildung 18:** Gegenüberstellung der Allelfrequenzen des Nukleotidaustausches im *DRD4* bezüglich der Extremwerte der vergebenen Verhaltensscores (1 = ruhig und 5 = extrem nervös/aufgeregt) für die Kälber der Rassen Dt. Angus und Dt. Fleckvieh unter Angabe der Signifikanzen und der Anzahl (n) Kälber der jeweiligen Klassen.

n.s. = nicht signifikant

<sup>\* =</sup> signifikant bei einer Irrtumswahrscheinlichkeit von 5% = p<0.05

# 4.2.10 Einfluss des Nukleotidaustausches im *DRD4* auf Verhaltensscores mittels Varianzanalyse

In Tabelle 24 sind die LSQ-Mittelwerte und Standardfehler der Verhaltensscores unter dem Einfluss des Genotyps im DRD4 in Intron 1 angegeben. Bei den beiden Scores des Wiegetestes bei Dt. Angus zeigten sich lineare Veränderungen im Bezug zu den Genotypen, wobei bei SCEINWT eine Erhöhung des Scores mit Allel T und bei SCWGWT eine Reduktion des Scores mit Allel T einhergeht. Ein signifikanter Einfluss des Genotypes auf den Score war allerdings nur für den Score des Separier- und Rückhaltetestes mit p = 0,0376 nachweisbar (siehe Tabelle 25). Bei der Rasse Dt. Fleckvieh ist eine Veränderung des Scores mit dem Genotyp bei SCAST augenscheinlich, aber nicht signifikant (p = 0,2738). Ein signifikanter Einfluss konnte für den Genotyp im DRD4 auf den Score des Anbindetestes nachgewiesen werden (p = 0,0384). Auf die jeweils verbleibenden drei Scores je Rasse hatte der hier untersuchte Genotyp im DRD4 keinen signifikanten Einfluss (siehe Tabelle 25).

**Tabelle 24:** LSQ-Mittelwerte und Standardfehler (in Klammern) der Verhaltensscores für den Effekt des Genotyps im *DRD4* (Intron 1) bei den Rassen Dt. Angus und Dt. Fleckvieh.

	MIN2AT		SCEI	NWT	SCWGWT		SCAST	
	DA	FV	DA	FV	DA	FV	DA	FV
GG	1,94	2,53	1,66	1,51	2,47	2,27	2,21	2,99
GG	(0,058)	(0,437)	(0,105)	(0,408)	(0,126)	(0,469)	(0,094)	(0,406)
GT	1,93	1,84	1,68	1,78	2,42	2,59	2,31	2,42
GI	(0,054)	(0,105)	(0,103)	(0,093)	(0,123)	(0,129)	(0,092)	(0,134)
TT	2,04	2,04	1,71	1,71	2,38	2,56	2,03	2,38
	(0,114)	(0,090)	(0,106)	(0,078)	(0,164)	(0,114)	(0,129)	(0,124)

**Tabelle 25:** Signifikanzniveau des Einflusses des Genotyps im *DRD4* (Intron 1) auf die Verhaltensscores unter Berücksichtigung der unter 4.2.1 genannten Einflussfaktoren.

	Rasse	MIN2AT	SCEINWT	SCWGWT	SCAST
Genotyp DRD4	DA	n.s.	n.s.	n.s.	*
Genotyp DKD4	FV	*	n.s.	n.s.	n.s.

n.s. = nicht signifikant

## 4.2.11 Allel- und Genotypfrequenzen des Nukleotidaustausches im *MAOA* (Exon XV)

Die Allelfrequenzen für Allel *C* der unverwandten Tiere sind bei Dt. Angus 0,21 und bei Dt. Fleckvieh 0,55 und für Allel *T* entsprechend 0,79 bzw. 0,45. Diese Unterschiede in der

<sup>\* =</sup> signifikant bei einer Irrtumswahrscheinlichkeit von 5% = p<0,05

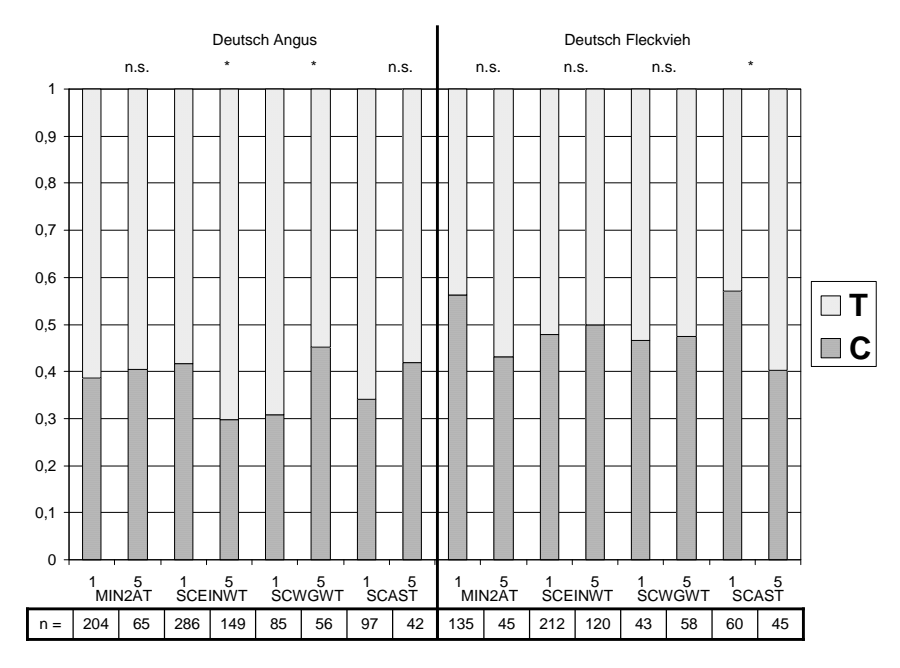
Allelverteilung bei beiden Rassen sind statistisch höchst signifikant. Von 960 Kälbern konnte dieser Genotyp im *MAOA* im Exon XV ermittelt werden. Hiervon waren je 50 % männliche und weibliche Kälber. Innerhalb der Dt. Fleckvieh (n = 416) lagen die Allelfrequenzen bei 0,49 für Allel *C* und 0,51 für Allel *T* und bei den Dt. Angus (n = 544) bei 0,39 für *C* und 0,61 für *T*. Auch bei den Kälbern sind die Allelfrequenzen zwischen den Rassen höchst signifikant verschieden. Die prozentualen Häufigkeiten der Genotypen der Kälber nach Rassen und Geschlecht getrennt sind Tabelle 26 zu entnehmen.

**Tabelle 26:** Allel- und Genotypfrequenzen des Nukleotidaustausches in *MAOA* (Exon XV) bei Dt. Angus und Dt. Fleckvieh nach Geschlechtern getrennt.

	Rasse	n	C	T	CC	CT	TT
Männliche Kälber	DA	275	0,29	0,71	-	-	-
Maiiiiiche Kaibei	FV	205	0,57	0,43	-	-	-
Weibliche Kälber	DA	269	0,45	0,55	0,16	0,58	0,26
Weibliche Kalbei	FV	211	0,45	0,55	0,19	0,53	0,28

## 4.2.12 Einfluss des Nukleotidaustausches im *MAOA* auf Verhaltensscores mittels Chi<sup>2</sup>-Test

Durch den Chi<sup>2</sup>-Test mit den Extremwerten der Scores ergaben sich signifikante Einflüsse der Allelfrequenz des Nukleotidaustausches im MAOA auf beide Verhaltensscores des Wiegetestes bei Dt. Angus und auf den Score des Separier- und Rückhaltetestes bei Dt. Fleckvieh (siehe Abbildung 19). Die ermittelten p-Werte betrugen 0,0140 bei SCEINWT bzw. 0,0302 bei SCWGWT der Dt. Angus und 0,0357 bei Score SCAST der Dt. Fleckvieh. Der p-Wert für den Score MIN2AT bei Dt. Fleckvieh lag knapp oberhalb der Signifikanzgrenze von 5% mit p=0,0541. Alle anderen Werte befanden sich zwischen 0,2873 und 0,9310. Anhand der graphischen Darstelung lassen sich keine Allelverteilungstendenzen zwischen den Extremwerten erkennen. Auffällig sind die gegensätzlichen Allelfrequenzen der beiden als signifikant ermittelten Wiegescores bei Dt. Angus. Dies erscheint bei Dt. Fleckvieh einheitlicher; hier liegt das Allel C bei Score 5 sowohl des signifikanten SCAST als auch des nahe der Signifikanzgrenze gelegenen MIN2AT in geringerer Frequenz als bei Score 1 vor.



**Abbildung 19:** Gegenüberstellung der Allelfrequenzen des Nukleotidaustausches im *MAOA* bezüglich der Extremwerte der vergebenen Verhaltensscores (1 = ruhig und 5 = extrem nervös/aufgeregt) für die Kälber der Rassen Dt. Angus und Dt. Fleckvieh unter Angabe der Signifikanzen und der Anzahl (n) Kälber der jeweiligen Klassen.

## 4.2.13 Einfluss des Nukleotidaustausches im *MAOA* auf Verhaltensscores mittels Varianzanalyse

Der Effekt des Genotyps im *MAOA* auf die Verhaltensscores wurde innerhalb der Rassen und innerhalb der Geschlechter mit den in 4.2.1 genannten Einflussfaktoren getestet. Für keinen der untersuchten Scores konnte ein signifikanter Effekt dargestellt werden (siehe Tabelle 27). Bei den männlichen Kälbern der Rasse Dt. Angus war der p-Wert für Score MIN2AT 0,0783 und für Score SCWGWT bei 0,0648. Die LSQ-Mittelwerte und Standardfehler aller Scores sind in Tabelle 28 aufgeführt.

n.s. = nicht signifikant

<sup>\* =</sup> signifikant bei einer Irrtumswahrscheinlichkeit von 5% = p<0,05

**Tabelle 27:** Signifikanzniveau des Einflusses des Genotyps im *MAOA* (Exon XV) auf die Verhaltensscores unter Berücksichtigung der in 4.2.1 gennanten Einflussfaktoren.

		MIN2AT		SCEI	NWT	SCWGW		SCAST	
		8	2	8	2	8	2	8	2
Genotyp MAOA	DA	n.s.	n.s.	n.s.	n.s.	n.s.	n.s.	n.s.	n.s.
Genotyp M/10/1	FV	n.s.	n.s.	n.s.	n.s.	n.s.	n.s.	n.s.	n.s.

n.s. = nicht signifikant

**Tabelle 28:** LSQ-Mittelwerte und Standardfehler (in Klammern) der Verhaltensscores für den Effekt des Genotyps im *MAOA* bei den bei den Rassen Dt. Angus und Dt. Fleckvieh nach Geschlechtern getrennt.

		MIN2AT		SCEI	SCEINWT		SCWGWT		AST
		DA	FV	DA	FV	DA	FV	DA	FV
Je	С	2,05	1,93	1,64	1,69	2,49	2,59	2,06	2,20
Männliche Kälber	C	(0,100)	(0,135)	(0,128)	(0,113)	(0,135)	(0,153)	(0,120)	(0,138)
länt Käl	T	1,84	1,80	1,71	1,77	2,31	2,45	2,14	2,25
2	1	(0,066)	(0,144)	(0,107)	(0,121)	(0,112)	(0,160)	(0,097)	(0,145)
ਰ	CC	1,94	1,91	1,65	1,68	2,63	2,47	2,48	2,46
älb	CC	(0,141)	(0,158)	(0,146)	(0,129)	(0,182)	(0,188)	(0,147)	(0,198)
ē K	CT	2,00	2,12	1,63	1,62	2,47	2,49	2,39	2,65
Weibliche Kälber	CI	(0,073)	(0,087)	(0,099)	(0,076)	(0,132)	(0,122)	(0,105)	(0,140)
	TT	2,04	2,13	1,83	1,78	2,47	2,79	2,13	2,53
	11	(0,113)	(0,128)	(0,138)	(0,105)	(0,176)	(0,148)	(0,143)	(0,159)

## 4.2.14 Allel- und Genotypfrequenzen des Nukleotidaustausches im SERT (Intron 13)

Innerhalb der Rassen sind die Allelfrequenzen des Adenin-Guanin-Austausches in Intron 13 des SERT-Gen bei den unverwandten Tieren 0,34 für Allel G und 0,66 für Allel A bei Dt. Angus und 0,51 für Allel G und 0,49 für Allel A bei Dt. Fleckvieh. Dieser Rasseunterschied liegt im signifikanten Bereich.

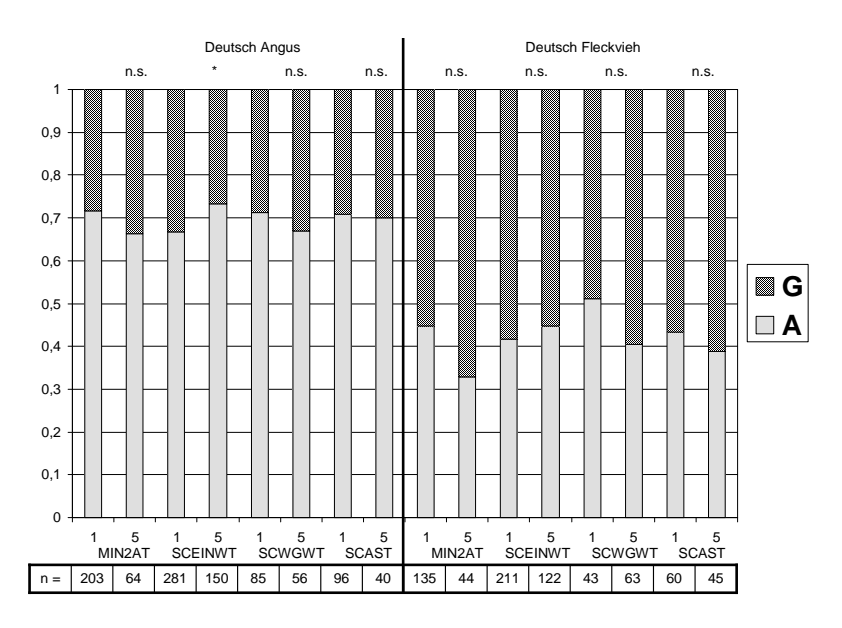
Der Genotyp konnte für 954 Kälber typisiert werden. Hierbei handelte es sich um 538 Tiere der Rasse Dt. Angus und 416 Tiere der Rasse Dt. Fleckvieh. Der Genotyp AA kam bei zwei Dt. Angus- und bei drei Dt. Fleckvieh-Bullen vor, Genotyp GA bei vier DA-Bullen und zwei FV-Bullen und Genotyp GG bei drei FV-Bullen. Die sich höchst signifikant unterscheidenden Allelfrequenzen der Kälber sind in der Rasse Dt. Angus 0,69 für Allel A und 0,31 für Allel G; bei der Rasse Dt. Fleckvieh 0,43 für das Allel A und für das Allel G 0,57. Die Genotypfrequenzen sind in Tabelle 29 aufgeführt. Die Populationen befinden sich im Hardy-Weinberg-Gleichgewicht.

**Tabelle 29:** Allel- und Genotypfrequenzen des Nukleotidaustausches im *SERT* (Intron 13) beider Rassen.

		Allelfr	equenz	Ge	Genotypfrequenz			
Rasse	n	G	A	GG	GA	AA		
DA	538	0,31	0,69	0,09	0,44	0,47		
FV	416	0,57	0,43	0,32	0,51	0,17		

## 4.2.15 Einfluss des Nukleotidaustausches im *SERT* auf Verhaltensscores mittels Chi<sup>2</sup>-Test

Bei beiden Rassen liegt das Allel A nur bei dem Merkmal SCEINWT bei Score 5 häufiger als bei Score 1 vor. Ein Effekt der Allelfrequenzen des Nukleotidaustausches im SERT auf die Extremwerte der Verhaltensscores lies sich mittels  $Chi^2$  - Test nur auf den Score SCEINWT bei Dt. Angus mit einem p-Wert von 0,0457 nachweisen (siehe Abbildung 20). Bei der Rasse Dt. Fleckvieh war der Score MIN2AT mit p = 0,0502 nahe der Signifikanzgrenze. Alle anderen p-Werte lagen zwischen 0,1245 (SCWGWT bei FV) und 0,8907 (SCAST bei DA).



**Abbildung 20:** Gegenüberstellung der Allelfrequenzen des Nukleotidaustausches im *SERT* bezüglich der Extremwerte der vergebenen Verhaltensscores (1 = ruhig und 5 = extrem nervös/aufgeregt) für die Kälber der Rassen Dt. Angus und Dt. Fleckvieh unter Angabe der Signifikanzen und der Anzahl (n) Kälber der jeweiligen Klassen.

n.s. = nicht signifikant

<sup>\* =</sup> signifikant bei einer Irrtumswahrscheinlichkeit von 5% = p<0,05

## 4.2.16 Einfluss des Nukleotidaustausches im *SERT* auf Verhaltensscores mittels Varianzanalyse

Die LSQ-Mittelwerte und Standardfehler der Verhaltensscores unter Einfluss des Genotyps im SERT sind in Tabelle 30 aufgeführt. Eine Beeinflussung der Mittelwerte der Scores lässt sich nur für MIN2AT bei Dt. Fleckvieh mit einer Erhöhung des Scores bei Vorliegen von Allel G vermuten und ist mit p = 0.0131 als signifikant abzusichern. Für alle anderen Scores konnten keine signifikanten Effekte nachgewiesen werden (siehe Tabelle 31).

**Tabelle 30:** LSQ-Mittelwerte und Standardfehler (in Klammern) der Verhaltensscores für den Effekt des Genotyps im *SERT* (Intron 13) bei den Rassen Dt. Angus und Dt. Fleckvieh.

	MIN2AT		SCEI	NWT	SCWGWT		SCAST	
	DA	FV	DA	FV	DA	FV	DA	FV
4.4	1,90	1,79	1,72	1,79	2,44	2,61	2,27	2,30
AA	(0,056)	(0,124)	(0,101)	(0,116)	(0,122)	(0,157)	(0,088)	(0,152)
GA	2,03	1,94	1,66	1,71	2,45	2,56	2,19	2,44
	(0,056)	(0,085)	(0,101)	(0,078)	(0,121)	(0,120)	(0,088)	(0,125)
GG	1,87	2,19	1,67	1,73	2,28	2,57	2,20	2,40
	(0,128)	(0,104)	(0,148)	(0,096)	(0,171)	(0,138)	(0,134)	(0,137)

**Tabelle 31:** Signifikanzniveau des Einflusses des Genotyps im *SERT* auf die Verhaltensscores unter Berücksichtung der in 4.2.1 genannten Einflussfaktoren.

	Rasse	MIN2AT	SCEINWT	SCWGWT	SCAST			
Genotyp SERT	DA	n.s.	n.s.	n.s.	n.s.			
Genotyp SEKT	FV	*	n.s.	n.s.	n.s.			
* 1 . * * * * * * * * * * * * * * * * *								

n.s. = nicht signifikant

## 4.2.17 Analyse der Mikrosatelliten auf BTA1

Für *BMS1928* wurden die Typisierungsergebnisse für 930 Kälber, das entspricht 96% aller Kälber, ermittelt. Bei *DIK634* wurden 956 Kälber (99%) und bei *BMS574* 944 Kälber (98%) typisiert. Für die Mikrosatelliten *BMS4020* und *DIK4957* konnten jeweils alle 962 Kälber typisiert werden.

Bei den fünf untersuchten Mikrosatelliten zeigten sich bei den Kälbern beider Rassen verschiedene Allele in unterschiedlichen prozentualen Häufigkeiten (siehe Tabelle 32). Dies zeigt sich besonders bei dem Allel 145 von *BMS1928* sowie Allel 234 von *DIK634*, die beide bei Dt. Fleckvieh nicht vorkommen und bei Dt. Angus mit 15,7% bzw. 12,48%. Ähnliches zeigt sich bei Allel 181 von *BMS1928*, welches bei Dt. Fleckvieh mit weniger als 1% vorliegt und bei Dt. Angus mit 10,21%. Umgekehrt verhalten sich die Allelfrequenzen bei Allel 163 von *BMS1928* und Allel 119 bei *BMS4020*. Diese Allele kommen bei FV 10fach (Allel 163, *BMS1928*) bzw. 24fach (Allel 119, *BMS4020*) häufiger als bei DA vor.

<sup>\* =</sup> signifikant bei einer Irrtumswahrscheinlichkeit von 5% = p<0,05

Für BMS1928 zeigt sich bei DA eine Abweichung vom Hardy-Weinberg-Gleichgewicht (p = 0,025) und bei FV weicht BMS4020 mit p = 0,004 ab. Bei den anderen Mikrosatelliten befinden sich die Populationen im HWG.

Das Allel mit dem jeweils höchsten prozentualen Anteil wurde als Populationsstandard postuliert, die bei beiden Rassen identisch sind: für *BMS1928* das Allel 161, für *DIK634* das Allel 230, für *BMS574* das Allel 149, für *BMS4020* das Allel 121 und für *DIK4957* das Allel 186.

**Tabelle 32:** Prozentuale Häufigkeiten der Mikrosatellitenallele von *BMS1928*, *DIK634*, *BMS574*, *BMS4020* und *DIK4957* auf BTA1 für die beiden Rassen und die jeweiligen Standardallele.

		Prozentuale Häufig	keit bei der Rasse	
Mikrosatellit	Allel	DA	FV	
	143	0,77	0	
	145	15,70	0	
	151	1,16	0,24	
	153	0	0,85	
	155	0,29	0	
	157	5,11	0,24	
	159	8,19	1,22	
	161	48,75	40,88	Standardallel
	163	2,89	29,08	
BMS1928	165	0,10	0,97	
	167	2,22	13,63	
	169	1,06	11,44	
	171	0	0,24	
	173	0	0,24	
	175	0,19	0	
	177	0,29	0	
	179	0,10	0	
	181	10,21	0,85	
	183	2,99	0,12	
	226	0,09	0	
DIVICA	228	16,73	3,37	
DIK634	230	70,70	96,63	Standardallel
	234	12,48	0	
	133	0,19	0	
	143	7,72	11,02	
	145	2,07	0	
D1 404 F 4	147	22,69	11,14	
BMS574	149	29,66	58,96	Standardallel
	151	8,10	9,44	
	153	29,38	9,44	
	155	0,19	0	
	119	0,83	20,74	
BMS4020	121	99,17	79,26	Standardallel
	184	0,09	0	Startatratri
	186	84,86	73,38	Standardallel
DIK4957	188	14,68	25,90	Standardarior
	190	0,37	0,72	
	170	0,57	0,72	

# 4.2.17.1 Varianzanalyse des Einflusses der Allele der Mikrosatelliten auf BTA1 auf die Verhaltensscores

Bei dieser Analyse zeigten sich insgesamt nur drei Allele von zwei Mikrosatelliten mit einem Einfluss auf die untersuchten Merkmale, alle anderen hatten keinen signifikanten Effekt.

Das Allel 169 des Mikrosatelliten *BMS1928* hatte bei den Tieren der Rasse Dt. Fleckvieh einen signifikanten Einfluss auf den Score während des Wiegens (SCWGWT).

Der Einfluss des Allels 153 des Mikrosatelliten *BMS574* lag sowohl für den Score SCWGWT bei der Rasse Dt. Angus als auch für den vom Handler vergebenen Score des Separier- und Rückhaltetestes (SCAST) bei der Rasse Dt. Fleckvieh nahe der Signifikanzgrenze von 5% (siehe Tabelle 33).

**Tabelle 33:** Signifikanzniveau der in der Varianzanalyse gegen das Standardallel untersuchten Substitutionseffekte der Allele mit >5% prozentualer Häufigkeit der Mikrosatelliten auf BTA1.

		MIN	I2AT	SCEI	NWT	SCW	GWT	SC	AST
	Allel	DA	FV	DA	FV	DA	FV	DA	FV
	145	n.s.	-	n.s.	-	n.s.	-	n.s.	-
	157	n.s.	-	n.s.	-	n.s.	-	n.s.	-
	159	n.s.	-	n.s.	-	n.s.	-	n.s.	-
BMS1928	163	1	n.s.	-	n.s.	-	n.s.	-	n.s.
	167	1	n.s.	-	n.s.	-	n.s.		n.s.
	169	-	n.s.	1	n.s.	-	0,0099*	1	n.s.
	183	n.s.	-	n.s.	-	n.s.	-	n.s.	-
DIK634	228	n.s.	n.s.	n.s.	n.s.	n.s.	n.s.	n.s.	n.s.
DIK034	234	n.s.	-	n.s.	-	n.s.	-	n.s.	-
	143	n.s.	n.s.	n.s.	n.s.	n.s.	n.s.	n.s.	n.s.
BMS574	147	n.s.	n.s.	n.s.	n.s.	n.s.	n.s.	n.s.	n.s.
BM33/4	151	n.s.	n.s.	n.s.	n.s.	n.s.	n.s.	n.s.	n.s.
	153	n.s.	n.s.	n.s.	n.s.	0,0127 <sup>a</sup>	n.s.	n.s.	0,0128 <sup>a</sup>
BMS4020	119	n.s.	n.s.	n.s.	n.s.	n.s.	n.s.	n.s.	n.s.
DIK4957	188	n.s.	n.s.	n.s.	n.s.	n.s.	n.s.	n.s.	n.s.

<sup>- =</sup> Allele in dieser Rasse mit <5 % prozentualer Häufigkeit und deswegen nicht separat berücksichtigt

n.s. = nicht signifikant nach Bonferroni-Korrektur (0,05/Anzahl getesteter Allele)

<sup>\* =</sup> signifikant bei einem Signifikanzniveau von 5% nach Bonferroni-Korrektur (0.05/3 = 0.017)

a = nahe Signifikanzgrenze von 5% nach Bonferroni-Korrektur (0.05/4 = 0.0125)

Die Allelsubstitutionseffekte mit Standardfehlern für diese Allele auf die entsprechenden Merkmale sind in Tabelle 34 aufgeführt.

**Tabelle 34:** Allelsubstitutionseffekte mit Standardfehlern der Allele nahe der Signifikanzgrenze mit dem entsprechenden Merkmal und der Rasse.

Rasse	Marker	Allel	Merkmal	Allelsubstitutionseffekt	Standardfehler
FV	BMS1928	169	SCWGWT	- 0,3013	0,1162
FV	BMS574	153	SCAST	0,2751	0,1106
DA	BMS574	153	SCWGWT	0,2179	0,08717

#### 4.2.18 Analyse der Mikrosatelliten auf BTA29

Die Typisierbarkeit der Mikrosatelliten auf BTA29 lag zwischen 88 und 99% aller analysierten Kälber (siehe Tabelle 35). Das Vorkommen und die Häufigkeiten der Allele unterschieden sich zwischen beiden Rassen. Bei den Mikrosatelliten *BMS1787*, *MNB-127*, *MNB-109*, *OarHH22*, *BMC1206*, *ILSTS081*, *BMS1948* und *MNB-101* differierten auch die in jeder Rasse am häufigsten vorkommenden Allele (siehe Tabelle 35).

Nur einer der eingesetzten Bullen war in allen zuerst analysierten zehn Markern heterozygot, die anderen Bullen hatten zwischen fünf und acht heterozygote Marker. Bei den vier später typisierten Mikrosatelliten gab es zwei Bullen ohne weitere heterozygote Marker und die anderen Bullen hatten zwischen einem und drei Marker heterozygot. Der Mikrosatellit DIK5057 fiel durch das primäre homozygote Vorliegen von Allel 226 auf. Nur ein Bulle war bei diesem Marker heterozygot, was sich auch in den Allelfrequenzen der Kälber widerspiegelt (siehe Tabelle 35).

Das Hardy-Weinberg-Gleichgewicht lag bei einem Großteil der Mikrosatelliten bei den Kälbern beider Rassen vor. Abweichungen hiervon zeigten sich bei Deutsch Angus bei BMS764 (p = 0,006) und bei ILSTS081 (p = 0,0001). Bei Deutsch Fleckvieh konnten für BMS1787 (p = 0,016), MNB-109 (p = 0,005), BMS1948 (p = 0,026), DIK4499 (p = 0,019) und DIK5057 (p = 0,029) Abweichungen von dem Hardy-Weinberg-Gleichgewicht detektiert werden.

**Tabelle 35:** Prozentuale Häufigkeiten der Mikrosatellitenallele von BTA29 innerhalb der beiden Rassen mit prozentualer Angabe der erfolgreichen Typisierungen für jeden Mikrosatellit über beide Rassen hinweg.

Mikrosatellit		Prozentuale Häufigkeit bei der Rasse		Mikrosatellit		Prozentuale Häufigkei	
(erfolgreiche	Allel			(erfolgreiche	Allel	bei der Ra	
Typisierungen)		DA	FV	Typisierungen)		DA	FV
	146	0	0,82		217	0	1,69
	150	0	1,50	MNB-127	219	9,96	23,12
	152	15,59	4,63	(99%)	227	61,15	27,00
	154	5,57	2,32	(****)	229	25,23	43,22
	156	0,71	4,22		231	3,38	4,60
	158	2,73	13,62		233	0,27	0,36
D1 (010##	160	45,65	48,50		164	0	0,36
BMS1857	162	6,78	6,68		166	61,60	71,58
(88%)	164	20,24	5,18		168	0,09	0
	166	0,51	5,45	MNB-145	172	20,99	11,51
	168	0,10	0,68	(99%)	174	8,84	12,59
	170	0,10	0,68		176	0,83	0,72
	172	0,40	0,14		178	7,37	3,24
	176	0,20	4,50		180	0,28	0
	178	1,32	1,09		178	20,82	30,54
	180	0,10	0		180	0,19	0
	096	18,70	5,34		188	3,25	4,80
	100	19,26	19,05		190	2,70	28,82
	102	5,28	0,61	MNB-109	192	44,80	21,80
BMS764	104	22,13	15,17	(97%)	194	3,07	0
(98%)	106	26,57	46,48		196	0,09	3,20
	108	6,20	7,16		198	18,22	0,12
	110	1,85	4,85		200	6,41	10,71
	112	0	1,33		208	0,46	0
	148	0	4,52		105	6,03	0,13
	156	0,66	15,20		107	0,09	0
	158	4,14	14,32	,	109	0,38	0
	160	50,56	17,96	OarHH22	111	7,34	10,76
BMS1787	162	15,98	10,93	(94%)	113	33,71	49,48
(96%)	164	2,91	30,40		115	49,15	30,58
(, , , ,	166	6,02	0,50		119	0,09	0,26
	168	14,76	1,01		121	3,2	8,79
	170	0,28	4,27		126	0,55	0,98
	172	4,51	0,13		128	6,15	3,66
	174	0,19	0,75	BMC1206	130	28,81	55,24
	135	0	0,24	(98%)	132	62,75	35,98
	137	0	0,48	( )	134	0,55	0
	139	62,11	76,27		136	1,19	4,02
	141	12,75	0,24		138	0	0,12
	145	0,28	0		090	0	0,12
ILSTS089	147	22,75	11,26		094	0	0,12
(99%)	149	0,09	4,72		098	11,24	17,73
,	151	0,83	1,21		100	17,33	38,79
	153	0	1,82	ILSTS081	102	18,48	6,16
	155	0	3,75	(96%)	104	36,95	27,96
	157	0,37	0	, ,	106	5,43	6,77
	159	0,18	0		108	8,67	0,12
	165	0,64	0		110	1,71	0 27
D1461040	099	4,25	13,91		112	0	0,37
BMS1948	111	0,29	1,97		118	0 16	1,35
(93%)	115	20,66	32,41	MNB-101	149	0,46	0,62
	117	1,83	4,07		151	66,61	30,79

Fortsetzung Tal	belle 35	<b>i:</b>							
Mikrosatellit		Prozentuale H	äufigkeit	Mikrosatellit		Prozentuale Häufigkeit			
(erfolgreiche	Allel	bei der Rasse		(erfolgreiche	Allel	bei der Rasse			
Typisierungen)		DA FV		Typisierungen)		DA	FV		
	119	28,09	13,39		157	0	0,99		
BMS1948	121	1,06	13,39		159	0	0,12		
(93%)	123	43,24	20,21	MNB-101	161	19,19	66,26		
	125	0,58	0,66	(98%)	163	1,85	0,74		
	207	2,06	22,83		165	11,62	0,37		
DIV 1400	209	70,65	42,47		167	0,28	0,12		
<i>DIK4499</i> (96%)	211	21,03	34,44	DIK5057	226	99,90	94,42		
	213	6,26	0	(93%)	228	0,10	5,45		
	215	0	0.26	(2370)	236	0	0.13		

#### 4.2.19 Kartierung des *DRD4*-Gens auf BTA29

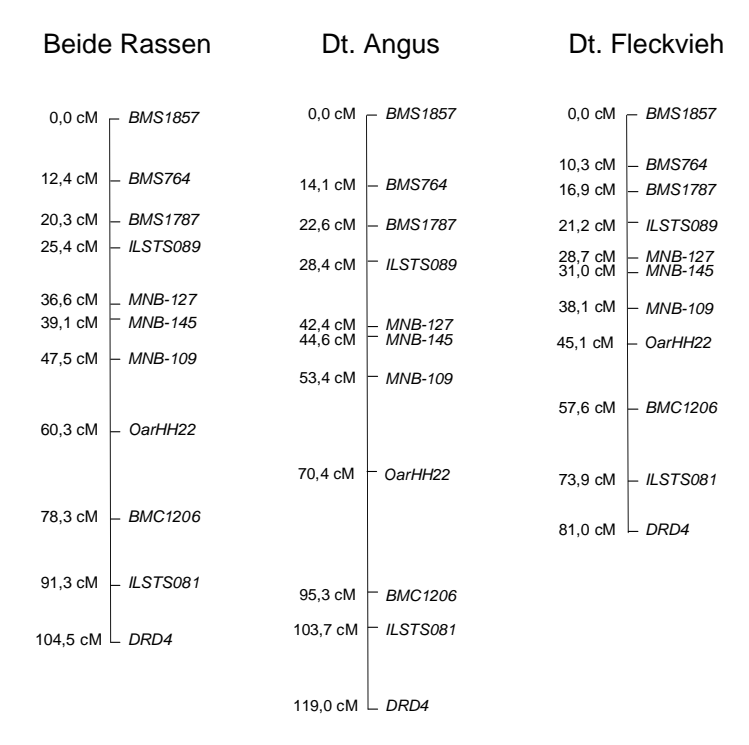
In die genetische Kartierung des *DRD4* wurden die Typisierungen aller Kälber mit Müttern und Vätern der ersten zehn Mikrosatelliten auf BTA29 (29-1 bis 29-10) und des Guanin-Thymin-Austausches im *DRD4* einbezogen. Die mithilfe dieser Mikrosatelliten erechnete Lokalisation wurde durch die weiteren Mikrosatelliten (29-11 bis 29-14) in einem anschließenden Arbeitsschritt näher beschrieben.

Wie Tabelle 36 zu entnehmen ist, differierte der Anteil informativer Meiosen aller Mikrosatelliten auf BTA29 zwischen 3 und 927. Der Polymorphic Information Content (PIC) der Mikrosatelliten variierte bei DA von 0,002 (*DIK5057*) bis 0,777 (*ILSTS081*) und bei FV von 0,100 (*DIK5057*) bis 0,792 (*BMS1787*). Aufgrund des geringen PIC wurde der Marker *DIK5057* in den weiteren Analysen nicht berücksichtigt.

**Tabelle 36:** Anteil der informativen Meiosen der Mikrosatelliten auf BTA29 bei beiden Rassen und der Polymorphic Information Content (PIC) der einzelnen Marker.

Lfd. Nr.	Mikrosatellit	Dt. Angi	us	Dt. Fleckvieh	
LIU. NI.	Wilkiosateiiit	Informative Meiosen	PIC	Informative Meiosen	PIC
29-1	BMS1857	660	0,684	501	0,711
29-2	BMS764	927	0,772	525	0,681
29-3	BMS1787	613	0,689	621	0,792
29-4	ILSTS089	540	0,492	266	0,382
29-5	MNB-127	714	0,494	530	0,628
29-6	MNB-145	606	0,518	359	0,425
29-7	MNB-109	597	0,679	506	0,723
29-8	OarHH22	886	0,635	341	0,583
29-9	BMC1206	372	0,520	419	0,481
29-10	ILSTS081	789	0,777	653	0,689
29-11	BMS1948	543	0,690	525	0,769
29-12	DIK4499	346	0,403	376	0,575
29-13	DIK5057	3	0,002	64	0,100
29-14	MNB-101	373	0,506	392	0,383

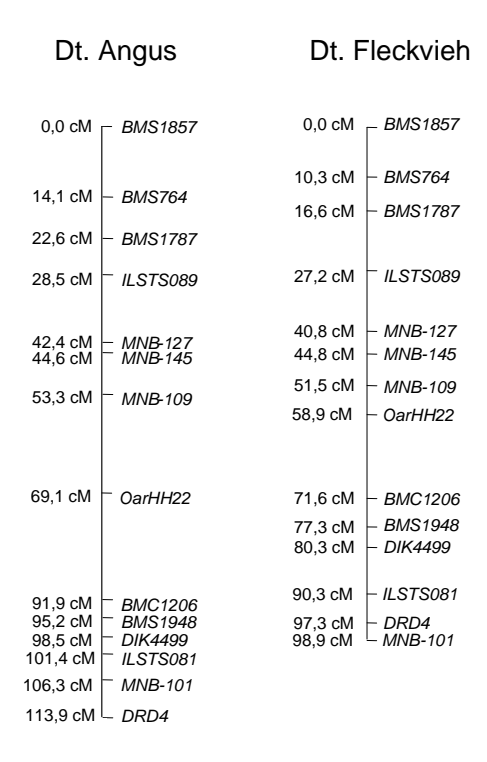
Mit Hilfe der zehn Mikrosatelliten 29-1 bis 29-10 konnte *DRD4* in der Karte über beide Rassen und in jeder Rasse am distalen Ende von BTA29 kartiert werden. (siehe Abbildung 21).



**Abbildung 21:** Kartierung von *DRD4* mittels zehn Mikrosatellitenmarkern auf BTA29 (29-1 – 29-10) in beiden Rassen getrennt und über beide Rassen hinweg. Die Lokalisationsangaben sind in centiMorgan (cM) auf der jeweils linken Seite angegeben, davon ausgehend, dass *BMS1857* der proximalste Marker bei 0 cM ist und die Markernamen sind auf der jeweils rechten Seite angeschrieben.

In der weiteren Analyse wurde der distale Abschnitt von Chromosom 29 mit insgesamt fünf Mikrosatelliten für die detailiertere *DRD4*-Lokalisationsbeschreibung untersucht. Dies waren *BMC1206* (29-9), *BMS1948* (29-11), *DIK4499* (29-12), *ILSTS081* (29-10) und *MNB-101* (29-14), die auch in dieser Reihenfolge auf BTA29 angeordnet sind. Mittels der Funktion *all* wurde *DRD4* bei der Rasse Dt. Angus hinter *MNB-101* angeordnet. Bei der Rasse Dt. Fleckvieh dagegen vor *MNB-101*. Entsprechend konnte über beide Rassen hinweg keine exakte Lokalisation berechnet werden und die log10-likelihood-Werte lagen sehr dicht beieinander. Für die Lokalisation vor *MNB-101* ergab sich ein Wert von –298,907 und für die

Lokalisation hinter *MNB-101* ein Wert von –296,832. Die danach berechneten Karten für das gesamte Chromosom mit allen 14 Markern wurden dementsprechend nur innerhalb der Rassen durchgeführt und sind in Abbildung 22 dargestellt. Aufgrund des insgesamt höheren Informationsgehaltes des deutlich vergrößerten Datenmaterials im Vergleich zu den Karten mit zehn Markern sind geringgradige Änderungen in den Gesamtkartenlängen und in den Abständen einiger Marker zu erkennen.



**Abbildung 22:** Kartierung von *DRD4* mittels 14 Mikrosatellitenmarkern auf BTA29 (29-1 – 29-14) mit einer detailierteren Auftrennung des distalen Abschnittes in beiden Rassen getrennt. Die Lokalisationsangaben sind in centiMorgan (cM) auf der jeweils linken Seite angegeben, davon ausgehend, dass *BMS1857* der proximalste Marker bei 0 cM ist und die Markernamen sind auf der jeweils rechten Seite angeschrieben.

### 4.2.20 QTL-Analysen für Verhaltensscores auf BTA1 und BTA29

Die QTL-Analysen auf BTA1 (BMS1928, DIK634, BMS574, BMS4020, DIK4957) für die vier Verhaltensscores ergaben bei Deutsch Fleckvieh als Signifikanzgrenze mit einer Irrtumswahrscheinlichkeit von 5 % geltende F-Werte zwischen 1,95 und 2,41. Bei Deutsch Angus lagen diese Grenzwerte zwischen 2,29 und 2,41. In keiner der durchgeführten Analysen erreichte der ermittelte F-Wert für eine QTL-Position den Grenzwert und somit konnten auf BTA1 in beiden Rassen keine QTL für die Verhaltensscores detektiert werden. Dennoch wurden zur vollständigen Analyse die Berechnungen auch innerhalb der 14 einzelnen Familien durchgeführt. Auch hier konnte kein QTL identifiziert werden. Eine graphische Darstellung der errechneten F-Werte der einzelnen Positionen von BTA1 für die vier Scores ist in Abbildung 23 bei Dt. Angus und in Abbildung 24 bei Dt. Fleckvieh dargestellt. Zur besseren Übersichtlichkeit wurde als Signifikanzgrenze von p = 0,05 der Durchschnittswert aller vier F-Werte angegeben.

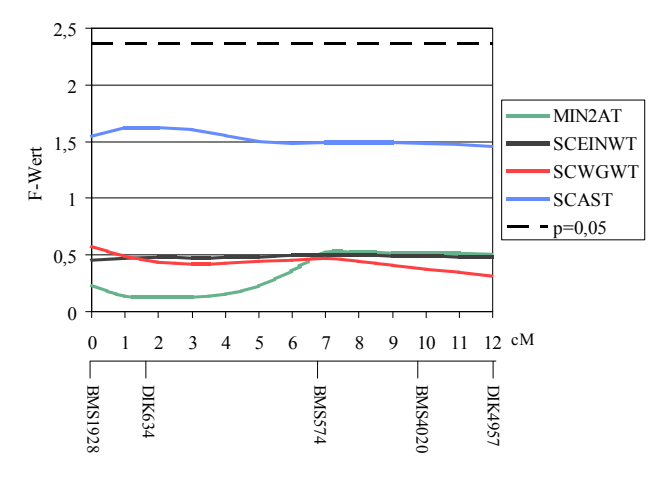
Für die QTL-Analysen auf BTA29 mit den zehn Mikrosatelliten (29-1 bis 29-10) ergaben sich als Signifikanzgrenze mit p = 0,05 F-Werte von 2,56 bis 2,80 bei Deutsch Angus und 2,30 bis 2,86 bei Deutsch Fleckvieh. Bei Durchführung der Analyse in den 14 Halbgeschwisterfamilien variierten die als signifikant geltenden F-Werte zwischen 5,08 und 12,78. Bei der Analyse innerhalb der einzelnen Familien konnten keine signifikanten QTL nachgewiesen werden.

Bei der QTL-Analyse auf BTA29 innerhalb der Rasse Dt. Angus wurde für das Merkmal SCEINWT des Wiegetestes die Signifikanzgrenze von 2,56 bei 14 cM (entspricht der Lokalisation von *BMS764*) mit einem F-Wert von 2,54 fast erreicht (Abbildung 25). Das Konfidenzintervall (CI95%) für diese Lokalisation ist 0 – 95 cM.

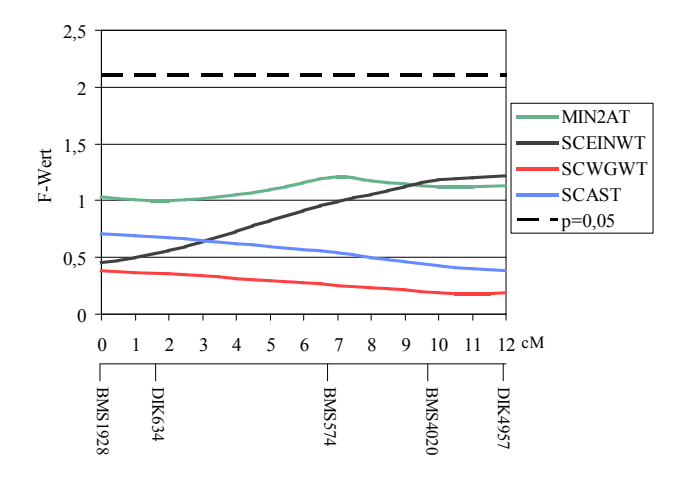
Bei FV konnte ebenfalls bei BMS764 (in der FV-Karte bei 10 cM) bei dem Merkmal SCWGWT der höchste F-Werte (F = 2,22) errechnet werden, der jedoch deutlicher unterhalb der Signifikanzgrenze (F = 2,33) blieb. Hier ergibt sich ein Cl95% von 0 – 74 cM. Am distalen Ende der Karte, bei ca 74 cM, steigen die F-Werte desselben Merkmales auch wieder auf 2,16 an (Abbildung 26).

Die errechneten F-Werte für die einzelnen Positionen von BTA29 sind in Abbildung 25 bei DA und Abbildung 26 bei FV als Diagramme beispielhaft für die Berechnung innerhalb der beiden Rassen dargestellt. In Abbildung 25 wurde als Signifikanzgrenze der als signifikant geltende F-Wert des Scores SCEINWT für den dort detektierten putativen QTL eingezeichnet. Bei FV wurde in Abbildung 26 aufgrund nicht nachweisbarer QTL und zur besseren Übersichtlichkeit der Durchschnittswert der als signifikant geltenden F-Werte angegeben.

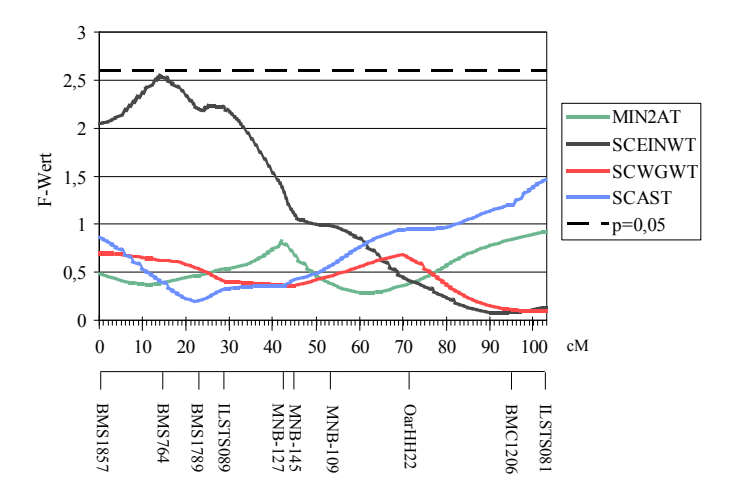
Die Signifikanzen der in das Model eingeflossenen Faktoren sind in Kapitel 4.2.1 dargestellt.



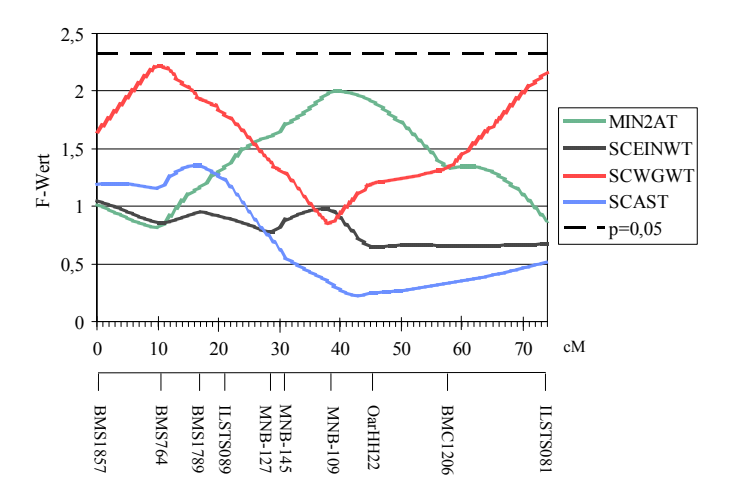
**Abbildung 23:** Graphische Darstellung der Ergebnisse der QTL-Analyse der Mikrosatelliten auf BTA1 mit relativen Lokalisationsangaben auf der X-Achse und Angabe des erreichten F-Wertes auf der Y-Achse für jeden Mikrosatelliten und die Verhaltensscores MIN2AT, SCEINWT, SCWGWT und SCAST sowie Kennzeichnung des 5%-Signifikanzniveaus für die Rasse Dt. Angus.



**Abbildung 24:** Graphische Darstellung der Ergebnisse der QTL-Analyse der Mikrosatelliten auf BTA1 mit relativen Lokalisationsangaben auf der X-Achse und Angabe des erreichten F-Wertes auf der Y-Achse für jeden Mikrosatelliten und die Verhaltensscores MIN2AT, SCEINWT, SCWGWT und SCAST sowie Kennzeichnung des 5%-Signifikanzniveaus für die Rasse Dt. Fleckvieh.



**Abbildung 25:** Graphische Darstellung der Ergebnisse der QTL-Analyse der Mikrosatelliten 29-1 bis 29-10 auf BTA29 mit relativen Lokalisationsangaben der eigenen Karte (Abbildung 21) auf der X-Achse und Angabe des erreichten F-Wertes auf der Y-Achse für jeden Mikrosatelliten und die Verhaltensscores MIN2AT, SCEINWT, SCWGWT und SCAST sowie Kennzeichnung des 5%-Signifikanzniveaus für die Rasse Dt. Angus.



**Abbildung 26:** Graphische Darstellung der Ergebnisse der QTL-Analyse der Mikrosatelliten auf BTA29 mit relativen Lokalisationsangaben der eigenen Karte (Abbildung 21) auf der X-Achse und Angabe des erreichten F-Wertes auf der Y-Achse für jeden Mikrosatelliten und die Verhaltensscores MIN2AT, SCEINWT, SCWGWT und SCAST sowie Kennzeichnung des 5%-Signifikanzniveaus für die Rasse Dt. Fleckvieh.

#### 5 Diskussion

Zur molekulargenetischen Charakterisierung des Verhaltens von Kälbern wurden in dieser Arbeit zwei verschiedene Ansätze parallel verfolgt. Zum Einen die Analyse funktioneller Kandidatengene hinsichtlich einzelner Nukleotidaustausche und zum anderen die Analyse von Mikrosatelliten mit Assoziationsstudien und QTL-Analysen. Zusätzlich wurde das bis dato beim Rind nicht kartierte Gen des Dopaminrezeptors D4 genetisch kartiert.

Die Auswahl geeigneter Kandidatengene für Verhaltensmerkmale bei Kälbern gestaltete sich schwierig, da das Verhalten ein multifaktorielles Merkmal darstellt (Andersson und Georges 2004) und sowohl durch Gene und Umweltfaktoren als auch verschiedene Interaktionen der Faktoren beeinflusst wird (Mormède 2005). Beim Menschen wird vermutet, dass ca. 250 Gene in irgendeiner Weise eine Auswirkung auf Verhalten haben (Fuchs 2003).Bei Tieren gibt es keine diesbezüglichen Angaben.

Das Verhalten bzw. das dem Verhalten zugrunde liegende Temperament bei Tieren hat eine genetische Komponente bzw. ist rasseabhängig (Gauly et al. 2001; Niimi et al. 1999), was auch in den vorhergehenden und hier zugrundeliegenden Arbeiten im Rahmen der Testdurchführungen festgestellt wurde (Mathiak 2002; Urban 2007). In diesen Arbeiten wurden auch Geschlechtsunterschiede im Verhalten nachgewiesen, die auch bei Pferden bestätigt sind (Oki et al. 2007). Aber auch Umwelteinflüsse und Erfahrungen beeinflussen das Verhalten stark (Caspi et al. 2002; Newman et al. 2005). Beim Menschen konnte nachgewiesen werden, dass das aus negativen Erfahrungen resultierende Verhalten abhängig davon ist, in welchem Alter diese Erfahrungen gemacht wurden (Caspi et al. 2002). Dies ist mit großer Wahrscheinlichkeit beim Tier ähnlich und bei Rindern auch für reguläre Verhaltensweisen (nicht unbedingt negative Erfahrungen) nachgewiesen (Becker und Lobato 1997; Boissy und Bouissou 1988). Bei vielen Verhaltensweisen von Tieren lässt sich auch nicht genau sagen, aus welcher Grundintention oder Motivation heraus diese geschehen (Grandin 2005), was die Auswahl der physiologischen und biochemischen Vorgänge zur Eingrenzung der Kandidatengene in dieser Arbeit erschwerte. Ein klassisches Beispiel dafür ist der beißende Hund, der sowohl aus Aggression als auch aus Dominanzgehabe oder aus Angst heraus beißen kann (Zimen 1997). Das augenscheinliche Verhalten ist in jedem Falle dasselbe, aber mit unterschiedlicher Motivation und verschiedenen biochemischen Vorgängen im Hintergrund. Auch ist die objektive Beurteilung von Verhalten und das Vergeben von neutralen Scores oft nicht möglich, da jeder Handler andere Erfahrungen und andere Grenzen beim Umgang mit Tieren hat (Andersson 2001). Die in der Literatur primär auffindbaren

Verhaltensstudien beschäftigen sich in der Regel mit Labortieren und klar strukturierten Aufgaben bzw. eindeutigen Testsituationen für die Tiere (Flint 2003; Mormède et al. 2002). Bei anderen Spezies wie Pferd (Oki et al. 2007) und Hund (Niimi et al. 2001; Niimi et al. 1999) erfolgt die Verhaltenserfassung durch Mithilfe der Besitzer und Trainer, wobei dann auch wieder eine gewisse Subjektivität eine Rolle spielt. Für Rinder in der Mutterkuhhaltung gibt es diesbezüglich nicht sehr viele aktuelle Untersuchungen. Allerdings wurden für Kälber verschiedene Verhaltenstests mit Scorevergabe durch den Handler etabliert (Gauly et al. 2002; Gauly et al. 2001; Mathiak 2002; Urban 2007), deren Ergebnisse auch in dieser Arbeit genutzt wurden. Allerdings konnte in diesen Studien nicht geklärt werden, aus welcher Motivation heraus sich Kälber wie verhalten. Allerdings zeigten sich Korrelationen im höheren Bereich (0,49 bis 0,89) zwischen den Scores der Tests (Urban 2007), obwohl die verschiedenen Tests unterschiedliche Situationen simulieren. Diese in der Forschung mit Rindern noch nicht geklärten Aspekte erschwerten die für diese Arbeit notwendige Auswahl funktioneller Kandidatengene. Aufgrund dessen wurden die Gene anhand der humanen Genforschung ausgewählt. Es wurden Gene ausgewählt, die mit Erkrankungen, die Verhaltensänderungen auslösen und/oder mit Ergebnissen psychologischer Verhaltenstests in Verbindung stehen. Dies waren das Gen des Cholecystokininrezeptors B (CCKBR), des Dopaminrezeptors D4 (DRD4),der Monoaminoxidase (MAOA)Serotonintransporters (SERT). Jedes der vier Gene spielt in einer der humanen Temperamentdimensionen (Cloninger 1987; Keltikangas-Jarvinen et al. 2003) eine Rolle, um die gesamte Bandbreite abzudecken und eine funktionell sinnvolle Grundlage zu schaffen.

In den vier Kandidatengenen wurden ausgewählte Exon- und Intron- sowie UTR-Abschnitte analysiert, die aufgrund der Literatur bei andern Spezies vielversprechend waren. Die Analyse hinsichtlich des Auftretens von Polymorphismen geschah mittels Sequenzanalyse.

Die Darstellung der identifizierten Polymorphismen im Tiermaterial erfolgte mit zwei verschiedenen Methoden. Zum Einen die häufig angewandte PCR-RFLP-Analyse, eine gängige und relativ schnell durchführbare Methode (Saiki *et al.* 1985), die aus zwei Arbeitsschritten besteht. Als erstes die Durchführung der PCR mit Kontrolle durch Agarosegelelektrophorese und daran anschließend die Inkubation der PCR mit einem Enzym und erneute Agarosegelelektrophorese der Fragmente mit Genotypisierung anhand dieser. Zum Anderen wurden Tetra-Primer ARMS-PCR-Analysen entwickelt. Diese neuere Abwandlung der PCR und bisher seltener angewandte Methode (Sharma *et al.* 2006; Ye *et al.* 2001) stellt sich noch effizienter als die PCR-RFLP-Analyse dar, da nur ein Arbeitsschritt

nötig ist und mit der Agarosegelelektrophorese der PCR sofort die Genotypsierung möglich ist, was diese Methode auch kostengünstiger macht. Zudem ist es eine schnellere Methode, da die Inkubationszeit des Enzymes wegfällt. Allerdings kann die Etablierungsphase einer solchen PCR, in der sich mit vier Primern insgesamt drei Paare bilden können, langwieriger sein als die einer regulären PCR mit nur einem Primerpaar. Es konnte jedoch in dieser Arbeit an zwei Beispielen gezeigt werden, dass die Etablierung einer solchen Analyse durchaus möglich ist und somit auch schnell verfügbare Typisierungen der Tiere vorlagen. Aufgrund des besseren Kosten- und Zeitfaktors sollte diese Methode durchaus öfter angewandt werden. In dieser Arbeit konnte für zwei Nukleotidaustausche eine Tetra-Primer ARMS-PCR für die routinemässige Typisierung etabliert werden und die drei weiteren Nukleotidaustausche wurden mittels PCR-RFLP typisiert.

Das Gen des CCKBR ist beim Rind bisher sehr wenig untersucht. In der Genbank finden sich nur zwei mRNA-Sequenzen (Genbank-Nr. BC112800 und NM\_174262) und 21 SNPs ohne weitere Beschreibung über das gesamte Gen verteilt. Im *CCKBR* wurden in humanen Studien in vielen verschiedenen Abschnitten Polymorphismen nachgewiesen, ohne dass einer besonders hervorgehoben wurde (Hattori *et al.* 2001). Aufgrund der bekannten Transkriptionsprodukte wurde in dieser Arbeit das Exon III bis Exon IV analysiert, da diese für insgesamt drei transmembranäre Domänen und einen Teil des intraplasmatischen Loops codieren. Zusätzlich erfolgte eine Analyse der 3'UTR, da zu dieser auch eine humane Untersuchung vorlag (Yamada *et al.* 2001) und die Genqequenz beim Rind eindeutig zuordbar war. So konnten in diesem Tiermaterial zwei neue SNPs mit Cytosin-Thymin-Austauschen dargestellt werden. Einer befindet sich an Position 131 in Intron 3 und ein weiterer an Position 457 der 3'UTR.

Die Amplifikation des *DRD4* beim Rind stellte sich aus bisher ungeklärten Gründen als sehr schwierig dar, was auch durch die geringe Anzahl der in der Genbank veröffentlichten Sequenzen (Genbank-Nr. AB069666 und AY263349) deutlich wird. Auch das Exon III, der im humanen *DRD4* am häufigsten untersuchte Bereich, welcher sogar in der bovinen Genbanksequenz AB069666 veröffentlicht ist, ließ sich nicht amplifizieren. In diese Versuche wurden auch DNA-Proben anderer Rinderrassen, um eventuelle Besonderheiten bei Dt. Angus und Dt. Fleckvieh auszuschließen, einbezogen. Die Ursachen für diese eigenen Fehlschläge sind bisher ungeklärt. In der SNP-Datenbank finden sich keinerlei Einträge anderer Arbeitsgruppen zum Rind und *DRD4*. Eventuell spielen hier in der Entwicklungs-

geschichte zurückliegende Robertson'sche Translokationen eine Rolle, da diese in den meisten Fällen BTA1 und BTA29 betreffen (Brem *et al.* 1991). Der hier identifizierte Nukleotidaustausch konnte auch nur über Sequenzvergleiche mit anderen Spezies (*Homo sapiens* und *Equus caballus*) und nicht mit *Bos taurus* zugeordnet werden (siehe Abbildung 2). Für die Zuordnung wurde im Rahmen dieser Arbeit eine genetische Kartierung des detektierten SNP durchgeführt und dieses *DRD4*-Fragment auf BTA29 lokalisiert.

Das bovine MAOA liegt in der Genbank mit zwei identischen mRNA Sequenzen (NM\_181014 und BC122682) vor und ist in der WGS lokalisiert (NW\_001508811). In der SNP-Datenbank des NCBI sind sieben Einträge vorhanden. Davon beschreiben fünf SNPs in Intron 1 und 3 und der 3'UTR und zwei Einträge beziehen sich auf SNPs im Exon XV. Einer dieser (rs41626734) ist der auch hier untersuchte. Allerdings wurde dieser im Rahmen der standardmäßigen Genomsequenzierung und nicht im Zusammenhang mit einem bestimmten Projekt identifiziert und durch das Human Genome Sequencing Center in die Datenbank eingestellt.

Für den bovinen Serotonintransporter ist die Situation eine andere, hier sind keine SNPs in der Datenbank zu finden und nur zwei mRNA-Sequenzen veröffentlicht (Genbank-Nr. AF119122 und NM\_174609), die allerdings aus derselben Arbeitsgruppe (Mortensen *et al.* 1999) stammen und identisch sind. Die eigene Analyse wurde aufgrund dessen über den Weg des Sequenzvergleiches zwischen humanen *SERT*-Sequenzen und Gesamtsequenz des Rindes durchgeführt. Aufgrund der Literatur ist der humane Promotorbereich der am vielversprechendste Abschnitt für die Analyse hinsichtlich Polymorphismen für Verhaltensmerkmale. Bei diesen Vergleichen zeigte sich eine Übereinstimmung des humanen Promotors mit Intron 13 des bovinen *SERT*, woraufhin dieser Abschnitt analysiert wurde. Da die tatsächliche Lokalisation des Promotors beim Rind unbekannt ist, aber die Lage im Intron 13 unwahrscheinlich erschien, wurde zusätzlich aus der 5'UTR ein Abschnitt analysiert, da sich beim regulären Genaufbau der Promotor vor der codierenden Region befinden würde (Geldermann 2005). Dieser Abschnitt stellte sich in unserem Tiermaterial aber monomorph dar

Zur Assoziationsanalyse wurden bei allen SNPs zunächst die Allelfrequenzen zwischen den Tieren mit den Extremwerten der vergebenen Scores mittels Chi<sup>2</sup>-Test verglichen. Die Verwendung der Extremwerte ist schon bei Darvasi und Soller (1994) beschrieben und diente dazu, eine mögliche Assoziation bei offensichtlich sich stark unterschiedlich verhaltenden

Tieren darzustellen. Dieser Vorteil der Gegenüberstellung der extremen Verhaltensweisen führt allerdings auch zu einer Reduktion der Tierzahlen, wie Tabelle 37 zu entnehmen ist. Dies kann eine verringerte Aussagefähigkeit nach sich ziehen.

Tabelle 37: In der Ch	hi <sup>2</sup> -Analyse berücksichtigte	e Tierzahlen der	jeweiligen	Extremwerte der
Scores.				

Score	Extreme		Dt. Angus		Dt. Fleckvieh
Score Extreme		n	% der Gesamtanzahl	n	% der Gesamtanzahl
MIN2AT	1	204	37	135	32
MIINZA I	4+5	66	12	45	11
SCEINWT	1,0	287	53	212	51
SCEINWI	2,5+3,0+4,0	150	28	122	29
SCWGWT	1	85	16	43	10
3CWGW1	4+5	56	10	63	15
SCAST	1	97	18	60	14
SCASI	4+5	42	7	45	11

Weiterhin stellt sich das Problem, dass in den Chi<sup>2</sup>-Test keinerlei weitere das Verhalten oder die Bewertung beeinflussenden Faktoren (zwei Handler in den vier Jahren) berücksichtigt werden können. Eine Beeinflussung des Verhaltens durch umweltbedingte Faktoren wie zum Beispiel Alter und damit verbundene Erfahrungen (Boissy und Bouissou 1988) sowie die Stabilisierung der Persönlichkeit (Visser et al. 2001) und genetischen Faktoren wie zum Beispiel die Rasse (Grandin 1997) ist allerdings bekannt. Dem Einflussfaktor Rasse wurde durch eine Auswertung innerhalb der beiden Rassen begegnet. Des Weiteren sind Geschlechtseinflüsse auf das Verhalten bekannt, wobei die weiblichen Kälber schwieriger zu handeln sind als männliche (Gauly et al. 2001). Da all diese Faktoren mit dem Chi<sup>2</sup>-Test nicht berücksichtigt werden können, dient dieser nur als erste Hilfestellung bzw. Hinweis auf mögliche Assoziationen. Zur endgültigen Auswertung mit Berücksichtigung aller Einflüsse wurden Varianzanalysen durchgeführt, in die die bekannten und über alle vier Jahrgänge erfassten Faktoren mit signifikanten Effekten (siehe Tabelle 16) einflossen. Dies waren das Geschlecht, das Jahr der Testdurchführung stellvertretend für den Handler, der Vater des Kalbes sowie das Alter zum Zeitpunkt des Testes. Das Jahr der Testdurchführung und der Handler sind statistisch nicht zu trennen und der festgestellte Jahreseffekt ist möglicherweise auf den Handler zurückzuführen.

Zwischen den Ergebnissen der beiden Analysen für jeden Polymorphismus, Chi<sup>2</sup>-Test und Varianzanalyse, ließen sich bezüglich auftretender Signifikanzen des Geneinflusses auf die Verhaltensscores Unterschiede nachweisen (siehe Tabelle 38). Allerdings ist im Vergleich der

unterschiedlichen Ergebnisse auch zu sehen, dass einige der als signifikant eingestuften Assoziationen nur sehr knapp unter der 5%-Signifikanzgrenze liegen, wie zum Beispiel der Einfluss des *CCKBR* (Intron 3) Polymorphismus auf den Score während des Wiegens (SCWGWT) bei Dt. Angus mit einem p-Wert von 0,0431 beim Chi²-Test. Umgekehrt befindet sich allerdings nur einer der nicht signifikanten Assoziationen in diesem Bereich, der p-Wert des Chi²-Testes bei Dt. Fleckvieh und dem *SERT* (Intron 13) Polymorphismus in Verbindung mit dem Score des Anbindetestes (MIN2AT) mit einem Wert von 0,0502. Diese knapp erreichten Signifikanzen können durchaus auch zufällig aufgetreten sein. Nur der *SERT* (Intron 13) Polymorphismus in Bezug auf MIN2AT bei Dt. Fleckvieh könnte als möglicher genetischer Einfluss gewertet werden, da dieser in beiden Analysen signifikant bzw. nahe der Signifikanzgrenze ist und sich bei den LSQ-Mittelwerte entsprechende Tendenzen erkennen lassen (siehe Tabelle 30). Allerdings befinden sich die Vergleichswerte bei Dt. Angus nicht nahe der 5%-Signifikanzgrenze (p = 0,1906 bei Varianzanalyse).

**Tabelle 38:** Vergleich der p-Werte der in einer der beiden Analysen (Chi<sup>2</sup>-Test und Varianzanalyse) signifikanten Assoziation für die Polymorphismen der Kandidatengene *CCKBR*, *DRD4* und *SERT* mit den entsprechenden Merkmalen in den jeweiligen Rassen.

Dalamamhianna	Dagga	Caara	Cl	ni²-Test	Varianzanalyse	
Polymorphismus	Rasse	Score	p-Wert	Signifikanz	p-Wert	Signifikanz
CCKBR (Intron 3)	DA	SCWGWT	0,0431	*	0,8359	n.s.
	FV	MIN2AT	0,3145	n.s	0,0384	*
DRD4 (Intron 1)	Г۷	SCAST	0,0158	*	0,2738	n.s.
	DA	SCAST	0,5693	n.s	0,0376	*
SERT (Intron 13)	FV	MIN2AT	0,0502	n.s	0,0131	*
	DA	SCEINWT	0,0457	*	0,7192	n.s.

Für den CCKBR (3'UTR) Polymorphismus ergaben sich in keiner der Analysen signifikante Assoziationen und wird deswegen nicht weiter berücksichtigt.

Die Assoziationsanalysen des MAOA (Exon XV) Polymorphismus sind etwas vielschichtiger und sollten deswegen gesondert betrachtet werden.

Im Chi<sup>2</sup>-Test wurden, wie bei den andern Polymorphismen auch, die Allelfrequenzen der Tiere mit den Extremwerten der Scores miteinander verglichen. Hierbei gilt zu bedenken, dass die Allelanzahl bei den weiblichen Kälbern der doppelten Tierzahl entspricht, bei den männlichen dagegen der einfachen Tierzahl. In diesem Test konnten signifikante Assoziationen zwischen den Allelfrequenzen und den Scores des Wiegetestes (SCEINWT und SCWGWT) bei Dt. Angus und dem Score SCAST bei Dt. Fleckvieh nachgewiesen

werden. Bei der nachfolgenden Varianzanalyse wurde das bei den anderen Genen auch verwendete Modell eingesetzt, allerdings ohne den fixen Effekt Geschlecht, sondern die Berechnung wurde innerhalb der Geschlechter, aufgrund der X-chromosomalen Lokalisation, durchgeführt. In diesem Falle konnten keinerlei signifikante Assoziationen dargestellt werden.

Als Grundlage für Assoziationsstudien bei komplexen Merkmalen wie dem Verhalten ist die Varianzanalyse aufgrund der Berücksichtigung aller vorkommenden Faktoren, die auch signifikante Einflüsse auf die Scores haben (siehe Tabelle 16), dem Chi<sup>2</sup>-Test, für den hier die Extremwerte einbezogen wurden, vorzuziehen. Dieser kann als Hilfestellung und Stärkung des Ergebnisses der Varianzanalyse mitberücksichtigt werden, sollte aber keine eigenständige Untersuchung bleiben.

Für einen Polymorphsimus im codierenden Bereich eines Gens ist eher zu erwarten, dass dieser eine positive Assoziation zu einem untersuchten Merkmal aufweist, besonders dann, wenn dieser wie im Fall des hier im *MAOA* untersuchten Nukleotidaustausches, einen Aminosäureaustausch induziert. Allerdings ist auch bei einem Aminosäureaustausch nicht unbedingt eine Änderung der Tertiärstruktur die Folge. Dennoch sind bei einem Nukleotidaustausch in der codierenden Region eher als in der nicht-codierenden Region biochemische und/oder pathophysiologische Auswirkungen zu erwarten (Kim und Misra 2007).

Die Ursachen für die hier nicht nachweisbare Assoziation des Polymorphismus im *MAOA* zu den erfassten Verhaltensmerkmalen könnten in einer solchen fehlenden Änderung der Tertiärstruktur liegen. Weiterhin besteht die Möglichkeit, dass die Funktion des MAOA durch andere Enzyme soweit übernommen werden kann, dass keine Auswirkung offensichtlich wird, wie dies auch im Falle des Serotonintransporters beschrieben ist (Homberg *et al.* 2007). Weiterhin gilt beim *MAOA* zu berücksichtigen, dass dieses Gen durch seine X-chromosomale Lage bei den männlichen Kälbern nur als ein Allel vorliegt und bei den weiblichen Kälbern die X-Inaktivierung zum Tragen kommt (Asai 2004) und somit zumindest bei heterozygoten weiblichen Tieren keine Rückschlüsse auf das aktive Allel möglich sind. Weiterhin ist selbstverständlich an eine generell nicht existierende Rolle des MAOA in den hier untersuchten Verhaltensmerkmalen zu denken, wenn das zugrundeliegende Verhalten der hier erhobenen Scores nicht auf das durch *MAOA* beeinflusste Aggressionspotential (Popova 2008) der Tiere zurückzuführen ist.

DNA-Varianten in nicht-codierenden Bereichen, wie sie in dieser Arbeit im CCKBR, DRD4 und SERT nachgewiesen wurden, haben zunächst keinen direkten Einfluss auf die Aminosäurestruktur, können jedoch einen Einfluss auf die Genexpression und eventuelle Splicingvorgänge haben. Die Unterscheidung einer neutralen Mutation von einer funktionalen Mutation ist im nicht-codierenden Bereich aufgrund unvollständiger Kenntnisse schwieriger als in codierenden Abschnitten (Boffelli et al. 2004). In hochkonservierten Abschnitten ist eine funktionelle Veränderung zum Beispiel bei einer durch den Nukleotidaustausch induzierten Änderung von Erkennungssequenzen für Trankriptionsfaktoren möglich. Zwar tolerieren die Transkriptionsfaktoren einen gewissen Spielraum ihrer Erkennungssequenz (Weitzman 2003), dennoch zählen sie zu den ultrasensitiven biologischen Systemen und eine Affinitätsänderung des Faktors zur modifizierten Bindestelle kann einen Einfluss auf die Genexpression haben (Sneppen et al. 2008). Ein Beispiel dafür sind die Varianten des ovinen  $\alpha_{s1}$ -Kaseins. Das Fehlen des Exons VII in Variante I wird durch einen Nukleotidaustausch im Intron 7 in der 5'-Donor-Splice-Stelle induziert (Giambra et al. 2009).

Aber auch ohne den Nachweis solcher direkten Einflüsse von Polymorphismen auf die Wirkung des Gens konnten verschiedene Assoziationen zwischen solchen Polymorphismen und Phänotypen nachgewiesen werden. Das Muskelwachstum bei Schweinen ist mit einem Nukleotidaustausch im Intron 3 des Immunglobulin F2 Gens assoziiert (Andersson 2009). Auch bei der Fellfarbe von Hunden (white spotting) konnten Unterschiede der DNA-Sequenzen bei verschiedenen Phänoypen in nicht-codierenden Bereichen des Microphtalmia associated transcription factor (MITF) Gens detektiert werden (Andersson 2009). Auch bei Erkrankungen wie zum Beispiel bei Asthma liegt eine positiven Assoziation eines Dinukleotidrepeats im Intron 2 des humanen Interleukin 4 Gens (Nagarkatti *et al.* 2004) und eines SNP in Intron 3 im Gen des Interferon gamma (Kumar und Ghosh 2008) vor. Ebenso gibt es eine positive Assoziation zwischen Lupus Erythematodus und einem SNP in Intron 1 des Interferon Regulatory Factor 5 (IRF5) Gen (Kawasaki *et al.* 2008).

Bei Vorliegen von Polymorphismen in der 5'UTR oder 3'UTR kann zusätzlich die Lebensdauer der RNA und die Effektivität der Translation beeinflusst werden. Solche Beispiele gibt es auch für die untranslatierten Bereiche (Rasmussen *et al.* 2001).

Der hier vorgefundene Polymorphismus im Intron 3 des *CCKBR* war zunächst vielversprechend, da durch diesen die Bindungsstelle für den Transkriptionsfaktor MZF1 verändert wird. Dennoch konnten in der statistischen Analyse keine Assoziationen zu den Verhaltensscores hergestellt werden. Gleiches gilt für den Polymorphismus in der 3'UTR des

CCKBR, für den allerdings keine funktionelle Bedeutung nachgewiesen werden konnte. Da der Cholecystokininrezeptor B stark in die Ausprägung ängstlichen Verhaltens eingebunden ist (Crawley und Corwin 1994; Daugé und Léna 1998; Wang et al. 2005), sprechen diese Ergebnisse dagegen, dass Angst hinter dem sichtbaren Verhalten der Kälber als Instinkt steht. Dennoch sollte man bedenken, dass es noch weitere Polymorphismen im CCKBR geben wird, zu denen doch eventuell eine Verbindung mit diesen Verhaltensscores dargestellt werden könnte. Beim Menschen geht man von einem SNP alle 1200 Basenpaare (Sherry et al. 2001) bzw. je 1000 - 5000 Basenpaaren aus. Für Bos taurus gibt es diesbezüglich keine Angaben, aber die Verhältnisse dürften ähnlich sein. In der Datenbank (http://www.ensembl org/Bos\_taurus/Location/Genome, letzter Zugriff 20.04.2009) ist die aktuelle Genomlänge für Bos taurus mit knapp drei Milliarden Basenpaaren angegeben und ca. zwei Millionen detektierte SNPs. Dies würde einem SNP auf ca 1400 Basenpaaren entsprechen. Da das gesamte CCKBR 10823 Basenpaare (Genbank-Nr. NW\_00149331) hat, bestehen gute Chancen, weitere SNPs zu identifizieren.

Durch den Serotonintransporter kann sowohl der Aspekt der Ängste (Lesch *et al.* 1996) wie bei *CCKBR* als auch der Aspekt der Aggression (Popova 2008) wie bei *MAOA* beeinflusst werden. Weiterhin könnte es aufgrund der Lage des *SERT* auf BTA19 bei ca 21,3 Mbp (http://www.ncbi.nlm.nih.gov/mapview/) einen Zusammenhang zum Scurs-Locus geben, der sich bei *BMS2142* (29,3 Mbp) auf BTA19 (Asai *et al.* 2004) befindet. Allerdings zeigte sich auch bei dem in diesem Gen untersuchten Polymorphismus im nicht-codierenden Bereich, der keinen Einfluss auf einen Transkriptionsfaktor hat, kein klarer Zusammenhang mit den Verhaltensscores der Kälber. In der Varianzanalyse ergibt sich zwar ein signifikanter Einfluss des *SERT*-Genotyps auf den Score des Anbindetestes bei den Dt. Fleckvieh, der sich auch anhand der LSQ-Mittelwerte (siehe Tabelle 30) nachvollziehen lässt. Allerdings lässt sich dieser Effekt, wie in Tabelle 38 aufgezeigt, nicht mit den Extremwerten im Chi²-Test darstellen, der errechnete p-Wert liegt mit 0,0502 aber nahe der 5%-Signifikanzgrenze. Diese hier erhaltenen Ergebnisse bezüglich des *SERT* könnten einen guten Ausgangspunkt für weiteres Screening des Gens auf Polymorphismen darstellen.

Ähnliches lässt sich über den Polymorphismus im nicht-codierenden Bereich des *DRD4* sagen, der ebenfalls bei Dt. Fleckvieh einen Einfluss auf den Score MIN2AT hat und bei Dt. Angus auf den Score des Separier- und Rückhaltetestes. Somit hat *DRD4* in beiden Rassen, allerdings bei verschiedenen Merkmalen einen Einfluss. Da *DRD4* in Neugierde- und Erkundungsverhalten (Dulawa *et al.* 1999; Fidler *et al.* 2007; Momozawa *et al.* 2005) involviert ist, stellt sich allerdings die Frage, wieso ein Polymorphismus in diesem Gen das

Verhalten während des Anbindetestes, das vermutlich eher durch Angst und/oder Aggression gegenüber der Fixierung geprägt sein wird, beeinflusst. Dies führt dann aber auch wieder zu obiger Feststellung, dass ein Kandidatengen als ursächliches Gen für einen Phänotyp in Frage kommt, wenn es in allen Rassen und Analysen einen Einfluss hat.

Bei den fehlenden oder unklaren Assoziationen der Polymorphismen zu den Verhaltensscores können neben den oben angesprochenen Funktionen der Gene und Polymorphismen die Analyse der Gene selbst eine mögliche Kopplung mit anderen Mutationen und/oder zum Beispiel die in den beiden Rassen dargestellten Allelfrequenzen eine Rolle spielen.

Bei den Allelfrequenzen zeigten sich teils Unterschiede zwischen den innerhalb der Rasse detektierten Frequenzen und den bei den Kälbern ermittelten. Zur besseren Übersichtlichkeit sind diese in den Tabellen 39-41 gegenübergestellt und im Folgenden besprochen.

Die bei den hier identifizierten Nukleotidaustauschen aufgetretenen Abweichungen der Population vom Hardy-Weinberg-Gleichgewicht, die auch bei einem Teil der Mikrosatelliten festgestellt wurden, sind durch die geringe Anzahl Bullen jeder Rasse zu erklären. Eine Auflistung aller Typsierungen der Bullen sind im Anhang zu finden (Tabelle 3A bis 6A).

Für beide SNPs im *CCKBR* konnten auffällige Allel- und Genotypfrequenzen bei den Kälbern detektiert werden. Das jeweils seltenere Allel ist das Allel *T*, welches über beide Rassen hinweg mit einer Frequenz von 0,17 (Intron 3) bzw. 0,13 (3'UTR) vorliegt. Der Genotyp *TT* konnte sowohl bei den Dt. Fleckvieh im Intron 3 als auch bei den Dt. Angus in der 3'UTR nicht nachgewiesen werden. Dieses Fehlen eines Genotyps bei den Kälbern ist auf die Genotypen der Bullen zurückzuführen, da bei diesen der entsprechende Genotyp auch nicht vorlag und generell die Allelfrequenz für das Allel *T* bei beiden Austauschen auch in der Rasse (siehe Tabelle 39 und Tabelle 40) und dadurch bei den Kälbermüttern eher gering ist.

Die Unterschiede der Allelfrequenzen innerhalb der Rassen zu den Allelfrequenzen innerhalb der Kälber derselben Rasse wird somit maßgeblich durch die Genotypen der eingesetzten Bullen bestimmt.

Ähnliche Frequenzunterschiede mit gleicher Ursache zeigen sich auch beim *DRD4*, wobei hier das Allel *G* bei Dt. Fleckvieh nur in einer Frequenz von 0,17 vorliegt. Dies ist allerdings nur bei den Kälbern der Fall; innerhalb der Rasse liegt die Frequenz bei 0,28 (siehe Tabelle 41). Die geringere Allelfrequenz bei den Kälbern ist auf das Fehlen des Genotyps *GG* bei den Bullen zurückzuführen. Bei Dt. Angus ist die Frequenz bei 0,65 und in einer anderen Untersuchung mit Dt. Holstein Bullen und dem Zuchtwert für Melkverhalten konnte eine Frequenz von 0,61 für Allel *G* nachgewiesen werden (K. Glenske, eigene Untersuchungen).

Solch extreme Unterschiede in den Allefrequenzen zwischen den Rassen können darauf zurückzuführen sein, dass auf jede Rasse ein anderer Selektionsdruck wirkt (Machado *et al.* 2003), da die Rassen unterschiedliche Ursprünge haben und die Zuchtgeschichten und Zuchtziele differieren. Ähnliche Unterschiede in den Allelfrequenzen sind auch für einen SNP im *DRD1* beschrieben, wobei in dieser Studie 11 Rassen zugrunde liegen und in drei dieser ein Allel sogar völlig fehlt (Haegeman *et al.* 2003a). Auch hier erfolgt die Erklärung über direkte oder indirekte Selektion in diesen Rassen. Auch bei Mikrosatelliten konnten Allelunterschiede in portugiesischen Rinderrassen nachgewiesen werden. Diese haben zwar teils einen gemeinsamen Ursprung, sind aber als zwölf eigenständige Rassen geführt und gezüchtet, was sich auch in den Allelen wiederspiegelt (Mateus *et al.* 2004).

**Tabelle 39:** Allelfrequenzen des Nukleotidaustausches im *CCKBR* (Intron 3) der Kälber im Vergleich mit den Allelfrequenzen innerhalb der Rasse.

CCKBR		Г	OΑ	F	V
Intron 3		Rasse	Kälber	Rasse	Kälber
Allelfrequenzen	С	0,84	0,73	0,95	0,97
Anemequenzen	T	0,16	0,27	0,05	0,03

**Tabelle 40:** Allelfrequenzen des Nukleotidaustausches im *CCKBR* (3'UTR) der Kälber im Vergleich mit den Allelfrequenzen innerhalb der Rasse.

CCKBR		D	PΑ	F	FV
3'UTR		Rasse	Kälber	Rasse	Kälber
Allalfraguangan	С	0,88	0,93	0,81	0,78
Allelfrequenzen	T	0,12	0,07	0,19	0,22

**Tabelle 41:** Allelfrequenzen des Nukleotidaustausches im *DRD4* (Intron 1) der Kälber im Vergleich mit den Allelfrequenzen innerhalb der Rasse.

DRD4		Ε	PΑ	F	V
Intron 1	Intron 1		Kälber	Rasse	Kälber
Allelfrequenzen	G	0,59	0,65	0,28	0,17
	T	0,41	0,35	0,72	0,83

Im Rahmen dieser Arbeit waren die Nukleotidaustausche mit den teils höchst signifikanten Unterschieden der Allelfrequenz zwischen den beiden Rassen bei den unverwandten Tieren zunächst vielversprechend. Diese höchst signifikanten Unterschiede konnten auch bei den Kälbern nachgewiesen werden. Da es auch hinsichtlich des Verhaltens Rasseunterschiede dahingehend gibt, dass die Dt. Fleckvieh schwieriger zu handeln sind als die Dt. Angus

(Gauly *et al.* 2001), waren Unterschiede der Allelfrequenzen zunächst aussichtsreich für positive Ergebnisse, konnten jedoch nur teilweise erbracht werden.

Zur Bestimmung eines Kandidatengens als ursächliches Gen bzw. eines dargestellten Polymorphismus als Ursache der Merkmalsänderung (oder in diesem Falle des Verhaltens) gilt zu bedenken, dass der Einfluss auf das zu untersuchende Merkmal in allen betroffenen Rassen auftreten sollte. So sind als Beispiele von Kandidatengenen bei landwirtschaftlichen Nutztieren das *DGAT1* - Gen mit einem in verschiedenen *Bos taurus* und *Bos indicus* Rassen vorkommden Aminosäureaustausch (Kaupe *et al.* 2004; Winter *et al.* 2002) zu nennen. Ein weiteres Beispiel ist ein Polymorphismus im Ryanodinrezeptor-Gen, der für das Auftreten der Malignen Hyperthermie (MHS) verantwortlich ist und bei verschiedenen Spezies vorkommt. Dieser hat sowohl beim Menschen als Krankheitsursache (Keating *et al.* 1994; Quane *et al.* 1997) als auch beim Schwein (Fujii *et al.* 1991) aufgrund von aus MHS resultierenden Qualitätsmängeln beim Fleisch große Bedeutung.

Zusammenfassend lässt sich zu den hier untersuchten Kandidatengenen feststellen, dass der entscheidende, das Verhalten der Kälber dieser beiden Rassen beeinflussende Polymorphismus in keinem der Gene identifiziert werden konnte. Dies ist nicht unbedingt negativ zu sehen, da nicht mehr als 1 % aller Merkmale von nur einem Gen beeinflusst werden (Roubertoux und Le Roy-Duflos 2001) und somit sicher auch das komplexe Merkmal Verhalten durch verschiedene Veränderungen auf molekularer Ebene beeinflusst wird.

In dieser Arbeit deuten sich im *DRD4* und *SERT* mehr versprechende Ergebnisse der Assoziationsanalyse an und eine weitere Untersuchung dieser Gene sollte in Betracht gezogen werden. Hierfür sollten zumindest Analysen der mRNA durchgeführt werden und dadurch die gesamte codierende Region und darin enthaltene Polymorphismen detektiert werden. Hierbei sollte das Augenmerk auf nicht-synonymen Nukleotidaustauschen liegen. Auch eine Analyse des gesamten Gens wäre denkbar, um einen vollständigen Überblick über alle vorkommenden Polymorphismen, sowohl in der codierenden als auch in der nicht-codierenden Region, zu erlangen. Bei dieser Vorgehensweise sind mögliche Polymorphismen in der nicht-codierenden Region, die aber funktionale Mutationen darstellen, auch umgehend in einer Assoziationsanalyse zu berücksichtigen. Weiterhin können mit dieser Methode vollständige aus den Polymorphismen resultierenden Haplotypen analysiert werden.

Ebenso ist das Gen des CCKBR rein von seiner funktionellen Bedeutung her nicht außer Acht zu lassen, auch wenn in dieser Arbeit keine positiven Ergebnisse erbracht werden konnten. Anders ist dies bei *MAOA*. Hier liegt zwar auch eine funktionelle Bedeutung vor, allerdings stellt die Lokalisation auf dem X-Chromosom ein gewisses Problem der Untersuchung dar. Weitere Arbeiten mit diesem Gen rein auf DNA-Ebene sind nicht sehr vielversprechend, da man gerade bei den heterozygoten weiblichen Tieren keine Rückschlüsse auf das tatsächlich aktive Allel ziehen kann (Asai 2004). In diesem Fall wäre zu überlegen, in die Analysen nur männliche Kälber einzubeziehen. Weiterhin wäre es sicherlich interessant, die Untersuchungen um Expressionsanalysen zu ergänzen, wie dies zum Beispiel bei Brunner *et al.* (1993a) anhand von Fibroblastkulturen, die mit Dexamethason behandelt waren, durchgeführt wurde.

Im Rahmen dieser Arbeit wurden neben den Kandidatengenen auch Mikrosatelliten auf BTA1 und BTA29 typisiert und verschiedene Analysen durchgeführt. Mikrosatelliten sind gut geeignete genetische Marker, da sie hochvariabel sind und ihre Typisierung durch Etablierung von Multiplex-PCR und halbautomatischer Auswertung eine effiziente und rasche Methode darstellt. Die hier untersuchten Mikrosatelliten auf BTA1 (fünf Marker) und BTA29 (14 Marker) zeigten gute Typisierbarkeiten mit 88% - 100% vorliegenden Genotypen. Nur einer der Marker, *DIK5057* (29-13), weist einen zu geringen PIC-Wert von 0,002 bei DA bzw. 0,100 bei FV auf und wurde in der Analyse nicht berücksichtigt. Der durchschnittliche PIC-Wert aller anderen Marker auf BTA29 von 0,581 bei DA bzw. 0,600 bei FV, der für das Vorliegen hochinformativer Marker (PIC-Wert > 0,5) spricht (Botstein *et al.* 1980), lässt eine gute Eignung der Mikrosatelliten für weitere Analysen annehmen. Im Vergleich beider Rassen miteinander und zu den Literturangaben bezüglich der Allelanzahl und –größen der Mikrosatelliten traten Unterschiede auf (siehe Tabelle 42).

**Tabelle 42:** Alle analysierten Mikrosatelliten mit Literaturangaben zu Allelgröße (in bp) und Allelanzahl (n) nach MARC USDA (http://www.marc.usda.gov/genome/htmls) im Vergleich mit den eigenen Ergebnissen je Rasse und Gesamtallelanzahl (Gesamt n) über beide Rassen hinweg.

		Eigene Ergebnisse					Literaturangabe	
Lfd.	Mikro-	Dt. Angus		Dt. Fleckvieh		Gesamt		
Nr.	satellit	Allelgröße	n	Allelgröße	n	n	Allelgröße	n
1-1	BMS1928	143 – 183	16	151 – 183	13	19	138 – 178	19
1-2	DIK634	226 - 234	4	228 - 230	2	4	224 - 236	5
1-3	BMS574	133 - 155	8	143 - 153	5	8	129 - 151	12
1-4	BMS4020	119 - 121	2	119 - 121	2	2	114 - 116	2
1-5	DIK4957	184 - 190	4	186 - 190	3	4	180 - 190	3
29-1	BMS1857	152 - 180	14	146 - 178	15	16	149 - 175	15
29-2	BMS764	96 - 110	7	96 - 112	8	8	92 - 108	8
29-3	BMS1787	156 - 174	10	148 - 174	11	11	140 - 172	15
29-4	ILSTS089	139 – 165	9	135 - 155	9	13	127 - 151	7
29-5	MNB-127	219 - 233	5	217 - 233	6	6	219 - 238	9
29-6	MNB-145	166 - 180	7	164 - 178	6	8	164 - 178	5
29-7	MNB-109	178 - 208	10	178 - 200	7	10	180 - 206	9
29-8	OarHH22	105 - 121	8	105 - 121	6	8	103 - 126	10
29-9	BMC1206	126 - 136	6	126 - 138	6	7	130 - 140	5
29-10	ILSTS081	98 - 116	8	90 - 118	11	12	88 - 122	15
29-11	BMS1948	99 – 125	9	99 - 125	8	9	97 - 125	12
29-12	DIK4499	207 - 213	4	207 - 215	4	5	199 - 211	6
29-13	DIK5057	226 - 228	2	226 - 236	3	3	220 - 230	5
29-14	MNB-101	149 – 167	6	149 - 167	8	8	148 - 164	7

Die Gesamtanzahl der Allele je Mikrosatellit in den eigenen Ergebnissen liegt außer bei BMS1857 (29-1), ILSTS089 (29-4), MNB-145 (29-6), MNB-109 (29-7), BMC1206 (29-9) und MNB-101 (29-14) unterhalb der in der Litertaur angegeben. Auch zwischen den beiden Rassen treten teils erhebliche Differenzen der Allelanzahlen auf. Diese Unterschiede in Allelanzahlen und –größen sind durch die unterschiedlichen Rassen bzw. die in der Literatur (http://www.marc.usda.gov/genome/htmls) verwendeten Kreuzungstiere mit entsprechend größerer Heterozygotie zu erklären. Diese Phänomen der rassespezifischen Allele und Differenzen der Allelzahl zwischen Rassen wurde schon für verschiedene länderspezifische Rinderrassen beschrieben (Ciampolini et al. 1995; Mateus et al. 2004). Als Ursachen hierfür werden die spezifischen Züchtungen angegeben, da im Rahmen der Zuchtgeschichten der einzelnen Rassen auch immer wieder Allele innerhalb der Rasse verloren gehen können (Machado et al. 2003). Dies erklärt auch die verschiedenen Allele bei Dt. Angus und Dt. Fleckvieh, da beide Rassen im Rahmen ihrer Entstehung und Züchtung nicht miteinander verwandt sind. Durch die Rassespezifität der Mikrosatelliten sind auch Unterschiede in genetischen Karten und QTL-Positionen in Berechnungen mit reinrassigem Tiermaterial zu

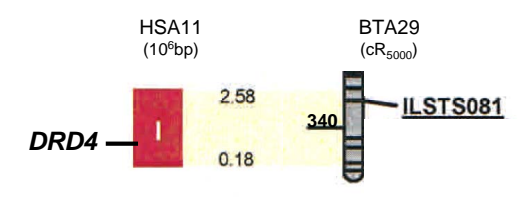
erklären. Für einen besseren Vergleich der Mikrosatelliten in unterschiedlichen Arbeitsgruppen und für eine eventuelle Kombinierung von Datensets untereinander sind Standardproben zum Angleichen der Ergebnisse ein sinnvolles Hilfsmittel. Aus diesem Grund sind alle in dieser Arbeit verwendeten Mikrosatelliten auch für die Referenzprobe "Giessen2000" aus dem EU-Projekt RESGEN CT98-118 typisiert worden (siehe Tabelle 7A).

Bei dem Kandidatengen *DRD4* stellte sich unabhängig zu dem Aspekt des Verhaltens und der problematischen Amplifizierung das Problem, dass dieses Gen zwar durch vergleichende Kartierung *Homo sapiens – Bos taurus* dem bovinen Chromosom 29 zugeordnet werden kann (Itoh *et al.* 2005; Larkin *et al.* 2003), dies jedoch nicht durch die Whole Genome Sequence (WGS Btau\_3.1 und Btau\_4.0) des Rindes bestätigt werden kann. Auch anhand des Mausgenoms lässt sich eine Lokalisation auf BTA29 vermuten, da *DRD4* auf Chromosom 7 bei *Mus musculus* lokalisiert ist (Genbank-Nr. 13491) und dies entspricht BTA29 (http://oxgrid.angis.org. au/cattle/mouse/500\_7.29.html). Die beiden in der Genbank veröffentlichten Sequenzen des Rindes sind zum Teil unvollständig (Genbank-Nr. AY263349) und beide in revers-komplementärer Richtung im Vergleich zu Sequenzen anderer Spezies.

Aufgrund dieser ungenauen und nicht gesicherten Angaben zur Lokalisation des *DRD4* wurde mit den Mikrosatelliten von BTA29 eine genetische Kartierung vorgenommen. Die genetische Kartierung oder auch Kopplungsanalyse erfasst Rekombinationsraten und errechnet daraus mithilfe von Wahrscheinlichkeiten die Abstände der Marker zueinander (Goldgar *et al.* 1989). Auf dieser Basis kann dann eine Anordnung der Marker erfolgen. Bei manchen Markern kann es vorkommen, dass keine Festlegung auf ein Lokalisationsintervall möglich ist und dieser Marker somit nicht explizit kartiert werden kann. Die in die Kartierung des *DRD4* einbezogene Sequenz mit dem G/T-Austausch ließ sich durch Vergleiche mit Genbanksequenzen anderer Spezies und Rind in Intron 1 einordnen. Dieser Abschnitt konnte auf BTA29 genetisch kartiert werden. Für einen höheren Informationsgehalt und bessere Genauigkeit der Ergebnisse wurden neben den Kälbern und Vätern auch noch die Mütter typisiert und in die Kartierung miteinbezogen. In dem typisierten Familienmaterial waren keine Auffälligkeiten bezüglich Fehltypisierungen zu erkennen und alle Abstammungen waren bei allen analysierten Markern korrekt (die Segregation der Allele in den Kleinfamilien nachvollziehbar) und somit eine Kartierung aller Marker möglich

Die mit dieser Kartierung dargestellte Lokalisation des *DRD4* am distalsten Ende von BTA29 (siehe Abbildung 21) stimmt mit der Lokalisation in der vergleichenden Genkartierung *Homo* 

sapiens – Bos taurus (Larkin et al. 2003) überein. DRD4 ist auf HSA11, 11p15.5 lokalisiert (GeneID 1815), dies entspricht laut Genbank dem Abschnitt zwischen 0,627-0,630 x 10<sup>6</sup> Basenpaaren auf Chromosom 11. Dieser Abschnitt befindet sich genau im ersten Segment bei Larkin et al. (2003) und deckt sich somit mit dem distalsten Abschnitt von BTA29 (siehe Abbildung 27).

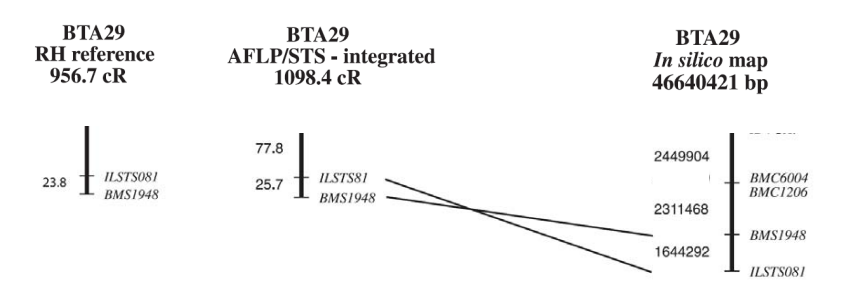


**Abbildung 27:** Ausschnitt der vergleichenden Kartierung HSA11, Block I (in 10<sup>6</sup>bp) mit der Lokalisation des humanen *DRD4* und distaler Abschnitt von BTA29 (in cR<sub>5000</sub>) nach Larkin *et al.* (2003).

Diese so auf den distalen Abschnitt eingegrenzte Lokalisation wurde in einem weiteren Arbeitsschritt durch die Typsierung zusätzlicher Marker in diesem Bereich und eine erneute Kartierung näher beschrieben. Hier zeigten sich Rasseunterschiede in der Lokalisation des Gens (siehe Abbildung 22). Bei Dt. Fleckvieh wurde *DRD4* 1,6 cM proximal von *MNB-101* kartiert, bei Dt. Angus hingegen 7,6 cM distal von *MNB-101*. Dennoch lässt sich dadurch die Lokalisation des Gens im distalen Abschnitt bestätigen. In diesem Bereich sind keine weiteren Mikrosatelliten in der Datenbank auffindbar (http://www.marc.usda.gov/genome/htmls/MarkerSearch.jsp?Species=bos) und durch die Nähe der Marker zueinander sind rein rechnerisch durchaus Vertauschungen möglich. Denkbar wäre auch eine Lokalisation des *MNB-101* innerhalb des *DRD4*, was eine exakte Kartierung für Cri-Map unmöglich macht. Zur Klärung dessen wären Sequenzierungen des distalen Endes von BTA29 mit *MNB-101*, eventuell mithilfe von BAC-Klonen wie dies auch bei der Kartierung des Polled Locus durchgeführt wurde (Drögemüller *et al.* 2005), nötig.

Die hier durchgeführte Kartierung des *DRD4* kann somit auch entgegen der fehlenden zugehörigen Whole Genome Sequence als korrekt angenommen werden. Das die WGS veröffentlichende Baylors College of Medicine (Human Genome Sequencing Center) weist selbst darauf hin, dass zum Einen Sequenzabschnitte in der WGS fehlen und zum Anderen Fehler auftreten könnten (http://www.hgsc.bcm.tmc.edu/projects/bovine/).

Eine gute Ergänzung zu dieser Genomsequenzierung sind Radiation Hybrid Karten (Itoh et al. 2005). In einer allgemeinen Studie zur Sicherung der WGS anhand einer Radiation Hybrid Karte wurden differierende Anordnungen der Marker zwischen beiden Karten auf vier Chromosomen festgestellt, darunter auch BTA29 (Jann et al. 2006). Dies konnte speziell für BTA29 auch in einer weiteren Studie bestätigt werden (Prasad et al. 2007). Weiterhin wurden für fast alle Chromosomen Unterschiede in der Sequenz der WGS und der Reihenfolge der Kartierung via Radidation Hybrid nachgewiesen (Jann et al. 2006). Diese Inkonsistenz ist ein deutlicher Hinweis auf die generellen Schwierigkeiten der kompletten Genomsequenzierung und spricht für die hier durchgeführte genetische Kartierung. Bei verschiedenen Kartierungsformen ist es möglich, dass sich unterschiedliche Karten ergeben, wie dies auch in einer Vergleichsstudie von Radiation Hybrid Karten, AFLP (Amplified Fragment Length Polymorphismus) Karten und in silico Karten nachgewiesen wurde (Ajmone Marsan et al. 2008). Im Rahmen dieser Studie wurden für verschiedene Chromosomen Vergleiche der unterschiedlichen Kartierungsmethoden erstellt, darunter auch BTA29. Dabei konnten unterschiedliche Kartenlängen sowie auch Vertauschungen einiger Marker nachgewisen werden. So zum Beispiel die Marker ILSTS081 und BMS1948 im distalen Abschnitt, die in den Radiation Hybrid Karten umgekehrt zu der in silico Karte angeordnet sind (siehe Abbildung 28).



**Abbildung 28:** Ausschnitt des distalen Abschnittes der vergleichenden Karten von BTA29 aus Ajmone Marsan *et al.* (2008).

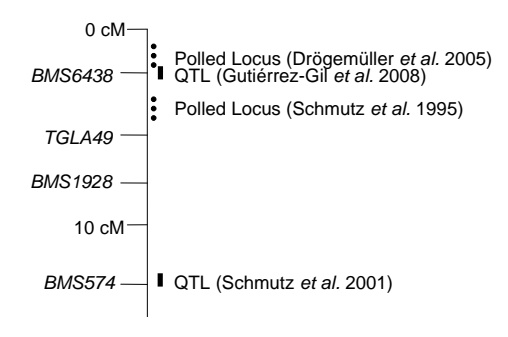
Bei der Erstellung der drei verschiedenen Karten in dieser Arbeit mit den zehn Mikrosatelliten zeigten sich Auffälligkeiten in den Kartenlängen. Diese unterschieden sich zwischen den Rassen um 38 cM (FV 81 cM und DA 119 cM Gesamtlänge). Die Karte über beide Rassen hinweg beläuft sich auf 104,5 cM. Auch die Karten mit allen 14 Markern unterscheiden sich um 15 cM (FV 98,9 cM und DA 113,9 cM Gesamtlänge). Die

geringgradigen Änderungen der Kartenlängen im Vergleich zu der Kartierung mit zehn Markern sind durch das vergrößerte Datenmaterial zu erklären, da innerhalb des Programmes CriMap die Rekombinationsraten aller Marker zueinander bestimmt werden und durch eine Ergänzung neuer Mikrosatelliten können somit auch "neue" Abstände schon berechneter Mikrosatelliten durch neue Wahrscheinlichkeiten zustande kommen. Eine der ersten genetischen Karten von BTA29 hat eine Länge von 28,2 cM (Bishop *et al.* 1994) und die aktuell in der Literatur angegebene Länge von BTA29 ist 69,7 cM (Ihara *et al.* 2004). Letztere Karte wurde anhand der MARC USDA Referenz Herde, also an Kreuzungstieren, erstellt. Kreuzungstiere bieten gegenüber Reinzuchten, wie sie in dieser Arbeit genutzt wurden, den Vorteil, dass sie heterozygoter und somit informativer sind. Dies wurde schon 1994 anhand von *Bos taurus x Bos indicus* F1 Kreuzungen im Vergleich zu *Bos taurus x Bos taurus* F1 Kreuzungen sowie *Bos taurus* F1 Reinzuchten mit signifikanten Unterschieden der Heterozygotie festgestellt (Bishop *et al.*). Rasseabhängige Unterschiede in Kartenlängen wurden auch schon für BTA23 beschrieben (Weimann *et al.* 2003).

Der Marker *BMS574* auf BTA1 wird in einer kanadischen Studie als QTL für Temperament bei Fleischrindern angegeben (Schmutz *et al.* 2001). Dieser Marker wurde neben vier weiteren auf anderen Chromosomen aus der Studie von Schmutz *et al.* bereits bei einer Auswahl der Kälber typsiert und Varianzanlysen zu verschiedenen Verhaltensmerkmalen durchgeführt. Hier zeigten sich für *BMS574* signifikante Einflüsse auf die Scores des Wiegetestes und des Separier- und Rückhaltetestes (E.-M. Prinzenberg, persönliche Mitteilung).

In der hier vorliegenden Arbeit wurde dieser Bereich näher eingegrenzt und je zwei Mikrosatelliten distal und proximal von *BMS574* ausgewählt und alle fünf Mikrosatelliten bei allen 962 Kälbern typisiert. Die anschließend durchgeführte Assoziationsstudie (Varianzanalyse) konnte die vorhergehenden Ergebnisse nur bedingt bestätigen. Das zuvor auch schon in Erscheinung getretene Allel 153 von *BMS574* zeigte nur Einflüsse nahe des Signifikanzniveaus von 5% (nach Bonferroni-Korrektur: p = 0,0125) bei Dt. Angus und SCWGWT (p = 0,0127) sowie Dt. Fleckvieh und SCAST (p = 0,0128). Dahingegen hat das Allel 169 von *BMS1928*, der ca. 7 cM proximal von *BMS574* liegt, einen signifikanten Einfluss auf den Score SCWGWT bei Dt. Fleckvieh. Bei Dt. Angus konnte dieses Allel nicht in die Analyse miteinbezogen werden, da es mit einer Häufigkeit von unter 5% vorliegt (1,06%). Bei Dt. Fleckvieh kam dieses Allel mit 11,44% am vierthäufigsten vor, dennoch ist aufgrund des niedrigen Prozentsatzes dieses Allels in Dt. Angus dieses Ergebnis unter

Vorbehalt zu sehen und bedarf noch weiterer Analysen in vergrößertem Tiermaterial und weiteren Rassen zur Erhöhung der Aussagefähigkeit und Validierung der Ergebnisse (Darvasi und Soller 1994). Allerdings wurde in einer aktuellen Studie ein QTL bei *BMS6438* im proximalen Abschnitt von BTA1, noch vor *BMS1928* gelegen, für die Differenz der gezeigten Alarmbereitschaft in zwei hintereinander durchgeführten Social Seperation Tests an Charolais x Holstein Kreuzungen nachgewiesen (Gutiérrez-Gil *et al.* 2008). Dies spricht auch für weitere Analysen im proximalen Abschnitt von BTA1. Weitere Überlegungen und Untersuchungen könnten auch zu einer Verbindung mit dem Polled Locus führen, der im proximalen Abschnitt von BTA1 (Georges *et al.* 1993b) bei *BMS6438* und *TGLA49* (Schmutz *et al.* 1995) bzw. proximal von *BMS6438* (Drögemüller *et al.* 2005) lokalisiert ist. Ein optischer Vergleich dieser Aspekte zur Verdeutlichung der Bedeutung dieses Abschnittes ist in Abbildung 29 dargestellt.



**Abbildung 29:** Schematische Darstellung des proximalen Abschnittes von BTA1 mit den Positionen des QTL von Gutiérrez-Gil *et al.* (2008) und des Polled Locus nach Schmutz *et al.* (1995) und Drögemüller *et al.* (2005) sowie Darstellung des proximalsten in dieser Arbeit untersuchten Mikrosatelliten *BMS1928* und des QTL von Schmutz *et al.* (1995), aufgrunddessen diese Untersuchung durchgeführt wurde.

Eine weitere Analysemöglichkeit, die im Rahmen dieser Arbeit durchgeführt wurden, sind QTL-Studien. Solche Untersuchungen chromosomaler Fragmente in Verbindung zu Phänotypen stellen einen guten Startpunkt zu Suche nach den hinter der Variation stehenden Genen und Polymorphismen dar bzw. können dadurch Chromsomenabschnitte ausgeschlossen werden (Mormède *et al.* 2002).

Die durchgeführten QTL-Studie wurden sowohl innerhalb der Rassen über die Familien hinweg als auch innerhalb jeder einzelnen Familie mit allen fünf Mikrosatelliten durchgeführt. Eine solche Auftrennung der Analysen ist sinnvoll, da nachgewiesen wurde,

dass sich dadurch QTL-Bereiche verschieben können (Ashwell *et al.* 2004). In dieser Studie wurden zum Beispiel acht QTL für somatische Zellzahl auf sieben verschiedenen Chromosomen bei Analyse innerhalb der Familien detektiert. Bei Berechnung über die Familien hinweg stellten sich nur noch vier QTL auf vier Chromosomen dar, von denen nur einer genau mit einem der vorhergehenden übereinstimmte, zwei liegen nahe beieinander auf den Chromosomen und ein QTL ist komplett neu. Die verbleibenden fünf QTL wurden nicht wieder dargestellt.

Die hier durchgeführte QTL-Studie auf BTA1 erbrachte jedoch weder bei Analyse über die Familien innerhalb der Rassen noch in einer der 14 Familien einzeln analysiert positive Ergebnisse. Es konnten auch keine Rückschlüsse auf einen angedeuteten QTL gezogen werden. Dies kann mit der Merkmalserfassung zusammenhängen. In der Studie von Schmutz et al. (2001) wurde eine Verhaltensbewertung in einer Vorrichtung ähnlich der Waage im Wiegetest durchgeführt und es wurde die Bewegungshäufigkeit der Tiere in einer Minute Testdauer mit elektronischen Methoden detektiert. Dies entspricht in etwa dem Score SCWGWT. Allerdings hatten die Kälber hier währenddessen Sicht- und Rufkontakt zur Herde, was bei Schmutz et al. nicht der Fall war. Dort wurde Temperament auch als "Reaktion auf Isolation von Artgenossen" definiert, wohingegen hier eher die Reaktion auf menschliches Handeln (Mathiak 2002; Urban 2007) und das Verhalten gegenüber der Waage untersucht wurde. Ein weiterer Unterschied der beiden Studien ist die Tierzahl. Bei Schmutz et al. (2001) handelte es sich um 17 Familien mit 130 Kälbern und hier sind 14 Familien mit 962 Kälbern untersucht und analysiert worden. In diesem Vergleich und für den Ansatz einer OTL-Studie ist unser Tiermaterial besser als das von Schmutz et al., da das Detektieren von QTL stark von dem genetischen Pool der analysierten Population abhängt (Roubertoux und Le Roy-Duflos 2001) und viele verschiedene Halbgeschwister-Familien, die möglichst groß sind, am sinnvollsten sind (Geldermann 2005).

Dennoch sollte eine Bedeutung von BTA1 im Zusammenhang mit Verhalten nicht ausgeschlossen werden. Zusätzliche Untersuchungen am proximalen Ende mit Typisierungen and Assoziationsstudien der weiteren Mikrosatelliten (siehe Abbildung 29) könnten durchaus noch positive Ergebnisse bringen.

Auf BTA29 wurde ein QTL für Temperament bei Milchkühen, gemessen als das Verhalten während des Melkens, beschrieben. Dieser liegt im proximalen Abschnitt bei *BMS764* (20cM) (Hiendleder *et al.* 2003). Das funktionelle Kandidatengen *DRD4* hingegen wurde im distalen Bereich von BTA29 kartiert. Zur weiteren Analyse dieses Chromsomes und

Bestätigung und/oder Widerlegung dieser Aussagen wurde für BTA29 ebenfalls eine QTL-Studie mit den Verhaltensscores und den ersten zehn Mikrosatelliten (29-1 bis 29-10) durchgeführt.

In der QTL-Studie auf BTA29 konnte in keiner Rasse und innerhalb der einzelnen Familie ein deutlicher QTL nachgewiesen werden. Nur bei den Dt. Angus stellte sich für den Verhaltensscore SCEINWT ein putativer QTL mit einem F-Wert von 2,54 an der 5%-Signifikanzgrenze mit 2,58 bei ca. 14 cM in unserer Karte dar. In diesem Bereich befindet sich der Mikrosatellit BMS764. Der beschriebene QTL bei Milchkühen liegt ebenfalls bei diesem Mikrosatelliten, auch wenn in dieser Studie 20 cM als Locus angegeben sind (Hiendleder et al. 2003). Diese unterschiedlichen Lokalisationsangaben können aufgrund der Verwendung verschiedener Datenbanken mit unterschiedlichen Angaben zustande kommen. So wird dieser Marker zur Zeit (April 2009) beim National Centre for Biotechnology Information (http://www.ncbi.nlm.nih.gov/) bei 9,7 cM und beim United States Department of Agriculture (Agricultural Research Centre, Meat Animal Research Centre, http://www.marc.usda.gov/genome/genome.html) bei 11,293 cM als Lokalisation auf BTA29 angegeben. Auch bei Dt. Fleckvieh, allerdings für den Score SCWGWT, könnte man einen QTL bei BMS764 vermuten, allerdings hat dieser einen F-Wert von 2,22 und die 5%-Signifikanzgrenze liegt in diesem Fall bei 2,33. Dennoch kann aus diesen Untersuchungen die Bedeutung des proximalen Bereichs von BTA29 um BMS764 herum für Temperament und Verhalten bestätigt werden und die Auswahl zusätzlicher Mikrosatelliten zur Feinkartierung und Auswahl geeigneter Kandidatengene in diesem Bereich als weitere Schritte sollten angedacht werden. Auch eine Erweiterung des Tiermaterials mit gezielten Kreuzungen der beiden Rassen ist für weitere Untersuchungen sinnvoll (Gasparin et al. 2007), da auch generell für Kopplungsanalysen Kreuzungen aufgrund der Erhöhung der Heterozygotie empfohlen werden (Haberfeld et al. 1993). Je höher die genetische Diversität zwischen den untersuchten Ausgangspopulationen ist, umso leichter lassen sich in daraus resultierenden Kreuzungstieren genetische Marker nachweisen (Cheverud und Routman 1993), die dann entsprechend auch in anderen Rassen untersucht werden können. Die Kreuzungen der beiden Rassen Dt. Angus und Dt. Fleckvieh und Verhaltenstests der Kälber wurden inzwischen durchgeführt (Plachta 2009) und die Daten sowie Proben der Tiere stehen für zukünftige Analysen zur Verfügung.

Bei BTA29 zeigt sich allerdings bei FV auch im distalen Bereich bei ca. 74 cM in der FV-Karte ein Anstieg des F-Wertes auf 2,16 ab. Dort ist *ILSTS081* lokalisiert, der in direkter Nähe zu *DRD4* liegt (siehe Abbildung 22). Somit ist *DRD4* eventuell doch als positionelles

Kandidatengen anzusehen, wenn es auch nicht mit dem QTL im proximalen Abschnitt in Verbindung zu stehen scheint. Eine aktuelle QTL-Studie zum Temperament bei Charolais x Holstein Kreuzungen konnte signifikante QTLs im distalen Abschnitt von BTA29 (zwischen *DIK49* und *MNB-101*) für die Fluchtdistanz der Tiere in einem Verhaltenstest darstellen (Gutiérrez-Gil *et al.* 2008). Somit könnte *DRD4* hier eine Rolle spielen. Eine schematische Zusammenfassung dieser Aspekte ist in Abbildung 30 dargestellt.



**Abbildung 30:** Schematische Darstellung der telomerischen Abschnitte von BTA29 mit den Positionen der QTL von Hiendleder *et al.* (2003) und Gutiérrez-Gil *et al.* (2008) sowie der genetisch kartierten Lokalisation des *DRD4* und den in dieser Arbeit detektierten putativen QTL beider Rassen und Bereich des Anstiegs des F-Wertes bei FV.

Da bekannt ist, dass die einem QTL zugrundeliegenden molekularen Besonderheiten sehr unterschiedlich sein können (Andersson 2009), erscheint eine weitere Untersuchung verschiedener Genomregionen unter Berücksichtigung der in dieser Arbeit zusammengefassten Analyse und Integration der verschiedenen Ansätze und Chromosomenregionen sinnvoll. Hier wären zum Beispiel an OTL-Studien im Rahmen eines Whole Genome Scans zu denken, aber auch an eine detailiertere Untersuchung der telomerischen Bereiche von BTA1 und BTA29, die sich in dieser Arbeit als wichtige Ansatzpunkte für die dem Verhalten zugrundeliegende Genetik erwiesen haben. Im Anschluß könnten positionelle Kandidatengene analysiert werden, die mittels einer vollständigen Sequenzierung der codierenden Abschnitte anaylsiert werden sollten. So wäre eine weitere Grundlagenforschung für eine zukünftige Einbeziehung der Verhaltensgenetik in die Fleischrinderzucht und Mutterkuhhaltung möglich.

## 6 Zusammenfassung

Ziel dieser Arbeit war die Identifizierung von Chromsomenabschnitten und Polymorphismen in Kandidatengenen, die einen Einfluss auf das Verhalten von Kälbern der Mutterkuhrassen Dt. Angus (DA) und Dt. Fleckvieh (FV) haben.

Die einbezogenen Kälber stammen aus vier Jahrgängen des Lehr- und Versuchsbetriebes Rudlos. Insgesamt handelte es sich um 417 Kälber der Rasse FV und 545 Kälber der Rasse DA. Diese wurden drei Verhaltenstests unterzogen und dabei vier Sores vergeben (Min2AT im Anbindetest, SCEINWT bei Eintritt in die Waage, SCWGWT während des Wiegens, ScAST im Separier- und Rückhaltetest). FV-Kälber zeigten im Vergleich zu den DA-Kälbern ein unruhigeres Verhalten.

Für die Auswahl der Kandidatengene wurden funktionelle Merkmale herangezogen und vier Gene (Cholecystokininrezeptor B (CCKBR) - Gen, Dopaminrezeptor D4 (DRD4) - Gen, Monoaminoxidase A (MAOA) - Gen und das Serotonintransporter (SERT) - Gen) ausgewählt. In diesen Genen wurden bestimmte Abschnitte (CCKBR: Ex III – Ex IV und 3'UTR; DRD4: Intron 1 – ExII; MAOA: Ex XIV – Ex XV; SERT: Intron 13 und 5'UTR), amplifiziert und mit Sequenzierung analysiert. Insgesamt konnten fünf Nukleotidaustausche detektiert werden. Für die Typisierung dieser wurden PCR-RFLP- bzw. Tetra-Primer ARMS-PCR-Analysen etabliert und die Kälber genotypisiert. Die Assoziationsanalyse erfolgte mit Chi²-Test und den Extremwerten sowie mittels Varianzanalysen, wobei mit beiden Analysen unterschiedliche Signifikanzen detektiert wurden. Unter Kombination beider Ergebnisse sind der SNP im SERT (Einfluss auf Min2AT bei FV mit p = 0,0131) und im DRD4 (Effekt auf ScAST bei DA mit p = 0,0376 und Min2AT bei FV mit p = 0,0384) mit dem Verhalten der Kälber im Zusammenhang zu sehen.

In einem weiteren Teil der Arbeit wurden Mikrosatelliten auf BTA1 (BMS1928, DIK634, BMS574, BMS4020 und DIK4957) und BTA29 (BMS1857, BMS764, BMS1787, ILSTS089, MNB-127, MNB-145, MNB-109, OarHH22, BMC1206, ILSTS081, BMS1948, DIK4499, DIK5057 und MNB-101) analysiert und QTL-Analysen zu den Verhaltensscores berechnet. Hier zeigte sich ein putativer QTL auf BTA29 bei BMS764 in der Rasse Dt. Angus für SCEINWT. Im Rahmen einer Varianzanalyse mit den Mikrosatelliten auf BTA1 konnte ein Einfluss auf SCWGWT von BMS1928 (Allel 169) bei FV und von BMS574 (Allel 153) bei DA festgestellt werden. Dieses Allel hat ebenso einen Effekt auf ScAST bei FV.

Das Gen des Dopaminrezeptors D4 wurde mit 14 Mikrosatelliten auf BTA29 in beiden Rassen im distalen Abschnitt des Chromosomes bei MNB-101 genetisch kartiert.

122 SUMMARY

## 7 Summary

The aim of this study was the identification of sections of chromosomes and polymorphisms in genes, which influence the behaviour of calves. The included examined calves in the study were German Simmental (GS) and German Angus (GA) born in four consecutive years at the research station Rudlos. They were behaviour tested in three different testsituations with four scores (Min2AT in tetheringtest, SCEINWT while entering the scale, SCWGWT while weighing and score ScAST for separation- and restrainttest). All together 417 German Simmental and 545 German Angus calves were used in this study. In the behaviour tests the GS were more difficult to handle than the GA.

The candidate genes were selected according to functional characteristics und four genes (cholecystokininreceptor B (CCKBR) - gene, dopamine receptor D4 (DRD4) - gene, monoamine oxidase A (MAOA) - gene and the serotonintransporter (SERT) - gene) were decided which had been analyzed. Different regions in these genes (CCKBR: Ex III – Ex IV und 3'UTR; DRD4: Intron 1 – ExII; MAOA: Ex XIV – Ex XV; SERT: Intron 13 und 5'UTR) were amplified and sequenced. A total of five nucleotide substitutions were identified. The genotyping of the calves was done with especially developed PCR-RFLP- or tetra-primer ARMS-PCR-analysis. Association studies between genotypes and behaviour scores were arranged with a chi-square test on the one hand and variance analysis on the other hand. Both analyses resulted in different outcomes. In conclusion of the outcomes the SNP in SERT (influence on Min2AT/FV with p = 0,0131) and the SNP in DRD4 (influence on ScAST/DA with p = 0,0376 and Min2AT/FV with p = 0,0384) could be supposed to affect the behaviour of the calves

Different microsatellites on BTA1 (BMS1928, DIK634, BMS574, BMS4020 and DIK4957) and BTA29 (BMS1857, BMS764, BMS1787, ILSTS089, MNB-127, MNB-145, MNB-109, OarHH22, BMC1206, ILSTS081, BMS1948, DIK4499, DIK5057 and MNB-101) were analysed and QTL-studies were calculated. On BTA29 a putative QTL near microsatellit BMS764 was detected, influencing SCEINWT in German Angus. With the microsatellites on BTA1 a variance analysis was done. The score SCWGWT was affected by BMS1928 (allel 169) in German Simmental and BMS574 (allel 153) in German Angus. These allel also influences ScAST in German Simmental.

The gene of the dopamine receptor D4 was mapped in this study with the 14 microsatellites on BTA29 in the distal telomeric region near *MNB-101* in both breeds.

#### 8 Literaturverzeichnis

- **Abell, C. W., S. W. Kwan** (2001): Molecular characterization of monoamine oxidases A and B. *Progress in Nucleic Acid Research and Molecular Biology* 65: 129-156.
- Adamec, R., P. Burton, J. Blundell, D. L. Murphy, A. Holmes (2006): Vulnerability to mild predator stress in serotonin transporter knockout mice. *Behavioural Brain Research* 170: 126-140.
- Agelink, M. W., J. Kornischka, J. Cordes, A. Klimke, H. Hauner, D. Ziegler (2006):
  Allgemeinmedizinische Aspekte der Therapie mit Antipsychotika der zweiten Generation. *Deutsches Ärzteblatt* 42: A2802-A2808.
- Ajmone Marsan, P., C. Gorni, E. Milanesi, R. Mazza, M. J. T. van Eijk, J. D. Peleman, J. L. Williams (2008): Assessment of AFLP (R) marker behaviour in enriching STS radiation hybrid maps. *Animal Genetics* 39: 383-394.
- Altschul, S. F., W. Gish, W. Miller, E. W. Myers, D. J. Lipman (1990): Basic local alignment search tool. *Journal of Molecular Biology* 215: 403-410.
- Andersson, L. (2001): Genetic dissection of phenotypic diversity in farm animals. *Nature Reviews. Genetics* 2: 130-138.
- Andersson, L. (2009): Genome-wide association analysis in domestic animals: a powerful approach for genetic dissection of trait loci. *Genetica* 136: 341-349.
- Andersson, L., M. Georges (2004): Domestic-animal genomics: deciphering the genetics of complex traits. *Nature Reviews. Genetics* 5: 202-212.
- **Asai, M.** (2004): Allele-specific real-time PCR for examination of X chromosome inactivation in *Bos Taurus*. Swiss Federal Institute of Technology, Zürich;
- **Asai, M., T. G. Berryere, S. M. Schmutz** (2004): The scurs locus in cattle maps to bovine chromosome 19. *Animal Genetics* 35: 34-39.
- Asghari, V., O. Schoots, S. van Kats, K. Ohara, V. Jovanovic, H. C. Guan, J. R. Bunzow, A. Petronis, H. H. Van Tol (1994): Dopamine D4 receptor repeat: analysis of different native and mutant forms of the human and rat genes. *Molecular Pharmacology* 46: 364-373.
- Ashwell, M. S., D. W. Heyen, T. S. Sonstegard, C. P. Van Tassell, Y. Da, P. M. VanRaden, M. Ron, J. I. Weller, H. A. Lewin (2004): Detection of quantitative trait loci affecting milk production, health, and reproductive traits in Holstein cattle. *Journal of Dairy Science* 87: 468-475.
- Auerbach, J., V. Geller, S. Lezer, E. Shinwell, R. H. Belmaker, J. Levine, R. Ebstein (1999): Dopamine D4 receptor (D4DR) and serotonin transporter promoter (5-HTTLPR) polymorphisms in the determination of temperament in 2-month-old infants. *Molecular Psychiatry* 4: 369-373.
- Auerbach, J. G., M. Faroy, R. Ebstein, M. Kahana, J. Levine (2001): The association of the dopamine D4 receptor gene (DRD4) and the serotonin transporter promoter gene (5-HTTLPR) with temperament in 12-month-old infants. *Journal of Child Psychology* and Psychiatry and Allied Disciplines 42: 777-783.
- Bach, A. W., N. C. Lan, D. L. Johnson, C. W. Abell, M. E. Bembenek, S. W. Kwan, P. H.
   Seeburg, J. C. Shih (1988): cDNA cloning of human liver monoamine oxidase A and
   B: molecular basis of differences in enzymatic properties. *Proceedings of the National Academy of Sciences of the United States of America* 85: 4934-4938.
- Bagnato, A., F. Schiavini, A. Rossoni, C. Maltecca, M. Dolezal, I. Medugorac, J. Solkner, V. Russo, L. Fontanesi, A. Friedmann, M. Soller, E. Lipkin (2008): Quantitative trait loci affecting milk yield and protein percentage in a three-country Brown Swiss population. *Journal of Dairy Science* 91: 767-783.

- Bailey, J. N., S. E. Breidenthal, M. J. Jorgensen, J. T. McCracken, L. A. Fairbanks (2007): The association of DRD4 and novelty seeking is found in a nonhuman primate model. *Psychiatric Genetics* 17: 23-27.
- Barendse, W., S. M. Armitage, L. M. Kossarek, A. Shalom, B. W. Kirkpatrick, A. M. Ryan, D. Clayton, L. Li, H. L. Neibergs, N. Zhang, W. M. Grosse, J. Weiss, P. Creighton, F. McCarthy, M. Ron, A. J. Teale, R. Fries, R. A. McGraw, S. S. Moore, M. Georges, M. Soller, J. E. Womack, D. J. S. Hetzel (1994): A genetic linkage map of the bovine genome. *Nature Genetics* 6: 227-235.
- Barendse, W., S. M. Armitage, A. M. Ryan, S. S. Moore, D. Clayton, M. Georges, J. E. Womack, J. Hetzel (1993): A genetic map of DNA loci on bovine chromosome 1. Genomics 18: 602-608.
- Barendse, W., D. Vaiman, S. J. Kemp, Y. Sugimoto, S. M. Armitage, J. L. Williams, H. S. Sun, A. Eggen, M. Agaba, S. A. Aleyasin, M. Band, M. D. Bishop, J. Buitkamp, K. Byrne, F. Collins, L. Cooper, W. Coppettiers, B. Denys, R. D. Drinkwater, K. Easterday, C. Elduque, S. Ennis, G. Erhardt, L. Ferretti, N. Flavin, Q. Gao, M. Georges, R. Gurung, B. Harlizius, G. A. Hawkins, J. Hetzel, T. Hirano, D. Hulme, C. Jorgensen, M. Kessler, B. W. Kirkpatrick, B. Konfortov, S. Kostica, C. Kuhn, J. A. Lenstra, H. Leveziel, H. A. Lewin, B. Leyhe, L. Li, I. Martin Burriel, R. A. McGraw, J. R. Miller, D. E. Moody, S. S. Moore, S. Nakane, I. J. Nijman, I. Olsaker, P. D., A. Rando, M. Ron, A. Shalom, A. J. Teale, U. Thieven, B. G. D. Urquhart, D.-I. Vage, A. Van de Weghe, S. Varvio, R. Velmala, J. Vilkki, R. Weikard, C. Woodside, J. E. Womack, M. Zanotti, P. Zaragoza (1997): A medium-density genetic linkage map of the bovine genome. *Mammalian Genome* 8: 21-28.
- Battersby, S., A. D. Ogilvie, C. A. Smith, D. H. Blackwood, W. J. Muir, J. P. Quinn, G. Fink, G. M. Goodwin, A. J. Harmar (1996): Structure of a variable number tandem repeat of the serotonin transporter gene and association with affective disorder. *Psychiatric Genetics* 6: 177-181.
- **Baumung, R.** (2001): Grundsätze der Genomanalyse Genkartierung und Hauptgensuche. Genomanalyse und markergestützte Selektion Seminar des Genetischen Ausschusses der ZAR, Geinberg.
- **Becker, B. G., J. F. P. Lobato** (1997): Effect of gentle handling on the reactivity of zebu crossed calves to humans. *Applied Animal Behaviour Science* 53: 219-224.
- Becker, K., M. Laucht, M. El-Faddagh, M. H. Schmidt (2005): The dopamine D4 receptor gene exon III polymorphism is associated with novelty seeking in 15-year-old males from a high-risk community sample. *Journal of Neural Transmission* 112: 847-858.
- **Bellivier**, F., I. Roy, M. Leboyer (2002): Serotonin transporter gene polymorphisms and affective disorder-related phenotypes. *Current Opinion in Psychiatry* 15: 49-58.
- Bishop, M. D., S. M. Kappes, J. W. Keele, R. T. Stone, S. L. Sunden, G. A. Hawkins, S. S. Toldo, R. Fries, M. D. Grosz, J. Yoo, C. W. Beattie (1994): A genetic linkage map for cattle. *Genetics* 136: 619-639.
- Black, G. C., Z. Y. Chen, I. W. Craig, J. F. Powell (1991): Dinucleotide repeat polymorphism at the MAOA locus. *Nucleic Acids Research* 19: 689.
- **Boffelli, D., M. A. Nobrega, E. M. Rubin** (2004): Comparative genomics at the vertebrate extremes. *Nature Reviews. Genetics* 5: 456-465.
- Boichard, D., C. Grohs, F. Bourgeois, F. Cerqueira, R. Faugeras, A. Neau, R. Rupp, Y. Amigues, M. Y. Boscher, H. Leveziel (2003): Detection of genes influencing economic traits in three French dairy cattle breeds. *Genetics, Selection, Evolution.*: GSE 35: 77-101.

- **Boissy, A., M. F. Bouissou** (1988): Effects of early handling on heifer's subsequent reactivity to humans and to unfamiliar situations. *Applied Animal Behaviour Science* 20: 259-273.
- **Boivin, X., P. Le Neindre, J. M. Chupin** (1992): Establishment of cattle-human relationships. *Applied Animal Behaviour Science* 32: 325-335.
- Botstein, D., R. L. White, M. Skolnick, R. W. Davis (1980): Construction of a genetic linkage map in man using restriction fragment length polymorphisms. *American Journal of Human Genetics* 32: 314-331.
- **Bourin, M., M. Malinge, E. Vasar, J. Bradwejn** (1996): Two faces of cholecystokinin: anxiety and schizophrenia. *Fundamental & Clinical Pharmacology* 10: 116-126.
- Bradwejn, J., D. Koszycki, A. Couetoux du Tertre, H. van Megen, J. den Boer, H. Westenberg (1994): The panicogenic effects of cholecystokinin-tetrapeptide are antagonized by L-365,260, a central cholecystokinin receptor antagonist, in patients with panic disorder. Archives of General Psychiatry 51: 486-493.
- Brem, G., H. Kräußlich, G. Stranzinger (1991): Experimentelle Genetik in der Tierzucht Grundlagen für spezielle Verfahren der Biotechnik, Verlag Eugen Ulmer, Stuttgart.
- **Brownstein, M. J., J. D. Carpten, J. R. Smith** (1996): Modulation of non-templated nucleotide addition by Taq DNA polymerase: primer modifications that facilitate genotyping. *BioTechniques* 20: 1004-1006, 1008-1010.
- Brunner, H. G., M. Nelen, X. O. Breakefield, H. H. Ropers, B. A. van Oost (1993a):

  Abnormal behavior associated with a point mutation in the structural gene for monoamine oxidase A. *Science* 262: 578-580.
- Brunner, H. G., M. R. Nelen, P. van Zandvoort, N. G. Abeling, A. H. van Gennip, E. C. Wolters, M. A. Kuiper, H. H. Ropers, B. A. van Oost (1993b): X-linked borderline mental retardation with prominent behavioral disturbance: phenotype, genetic localization, and evidence for disturbed monoamine metabolism. *American Journal of Human Genetics* 52: 1032-1039.
- Buitenhuis, A. J., M. S. Lund, J. R. Thomasen, B. Thomsen, V. H. Nielsen, C. Bendixen, B. Guldbrandtsen (2007): Detection of quantitative trait loci affecting lameness and leg conformation traits in Danish Holstein cattle. *Journal of Dairy Science* 90: 472-481.
- **Burrow, H. M.** (1997): Measurement of temperament and their relationship with performance traits of beef cattle. *Animal Breeding Abstracts*: 478-495.
- Casanova, L., C. Frei-Tschopp, O. Grüter, J. Moll (2003): Erbfehler und Erbhygiene am Beispiel des Braunviehs. Erbfehler und Erbhygiene beim Rind - Seminar des Genetischen Aussschusses der ZAR, Salzburg.
- Cases, O., I. Seif, J. Grimsby, P. Gaspar, K. Chen, S. Pournin, U. Muller, M. Aguet, C. Babinet, J. C. Shih, E. De Maeyer (1995): Aggressive behavior and altered amounts of brain serotonin and norepinephrine in mice lacking MAOA. *Science* 268: 1763-1766.
- Caspi, A., J. McClay, T. E. Moffitt, J. Mill, J. Martin, I. W. Craig, A. Taylor, R. Poulton (2002): Role of genotype in the cycle of violence in maltreated children. *Science* 297: 851-854.
- Chen, K., D. P. Holschneider, W. Wu, I. Rebrin, J. C. Shih (2004): A spontaneous point mutation produces monoamine oxidase A/B knock-out mice with greatly elevated monoamines and anxiety-like behavior. *The Journal of Biological Chemistry* 279: 39645-39652.
- **Cheverud, J. M., E. Routman** (1993): Quantitative Trait Loci Individual Gene Effects on Quantitative Characters. *Journal of Evolutionary Biology* 6: 463-480.
- Ciampolini, R., K. Moazami-Goudarzi, D. Vaiman, C. Dillmann, E. Mazzanti, J. L. Foulley, H. Leveziel, D. Cianci (1995): Individual multilocus genotypes using

- microsatellite polymorphisms to permit the analysis of the genetic variability within and between Italian beef cattle breeds. *Journal of Animal Science* 73: 3259-3268.
- **Civelli, O., J. R. Bunzow, D. K. Grandy** (1993): Molecular diversity of the dopamine receptors. *Annual Review of Pharmacology and Toxicology* 33: 281-307.
- **Cloninger, C. R.** (1987): A systematic method for clinical description and classification of personality variants. A proposal. *Archives of General Psychiatry* 44: 573-588.
- Cloninger, C. R., D. M. Svrakic, T. R. Przybeck (1993): A psychobiological model of temperament and character. *Archives of General Psychiatry* 50: 975-990.
- Cohen, H., Z. Kaplan, M. A. Matar, I. Buriakovsky, M. Bourin, M. Kotler (2004): Different pathways mediated by CCK1 and CCK2 receptors: effect of intraperitonal mrna antisense oligodeoxynucleotides to cholecystokinin on anxiety-like and learning behaviors in rats. *Depression and Anxiety* 20: 139-152.
- Collier, D. A., M. J. Arranz, P. Sham, S. Battersby, H. Vallada, P. Gill, K. J. Aitchison, M. Sodhi, T. Li, G. W. Roberts, B. Smith, J. Morton, R. M. Murray, D. Smith, G. Kirov (1996): The serotonin transporter is a potential susceptibility factor for bipolar affective disorder. *Neuroreport* 7: 1675-1679.
- Contini, V., F. Z. Marques, C. E. Garcia, M. H. Hutz, C. H. Bau (2006): MAOA-uVNTR polymorphism in a Brazilian sample: further support for the association with impulsive behaviors and alcohol dependence. *American Journal of Medical Genetics*. *Part B, Neuropsychiatric Genetics* 141: 305-308.
- Craig, I. W. (2007): The importance of stress and genetic variation in human aggression. BioEssays: News and Reviews in molecular, cellular and developmental Biology 29: 227-236.
- Crawley, J. N., R. L. Corwin (1994): Biological actions of cholecystokinin. *Peptides* 15: 731-755.
- **Darvasi, A., M. Soller** (1994): Selective DNA pooling for determination of linkage between a molecular marker and a quantitative trait locus. *Genetics* 138: 1365-1373.
- Daugé, V., I. Léna (1998): CCK in anxiety and cognitive processes. Neuroscience and Biobehavioral Reviews 22: 815-825.
- Daugé, V., A. Sebret, F. Beslot, T. Matsui, B. P. Roques (2001): Behavioral profile of CCK2 receptor-deficient mice. Neuropsychopharmacology: official publication of the American College of Neuropsychopharmacology 25: 690-698.
- **Davidson, J. R.** (1998): Pharmacotherapy of social anxiety disorder. *The Journal of Clinical Psychiatry* 59 Suppl 17: 47-53.
- Deakin, J. F. (1991): Depression and 5HT. International Clinical Psychopharmacology 6 Suppl.: 23-28.
- Deckert, J., M. Catalano, Y. V. Syagailo, M. Bosi, O. Okladnova, D. Di Bella, M. M. Nothen, P. Maffei, P. Franke, J. Fritze, W. Maier, P. Propping, H. Beckmann, L. Bellodi, K. P. Lesch (1999): Excess of high activity monoamine oxidase A gene promoter alleles in female patients with panic disorder. *Human Molecular Genetics* 8: 621-624.
- **Dekkers, J. C., F. Hospital** (2002): The use of molecular genetics in the improvement of agricultural populations. *Nature Reviews. Genetics* 3: 22-32.
- Désautés, C., J. P. Bidanelt, D. Milant, N. Iannuccelli, Y. Amigues, F. Bourgeois, J. C. Caritez, C. Renard, C. Chevalet, P. Mormède (2002): Genetic linkage mapping of quantitative trait loci for behavioral and neuroendocrine stress response traits in pigs. *Journal of Animal Science* 80: 2276-2285.
- Desbois, C., P. Clerc, I. Le Huerou-Luron, G. Le Drean, M. Gestin, M. Dufresne, D. Fourmy, P. Guilloteau (1998): Differential tissular expression of the CCK(A) and CCK(B) gastrin receptor genes during postnatal development in the calf. *Life Sciences* 63: 2059-2070.

- **Drögemüller, C., A. Wohlke, S. Momke, O. Distl** (2005): Fine mapping of the polled locus to a 1-Mb region on bovine chromosome 1q12. *Mammalian Genome* 16: 613-620.
- Du, L., D. Bakish, A. Ravindran, P. D. Hrdina (2004): MAO-A gene polymorphisms are associated with major depression and sleep disturbance in males. *Neuroreport* 15: 2097-2101.
- Dufresne, M., C. Escrieut, P. Clerc, I. Le Huerou-Luron, H. Prats, V. Bertrand, V. Le Meuth, P. Guilloteau, N. Vaysse, D. Fourmy (1996): Molecular cloning, developmental expression and pharmacological characterization of the CCKB/gastrin receptor in the calf pancreas. *European Journal of Pharmacology* 297: 165-179.
- Dulawa, S. C., D. K. Grandy, M. J. Low, M. P. Paulus, M. A. Geyer (1999): Dopamine D4 receptor-knock-out mice exhibit reduced exploration of novel stimuli. *The Journal of Neuroscience: the official journal of the Society for Neuroscience* 19: 9550-9556.
- Ebstein, R. P., I. Gritsenko, L. Nemanov, A. Frisch, Y. Osher, R. H. Belmaker (1997):

  No association between the serotonin transporter gene regulatory region polymorphism and the Tridimensional Personality Questionnaire (TPQ) temperament of harm avoidance. *Molecular Psychiatry* 2: 224-226.
- Ebstein, R. P., O. Novick, R. Umansky, B. Priel, Y. Osher, D. Blaine, E. R. Bennett, L. Nemanov, M. Katz, R. H. Belmaker (1996): Dopamine D4 receptor (D4DR) exon III polymorphism associated with the human personality trait of Novelty Seeking. *Nature Genetics* 12: 78-80.
- Edmondson, D. E., A. Mattevi, C. Binda, M. Li, F. Hubalek (2004): Structure and mechanism of monoamine oxidase. *Current Medicinal Chemistry* 11: 1983-1993.
- **Ekelund, J., J. Suhonen, M. R. Jarvelin, L. Peltonen, D. Lichtermann** (2001): No association of the -521 C/T polymorphism in the promoter of DRD4 with novelty seeking. *Molecular Psychiatry* 6: 618-619.
- **Fahrenkrug, S. C., E. Casas, J. W. Keele, T. P. Smith** (1999): Technical note: direct genotyping of the double-muscling locus (mh) in Piedmontese and Belgian Blue cattle by fluorescent PCR. *Journal of Animal Science* 77: 2028-2030.
- Farook, J. M., Y. Z. Zhu, H. Wang, S. Moochhala, L. Lee, P. T. Wong (2001): Strain differences in freezing behavior of PVG hooded and Sprague-Dawley rats: differential cortical expression of cholecystokinin2 receptors. *Neuroreport* 12: 2717-2720.
- Fidler, A. E., K. van Oers, P. J. Drent, S. Kuhn, J. C. Mueller, B. Kempenaers (2007): Drd4 gene polymorphisms are associated with personality variation in a passerine bird. *Proceedings. Biological Sciences / The Royal Society* 274: 1685-1691.
- Fink, H., A. Rex, M. Voits, J. P. Voigt (1998): Major biological actions of CCK--a critical evaluation of research findings. *Experimental brain research*. *Experimentelle Hirnforschung*. *Expérimentation cérébrale* 123: 77-83.
- **Fiskerstrand, C. E., E. A. Lovejoy, J. P. Quinn** (1999): An intronic polymorphic domain often associated with susceptibility to affective disorders has allele dependent differential enhancer activity in embryonic stem cells. *FEBS letters* 458: 171-174.
- **Flint, J.** (2003): Analysis of quantitative trait loci that influence animal behavior. *Journal of neurobiology* 54: 46-77.
- Fordyce, G., R. M. Dodt, J. R. Wythes (1988a): Cattle temperaments in extensive beef herds in northern Queensland 1. Factors affecting temperament. *Australian Journal of Experimental Agriculture* 28: 683-687.
- Fordyce, G., J. R. Wythes, W. R. Shorthose, D. W. Underwood, R. K. Shepherd (1988b):
  Cattle temperaments in extensive beef herds in northern Queensland 2. Effect of temperament on carcass and meat quality. *Australian Journal of Experimental Agriculture* 28: 689-693.
- Fuchs, U. (2003): Die Genomfalle, Ullstein Heyne List GmbH & Co. KG.

- Fujii, J., K. Otsu, F. Zorzato, S. de Leon, V. K. Khanna, J. E. Weiler, P. J. O'Brien, D. H. MacLennan (1991): Identification of a mutation in porcine ryanodine receptor associated with malignant hyperthermia. *Science* 253: 448-451.
- Gasparin, G., M. Miyata, L. L. Coutinho, M. L. Martinez, R. L. Teodoro, J. Furlong, M. A. Machado, M. V. Silva, T. S. Sonstegard, L. C. Regitano (2007): Mapping of quantitative trait loci controlling tick [Riphicephalus (Boophilus) microplus] resistance on bovine chromosomes 5, 7 and 14. *Animal Genetics* 38: 453-459.
- **Gauly, M., H. Mathiak, G. Erhardt** (2002): Genetic background of behavioural and plasma cortisol response to repeated short-term separation and tethering of beef calves. *Journal of Animal Breeding and Genetics* 119: 379-384.
- Gauly, M., H. Mathiak, K. Hoffmann, M. Kraus, G. Erhardt (2001): Estimating genetic variability in temperamental traits in German Angus and German Simmental cattle. Applied Animal Behaviour Science 74: 109-119.
- **Geha, R. M., K. Chen, J. Wouters, F. Ooms, J. C. Shih** (2002): Analysis of conserved active site residues in monoamine oxidase A and B and their three-dimensional molecular modeling. *The Journal of Biological Chemistry* 277: 17209-17216.
- **Geldermann, H.** (1975): Investigations on inheritance of quantitative characters in animals by gene markers I. Methods. *Theoretical and Applied Genetics* 46: 319-330.
- Geldermann, H. (2005): Tier-Biotechnologie, Verlag Eugen Ulmer, Stuttgart.
- Georges, M., A. B. Dietz, A. Mishra, D. Nielsen, L. S. Sargeant, A. Sorensen, M. R. Steele, X. Zhao, H. Leipold, J. E. Womack, M. Lathrop (1993a): Microsatellite mapping of the gene causing weaver disease in cattle will allow the study of an associated quantitative trait locus. *Proceedings of the National Academy of Sciences of the United States of America* 90: 1058-1062.
- Georges, M., R. Drinkwater, T. King, A. Mishra, S. S. Moore, D. Nielsen, L. S. Sargeant, A. Sorensen, M. R. Steele, X. Zhao, J. E. Womack, J. Hetzel (1993b): Microsatellite mapping of a gene affecting horn development in Bos taurus. *Nature Genetics* 4: 206-210.
- Georges, M., D. Nielsen, M. Mackinnon, A. Mishra, R. Okimoto, A. T. Pasquino, L. S. Sargeant, A. Sorensen, M. R. Steele, X. Zhao, J. E. Womack, I. Hoeschele (1995): Mapping quantitative trait loci controlling milk production in dairy cattle by exploiting progeny testing. *Genetics* 139: 907-920.
- Gerra, G., L. Garofano, L. Castaldini, F. Rovetto, A. Zaimovic, G. Moi, M. Bussandri, B. Branchi, F. Brambilla, G. Friso, C. Donnini (2005): Serotonin transporter promoter polymorphism genotype is associated with temperament, personality traits and illegal drugs use among adolescents. *Journal of Neural Transmission* 112: 1397-1410
- Gerra, G., L. Garofano, G. Santoro, S. Bosari, C. Pellegrini, A. Zaimovic, G. Moi, M. Bussandri, A. Moi, F. Brambilla, C. Donnini (2004): Association between low-activity serotonin transporter genotype and heroin dependence: behavioral and personality correlates. American Journal of Medical Genetics. Part B, Neuropsychiatric Genetics 126: 37-42.
- Giambra, I. J., L. Chianese, P. Ferranti, G. Erhardt (2009): Genomics and Proteomics of deleted ovine CSN1S1\*I. *International Dairy Journal* doi:10.1016/j.idairyj.2009.09.005, im Druck.
- **Goldgar, D. E., P. Green, D. M. Parry, J. J. Mulvihill** (1989): Multipoint linkage analysis in neurofibromatosis type I: an international collaboration. *American journal of human genetics* 44: 6-12.
- Gonda, M. G., B. W. Kirkpatrick, G. E. Shook, M. T. Collins (2007): Identification of a QTL on BTA20 affecting susceptibility to Mycobacterium avium ssp. paratuberculosis infection in US Holsteins. *Animal Genetics* 38: 389-396.

- **Grandin, T.** (1993): Behavioral agitation during handling of cattle is persistent over time. *Applied Animal Behaviour Science* 36: 1-9.
- **Grandin, T.** (1997): Assessment of stress during handling and transport. *Journal of Animal Science* 75: 249-257.
- **Grandin, T.** (2005): Ich sehe die Welt wie ein frohes Tier Eine Autistin entdeckt die Sprache der Tiere, Ullstein Verlag.
- **Green, P.** (1992): Construction and comparison of chromosome 21 radiation hybrid and linkage maps using CRI-MAP. *Cytogenetics and Cell Genetics* 59: 122-124.
- Grignard, L., A. Boissy, X. Boivin, J. P. Garel, P. Le Neindre (2000): The social environment influences the behavioural responses of beef cattle to handling. *Applied Animal Behaviour Science* 68: 1-11.
- Grimsby, J., K. Chen, L. J. Wang, N. C. Lan, J. C. Shih (1991): Human monoamine oxidase A and B genes exhibit identical exon-intron organization. *Proceedings of the National Academy of Sciences of the United States of America* 88: 3637-3641.
- Grobet, L., D. Poncelet, L. J. Royo, B. Brouwers, D. Pirottin, C. Michaux, F. Menissier, M. Zanotti, S. Dunner, M. Georges (1998): Molecular definition of an allelic series of mutations disrupting the myostatin function and causing double-muscling in cattle. *Mammalian Genome* 9: 210-213.
- Gutiérrez-Gil, B., N. Ball, D. Burton, M. Haskell, J. L. Williams, P. Wiener (2008): Identification of quantitative trait Loci affecting cattle temperament. *The Journal of Heredity* 99: 629-638.
- Haberfeld, A., D. Kalay, P. Weisberger, O. Gal, J. Hilliel (1993): Applications of multilocus molecular markers in cattle breeding. *Journal of Dairy Science* 76: 645-652.
- Haegeman, A., J. L. Williams, A. Law, A. Van Zeveren, L. J. Peelman (2003a): Characterization and mapping of bovine dopamine receptors 1 and 5. *Animal Genetics* 34: 290-293.
- Haegeman, A., J. L. Williams, A. Law, A. Van Zeveren, L. J. Peelman (2003b): Mapping and SNP analysis of bovine candidate genes for meat and carcass quality. *Animal Genetics* 34: 349-353.
- Hallikainen, T., T. Saito, H. M. Lachman, J. Volavka, T. Pohjalainen, O. P. Ryynanen, J. Kauhanen, E. Syvalahti, J. Hietala, J. Tiihonen (1999): Association between low activity serotonin transporter promoter genotype and early onset alcoholism with habitual impulsive violent behavior. *Molecular Psychiatry* 4: 385-388.
- Hamada, H., M. G. Petrino, T. Kakunaga (1982): A novel repeated element with Z-DNA-forming potential is widely found in evolutionarily diverse eukaryotic genomes. Proceedings of the National Academy of Sciences of the United States of America 79: 6465-6469.
- Hamada, H., M. G. Petrino, T. Kakunaga, M. Seidman, B. D. Stollar (1984): Characterization of genomic poly(dT-dG).poly(dC-dA) sequences: structure, organization, and conformation. *Molecular and Cellular Biology* 4: 2610-2621.
- Hamilton, S. P., S. L. Slager, L. Helleby, G. A. Heiman, D. F. Klein, S. E. Hodge, M. M. Weissman, A. J. Fyer, J. A. Knowles (2001): No association or linkage between polymorphisms in the genes encoding cholecystokinin and the cholecystokinin B receptor and panic disorder. *Molecular Psychiatry* 6: 59-65.
- Hancock, J. M. (1999): Microsatellites and other simple sequences: genomic context and mutational mechanisms. Microsatellites - Evolution and Applications. D. B. Goldstein und C. Schlötterer, Oxford University Press.
- Harada, S., T. Okubo, M. Tsutsumi, S. Takase, T. Muramatsu (1996): Investigation of genetic risk factors associated with alcoholism. *Alcoholism, Clinical and Experimental Research* 20: 293A-296A.

- **Harro, J.** (2006): CCK and NPY as anti-anxiety treatment targets: promises, pitfalls, and strategies. *Amino Acids* 31: 215-230.
- Harro, J., J. Marcusson, L. Oreland (1992): Alterations in brain cholecystokinin receptors in suicide victims. European Neuropsychopharmacology: the Journal of the European College of Neuropsychopharmacology 2: 57-63.
- Hasegawa, T., F. Sato, N. Ishida (2002): Determination and Variability of Nucleotide Sequences for D4 Dopamine Receptor Genes (DRD4) in Genus Equus. Journal of Equine Science 13: 57-62.
- Hattori, E., K. Yamada, T. Toyota, K. Yoshitsugu, M. Toru, H. Shibuya, T. Yoshikawa (2001): Association studies of the CT repeat polymorphism in the 5' upstream region of the cholecystokinin B receptor gene with panic disorder and schizophrenia in Japanese subjects. American Journal of Medical Genetics 105: 779-782.
- **Hearnshaw, H., C. A. Morris** (1984): Genetic and Environmental Effects on a Temperament Score in Beef Cattle. *Australian Journal of Agricultural Research* 35: 723-733.
- Heils, A., A. Teufel, S. Petri, M. Seemann, D. Bengel, U. Balling, P. Riederer, K. P. Lesch (1995): Functional promoter and polyadenylation site mapping of the human serotonin (5-HT) transporter gene. *Journal of Neural Transmission. General Section* 102: 247-254.
- Hejjas, K., J. Vas, J. Topal, E. Szantai, Z. Ronai, A. Szekely, E. Kubinyi, Z. Horvath, M. Sasvari-Szekely, A. Miklosi (2007): Association of polymorphisms in the dopamine D4 receptor gene and the activity-impulsivity endophenotype in dogs. *Animal Genetics* 38: 629-633.
- Hernandez-Gómez, A. M., R. Aguilar-Roblero, M. Perez de la Mora (2002): Role of cholecystokinin-A and cholecystokinin-B receptors in anxiety. *Amino Acids* 23: 283-290.
- **Hiendleder, S., H. Lewalski, R. Wassmuth, A. Janke** (1998): The complete mitochondrial DNA sequence of the domestic sheep (*Ovis aries*) and comparison with the other major ovine haplotype. *Journal of Molecular Evolution* 47: 441-448.
- Hiendleder, S., H. Thomsen, N. Reinsch, J. Bennewitz, B. Leyhe-Horn, C. Looft, N. Xu, I. Medjugorac, I. Russ, C. Kuhn, G. A. Brockmann, J. Blumel, B. Brenig, F. Reinhardt, R. Reents, G. Averdunk, M. Schwerin, M. Forster, E. Kalm, G. Erhardt (2003): Mapping of QTL for Body Conformation and Behavior in Cattle. The Journal of Heredity 94: 496-506.
- **Hoeschele, I., T. R. Meinert** (1990): Association of genetic defects with yield and type traits: the weaver locus effect on yield. *Journal of Dairy Science* 73: 2503-2515.
- Hoh, J., J. Ott (2001): A train of thoughts on gene mapping. Theoretical Population Biology 60: 149-153.
- **Holmes, A., D. L. Murphy, J. N. Crawley** (2002a): Reduced aggression in mice lacking the serotonin transporter. *Psychopharmacology* 161: 160-167.
- Holmes, A., R. J. Yang, D. L. Murphy, J. N. Crawley (2002b): Evaluation of antidepressant-related behavioral responses in mice lacking the serotonin transporter. Neuropsychopharmacology: official publication of the American College of Neuropsychopharmacology 27: 914-923.
- **Holtkemper, U., B. Rolf, C. Hohoff, P. Forster, B. Brinkmann** (2001): Mutation rates at two human Y-chromosomal microsatellite loci using small pool PCR techniques. *Human Molecular Genetics* 10: 629-633.
- Homberg, J. R., J. D. Olivier, B. M. Smits, J. D. Mul, J. Mudde, M. Verheul, O. F. Nieuwenhuizen, A. R. Cools, E. Ronken, T. Cremers, A. N. Schoffelmeer, B. A. Ellenbroek, E. Cuppen (2007): Characterization of the serotonin transporter knockout rat: a selective change in the functioning of the serotonergic system. Neuroscience 146: 1662-1676.

- Horinouchi, Y., J. Akiyoshi, A. Nagata, H. Matsushita, T. Tsutsumi, K. Isogawa, T. Noda, H. Nagayama (2004): Reduced anxious behavior in mice lacking the CCK2 receptor gene. European Neuropsychopharmacology: the Journal of the European College of Neuropsychopharmacology 14: 157-161.
- Hösing, V. G., A. Schirmacher, G. Kuhlenbaumer, C. Freitag, P. Sand, C. Schlesiger, C. Jacob, J. Fritze, P. Franke, M. Rietschel, H. Garritsen, M. M. Nothen, R. Fimmers, F. Stogbauer, J. Deckert (2004): Cholecystokinin- and cholecystokinin-B-receptor gene polymorphisms in panic disorder. *Journal of Neural Transmission. Supplementum*: 147-156.
- Hotamisligil, G. S., X. O. Breakefield (1991): Human monoamine oxidase A gene determines levels of enzyme activity. American Journal of Human Genetics 49: 383-392.
- Hu, Z. L., E. R. Fritz, J. M. Reecy (2007): AnimalQTLdb: a livestock QTL database tool set for positional QTL information mining and beyond. *Nucleic Acids Research* 35: D604-609.
- **Hu, Z. L., J. M. Reecy** (2007): Animal QTLdb: beyond a repository. A public platform for QTL comparisons and integration with diverse types of structural genomic information. *Mammalian Genome* 18: 1-4.
- Ihara, N., A. Takasuga, K. Mizoshita, H. Takeda, M. Sugimoto, Y. Mizoguchi, T. Hirano, T. Itoh, T. Watanabe, K. M. Reed, W. M. Snelling, S. M. Kappes, C. W. Beattie, G. L. Bennett, Y. Sugimoto (2004): A comprehensive genetic map of the cattle genome based on 3802 microsatellites. *Genome Research* 14: 1987-1998.
- Inoue-Murayama, M., N. Matsuura, Y. Murayama, T. Tsubota, T. Iwasaki, H. Kitagawa, S. Ito (2002): Sequence comparison of the dopamine receptor D4 exon III repetitive region in several species of the order Carnivora. *The Journal of Veterinary Medical Science / the Japanese Society of Veterinary Science* 64: 747-749.
- **ISAG** (2003): Recommended ISAG panels of markers for parentage verification. www.isag.org.uk.
- Ito, H., H. Nara, M. Inoue-Murayama, M. K. Shimada, A. Koshimura, Y. Ueda, H. Kitagawa, Y. Takeuchi, Y. Mori, Y. Murayama, M. Morita, T. Iwasaki, K. Ota, Y. Tanabe, S. Ito (2004): Allele frequency distribution of the canine dopamine receptor D4 gene exon III and I in 23 breeds. The Journal of Veterinary Medical Science / the Japanese Society of Veterinary Science 66: 815-820.
- Itoh, T., T. Watanabe, N. Ihara, P. Mariani, C. W. Beattie, Y. Sugimoto, A. Takasuga (2005): A comprehensive radiation hybrid map of the bovine genome comprising 5593 loci. *Genomics* 85: 413-424.
- Jann, O. C., J. Aerts, M. Jones, N. Hastings, A. Law, S. McKay, E. Marques, A. Prasad, J. Yu, S. S. Moore, S. Floriot, M. F. Mahe, A. Eggen, L. Silveri, R. Negrini, E. Milanesi, P. Ajmone-Marsan, A. Valentini, C. Marchitelli, M. C. Savarese, M. Janitz, R. Herwig, S. Hennig, C. Gorni, E. E. Connor, T. S. Sonstegard, T. Smith, C. Drogemuller, J. L. Williams (2006): A second generation radiation hybrid map to aid the assembly of the bovine genome sequence. BMC Genomics 7: 283-297.
- Joerg, H., H. R. Fries, E. Meijerink, G. F. Stranzinger (1996): Red coat color in Holstein cattle is associated with a deletion in the MSHR gene. *Mammalian Genome* 7: 317-318
- Jönsson, E. G., G. C. Sedvall, M. M. Nothen, S. Cichon (2003): Dopamine D4 receptor gene (DRD4) variants and schizophrenia: meta-analyses. *Schizophrenia Research* 61: 111-119.
- Kaiser, R., B. Muller-Oerlinghausen, D. Filler, P. B. Tremblay, A. Berghofer, I. Roots, J. Brockmoller (2002): Correlation between serotonin uptake in human blood platelets

- with the 44-bp polymorphism and the 17-bp variable number of tandem repeat of the serotonin transporter. *American Journal of Medical Genetics* 114: 323-328.
- Kalinowski, S. T., M. L. Taper, T. C. Marshall (2007): Revising how the computer program CERVUS accommodates genotyping error increases success in paternity assignment. *Molecular Ecology* 16: 1099-1106.
- **Kalueff, A. V., P. S. Gallagher, D. L. Murphy** (2006): Are serotonin transporter knockout mice 'depressed'? hypoactivity but no anhedonia. *Neuroreport* 17: 1347-1351.
- Katsuragi, S., H. Kunugi, A. Sano, T. Tsutsumi, K. Isogawa, S. Nanko, J. Akiyoshi (1999): Association between serotonin transporter gene polymorphism and anxietyrelated traits. *Biological Psychiatry* 45: 368-370.
- **Kaupe, B., A. Winter, R. Fries, G. Erhardt** (2004): DGAT1 polymorphism in Bos indicus and Bos taurus cattle breeds. *The Journal of Dairy Research* 71: 182-187.
- Kawada, Y., M. Hattori, X. Y. Dai, S. Nanko (1995): Possible association between monoamine oxidase A gene and bipolar affective disorder. *American Journal of Human Genetics* 56: 335-336.
- Kawasaki, A., C. Kyogoku, J. Ohashi, R. Miyashita, K. Hikami, M. Kusaoi, K. Tokunaga, Y. Takasaki, H. Hashimoto, T. W. Behrens, N. Tsuchiya (2008): Association of IRF5 polymorphisms with systemic lupus erythematosus in a Japanese population: support for a crucial role of intron 1 polymorphisms. Arthritis and Rheumatism 58: 826-834.
- Keating, K. E., K. A. Quane, B. M. Manning, M. Lehane, E. Hartung, K. Censier, A. Urwyler, M. Klausnitzer, C. R. Muller, J. J. Heffron, T. V. McCarthy (1994): Detection of a novel RYR1 mutation in four malignant hyperthermia pedigrees. *Human Molecular Genetics* 3: 1855-1858.
- Kehrli, M. E., Jr., M. R. Ackermann, D. E. Shuster, M. J. van der Maaten, F. C. Schmalstieg, D. C. Anderson, B. J. Hughes (1992): Bovine leukocyte adhesion deficiency. Beta 2 integrin deficiency in young Holstein cattle. *The American Journal of Pathology* 140: 1489-1492.
- Keltikangas-Jarvinen, L., M. Elovainio, M. Kivimaki, D. Lichtermann, J. Ekelund, L. Peltonen (2003): Association between the type 4 dopamine receptor gene polymorphism and novelty seeking. *Psychosomatic Medicine* 65: 471-476.
- Kemp, D. J., D. B. Smith, S. J. Foote, N. Samaras, M. G. Peterson (1989): Colorimetric detection of specific DNA segments amplified by polymerase chain reactions. Proceedings of the National Academy of Sciences of the United States of America 86: 2423-2427.
- Kennedy, J. L., J. Bradwejn, D. Koszycki, N. King, R. Crowe, J. Vincent, O. Fourie (1999): Investigation of cholecystokinin system genes in panic disorder. *Molecular Psychiatry* 4: 284-285.
- **Kim, S., A. Misra** (2007): SNP genotyping: technologies and biomedical applications. *Annual Review of Biomedical Engineering* 9: 289-320.
- Kim, S. J., Y. S. Kim, C. H. Kim, H. S. Lee (2006): Lack of association between polymorphisms of the dopamine receptor D4 and dopamine transporter genes and personality traits in a Korean population. *Yonsei Medical Journal* 47: 787-792.
- Klungland, H., A. Sabry, B. Heringstad, H. G. Olsen, L. Gomez-Raya, D. I. Vage, I. Olsaker, J. Odegard, G. Klemetsdal, N. Schulman, J. Vilkki, J. Ruane, M. Aasland, K. Ronningen, S. Lien (2001): Quantitative trait loci affecting clinical mastitis and somatic cell count in dairy cattle. *Mammalian Genome* 12: 837-842.
- Klungland, H., D. I. Vage, L. Gomez-Raya, S. Adalsteinsson, S. Lien (1995): The role of melanocyte-stimulating hormone (MSH) receptor in bovine coat color determination. *Mammalian Genome* 6: 636-639.

- Kolbehdari, D., Z. Wang, J. R. Grant, B. Murdoch, A. Prasad, Z. Xiu, E. Marques, P. Stothard, S. S. Moore (2008): A Whole-Genome Scan to Map Quantitative Trait Loci for Conformation and Functional Traits in Canadian Holstein Bulls. *Journal of Dairy Science* 99: 2844-2856.
- Kuhn, C., J. Bennewitz, N. Reinsch, N. Xu, H. Thomsen, C. Looft, G. A. Brockmann, M. Schwerin, C. Weimann, S. Hiendleder, G. Erhardt, I. Medjugorac, M. Forster, B. Brenig, F. Reinhardt, R. Reents, I. Russ, G. Averdunk, J. Blumel, E. Kalm (2003): Quantitative trait loci mapping of functional traits in the German Holstein cattle population. *Journal of Dairy Science* 86: 360-368.
- Kühn, K. U., K. Meyer, M. M. Nothen, M. Gansicke, A. Papassotiropoulos, W. Maier (1999): Allelic variants of dopamine receptor D4 (DRD4) and serotonin receptor 5HT2c (HTR2c) and temperament factors: replication tests. *American Journal of Medical Genetics* 88: 168-172.
- **Kumar, A., B. Ghosh** (2008): A single nucleotide polymorphism (A --> G) in intron 3 of IFNgamma gene is associated with asthma. *Genes and Immunity* 9: 294-301.
- Kunugi, H., M. Hattori, T. Kato, M. Tatsumi, T. Sakai, T. Sasaki, T. Hirose, S. Nanko (1997): Serotonin transporter gene polymorphisms: ethnic difference and possible association with bipolar affective disorder. *Molecular Psychiatry* 2: 457-462.
- **Kunugi, H., M. Tatsumi, T. Sakai, M. Hattori, S. Nanko** (1996): Serotonin transporter gene polymorphism and affective disorder. *Lancet* 347: 1340.
- Landeskuratorium der Erzeugerringe für tierische Veredelung in Bayern e.V. (2006): Wie sicher ist die MLP? http://www.lkv.bayern.de/akt/mlp\_seiten.pdf.
- Larkin, D. M., A. Everts-van der Wind, M. Rebeiz, P. A. Schweitzer, S. Bachman, C. Green, C. L. Wright, E. J. Campos, L. D. Benson, J. Edwards, L. Liu, K. Osoegawa, J. E. Womack, P. J. de Jong, H. A. Lewin (2003): A cattle-human comparative map built with cattle BAC-ends and human genome sequence. *Genome Research* 13: 1966-1972.
- Larsen, S. A., L. Mogensen, R. Dietz, H. J. Baagoe, M. Andersen, T. Werge, H. B. Rasmussen (2005): Identification and characterization of tandem repeats in exon III of dopamine receptor D4 (DRD4) genes from different mammalian species. *DNA and Cell Biology* 24: 795-804.
- Lawson, D. C., D. Turic, K. Langley, H. M. Pay, C. F. Govan, N. Norton, M. L. Hamshere, M. J. Owen, M. C. O'Donovan, A. Thapar (2003): Association analysis of monoamine oxidase A and attention deficit hyperactivity disorder. *American Journal of Medical Genetics. Part B, Neuropsychiatric Genetics* 116: 84-89.
- Le Dréan, G., I. Le Huerou-Luron, M. Gestin, C. Desbois, V. Rome, C. Bernard, M. Dufresne, L. Moroder, D. Gully, J. A. Chayvialle, D. Fourmy, P. Guilloteau (1999): Exogenous CCK and gastrin stimulate pancreatic exocrine secretion via CCK-A but also via CCK-B/gastrin receptors in the calf. *Pflügers Archiv: European Journal of Physiology* 438: 86-93.
- Le Neindre, P., G. Trillat, J. Sapa, F. Menissier, J. N. Bonnet, J. M. Chupin (1995): Individual differences in docility in Limousin cattle. *Journal of Animal Science* 73: 2249-2253.
- Lesch, K. P., U. Balling, J. Gross, K. Strauss, B. L. Wolozin, D. L. Murphy, P. Riederer (1994): Organization of the human serotonin transporter gene. *Journal of Neural Transmission. General Section* 95: 157-162.
- Lesch, K. P., D. Bengel, A. Heils, S. Z. Sabol, B. D. Greenberg, S. Petri, J. Benjamin, C. R. Muller, D. H. Hamer, D. L. Murphy (1996): Association of anxiety-related traits with a polymorphism in the serotonin transporter gene regulatory region. *Science* 274: 1527-1531.

- **Lesch, K. P., L. Gutknecht** (2005): Pharmacogenetics of the serotonin transporter. *Progress in Neuro-Psychopharmacology & Biological Psychiatry* 29: 1062-1073.
- **Lesch, K. P., U. Merschdorf** (2000): Impulsivity, aggression, and serotonin: a molecular psychobiological perspective. *Behavioral Sciences & The Law* 18: 581-604.
- Lesch, K. P., J. Meyer, K. Glatz, G. Flugge, A. Hinney, J. Hebebrand, S. M. Klauck, A. Poustka, F. Poustka, D. Bengel, R. Mossner, P. Riederer, A. Heils (1997): The 5-HT transporter gene-linked polymorphic region (5-HTTLPR) in evolutionary perspective: alternative biallelic variation in rhesus monkeys. Rapid communication. *Journal of Neural Transmission* 104: 1259-1266.
- **Lesch, K. P., R. Mössner** (1998): Genetically driven variation in serotonin uptake: is there a link to affective spectrum, neurodevelopmental, and neurodegenerative disorders? *Biological Psychiatry* 44: 179-192.
- **Levinson, G., G. A. Gutman** (1987): Slipped-strand mispairing: a major mechanism for DNA sequence evolution. *Molecular Biology and Evolution* 4: 203-221.
- **Lim, L. C., J. F. Powell, R. Murray, M. Gill** (1994): Monoamine oxidase A gene and bipolar affective disorder. *American Journal of Human Genetics* 54: 1122-1124.
- Litt, M., J. A. Luty (1989): A hypervariable microsatellite revealed by in vitro amplification of a dinucleotide repeat within the cardiac muscle actin gene. *American Journal of Human Genetics* 44: 397-401.
- **Livak, K. J., J. Rogers, J. B. Lichter** (1995): Variability of dopamine D4 receptor (DRD4) gene sequence within and among nonhuman primate species. *Proceedings of the National Academy of Sciences of the United States of America* 92: 427-431.
- Livingston, M. G., H. M. Livingston (1996): Monoamine oxidase inhibitors. An update on drug interactions. Drug Safety: an International Journal of Medical Toxicology and Drug Experience 14: 219-227.
- Löffler, G., P. E. Petrides (1998): Biochemie und Pathobiochemie, Springer-Verlag.
- **Löhner, L.** (1939): Über das spezifische Gewicht der Leukocyten und Thrombocyten. *Pflügers Archiv: European Journal of Physiology* 242: 509-514.
- Lühken, G. (2007): Molekulare Charakterisierung des Interleukin-2-Gens von Schaf-, Ziegen- und Rinderarten sowie Kartierung und funktionelle Analyse von DNA-Varianten des Interleukin-2-Gens von Ovis aries. Dissertation Fachbereich Veterinärmedizin, Institut für Tierzucht und Haustiergenetik, Justus-Liebig-Universität, Gießen; VVB Laufersweiler Verlag.
- Lund, M. S., G. Sahana, L. Andersson-Eklund, N. Hastings, A. Fernandez, N. Schulman, B. Thomsen, S. Viitala, J. L. Williams, A. Sabry, H. Viinalass, J. Vilkki (2007): Joint analysis of quantitative trait loci for clinical mastitis and somatic cell score on five chromosomes in three Nordic dairy cattle breeds. *Journal of Dairy Science* 90: 5282-5290.
- Lung, F. W., P. Yang, T. S. Cheng, W. T. Kao (2006): No allele variation of the MAOA gene promoter in male Chinese subjects with attention deficit hyperactivity disorder. *Neuropsychobiology* 54: 147-151.
- **Lymbery**, A. J. (1996): Finding Genetic Markers for Complex Phenotypic Traits in Parasites. *International Journal for Parasitology* 26: 7-17.
- Machado, M. B. B., M. M. Alencar, A. P. Pereira, H. N. Oliveira, E. Casas, L. L. Coutinho, L. C. A. Regitano (2003): QTL affecting body weight in a candidate region of cattle chromosome 5. Genetics and Molecular Biology 26: 259-265.
- MacKenzie, A., J. Quinn (1999): A serotonin transporter gene intron 2 polymorphic region, correlated with affective disorders, has allele-dependent differential enhancer-like properties in the mouse embryo. Proceedings of the National Academy of Sciences of the United States of America 96: 15251-15255.

- **Makalowski, W.** (2001): The human genome structure and organization. *Acta Biochimica Polonica* 48: 587-598.
- Männistö, P. T., A. Lang, J. Harro, E. Peuranen, J. Bradwejn, E. Vasar (1994): Opposite effects mediated by CCKA and CCKB receptors in behavioural and hormonal studies in rats. *Naunyn-Schmiedeberg's Archives of Pharmacology* 349: 478-484.
- Marshall, T. C., J. Slate, L. E. Kruuk, J. M. Pemberton (1998): Statistical confidence for likelihood-based paternity inference in natural populations. *Molecular Ecology* 7: 639-655.
- Mateus, J. C., M. C. Penedo, V. C. Alves, M. Ramos, T. Rangel-Figueiredo (2004): Genetic diversity and differentiation in Portuguese cattle breeds using microsatellites. *Animal Genetics* 35: 106-113.
- Mathews, T. A., D. E. Fedele, F. M. Coppelli, A. M. Avila, D. L. Murphy, A. M. Andrews (2004): Gene dose-dependent alterations in extraneuronal serotonin but not dopamine in mice with reduced serotonin transporter expression. *Journal of Neuroscience Methods* 140: 169-181.
- Mathiak, H. (2002): Genetische Parameter von Merkmalen des Temperamentes und der Umgänglichkeit bei den Rassen Deutsche Angus und Deutsches Fleckvieh. Dissertation Fachbereich Agrarwissenschaften, Oekotrophologie und Umweltmanagement, Institut für Tierzucht und Haustiergenetik, Justus-Liebig-Universität, Gießen; Fachverlag Köhler.
- McCauley, J. L., L. M. Olson, M. Dowd, T. Amin, A. Steele, R. D. Blakely, S. E. Folstein, J. L. Haines, J. S. Sutcliffe (2004): Linkage and association analysis at the serotonin transporter (SLC6A4) locus in a rigid-compulsive subset of autism. *American Journal of Medical Genetics. Part B, Neuropsychiatric Genetics* 127: 104-112.
- McPherron, A. C., S. J. Lee (1997): Double muscling in cattle due to mutations in the myostatin gene. *Proceedings of the National Academy of Sciences of the United States of America* 94: 12457-12461.
- Mejia, J. M., F. R. Ervin, R. M. Palmour, R. E. Tremblay (2001): Aggressive behavior and Brunner syndrome: no evidence for the C936T mutation in a population sample. *American Journal of Medical Genetics* 105: 396-397.
- Miyasaka, K., S. Kobayashi, M. Ohta, S. Kanai, Y. Yoshida, A. Nagata, T. Matsui, T. Noda, S. Takiguchi, Y. Takata, T. Kawanami, A. Funakoshi (2002): Anxiety-related behaviors in cholecystokinin-A, B, and AB receptor gene knockout mice in the plus-maze. *Neuroscience Letters* 335: 115-118.
- Mogensen, L., C. C. Kinze, T. Werge, H. B. Rasmussen (2006): Identification and characterization of a tandem repeat in exon III of the dopamine receptor D4 (DRD4) gene in cetaceans. *The Journal of Heredity* 97: 279-284.
- Momozawa, Y., Y. Takeuchi, R. Kusunose, T. Kikusui, Y. Mori (2005): Association between equine temperament and polymorphisms in dopamine D4 receptor gene. *Mammalian Genome* 16: 538-544.
- **Montgomery, G. W., J. A. Sise** (1990): Extraction of DNA from sheep white blood cells. *New Zealand Journal of Agricultural Research* 33: 437-441.
- Moore, S. S., K. Byrne, K. T. Berger, W. Barendse, F. McCarthy, J. E. Womack, D. J. Hetzel (1994): Characterization of 65 bovine microsatellites. *Mammalian Genome* 5: 84-90.
- **Mormède, P.** (2005): Molecular genetics of behaviour: research strategies and perspectives for animal production. *Livestock Production Science* 93: 15-21.
- Mormède, P., H. Courvoisier, A. Ramos, N. Marissal-Arvy, O. Ousova, C. Desautes, M. Duclos, F. Chaouloff, M. P. Moisan (2002): Molecular genetic approaches to investigate individual variations in behavioral and neuroendocrine stress responses. *Psychoneuroendocrinology* 27: 563-583.

- Mortensen, O. V., A. S. Kristensen, G. Rudnick, O. Wiborg (1999): Molecular cloning, expression and characterization of a bovine serotonin transporter. *Brain Research*. *Molecular Brain Research* 71: 120-126.
- Mulcrone, J., R. W. Kerwin (1996): No difference in the expression of the D4 gene in post-mortem frontal cortex from controls and schizophrenics. *Neuroscience Letters* 219: 163-166.
- Mülhardt, C. (2006): Der Experimentator: Molekularbiologie/Genomics, Elsevier GmbH, Spektrum Akademischer Verlag.
- Mullis, K., F. Faloona, S. Scharf, R. Saiki, G. Horn, H. Erlich (1992): Specific enzymatic amplification of DNA in vitro: the polymerase chain reaction. 1986. *Biotechnology* (*Reading, Mass.*) 24: 17-27.
- Nagarkatti, R., R. Kumar, S. K. Sharma, B. Ghosh (2004): Association of IL4 gene polymorphisms with asthma in North Indians. *International Archives of Allergy and Immunology* 134: 206-212.
- Naylor, L. H., E. M. Clark (1990): d(TG)n.d(CA)n sequences upstream of the rat prolactin gene form Z-DNA and inhibit gene transcription. *Nucleic Acids Research* 18: 1595-1601.
- Newman, T. K., Y. V. Syagailo, C. S. Barr, J. R. Wendland, M. Champoux, M. Graessle, S. J. Suomi, J. D. Higley, K. P. Lesch (2005): Monoamine oxidase A gene promoter variation and rearing experience influences aggressive behavior in rhesus monkeys. *Biological Psychiatry* 57: 167-172.
- Newton, C. R., A. Graham (1994): PCR, Spektrum Akademischer Verlag Heidelberg; Berlin; Oxford.
- Ng-Kwai-Hang, K. F., J. F. Hayes, J. E. Moxley, H. G. Monardes (1984): Association of genetic variants of casein and milk serum proteins with milk, fat, and protein production by dairy cattle. *Journal of Dairy Science* 67: 835-840.
- Nicholl, D. S. T. (1995): Gentechnische Methoden, Spektrum Akaddemischer Verlag Heidelberg; Berlin; Oxford.
- Niimi, Y., M. Inoue-Murayama, K. Kato, N. Matsuura, Y. Murayama, S. Ito, Y. Momoi, K. Konno, T. Iwasaki (2001): Breed differences in allele frequency of the dopamine receptor D4 gene in dogs. *The Journal of Heredity* 92: 433-436.
- Niimi, Y., M. Inoue-Murayama, Y. Murayama, S. Ito, T. Iwasaki (1999): Allelic variation of the D4 dopamine receptor polymorphic region in two dog breeds, Golden retriever and Shiba. *The Journal of Veterinary Medical Science / the Japanese Society of Veterinary Science* 61: 1281-1286.
- Noble, F., B. P. Roques (1999): CCK-B receptor: chemistry, molecular biology, biochemistry and pharmacology. *Progress in Neurobiology* 58: 349-379.
- **Noble, F., B. P. Roques** (2002): Phenotypes of mice with invalidation of cholecystokinin (CCK(1) or CCK(2)) receptors. *Neuropeptides* 36: 157-170.
- Oak, J. N., J. Oldenhof, H. H. Van Tol (2000): The dopamine D(4) receptor: one decade of research. *European Journal of Pharmacology* 405: 303-327.
- Ogilvie, A. D., S. Battersby, V. J. Bubb, G. Fink, A. J. Harmar, G. M. Goodwim, C. A. Smith (1996): Polymorphism in serotonin transporter gene associated with susceptibility to major depression. *Lancet* 347: 731-733.
- Ohno, K., M. Tanaka, H. Ino, H. Suzuki, M. Tashiro, T. Ibi, K. Sahashi, A. Takahashi, T. Ozawa (1991): Direct DNA sequencing from colony: analysis of multiple deletions of mitochondrial genome. *Biochimica et Biophysica Acta* 1090: 9-16.
- Oki, H., R. Kusunose, H. Nakaoka, A. Nishiura, T. Miyake, Y. Sasaki (2007): Estimation of heritability and genetic correlation for behavioural responses by Gibbs sampling in the Thoroughbred racehorse. *Journal of Animal Breeding and Genetics* 124: 185-191.

- **Okuyama, Y., H. Ishiguro, M. Toru, T. Arinami** (1999): A genetic polymorphism in the promoter region of DRD4 associated with expression and schizophrenia. *Biochemical and Biophysical Research Communications* 258: 292-295.
- Peter, C. (2005): Molekulargenetische Charakterisierung von Schafrassen Europas und des Nahen Ostens auf der Basis von Mikrosatelliten. Dissertation Fachbereich Veterinärmedizin, Institut für Tierzucht und Haustiergenetik, Justus-Liebig-Universität, Gießen; VVB Laufersweiler Verlag.
- Plachta, C. (2009): Untersuchungen zum Temperament von Dt. Angus und Dt. Fleckvieh Rindern sowie deren reziproken Kreuzung anhand verschiedener Testverfahren unter besonderer Berücksichtigung von Kreuzungseffekten. Dissertation Fachbereich Veterinärmedizin, Institut für Tierzucht und Haustiergenetik, Justus-Liebig-Universität, Gießen; VVB Laufersweiler Verlag.
- Polineni, P., P. Aragonda, S. R. Xavier, R. Furuta, D. L. Adelson (2006): The bovine QTL viewer: a web accessible database of bovine Quantitative Trait Loci. BMC Bioinformatics 7: 283.
- Pommier, B., F. Beslot, A. Simon, M. Pophillat, T. Matsui, V. Dauge, B. P. Roques, F. Noble (2002): Deletion of CCK2 receptor in mice results in an upregulation of the endogenous opioid system. The Journal of Neuroscience: the official journal of the Society for Neuroscience 22: 2005-2011.
- **Popova, N. K.** (2008): From gene to aggressive behavior: The role of brain serotonin. *Neuroscience and Behavioral Physiology*: 471-475.
- Popova, N. K., Y. A. Skrinskaya, T. G. Amstislavskaya, G. B. Vishnivetskaya, I. Seif, E. de Meier (2001): Behavioral characteristics of mice with genetic knockout of monoamine oxidase type A. Neuroscience and Behavioral Physiology 31: 597-602.
- Powell, J. F., Y. P. Hsu, W. Weyler, S. A. Chen, J. Salach, K. Andrikopoulos, J. Mallet, X. O. Breakefield (1989): The primary structure of bovine monoamine oxidase type A. Comparison with peptide sequences of bovine monoamine oxidase type B and other flavoenzymes. *The Biochemical Journal* 259: 407-413.
- Prasad, A., T. Schiex, S. McKay, B. Murdoch, Z. Wang, J. E. Womack, P. Stothard, S. S.
   Moore (2007): High resolution radiation hybrid maps of bovine chromosomes 19 and 29: comparison with the bovine genome sequence assembly. *BMC Genomics* 8: 310-319
- Quane, K. A., H. Ording, K. E. Keating, B. M. Manning, R. Heine, D. Bendixen, K. Berg, R. Krivosic-Horber, F. Lehmann-Horn, T. Fagerlund, T. V. McCarthy (1997): Detection of a novel mutation at amino acid position 614 in the ryanodine receptor in malignant hyperthermia. *British Journal of Anaesthesia* 79: 332-337.
- Rasmussen, H. B., M. A. Kelly, J. Clausen (2001): Genetic susceptibility to multiple sclerosis: detection of polymorphic nucleotides and an intron in the 3' untranslated region of the major histocompatibility complex class II transactivator gene. *Human Immunology* 62: 371-377.
- Raud, S., K. Runkorg, A. Veraksits, A. Reimets, A. Nelovkov, U. Abramov, T. Matsui, M. Bourin, V. Volke, S. Koks, E. Vasar (2003): Targeted mutation of CCK2 receptor gene modifies the behavioural effects of diazepam in female mice. *Psychopharmacology* 168: 417-425.
- **Ressler, K. J., C. B. Nemeroff** (2000): Role of serotonergic and noradrenergic systems in the pathophysiology of depression and anxiety disorders. *Depression and Anxiety* 12 Suppl.: 2-19.
- Riva, J., G. Bondiolotti, M. Michelazzi, M. Verga, C. Carenzi (2008): Anxiety related behavioural disorders and neurotransmitters in dogs. *Applied Animal Behaviour Science* 114: 168-181.

- **Roberts, D. A., D. Balderson, S. M. Pickering-Brown, J. F. Deakin, F. Owen** (1996): The relative abundance of dopamine D4 receptor mRNA in post mortem brains of schizophrenics and controls. *Schizophrenia Research* 20: 171-174.
- Rodrigues, K. P., P. A. Souza, P. M. Lima, W. O. Dutra, H. Correa, M. A. Romano-Silva (2005): Expression of D3 and D4 dopamine receptors in leukocytes is related to schizophrenic symptoms. *Schizophrenia Research* 80: 363-365.
- **Roubertoux, P. L., I. Le Roy-Duflos** (2001): Quantitative trait locus mapping: fishing strategy or replicable results? *Behavior Genetics* 31: 141-148.
- Rozen, S., H. Skaletsky (2000): Primer3 on the WWW for general users and for biologist programmers. *Methods in Molecular Biology (Clifton, N.J.)* 132: 365-386.
- Rubinstein, M., T. J. Phillips, J. R. Bunzow, T. L. Falzone, G. Dziewczapolski, G. Zhang, Y. Fang, J. L. Larson, J. A. McDougall, J. A. Chester, C. Saez, T. A. Pugsley, O. Gershanik, M. J. Low, D. K. Grandy (1997): Mice lacking dopamine D4 receptors are supersensitive to ethanol, cocaine, and methamphetamine. *Cell* 90: 991-1001.
- Sabol, S. Z., S. Hu, D. Hamer (1998): A functional polymorphism in the monoamine oxidase A gene promoter. *Human Genetics* 103: 273-279.
- Saiki, R. K., S. Scharf, F. Faloona, K. B. Mullis, G. T. Horn, H. A. Erlich, N. Arnheim (1985): Enzymatic amplification of beta-globin genomic sequences and restriction site analysis for diagnosis of sickle cell anemia. *Science* 230: 1350-1354.
- Saito, T., H. M. Lachman, L. Diaz, T. Hallikainen, J. Kauhanen, J. T. Salonen, O. P. Ryynanen, M. K. Karvonen, E. Syvalahti, T. Pohjalainen, J. Hietala, J. Tiihonen (2002): Analysis of monoamine oxidase A (MAOA) promoter polymorphism in Finnish male alcoholics. *Psychiatry Research* 109: 113-119.
- Sambrook, J., E. F. Fritsch, T. Maniatis (1989): Molecular Cloning A laboratory manual. New York, Cold Spring Harbour Laboratory Press.
- Samochowiec, J., K. P. Lesch, M. Rottmann, M. Smolka, Y. V. Syagailo, O. Okladnova, H. Rommelspacher, G. Winterer, L. G. Schmidt, T. Sander (1999): Association of a regulatory polymorphism in the promoter region of the monoamine oxidase A gene with antisocial alcoholism. *Psychiatry Research* 86: 67-72.
- Samochowiec, J., S. Syrek, P. Michal, A. Ryzewska-Wodecka, A. Samochowiec, J. Horodnicki, M. Zakrzewska, J. Kucharska-Mazur (2004): Polymorphisms in the serotonin transporter and monoamine oxidase A genes and their relationship to personality traits measured by the Temperament and Character Inventory and NEO Five-Factor Inventory in healthy volunteers. *Neuropsychobiology* 50: 174-181.
- Schlötterer, C., C. Vogl, D. Tautz (1997): Polymorphism and locus-specific effects on polymorphism at microsatellite loci in natural Drosophila melanogaster populations. *Genetics* 146: 309-320.
- Schmutz, S. M., F. L. Marquess, T. G. Berryere, J. S. Moker (1995): DNA marker-assisted selection of the polled condition in Charolais cattle. *Mammalian Genome* 6: 710-713.
- Schmutz, S. M., J. M. Stookey, D. C. Winkelman-Sim, C. S. Waltz, Y. Plante, F. C. Buchanan (2001): A QTL study of cattle behavioral traits in embryo transfer families. *The Journal of Heredity* 92: 290-292.
- Schrooten, C., H. Bovenhuis, W. Coppieters, J. A. Van Arendonk (2000): Whole genome scan to detect quantitative trait loci for conformation and functional traits in dairy cattle. *Journal of Dairy Science* 83: 795-806.
- Schuback, D. E., E. L. Mulligan, K. B. Sims, E. A. Tivol, B. D. Greenberg, S. F. Chang,
  S. L. Yang, Y. C. Mau, C. Y. Shen, M. S. Ho, N. H. Yang, M. G. Butler, S. Fink,
  C. E. Schwartz, F. Berlin, X. O. Breakefield, D. L. Murphy, Y. P. Hsu (1999):
  Screen for MAOA mutations in target human groups. American Journal of Medical
  Genetics 88: 25-28

- **Schwarzenbacher, H., M. Dolezal** (2003): Entwicklung und Anwendung von molekulargenetischen Tests zur Erkennung von Erbfehlern. Erbfehler und Erbhygiene beim Rind Seminar des Genetischen Aussschusses der ZAR, Salzburg.
- Seaton, G., C. S. Haley, S. A. Knott, M. Kearsey, P. M. Visscher (2002): QTL Express: mapping quantitative trait loci in simple and complex pedigrees. *Bioinformatics* (Oxford, England) 18: 339-340.
- Seeman, P., H. C. Guan, H. H. Van Tol (1993): Dopamine D4 receptors elevated in schizophrenia. *Nature* 365: 441-445.
- Seeman, P., H. H. Van Tol (1994): Dopamine receptor pharmacology. *Trends in Pharmacological Sciences* 15: 264-270.
- Semenova, T. P. (1997): The role of the interaction of serotonin- and noradrenergic systems in regulating behavior, Abstract. Zhurnal vysshei nervnoi deiatelnosti imeni I P Pavlova 47: 358-361.
- **Sharma, B. S., I. Leyva, F. Schenkel, N. A. Karrow** (2006): Association of toll-like receptor 4 polymorphisms with somatic cell score and lactation persistency in Holstein bulls. *Journal of Dairy Science* 89: 3626-3635.
- Sherry, S. T., M. H. Ward, M. Kholodov, J. Baker, L. Phan, E. M. Smigielski, K. Sirotkin (2001): dbSNP: the NCBI database of genetic variation. *Nucleic Acids Research* 29: 308-311.
- Shimada, M. K., M. Inoue-Murayama, Y. Ueda, M. Maejima, Y. Murayama, O. Takenaka, I. Hayasaka, S. Ito (2004): Polymorphism in the second intron of dopamine receptor D4 gene in humans and apes. *Biochemical and Biophysical Research Communications* 316: 1186-1190.
- Shioe, K., T. Ichimiya, T. Suhara, A. Takano, Y. Sudo, F. Yasuno, M. Hirano, M. Shinohara, M. Kagami, Y. Okubo, M. Nankai, S. Kanba (2003): No association between genotype of the promoter region of serotonin transporter gene and serotonin transporter binding in human brain measured by PET. Synapse (New York, N.Y.) 48: 184-188.
- Shuster, D. E., M. E. Kehrli, Jr., M. R. Ackermann, R. O. Gilbert (1992): Identification and prevalence of a genetic defect that causes leukocyte adhesion deficiency in Holstein cattle. Proceedings of the National Academy of Sciences of the United States of America 89: 9225-9229.
- **Sibley, D. R., F. J. Monsma, Jr.** (1992): Molecular biology of dopamine receptors. *Trends in Pharmacological Sciences* 13: 61-69.
- **Sneppen, K., M. A. Micheelsen, I. B. Dodd** (2008): Ultrasensitive gene regulation by positive feedback loops in nucleosome modification. *Molecular Systems Biology* 4: 182
- Statistisches Bundesamt (2007), www.destatis.de.
- Stefanis, N. C., J. N. Bresnick, R. W. Kerwin, W. N. Schofield, G. McAllister (1998): Elevation of D4 dopamine receptor mRNA in postmortem schizophrenic brain. *Brain Research*. *Molecular Brain Research* 53: 112-119.
- Strobel, A., F. M. Spinath, A. Angleitner, R. Riemann, K. P. Lesch (2003): Lack of association between polymorphisms of the dopamine D4 receptor gene and personality. *Neuropsychobiology* 47: 52-56.
- Sugiyama, A., M. Inoue-Murayama, M. Miwa, R. Ohashi, B. B. Kayang, M. Mizutani, K. Nirasawa, M. Odai, M. Minezawa, S. Watanabe, S. Ito (2004): Polymorphism of dopamine receptor D4 exon I corresponding region in chicken. *Zoological Science* 21: 941-946.
- Sutcliffe, J. S., R. J. Delahanty, H. C. Prasad, J. L. McCauley, Q. Han, L. Jiang, C. Li, S. E. Folstein, R. D. Blakely (2005): Allelic heterogeneity at the serotonin transporter

- locus (SLC6A4) confers susceptibility to autism and rigid-compulsive behaviors. *American Journal of Human Genetics* 77: 265-279.
- Tachikawa, H., S. Harada, Y. Kawanishi, T. Okubo, H. Shiraishi (1999): Novel polymorphism in the promoter and coding regions of the human cholecystokinin B receptor gene: an association analysis with schizophrenia. *American Journal of Medical Genetics* 88: 700-704.
- **Tautz, D.** (1989): Hypervariability of simple sequences as a general source for polymorphic DNA markers. *Nucleic Acids Research* 17: 6463-6471.
- **Tautz, D., M. Renz** (1984): Simple sequences are ubiquitous repetitive components of eukaryotic genomes. *Nucleic Acids Research* 12: 4127-4138.
- **Thaller, G., W. Kramer, A. Winter, B. Kaupe, G. Erhardt, R. Fries** (2003): Effects of DGAT1 variants on milk production traits in German cattle breeds. *Journal of Animal Science* 81: 1911-1918.
- Thomasen, J. R., B. Guldbrandtsen, P. Sorensen, B. Thomsen, M. S. Lund (2008): Quantitative trait loci affecting calving traits in Danish Holstein cattle. *Journal of Dairy Science* 91: 2098-2105.
- **Tipton, K. F., S. Boyce, J. O'Sullivan, G. P. Davey, J. Healy** (2004): Monoamine oxidases: certainties and uncertainties. *Current Medicinal Chemistry* 11: 1965-1982.
- **Tulloh, N. M.** (1961a): Behaviour of cattle in yards. I. Weighing, order and behaviour before entering scales. *Animal Behaviour* 9: 25-30.
- **Tulloh, N. M.** (1961b): Behaviour of cattle in yards. II. A study of temperament. *Animal Behaviour* 9: 25-30.
- Urban, C. (2007): Untersuchungen zum genetischen Hintergrund von Temperament und Umgänglichkeit bei Mutterkühen und Kälbern der Rassen Dt. Angus und Dt. Fleckvieh anhand der Validierung von geeigneten Testverfahren. Dissertation Fachbereich Veterinärmedizin, Institut für Tierzucht und Haustiergenetik, Justus-Liebig-Universität, Gießen;
- van Megen, H. J., J. A. den Boer, H. G. Westenberg (1994): On the significance of cholecystokinin receptors in panic disorder. *Progress in Neuro-Psychopharmacology* & *Biological Psychiatry* 18: 1235-1246.
- Van Tol, H. H., J. R. Bunzow, H. C. Guan, R. K. Sunahara, P. Seeman, H. B. Niznik, O. Civelli (1991): Cloning of the gene for a human dopamine D4 receptor with high affinity for the antipsychotic clozapine. *Nature* 350: 610-614.
- Van Tol, H. H., C. M. Wu, H. C. Guan, K. Ohara, J. R. Bunzow, O. Civelli, J. Kennedy, P. Seeman, H. B. Niznik, V. Jovanovic (1992): Multiple dopamine D4 receptor variants in the human population. *Nature* 358: 149-152.
- Vasar, E., E. Peuranen, J. Harro, A. Lang, L. Oreland, P. T. Mannisto (1993): Social isolation of rats increases the density of cholecystokinin receptors in the frontal cortex and abolishes the anti-exploratory effect of caerulein. *Naunyn-Schmiedeberg's Archives of Pharmacology* 348: 96-101.
- Vincze, T., J. Posfai, R. J. Roberts (2003): NEBcutter: A program to cleave DNA with restriction enzymes. *Nucleic Acids Research* 31: 3688-3691.
- **Visscher, P. M., R. Thompson, C. S. Haley** (1996): Confidence intervals in QTL mapping by bootstrapping. *Genetics* 143: 1013-1020.
- Visser, E. K., C. G. van Reenen, H. Hopster, M. B. H. Schilder, J. H. Knaap, A. Barneveld, H. J. Blokhuis (2001): Quantifying aspects of young horses' temperament: consistency of behavioural variables. *Applied Animal Behaviour Science* 74: 241-258.
- Voisinet, B. D., T. Grandin, J. D. Tatum, S. F. O'Connor, J. J. Struthers (1997): Feedlot cattle with calm temperaments have higher average daily gains than cattle with excitable temperaments. *Journal of Animal Science* 75: 892-896.

- Vormfelde, S. V., I. Hoell, M. Tzvetkov, K. Jamrozinski, D. Sehrt, J. Brockmoller, E. Leibing (2006): Anxiety- and novelty seeking-related personality traits and serotonin transporter gene polymorphisms. *Journal of Psychiatric Research* 40: 568-576.
- Wang, H., P. T. Wong, J. Spiess, Y. Z. Zhu (2005): Cholecystokinin-2 (CCK2) receptor-mediated anxiety-like behaviors in rats. Neuroscience and Biobehavioral Reviews 29: 1361-1373.
- Wang, H., Y. Z. Zhu, P. T. Wong, J. M. Farook, A. L. Teo, L. K. Lee, S. Moochhala (2003): cDNA microarray analysis of gene expression in anxious PVG and SD rats after cat-freezing test. Experimental brain research. Experimentelle Hirnforschung. Expérimentation cérébrale 149: 413-421.
- **Weber, J. L.** (1990): Informativeness of human (dC-dA)n.(dG-dT)n polymorphisms. *Genomics* 7: 524-530.
- Weimann, C. (2000): Entwicklung von DNA-Markern an den Inhibin-/Aktivin-Genorten bei Schaf, Rind und Ziege. Dissertation Fachbereich Agrarwissenschaften, Oekotrophologie und Umweltmanagement, Institut für Tierzucht und Haustiergenetik, Justus-Liebig-Universität, Gießen; Fachverlag Köhler.
- Weimann, C., M. Kraus, M. Gauly, G. Erhardt (2003): Differences in recombination rates on chromosome 23 between German Angus and German Simmental and breed specific linkage mapping. *Animal Genetics* 34: 229-231.
- Weitzman, J. B. (2003): Tracking evolution's footprints in the genome. *Journal of Biology* 2:
- Wendland, J. R., K. P. Lesch, T. K. Newman, A. Timme, H. Gachot-Neveu, B. Thierry, S. J. Suomi (2006): Differential functional variability of serotonin transporter and monoamine oxidase a genes in macaque species displaying contrasting levels of aggression-related behavior. *Behavior Genetics* 36: 163-172.
- Winter, A., W. Kramer, F. A. Werner, S. Kollers, S. Kata, G. Durstewitz, J. Buitkamp, J. E. Womack, G. Thaller, R. Fries (2002): Association of a lysine-232/alanine polymorphism in a bovine gene encoding acyl-CoA:diacylglycerol acyltransferase (DGAT1) with variation at a quantitative trait locus for milk fat content. Proceedings of the National Academy of Sciences of the United States of America 99: 9300-9305.
- Xing, Q. H., S. N. Wu, Z. G. Lin, H. F. Li, J. D. Yang, G. Y. Feng, M. T. Wang, W. W. Yang, L. He (2003): Association analysis of polymorphisms in the upstream region of the human dopamine D4 receptor gene in schizophrenia. *Schizophrenia Research* 65: 9-14.
- Yamada, K., E. Hattori, M. Shimizu, A. Sugaya, H. Shibuya, T. Yoshikawa (2001): Association studies of the cholecystokinin B receptor and A2a adenosine receptor genes in panic disorder. *Journal of Neural Transmission* 108: 837-848.
- Ye, S., S. Dhillon, X. Ke, A. R. Collins, I. N. Day (2001): An efficient procedure for genotyping single nucleotide polymorphisms. *Nucleic Acids Research* 29: E88-E88.
- Yeh, F. C., R.-C. Yang, T. Boyle, Z.-H. Ye, J. Mao (1997): POPGENE, the user-friendly shareware for population genetic analysis. Online unter http://www.ualberta.ca/~fyeh/.
- Yirmiya, N., T. Pilowsky, L. Nemanov, S. Arbelle, T. Feinsilver, I. Fried, R. P. Ebstein (2001): Evidence for an association with the serotonin transporter promoter region polymorphism and autism. *American Journal of Medical Genetics* 105: 381-386.
- Yonekura, S., K. Kitade, G. Furukawa, K. Takahashi, N. Katsumata, K. Katoh, Y. Obara (2002): Effects of aging and weaning on mRNA expression of leptin and CCK receptors in the calf rumen and abomasum. *Domestic Animal Endocrinology* 22: 25-35.
- **Youdim, M. B., Y. S. Bakhle** (2006): Monoamine oxidase: isoforms and inhibitors in Parkinson's disease and depressive illness. *British Journal of Pharmacology* 147 Suppl 1: S287-S296.

Ziegle, J. S., Y. Su, K. P. Corcoran, L. Nie, P. E. Mayrand, L. B. Hoff, L. J. McBride, M. N. Kronick, S. R. Diehl (1992): Application of automated DNA sizing technology for genotyping microsatellite loci. *Genomics* 14: 1026-1031.

Zimen, E. (1997): Der Wolf, Knesebeck GmbH & Co. VerlagsKG.

verwendete Internetseiten:

http://cedar.genetics.soton.ac.uk/public html/primer1.html

http://genomes.sapac.edu.au/bovineqtl/

http://oxgrid.angis.org. au/cattle/mouse/500 7.29.html

http://primer3.sourceforge.net/

http://qtl.cap.ed.ac.uk/

http://www.animalgenome.org/cattle/

http://www.animalgenome.org/QTLdb/cattle.html

http://www.cbrc.jp/research/db/TFSEARCH.html

http://www.ensembl.org/Bos\_taurus/Location/Genome

http://www.hgsc.bcm.tmc.edu/projects/bovine/

http://www.marc.usda.gov/genome/htmls

http://www.marc. usda.gov/genome/cattle/cattle.html

http://www.marc.usda.gov/genome/htmls/MarkerSearch.jsp?Species=bos

http://www.ncbi.nlm.nih.gov/

http://www.ncbi.nlm.nih.gov/sites/entrez?db=unists

http://www.ncbi.nlm.nih.gov/Genbank/

http://www.ncbi.nlm.nih.gov/BLAST/

http://www.ncbi.nlm.nih.gov/mapview

www.genecontrol.de

## 9 Anhang

**Tabelle 1A:** Häufigkeit der Größen (1 bis 5) der Vollgeschwistergruppen für die Bullen mit Gesamtzahl Nachkommen und Dauer des Einsatzes des Bullens.

	Name						Gesamtnach-	Eingesetzte
DE-Nr. Bulle	Bulle	1	2	3	4	5	kommen	Jahre
DE0665118487	Claudius	3	6	4	18	1	104	4
DE0340386055	Heino	2	7	18	3	-	82	3
DE0665123113	Hiro	29	-	-	-	-	29	1
DE0340118479	Pamtera	2	6	6	18	1	109	4
DE0665094128	Pauker	2	5	6	20	-	110	4
DE0665118486	Vollkorn	4	4	6	19	1	111	4
DE0665124735	Habsburg	16	-	-	-	-	16	1
DE1500244225	Herkan	6	12	11	-	-	63	3
DE0980232295	Honannes	22	11	12	1	-	84	4
DE0932318461	Mambo	19	-	-	-	-	19	1
DE1500258855	11-4	4	8	11	7		81	1
	Matze	4	0	11	/	-	01	4
DE0576839147	Paros	3	12	10	5	-	77	4
DE0576839147 DE0930336668			-		5	- - -		4 2

**Tabelle 2A:** Auflistung der zur Bestimmung der Allelfrequenzen der Polymorphismen innerhalb der Rassen verwendeten Mütter.

Rasse	DE-Nr.	Prob_ID	Rasse	DE-Nr.	Prob_ID
DA	DE0110401884	DArot16	FV	DE0661090734	FLVgruen28
DA	DE0110401892	DAgelb19	FV	DE0661091822	FLVorange29
DA	DE0110401900	DArot17	FV	DE0661097089	FLVrot18
DA	DE0110401910	DAgelb21	FV	DE0661097092	FLVgelb21
DA	DE0110700576	DAgelb24	FV	DE0661102961	FLVgruen27
DA	DE0110700577	DAgelb18	FV	DE0661102972	FLVorange28
DA	DE0110700591	DAgelb17	FV	DE0661106841	FLVrot16
DA	DE0110700594	DAgruen07	FV	DE0662074455	FLVblau13
DA	DE0110700613	DArot14	FV	DE0663081548	FLVorange23
DA	DE0340000003	DArot12	FV	DE0663103409	FLVgelb15
DA	DE0340003116	DAgruen10	FV	DE0664028166	FLVgelb19
DA	DE0340007981	DAgruen30	FV	DE0664033357	FLVgruen22
DA	DE0340007984	DAgelb22	FV	DE0664033360	FLVgelb16
DA	DE0340022526	DAgelb23	FV	DE0664041049	FLVblau15
DA	DE0340308532	DAgelb20	FV	DE0664041050	FLVgruen23
DA	DE0340314590	DAgruen11	FV	DE0665063268	FLVorange25
DA	DE0340319978	DAgruen09	FV	DE0665066550	FLVorange24
DA	DE0340342850	DAgruen29	FV	DE0665066554	FLVrot17
DA	DE0340420391	DArot11	FV	DE0665066591	FLVgruen24
DA	DE0665097662	DAorange08	FV	DE0665075626	FLVgelb22
DA	DE0665097678	DAorange07	FV	DE0665081108	FLVorange26
DA	DE0665097967	DAorange05	FV	DE0665081109	FLVgruen25
DA	DE0665097972	DArot07	FV	DE0665081115	FLVorange27
DA	DE0665104623	DAblau07	FV	DE0665085264	FLVgelb24
DA	DE0665111772	DAgruen822	FV	DE0665085270	FLVblau17
DA	DE0665111816	DAgruen811	FV	DE0665092242	FLVblau14
DA	DE0665118465	DAorange02	FV	DE0665092243	FLVblau18
DA	DE0665118467	DAgruen31	FV	DE0665118458	FLVgruen21
DA	DE0665118468	DAgruen32	FV	DE0665118459	FLVrot05
DA	DE0665124714	DAgruen922	FV	DE0665118462	FLVrot06
DA	DE0915128370	DAblau10	FV	DE0665118471	FLVgelb18
DA	DE0915128371	DAorange03	FV	DE0665118477	FLVrot07
DA	DE0915128391	DArot08	FV	DE0665118482	FLVrot03
DA	DE0915128419	DAorange06	FV	DE0665124975	FLVorange904
DA	DE0917501807	DAgruen04	FV	DE0810451323	FLVorange31
DA	DE0917501823	DAblau03	FV	DE1500018754	FLVblau16
DA	DE0917501829	DAblau06	FV	DE1500244226	FLVrot02
DA	DE0917501840	DAblau02	FV	DE1500257157	FLVblau11
DA	DE0917501849	DAorange01	FV	DE1500257165	FLVrot13
DA	DE0980002008	DAorange04	FV	DE1500257168	FLVrot09
DA	DE0980205731	DAblau05	FV	DE1500257169	FLVrot12
DA	DE0980205741	DAgruen03	FV	DE1500257189	FLVrot11
DA	DE1400116484	DAblau04	FV	DE1500257191	FLVblau10
DA	DE1400141514	DAgruen05	FV	DE1500270667	FLVgruen20
DA	DE1400188562	DAgruen06	FV	DE1500270678	FLVgelb17
DA	DE1400188579	DAblau08	FV	DE1500270786	FLVrot01
DA	DE1400188585	DArot09	FV	DE1601100407	FLVrot04
DA	DE1400188591	DAorange09	FV	DE1601100428	FLVrot08

**Tabelle 3A:** Typisierungsergebnisse der eingesetzten Bullen für die Nukleotidaustausche der Kandidatengene *CCKBR*, *DRD4*, *MAOA* und *SERT*.

	Name		CCKBR	CCKBR	DRD4	MAOA	SERT
DE-Nr. Bulle	Bulle	Rasse	(Intron 3)	(3'UTR)	(Intron 1)	(Exon XV)	(Intron 13)
DE0665118487	Claudius	DA	TT	CC	GG	C	GA
DE0340386055	Heino	DA	CC	CC	GT	C	GA
DE0665123113	Hiro	DA	CC	CT	GG	C	GA
DE0340118479	Pamtera	DA	CT	CC	GT	T	AA
DE0665094128	Pauker	DA	CT	CC	GG	C	AA
DE0665118486	Vollkorn	DA	CC	CC	GT	T	GA
DE0665124735	Habsburg	FV	CC	CC	TT	T	GA
DE1500244225	Herkan	FV	CC	CC	TT	T	AA
DE0980232295	Honannes	FV	CC	CC	TT	C	GG
DE0932318461	Mambo	FV	CC	CC	TT	T	AA
DE1500258855	Matze	FV	CC	TT	GT	T	GG
DE0576839147	Paros	FV	CC	CC	TT	C	GA
DE0930336668	Poker	FV	CC	CC	TT	T	AA
7760280	Theo	FV	CC	CT	TT	T	GG

**Tabelle 4A:** Typisierungsergebnisse der eingesetzten Bullen für die Mikrosatelliten auf BTA1 (1-1-1-5) mit Anzahl der heterozygoten Marker je Bulle.

								Anzahl
	Name		1-1	1-2	1-3	1-4	1-5	heterozygote
DE-Nr. Bulle	Bulle	Rasse	BMS1928	<i>DIK634</i>	BMS574	BMS4020	DIK4957	Marker
DE0665118487	Claudius	DA	161 161	228 230	153 153	121 121	186 186	1
DE0340386055	Heino	DA	161 181	230 230	149 149	121 121	186 186	1
DE0665123113	Hiro	DA	145 163	228 230	145 153	121 121	186 188	4
DE0340118479	Pamtera	DA	145 161	230 234	147 147	121 121	186 186	2
DE0665094128	Pauker	DA	145 181	228 230	143 147	121 121	186 188	4
DE0665118486	Vollkorn	DA	161 161	230 230	151 153	121 121	186 186	1
DE0665124735	Habsburg	FV	163 163	230 230	143 153	119 121	186 186	2
DE1500244225	Herkan	FV	161 163	230 230	151 153	121 121	186 186	2
DE0000333305								
DE0980232295	Honannes	FV	163 163	230 230	143 147	119 119	186 186	1
DE0980232295 DE0932318461	Honannes Mambo	FV FV	163 163 161 161	230 230 230 230	143 147 147 149		186 186 186 186	1 2
					,			1 2 3
DE0932318461	Mambo	FV	161 161	230 230	147 149	119 121	186 186	
DE0932318461 DE1500258855	Mambo Matze	FV FV	161 161 161 161	230 230 230 230	147 149 143 149	119 121 119 121	186 186 186 188	3

146

**Tabelle 5A:** Typisierungsergebnisse der eingesetzten Bullen für die ersten zehn Mikrosatelliten auf BTA29 (29-1 – 29-10) mit Anzahl der heterozygoten Marker je Bulle.

Anzahl	29-10 heterozygote	Marker	4	8	7	5	10	5	7	9	8	8	5	8	9	9
	29-10	ILSTS08I	100 102	100 108	104 104	098 104	102 104	104 104	102 106	100 104	008 100	106 118	098 100	100 104	104 106	100 104
	59-9	<b>BMC1206</b>	132 132	130 132	132 132	132 132	128 132	130 130	132 132	130 130	130 132	128 132	130 132	130 130	130 132	130 130
	29-8	BMS764 BMS1787 ILSTS089 MNB-127 MNB-145 MNB-109 OarHH22 BMC1206 ILSTS081	113 115	113 115	115 121	113 115	105 115	113 115	113 113	115 115	113 121	113 115	113 113	113 115	115 115	111 111
	29-7	MNB-109	192 192	198 200	192 194	192 192	192 198	178 178	178 190	192 200	178 190	178 178	190 190	190 192	178 178	188 200
	29-4 29-5 29-6	MNB-145	166 166	166 172	172 172	166 166	166 178	166 174	166 174	166 166	166 166	166 166	166 172	166 174	166 166	166 178
	29-5	MNB-127	227 229	227 227	227 229	227 229	227 229	219 227	217 217	229 229	219 229	229 231	219 227	219 229	227 229	229 231
	29-4	ILSTS089	139 139	139 147	141 147	139 139	141 147	139 139	139 147	139 155	139 139	139 147	139 139	139 139	139 139	139 139
	29-3	BMS1787	160 160	160 160	162 168	160 168	162 166	160 160	158 160	162 164	160 164	156 160	156 164	148 164	156 162	164 170
	29-2	BMS764	100 106	096 108	104 110	100 104	006 106	006 106	100 108	106 110	106 108	104 112	106 106	100 106	100 106	104 104
	29-1	Rasse BMS1857	DA 160160 100106 160160 139139 227229 166166 192192 113115 132132 100102	DA   152 164   096 108   160 160   139 147   227 227   166 172   198 200   113 115   130 132   100 108	DA 152 162 104 110 162 168 141 147 227 229 172 172 192 194 115 121 132 132 104 104	DA   160 160 160 100 104 160 168 139 139 227 229 166 166 165 192 192 113 115 132 132 098 104	DA 160164 096106 162166 141147 227229 166178 192198 105115 128132 102104	DA 152164 096106 160160 139139 219227 166174 178178 113115 130130 104104	FV 158 176 100 108 158 160 139 147 217 217 116 174 178 190 113 113 132 132 102 106	FV 160176 106110 162164 139155 229229 166166 192200 115115 130130 100104	FV 158 160 106 108 160 164 139 139 219 229 166 166 178 190 113 121 130 132 098 100	152 160 104 112 156 160 139 147 229 231 166 166 178 178 113 115 128 132 106 118	160 160 106 106 106 156 164 139 139 219 227 166 172 190 190 113 113 130 132 098 100	FV   160166 100106 148164 139139 219229 166174 190192 113115 130130 100104	FV 160 164 100 106 156 162 139 139 227 229 166 166 178 178 115 115 130 132 104 106	FV 158176 104104 164170 139139 229231 166178 188200 111111 130130 100104
		Rasse	DA	DA	DA	DA	DA	DA	FV	FV	FV	F	FV	F	FV	FV
,	Name	Bulle	Claudius	Heino	Hiro	Pamtera	Pauker	Vollkorn	Habsburg	Herkan	Honannes	Mambo	Matze	Paros	Poker	Theo
•		DE-Nr. Bulle	DE0665118487   Claudius	DE0340386055	DE0665123113	DE0340118479 Pamtera	DE0665094128   Pauker	DE0665118486   Vollkorn	DE0665124735 Habsburg	DE1500244225   Herkan	DE0980232295 Honannes	DE0932318461 Mambo	DE1500258855	DE0576839147	DE0930336668	7760280

**Tabelle 6A:** Typisierungsergebnisse der eingesetzten Bullen für die weiteren vier Mikrosatelliten (29-11 – 29-14) auf BTA29 mit Anzahl der heterozygoten Marker je Bulle.

	Name		29-11	29-12	29-13	29-14	Anzahl heterozygote
DE-Nr. Bulle	Bulle	Rasse	BMS1948	DIK4499	DIK5057	MNB-101	Marker
DE0665118487	Claudius	DA	119 123	209 213	226 226	151 151	2
DE0340386055	Heino	DA	123 123	211 213	226 226	151 151	1
DE0665123113	Hiro	DA	115 115	211 211	226 226	151 151	0
DE0340118479	Pamtera	DA	123 123	209 209	226 226	165 165	0
DE0665094128	Pauker	DA	119 119	209 209	226 226	151 161	1
DE0665118486	Vollkorn	DA	115 123	209 209	226 226	151 151	1
DE0665124735	Habsburg	FV	115 121	209 209	226 226	161 161	1
DE1500244225	Herkan	FV	119 123	207 211	226 228	161 161	3
DE0980232295	Honannes	FV	115 121	207 209	226 226	151 161	3
DE0932318461	Mambo	FV	099 117	209 209	226 226	151 161	2
DE1500258855	Matze	FV	123 123	211 211	226 226	151 161	1
DE0576839147	Paros	FV	099 115	211 211	226 226	161 161	1
DE0930336668	Poker	FV	115 121	209 211	226 226	161 161	2
7760280	Theo	FV	099 115	207 209	226 226	151 161	3

**Tabelle 7A:** Typisierungsergebnisse der Mikrosatelliten der Referenzprobe "Giessen2000" (= DAblau25) aus dem EU-Projekt RESGEN CT98-118.

Lfd. Nr.	Mikrosatellit	Chromosom	Allele
1-1	BMS1928	BTA1	159 161
1-2	DIK634	BTA1	230 230
1-3	BMS574	BTA1	149 151
1-4	BMS4020	BTA1	121 121
1-5	DIK4957	BTA1	186 186
29-1	BMS1857	BTA29	152 160
29-2	BMS764	BTA29	096 106
29-3	BMS1787	BTA29	160 168
29-4	ILSTS089	BTA29	139 141
29-5	MNB-127	BTA29	227 227
29-6	MNB-145	BTA29	166 166
29-7	MNB-109	BTA29	188 192
29-8	OarHH22	BTA29	113 113
29-9	BMC1206	BTA29	128 130
29-10	ILSTS081	BTA29	098 100
29-11	BMS1948	BTA29	119 119
29-12	DIK4499	BTA29	209 211
29-14	MNB101	BTA29	151 151

## DANKSAGUNG

Herrn Prof. Dr. Erhardt gilt mein besonderer Dank für die Überlassung des Dissertationsthemas, die kritische Durchsicht des Manuskriptes und Betreuung der Arbeit während der langen Zeit.

Allen Mitarbeiterinnen und Mitarbeitern des Institutes für Tierzucht und Haustiergenetik, der Lehr- und Forschungsstation Oberer Hardthof und dem Lehr- und Versuchsbetrieb Rudlos danke ich sehr für die gute Zusammenarbeit und die schöne Zeit während meiner Dissertation.

Besonders danken möchte ich Carina für ihre Einweisung und immer währende Unterstützung in den Untiefen des molekulargenetischen Labors; Horst für sein immer offenes Ohr in statistischen und sonstigen Fragen und dass er auch bei wiederholten Erklärungen immer die Ruhe bewahrt hat und einen auf den Boden der Tatsachen geholt hat; Margarete für ihre stete Betreuung des ALFs; Christina, Christina und Stephi für das Verstehen der Mikrosatelliten und Hilfen am ABI; Anja, Heike, Renate, Sylvia, Sandra und Therese für ihre Unterstützungen im Laboralltag und beim Proben suchen; Gesine für die Laborleitung; Eva für interessante Telefonate und natürlich allen meinen Doktorandenkolleginnen und –kollegen für die gemeinsame Zeit und die gegenseitigen Hilfestellungen.

Die ganze "Truppe" hat trotz mancher Wechsel durch die gute Zusammenarbeit und die vielen, nicht immer dienstlichen, Gespräche, verschiedene Keksrunden und ergreifende Diskussionsforen (Kann man 3er Eier einfrieren?) und kreative Bastelstunden für ein gutes Arbeitsklima und ein meist angenehmes Arbeiten im Institut gesorgt.

Und dann möchte ich mich auch ganz herzlich bei meinen Eltern und Großeltern, allen Freunden, Bekannten und den vierbeinigen Wegbegleitern außerhalb des Institutes bedanken, die mich während der gesamten Zeit unterstützt haben, die Höhen und Tiefen verfolgt und einfach da waren.

Und last but not least danke ich dem Zitronenfalter, der uns immer wieder zum Lächeln gebracht hat.

## Ich erkläre:

Ich habe die vorgelegte Dissertation selbständig und ohne unerlaubte fremde Hilfe und nur mit den Hilfen angefertigt, die ich in der Dissertation angegeben habe. Alle Textstellen, die wörtlich oder sinngemäß aus veröffentlichten oder nicht veröffentlichten Schriften entnommen sind, und alle Angaben, die auf mündlichen Auskünften beruhen, sind als solche kenntlich gemacht. Bei den von mir durchgeführten und in der Dissertation erwähnten Untersuchungen habe ich die Grundsätze guter wissenschaftlicher Praxis, wie sie in der "Satzung der Justus-Liebig-Universität Gießen zur Sicherung guter wissenschaftlicher Praxis" niedergelegt sind, eingehalten.

ISBN 978-3-941703-72-8



Verlag: Deutsche Veterinärmedizinische Gesellschaft Service GmbH 35392 Gießen · Friedrichstraße 17 · Tel. 0641 / 24466 · Fax: 0641 / 25375 e-mail: info@dvg.net · Homepage: http://www.dvg.de